

GM 69368

RAPPORT D'EXPLORATION ETE 2015, PROPRIETE CHABLIS (1388)

Documents complémentaires

Additional Files



Licence



Licence

Cette première page a été ajoutée
au document et ne fait pas partie du
rapport tel que soumis par les auteurs.

Énergie et Ressources
naturelles

Québec 

RAPPORT D'EXPLORATION
ÉTÉ 2015
PROPRIÉTÉ CHABLIS (1388)
FEUILLET SNRC 32K/09

GM 69368

Jean-François Gagnon, ing.
Décembre 2015

Ressources naturelles et Faune
18 MAI 2016
Dir information géologique

REÇU AU MRNF
12 AVR. 2015
DIRECTION DES TITRES MINIERS

1559187

Résumé

La découverte de l'indice cuprifère JFO ainsi que le levé SkyTEM de 2014 sur la propriété Chablis ont permis d'identifier plusieurs cibles d'exploration reliées à des anomalies électromagnétiques. En outre, l'indice JFO n'avait pas été détecté par le levé SkyTEM, en raison de la minéralisation disséminée.

Dans un premier temps, 89,3 km de lignes ont été coupés afin d'effectuer des levés de géophysique au sol. Ensuite, un levé de polarisation provoquée de 35,6 km linéaires sur une grille, ainsi qu'un levé de MaxMin de 47,3 km linéaires sur six grilles ont été réalisés. Le levé de polarisation provoquée avait pour objectif de définir une signature géophysique de l'indice de cuivre, en même temps que de trouver d'autres anomalies du même type. Le levé de MaxMin avait pour but de préciser la position au sol des anomalies électromagnétiques découvertes par le levé SkyTEM.

Par la suite, une campagne de cartographie a été réalisée principalement dans les lignes coupées afin d'expliquer sur le terrain les anomalies de chargeabilité et électromagnétiques nouvellement définies par la polarisation provoquée et le MaxMin.

La plupart des anomalies électromagnétiques ont été expliquées par des horizons centimétriques à décimétriques de pyrrhotite disséminée à semi-massive, ou des argiles conductrices. Sur les grilles de l'est, les anomalies EM correspondent à des horizons de pyrrhotite subhorizontaux dans des paragneiss dont un a retourné une teneur de 464 ppb Au. Il s'agit de la teneur la plus intéressante de la campagne de 2015.

L'indice JFO a effectivement été détecté par la polarisation provoquée. Une autre anomalie de chargeabilité à environ 1 km à l'est de l'indice a été expliquée par de la pyrite disséminée dans une enclave décamétrique de diorite. Aucune autre minéralisation semblable à l'indice n'a pu être découverte par la cartographie.

Il est donc recommandé de réaliser une étude minéralogique et pétrogénétique sur des lames minces provenant des différents types d'enclaves et de l'encaissant granitique sur l'affleurement de l'indice JFO afin de mieux définir le contexte et la mise en place de la minéralisation avant de poursuivre les travaux d'exploration dans le secteur de l'indice.

TABLES DES MATIÈRES

| | |
|--|-----|
| Résumé | i |
| Table des matières | ii |
| Liste des figures..... | iii |
| Liste des tableaux..... | iii |
| Liste des photos..... | iii |
| Liste des annexes..... | iii |
| 1.0 Introduction..... | 1 |
| 2.0 Recours à d'autres experts..... | 1 |
| 3.0 Description et emplacement du terrain..... | 2 |
| 3.1 Localisation..... | 2 |
| 3.2 Titres miniers..... | 2 |
| 4.0 Accessibilité, géographie physique, climat, infrastructures et ressources locales..... | 5 |
| 5.0 Historique..... | 6 |
| 5.1 Historique légal..... | |
| 5.2 Travaux antérieurs..... | |
| 6.0 Contexte géologique et minéralisation..... | 7 |
| 6.1 Géologie régionale..... | 7 |
| 6.2 Géologie de la propriété..... | 7 |
| 6.3 Géologie économique..... | 11 |
| 7.0 Travaux d'exploration..... | 11 |
| 7.1 Coupe de lignes et géophysique..... | 11 |
| 7.2 Camp..... | 13 |
| 7.3 Cartographie..... | 13 |
| 7.4 Résultats..... | 14 |
| 7.4.1 Grille A..... | 14 |
| 7.4.2 Grille B..... | 14 |
| 7.4.3 Grille C..... | 15 |
| 7.4.4 Grille D..... | 15 |
| 7.4.5 Grille E..... | 15 |
| 7.4.6 Grille F..... | 15 |
| 8.0 Préparation, analyses et sécurité des échantillons..... | 16 |
| 8.1 Échantillonnage et analyses..... | 16 |
| 8.2 QA/QC..... | 16 |
| 9.0 Interprétation et conclusion..... | 17 |
| 9.1 Interprétation..... | 17 |
| 9.2 Conclusion..... | 19 |
| 10.0 Recommandations..... | 19 |
| Références..... | 20 |

LISTE DES FIGURES

| | |
|-------------------------------------|----|
| Figure 1 Carte de localisation..... | 3 |
| Figure 2 Titres miniers..... | 4 |
| Figure 3 : Géologie régionale | 9 |
| Figure 4 : Géologie locale | 10 |
| Figure 5 : Lignes coupées | 12 |

LISTE DES TABLEAUX

| | |
|--|---|
| Tableau 1 Titres miniers projet Chablis (1388) | 2 |
|--|---|

LISTE DES PHOTOS

| | |
|------------------------------------|----|
| Photo1 Paragneiss horizontal | 18 |
| Photo 2 Paragneiss minéralisé..... | 18 |

LISTE DES ANNEXES

| | |
|---|--|
| Annexe 1 Certificat de qualification | |
| Annexe 2 Légendes | |
| Annexe 3 Descriptions des affleurements | |
| Annexe 4 Échantillons | |
| Annexe 5 Certificats d'analyses | |
| Annexe 6 Protocole d'analyses | |
| Annexe 7 QA/QC | |

PLAN EN POCLETTE

| | |
|------------------------|--------------------|
| Cartographie 2015..... | échelle 1 : 10 000 |
|------------------------|--------------------|

1.0 Introduction

À la suite de la découverte de l'indice de cuivre JFO de la propriété Chablis en 2014, des travaux de cartographie ont été réalisés dans les environs de cet indice, incluant cinq tranchées par décapage mécanique. Ces travaux ont permis de bien définir l'indice de cuivre lui-même, mais la minéralisation est localisée dans des enclaves de paragneiss dans une intrusion granitique et aucune autre minéralisation cuprifère n'a pu être répertoriée dans le secteur immédiat de l'indice. En même temps, le levé SkyTEM, qui avait été étendu à ce qui allait devenir la propriété Chablis, a démontré d'autres cibles d'exploration sur la propriété.

Un levé électromagnétique au sol de type MaxMin a donc été réalisé sur les anomalies SkyTEM les plus prometteuses afin de les préciser. Étant donné la nature disséminée de la minéralisation de l'indice JFO, un levé de polarisation provoquée a aussi été réalisé sur et dans les environs de cet indice. L'entreprise Daniel Gauthier Exploration a été choisie pour effectuer les 89,3 km de coupe de lignes. La firme Géosig Inc. a été mandatée pour les 47,3 km linéaires de MaxMin et les 35,6 km linéaires de polarisation provoquée. Les levés de géophysique font l'objet d'un rapport séparé, préparé par Géosig Inc. Les résultats de ces levés, bien qu'ils soient affichés, ne sont pas discutés dans ce rapport.

Une campagne de cartographie à l'échelle de la propriété a donc été menée afin de tenter de trouver des minéralisations cuprifères similaires à l'indice JFO, ou d'autres types de minéralisation d'intérêt. Pour ce faire, les travaux se sont surtout concentrés sur les anomalies répertoriées par les levés MaxMin et de polarisation provoquée.

2.0 Recours à d'autres experts

Le géophysicien Marc Boivin, géo, de la firme MB Géosolutions, a agi comme expert externe dans le choix des paramètres requis. Il a aussi effectué le contrôle de la qualité des données, dans le but de maximiser les informations tirées des levés de géophysique.

3.0 Description et emplacement du terrain

3.1 Localisation

La propriété est localisée dans le feuillet 32K/09 à -76° 6' de longitude et 50° 33' de latitude, à environ 140 km à vol d'oiseau au nord-est de Matagami (Figure 1).

3.2 Titres miniers

La propriété Chablis est composée de 116 titres miniers contigus couvrant une superficie de 62,32 km² (Figure 2). Ces titres miniers, dont la liste apparaît au Tableau 1, ont été acquis par désignation sur carte en 2014. SOQUEM INC. est le seul détenteur enregistré auprès du ministère de l'Énergie et des Ressources naturelles (MERN). Les claims sont libres de toute charge, restriction, royauté, hypothèque ou réclamation.

TABLEAU 1 TITRES MINIERS PROJET CHABLIS (1388)

| SNRC | Numéros des claims | Nombre de claims |
|--------------|--------------------|---|
| 32K/09 | 2408697 à 2408769 | 73 |
| | 2408837 à 2408844 | 8 |
| | 2410307 à 2410334 | 28 |
| | 2411667 à 2411673 | 7 |
| TOTAL | | 116 claims 6231,92 ha (62,32 km²) |

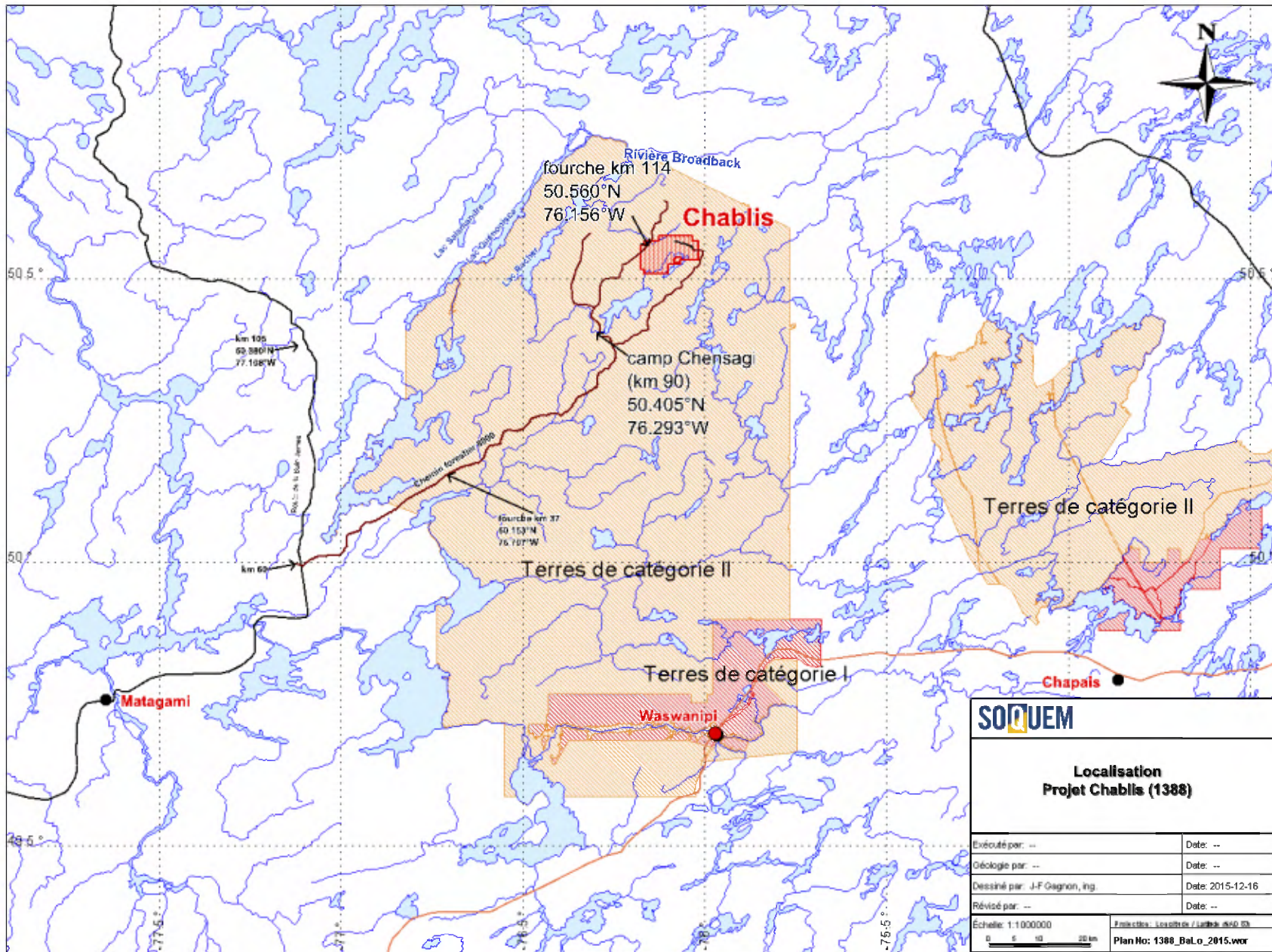


Figure 1 Carte de localisation

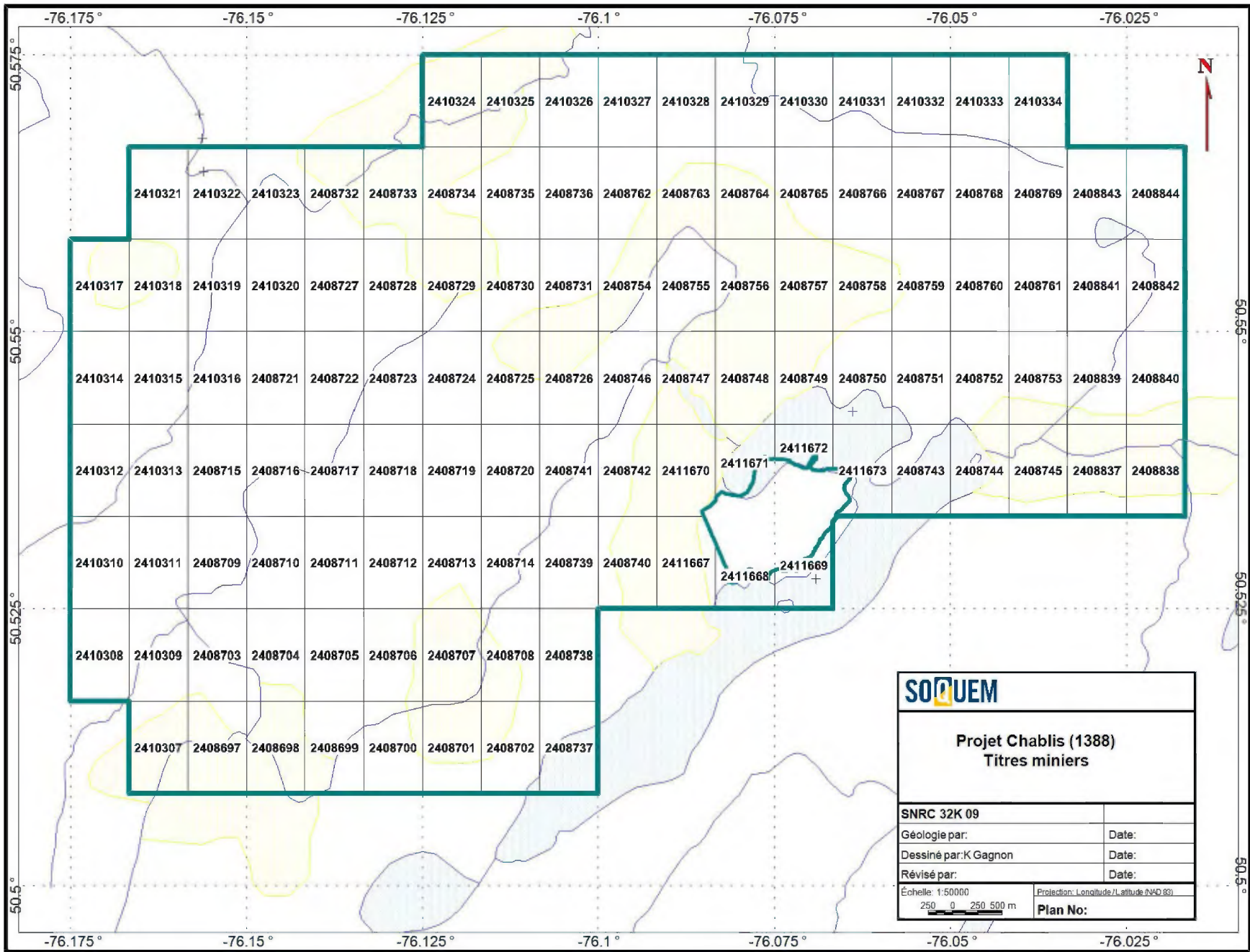


Figure 2 Titres miniers

4.0 Accessibilité, géographie physique, climat, infrastructures et ressources locales

La propriété est accessible, à partir de Matagami, en empruntant la route de la Baie-James jusqu'à la borne kilométrique 60. De là, le chemin forestier 8 000 permet de se rendre en bordure ouest de la propriété, au kilomètre 114 (Figure 1). Un chemin secondaire, à partir du kilomètre 86 du chemin 8 000, permet d'accéder à la partie est de la propriété. Des chemins d'hiver permettent de relier les accès ouest et est. Toutefois, ces chemins d'hiver sont argileux et le quad est le moyen de transport recommandé. Les chemins forestiers principaux sont relativement récents dans le secteur et sont entretenus de façon sporadique par les compagnies forestières. L'ancien camp Chensagi est dans un état de délabrement avancé et ne pourrait être une solution de logement valable. Cependant, il y a amplement d'espace sur le même site pour y installer un second campement, à une centaine de mètres de la rivière Nipukatasi.

La topographie est légèrement vallonnée avec un dénivelé maximal de 125 mètres. La plus faible élévation est localisée dans la portion ouest de la propriété avec une altitude de 300 mètres au-dessus du niveau de la mer. Le plus haut relief est localisé dans l'extrême nord-est de la propriété avec une altitude de 425 mètres. Le relief est irrégulier avec des alternances de plaines marécageuses d'orientation plus ou moins sud-ouest nord-est entrecoupées de buttes de tills, souvent avec affleurements rocheux. Les cours d'eau ont deux directions préférentielles d'écoulement, soit du nord-est vers le sud-ouest et du sud-est vers le nord-ouest. Le lac de la Bétulaie (anciennement lac Milia) de 6,5 km de long couvre une portion au sud de la propriété.

L'épaisseur et la nature du mort-terrain sont variables. Les unités les plus épaisses sont composées de till fin et d'argile dans les vallées. Les nombreuses tourbières reposent sur de l'argile conductrice, ce qui a été confirmé par la géophysique. Les unités de faibles épaisseurs, formées de sable et gravier, sont localisées sur les collines, sur lesquelles on y trouve parfois des affleurements rocheux. Ceux-ci ne sont généralement pas de grande ampleur.

La coupe forestière, qui s'est déroulée sur une dizaine d'années, couvre environ 25 % de la superficie de la propriété. Elle occupe les secteurs les plus secs et a été surtout pratiquée en hiver pour faciliter la traversée des zones marécageuses. Le climat est de type continental froid avec des extrêmes allant de 35°C l'été à -40°C l'hiver. La période de gel est habituellement entre octobre et mai.

La ville la plus proche est Matagami, localisée à 140 km au sud-ouest à vol d'oiseau. Elle compte environ 1 500 habitants et offre de nombreux services gouvernementaux comme un centre de santé, des écoles, bureau de poste et autres. Son économie repose surtout sur l'exploitation des ressources naturelles (mine et forêt) et compte quelques entrepreneurs et commerces. Les communications cellulaires et Internet y sont disponibles.

La propriété est située sur le territoire ancestral de la famille Saganash de Waswanipi. La communauté a un droit exclusif de pêche et de chasse faisant partie d'un territoire de catégorie II de la Convention de la Baie-James et du Nord québécois (CBJNQ).

5.0 Historique

5.1 Historique légal

2014 Désignation de 81 cellules en juillet;
Désignation de 28 cellules en août;
Désignation de sept cellules en septembre.

5.2 Travaux antérieurs

Ce sont les secteurs nord et ouest du feuillet 32K/09 qui ont été les plus travaillés par les compagnies d'exploration minière. Cet intérêt est dû à la présence de roches volcaniques et sédimentaires et de leurs indices minéralisés. La région a connu sa plus grande vague d'exploration à la suite de la découverte du gîte de Ni-Cu du lac Rocher par Nuinsco Resources Ltd en 1998. Les travaux d'exploration qui ont suivi cette découverte ont été concentrés sur les roches mafiques et ultramafiques, caractérisées par de fortes anomalies magnétiques positives.

Le secteur de la propriété a été très peu travaillé. Un seul document d'exploration, archivé dans les travaux statutaires déposés au ministère de l'Énergie et des Ressources naturelles (MERN), couvre partiellement la propriété dans sa portion nord-ouest. Il s'agit d'un levé aéroporté magnétique et électromagnétique de type VTEM (GM65701). Ce levé a été commandé par la compagnie minière Canadian Royalties Inc. afin de mieux définir une cible magnétique isolée et localisée à l'extérieur de la présente propriété. Un forage y a été fait sans toutefois expliquer la nature de la cible.

Du côté des grands levés géologiques gouvernementaux, les premiers travaux géologiques de détail touchant la propriété ont été publiés dans les années 1970 avec les rapports géologiques DP-060 et DP-265 (Franconi, 1972 et 1974). À la fin des années 1990, le MERN a réalisé une remise à niveau de la cartographie géologique au 1 : 50 000 du feuillet SNRC 32K/09 (Brisson, 1998, RG 98-05)

Deux grands levés géophysiques ont couvert le secteur : un levé magnétique de la Commission géologique du Canada en 1969 (avec des lignes de vol espacées à tous les 800 mètres) et un levé magnétique et électromagnétique, de type INPUT, réalisé par le MERN en 1985 avec des lignes de vol espacées à tous les 200 mètres (MERN, DP-85-13). Ce dernier montre des signatures électromagnétiques pour le gîte du lac Rocher et l'indice du lac Scott permettant son utilisation comme outil de ciblage pour la découverte d'autres corps minéralisés d'importance dans la région.

Quelques échantillons de sédiments de ruisseaux ont été prélevés et analysés par le MERN en 1971 (Franconi, 1971, DP 209) et un levé de géochimie de sédiments de fond de lac a été réalisé en 1996 (Beaumier et Kirouac, 1996).

6.0 Contexte géologique et minéralisation

6.1 Géologie régionale

La propriété est localisée au sud de la portion centrale de la ceinture de roches vertes Frotet-Evans. Cette ceinture volcano-sédimentaire archéenne se subdivise en deux groupes, le Groupe d'Evans dominé par des roches volcaniques et le Groupe de Broadback, caractérisé par une dominance de roches sédimentaires (Brisson et Al., 1998).

Cette ceinture est encaissée dans des terrains gneissiques et plutoniques de la Sous-province d'Opatoca dont l'âge varie de 2 825 à 2 680 Ma (Davis et Al., 1995). Les différentes intrusions se subdivisent en quatre catégories : les intrusions syn-volcaniques (petits filons-couches de gabbro et petits massifs de diorite), les intrusions dites syn-tectoniques (de composition tonalitique), les intrusions tardi-tectoniques, formées de gabbro, monzonite, granite, dont le massif de Nipukatasi et de pegmatites, et des dykes de diabase du protérozoïque (Brisson et Al., 1998; Figure 3).

Le faciès métamorphique général varie de schiste vert à amphibolite, avec une dominance au schiste vert supérieur.

Le degré de déformation de la roche varie de faible à intense et sept phases de déformation ont été reconnues ; les six premières font partie d'un même continuum. La déformation D2 est la principale caractérisée par un étirement des fragments et l'orientation des grains minéraux. Son orientation est variable étant reprise par d'autres déformations plus jeunes (plis D4). Les grandes structures régionales telles les failles Nottaway et Lucky Strike sont associées à la déformation D6 (Brisson et Al., 1998).

6.2 Géologie de la propriété

La propriété est localisée dans la bordure sud du massif plutonique granitique de Nipukatasi. Ce massif est peu exploré et peu documenté. Ses contacts sont mal définis avec une forte auréole d'altération désignée sous l'appellation « Complexe de Rocher ». Ce complexe est défini dans les portions nord et ouest du massif comme une roche sédimentaire ayant subi un fort métamorphisme de contact (Brisson et Al., 1998; Figure 4). Une reconnaissance géologique faite sur la propriété identifie un ensemble de roches intrusives felsiques (granitiques) qui contiennent des quantités variables d'enclaves (1 à 50 %) de paragneiss dérivées de lithologies sédimentaires et volcaniques.

Une différenciation minéralogique montre des rubanements (pseudo-litage) dans les enclaves qui peuvent aussi représenter le litage primaire des anciennes formations sédimentaires. Les enclaves ont une dimension variable de 0,01 à plus de 10,0 m, de forme souvent tabulaire avec des contacts assez parallèles aux pseudo-litages. Elles sont localement, plus ou moins orientées dans de mêmes directions avec des inclinaisons (des contacts) assez similaires sur un même affleurement. Cependant, elles peuvent varier beaucoup d'un affleurement à un autre. Les bordures des enclaves sont souvent digérées par le granite encaissant. Ce granite a un aspect pegmatitique avec des proportions modales variables en quartz, plagioclase, feldspath, biotite. La partie nord-est de la propriété est caractérisée par plusieurs affleurements de paragneiss bien rubané avec des leucosomes parfois importants. Certains niveaux millimétriques à décimétriques de paragneiss sont minéralisés en pyrrhotite disséminée avec des quantités plus faibles de pyrite disséminée. L'attitude générale des unités dans ce secteur est subhorizontale avec des ondulations.

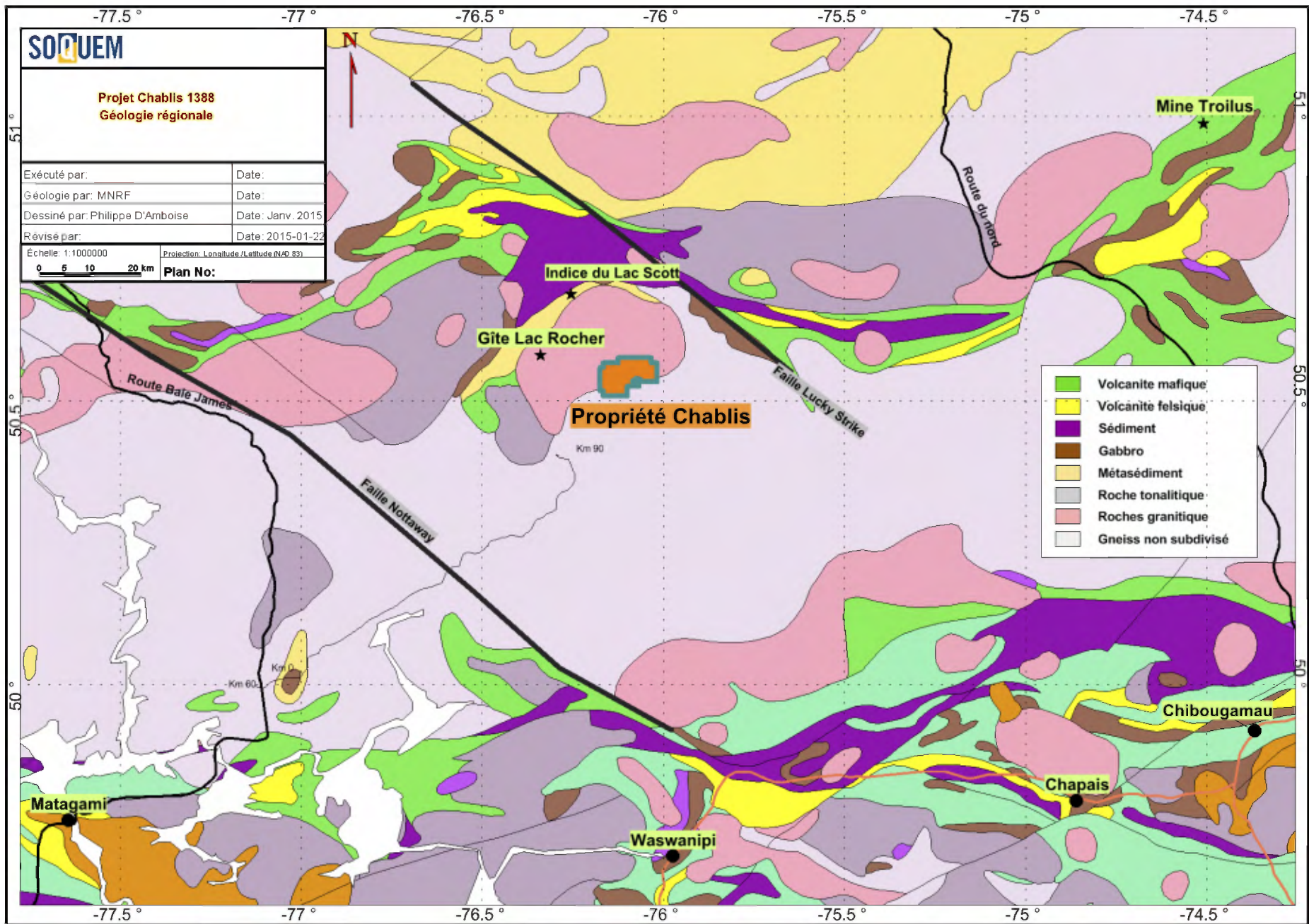


Figure 3 Géologie régionale

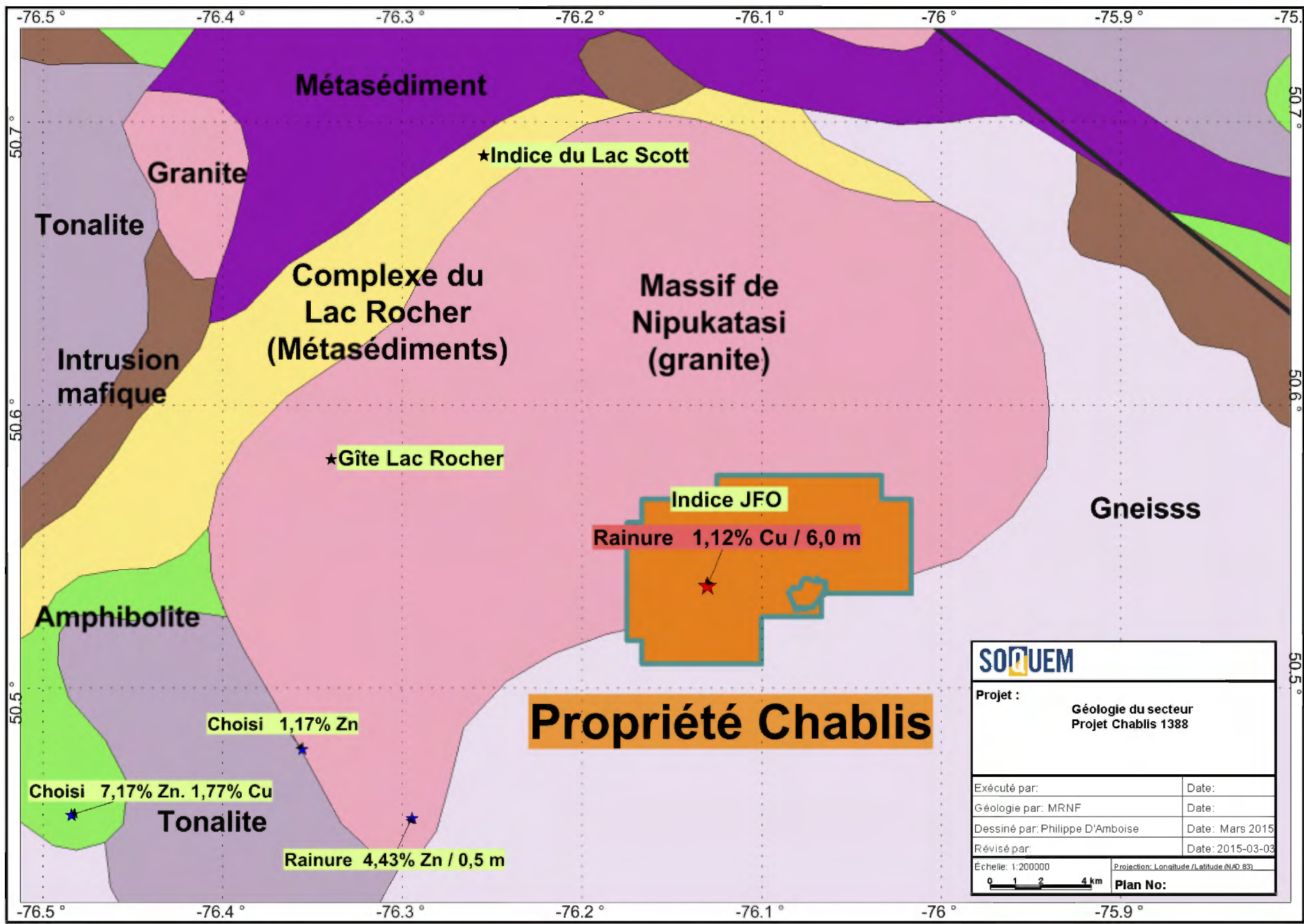


Figure 4 Géologie locale

6.3 Géologie économique

La ceinture de roches vertes de Frotet-Evans a été l'hôte de la mine Troilus (production : 71,1 millions de tonnes métriques (M tm) à 1,02 g/t Au et 0,09 % Cu), soit l'équivalent de la production de 2 millions d'onces Troy d'or (2 M oz Au), 2,2 millions d'onces Troy d'argent (2,2 M oz Ag) et 157,2 millions de livres de cuivre (152,7 M lb de Cu) (Houle, 2011). De nombreux autres indices de moindre importance ont été trouvés dans la ceinture (Cu-Ni, métaux de base, Au, Ag, Cu, Zn, lithium, EGP, etc.). Deux indices d'intérêt ont été trouvés dans le secteur 32K/09, soit : celui du lac Rocher et celui du lac Scott (Figure 3).

Le gîte du lac Rocher a été découvert par Nuinsco Resources Ltd en 1998, avec des ressources mesurées et indiquées de 800 000 tonnes (t) à 1,12 % Ni et des ressources inférées de 440 000 t à 0,65 % Ni (http://www.victorynickel.ca/projects/lac_rocher/). Ce gîte est localisé à 15 km à l'ouest de la propriété. La minéralisation est associée à une intrusion ultramafique à mafique polyphasée.

L'indice Cu-Ag du lac Scott (Osisko Lake Mines Ltd., 1960) est composé d'une minéralisation stratoïde localisée dans une formation de fer sulfuré dans des wackes (Franconi, 1972, DP-060). La zone minéralisée, d'une épaisseur de 6 à 30 m et longue de 1 200 m, contient des sulfures disséminés à massifs (PO-PY-CP). Un échantillon choisi a retourné 5,3 % Cu et la meilleure intersection a été obtenue dans le forage n° 06 avec 1,61 % Cu sur 4,4 m (Brisson, 1998, RG-98-05).

7.0 Travaux d'exploration

7.1 Coupe de lignes et géophysique

Les travaux d'exploration de 2015 ont débuté par 89,3 km de coupe de lignes réparties sur six grilles (A à F) (Figure 5), sur lesquelles un levé MaxMin de 47,3 km linéaires et un levé de polarisation provoquée de 35,6 km linéaires ont été réalisés. Les grilles A, C, D, E et F, ainsi que l'extension nord de la grille B, visaient des anomalies EM découvertes par le levé SkyTEM de 2014. Le levé MaxMin a donc été fait sur ces grilles. Le levé de polarisation provoquée a été effectué sur la grille B afin de trouver des extensions ou la source possible à l'indice de cuivre JFO. L'entreprise Daniel Gauthier Exploration a réalisé les travaux de coupe de lignes à la fin mai 2015 jusqu'au début de juin 2015. Les coupeurs de lignes ont loué le camp du maître de trappe local pour le logement. La firme Géosig Inc. a été mandatée pour les travaux de géophysique, qui se sont échelonnés du 8 juin 2015 au 1^{er} juillet 2015. Les travaux de coupe de lignes et de géophysique se sont faits conjointement avec les projets Chensagi (1389) et Nottaway (1393). Le rapport de géophysique n'est pas encore déposé au MERN au moment de la rédaction de ce rapport d'exploration, mais il est prévu de le déposer au cours de l'année 2016. Les travailleurs de l'équipe de géophysique ont été logés au camp construit par SOQUEM INC.

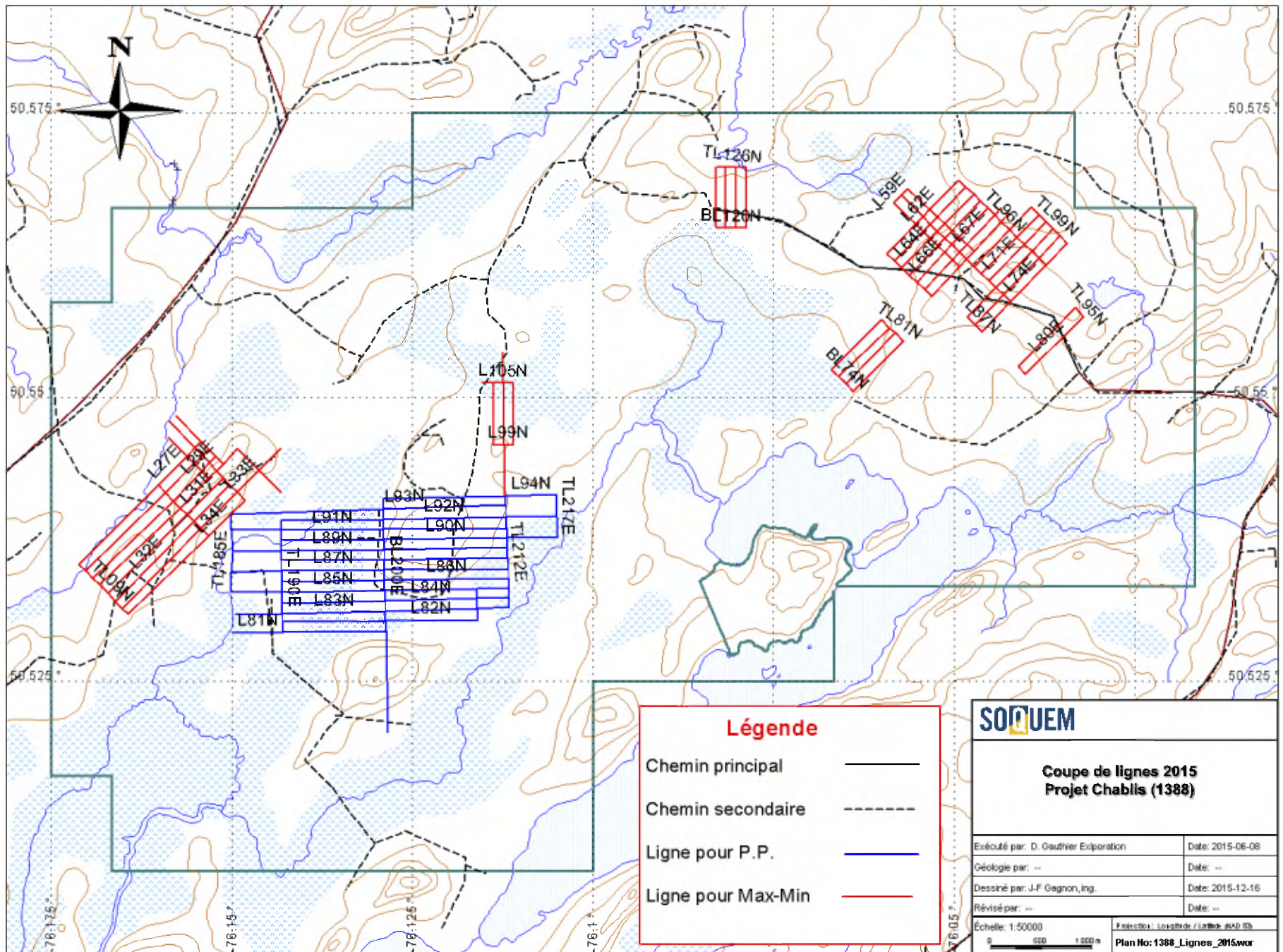


Figure 5 Lignes coupées

7.2 Camp

Un camp d'exploration pouvant loger 16 personnes maximum a été monté sur le site de l'ancien camp Chensagi, au km 90 du chemin forestier 8 000. Le camp était constitué d'une tente-cuisine, une tente entrepôt-bureau, une roulotte à quatre chambres doubles avec des douches, deux cabinets de toilette au compost, quatre dortoirs doubles séparés, ainsi qu'une génératrice sur remorque. Le camp a été en fonction du 8 juin 2015 au 6 août 2015. Une cuisinière et un homme de camp ont été fournis par Cuisine VB Ltée.

7.3 Cartographie

Les travaux de cartographie se sont déroulés du 2 juillet au 6 août 2015. Les personnes suivantes ont participé à ces travaux : Jean-François Gagnon, ing., Vincent Raymond, étudiant en géologie, Marilynne Adam, géologue stagiaire, Jessie Villeneuve, étudiante en génie géologique et Alexandre Munger, étudiant en génie géologique. Généralement, les travaux se sont faits par deux équipes de deux personnes, et la cinquième personne était affectée, en alternance avec les autres, aux projets Chensagi et Nottaway, sur lesquels se déroulaient des travaux simultanément. Les certificats de qualification sont à l'annexe 1.

Les cibles visées par la cartographie étaient les nouvelles anomalies de MaxMin et de polarisation provoquée des levés de 2015 dans les lignes coupées. Du plus, certaines traverses ont été faites sur des hauts magnétiques ainsi que sur des lambeaux d'amphibolites répertoriées par le MERN.

La cartographie géologique fut orientée pour expliquer la nature géologique des cibles visitées (anomalie magnétique, de chargeabilité ou EM) et leur potentiel économique. Les équipes de deux personnes utilisaient un Beep Mat et du matériel d'échantillonnage (masse, ciseau, pelle, etc.). Dans la mesure du possible, chaque affleurement était décrit le long des cheminements et de façon plus systématique dans le secteur des cibles. Tout affleurement présentant des caractéristiques distinctives ou contenant de la minéralisation ou altération furent échantillonnés. Les blocs erratiques ont été examinés et échantillonnés lorsque ceux-ci présentaient des altérations ou contenaient des sulfures. Une zone d'un rayon de 25 mètres autour des cibles EM a été quadrillée au Beep Mat et chaque conducteur détecté fut exposé par tranchée ou par décapage manuel. Cent soixante-huit affleurements et 14 blocs erratiques ont été décrits sur lesquels 131 échantillons ont été prélevés et analysés pour l'or, l'argent, le cuivre et le zinc, en plus de 40 autres éléments. Trois échantillons ont été analysés pour le platine et le palladium en plus. La légende géologique est à l'annexe 2, les descriptions géologiques sont à l'annexe 3 et la liste des échantillons est à l'annexe 4. La localisation des affleurements, blocs échantillonnés et échantillons est présentée sur le plan en pochette.

7.4 Résultats

Les résultats de la géophysique faisant l'objet d'un rapport séparé, les résultats qui en découlent ne seront pas décrits dans ce rapport. Les résultats présentés proviennent donc essentiellement de la cartographie.

7.4.1 Grille A

La partie nord-est de cette grille avait déjà été couverte à l'automne 2014. Quelques affleurements contenant de la minéralisation en pyrrhotite et en pyrite ont toutefois été visités en 2015 dans cette partie. Ces minéralisations ont bien été identifiées avec le SkyTEM et le MaxMin.

Dans la partie sud-ouest, une anomalie EM nord-sud a été révélée par le MaxMin. Cette anomalie correspond à une fosse topographique remplie partiellement par des sédiments argileux conducteurs. D'ailleurs, le Beep Mat réagissait faiblement mais en continu sur toute la largeur de la fosse. Plus au sud sur la grille, un horizon millimétrique à centimétrique de chalcopryrite et de pyrite subhorizontal, qui avait été rainuré en 2014, a été revisité et échantillonné. L'affleurement a aussi été agrandi. Cette minéralisation correspond à une anomalie SkyTEM, mais est décalée par rapport à une faible anomalie MaxMin. Il est possible que l'attitude horizontale engendre ce décalage.

7.4.2 Grille B

La grille B est centrée sur l'indice JFO. La majeure partie de la grille a fait l'objet du levé de polarisation provoquée, tandis qu'une sous-grille au nord-est a été levée au MaxMin.

Les anomalies électromagnétiques de la sous-grille du nord-est n'ont pas pu être expliquées par la cartographie. Aussi, ces anomalies sont en bordure de marécages et il est possible qu'elles soient causées par des argiles conductrices.

Par contre, deux anomalies du levé de polarisation provoquée ont pu être expliquées. La première (PP-3) est plutôt faible et correspond à l'indice de cuivre. La deuxième (PP-6) est faible aussi et correspond à des enclaves d'amphibolites/diorites avec de la pyrrhotite disséminée. Les anomalies PP-2 et PP-4 n'ont pu être expliquées par la cartographie faute d'affleurements, mais restent des cibles d'exploration étant donné la proximité avec l'indice de cuivre.

7.4.3 Grille C

Il y a deux anomalies MaxMin sur la grille C. Celles-ci sont très bien expliquées par des horizons centimétriques à décimétriques minéralisés en pyrrhotite et pyrite dans des paragneiss. D'ailleurs, c'est dans ces zones minéralisées que les plus hautes teneurs en or ont été trouvées lors de la campagne de 2015 (jusqu'à 0,4 g/t Au en échantillon choisi). Le paragneiss se présente avec un pendage très faible et ondulant de sa foliation, et est surmonté généralement par des veines de quartz et feldspath, possiblement des leucosomes (le dessus des affleurements). Un linéament topographique nord-sud étroit représente possiblement une faille.

7.4.4 Grille D

Sur cette grille, le MaxMin a répété les anomalies du SkyTEM. Toute la grille a été couverte avec une attention particulière au nez de plis qui avait été préalablement interprété. La géologie dans ce secteur est très similaire à celle de la grille C et la minéralisation est du même type, avec des pendages faibles et ondulants. L'interprétation a donc été modifiée : la courbe de l'anomalie EM ne serait qu'un effet topographique (présence d'une colline) jumelé avec le faible pendage de la foliation générale de la roche, et non un nez de pli.

7.4.5 Grille E

L'anomalie SkyTEM n'a pas été répétée par le levé MaxMin. Il y a cependant une faible anomalie interprétée par les géophysiciens comme de l'argile conductrice. Étant donné que cette anomalie est dans une tourbière, elle n'a pas été visitée.

7.4.6 Grille F

L'anomalie SkyTEM a pu être détectée par le MaxMin, mais n'a pas été observée en affleurement.

8.0 Préparation, analyses et sécurité des échantillons

8.1 Échantillonnage et analyses

Les échantillons prélevés sont des échantillons choisis, sélectionnés selon les lithologies observées. Quelques fragments prélevés dans un rayon d'un mètre dans une même lithologie étaient disposés dans des sacs numérotés et étiquetés. Les fragments étaient prélevés à l'aide d'une masse et d'un ciseau à froid, en tentant, dans la mesure du possible de ramasser le plus de roche fraîche. La quantité de matériel par échantillon correspond à environ 1,3 kg.

Les échantillons ont été envoyés au laboratoire AGAT de Mississauga via leur point de cueillette à Val-d'Or. Les groupes d'analyses suivants ont été utilisés : 131 échantillons dans le groupe SOQVAL-1 (Au, Ag, Cu, Zn + 40 éléments) et trois échantillons dans le groupe SOQVAL-2 (Au, Ag, Cu, Zn, Pt, Pd + 40 éléments). Les pulpes ont été analysées avec une finition ICP-OES, et une digestion par pyroanalyse (Au, Pt, Pd), aqua regia (métaux de base haute teneur) et quatre acides (tous les autres éléments en traces). Les analyses incluant le platine et le palladium étaient demandées lorsque la roche était composée d'une proportion significative de minéraux mafiques. Les certificats d'analyses sont à l'annexe 5 tandis que l'annexe 6 présente en détail les paramètres de préparation et d'analyses des échantillons.

8.2 Assurance-qualité et contrôle de la qualité

En plus du contrôle de la qualité interne au laboratoire, SOQUEM INC. demande les mesures suivantes :

Pour les échantillons dont la teneur en or, platine ou palladium est entre 0,5 et 2 g/t, il y a une reprise sur la pulpe et une reprise sur le rejet qui sont analysées par pyroanalyse avec finition ICP-OES. Si la teneur en or, platine ou palladium dépasse 2 g/t, la reprise sur la pulpe et le rejet sont analysés avec une finition gravimétrique.

Les échantillons qui présentaient des teneurs supérieures à 20,0 g/t en Ag, sont réanalysés systématiquement à partir de la pulpe et du rejet.

Les échantillons qui présentaient des teneurs supérieures à 0,5 % en Cu, Mo, Zn ou Ni, ont été réanalysés systématiquement à partir de la pulpe et du rejet.

De plus, SOQUEM INC. insère deux blancs de méthode, ainsi que deux standards commerciaux par bloc de 50 échantillons, pour un total de huit blancs et sept standards pour le programme d'exploration ci-présenté. Les blancs sont insérés préférentiellement près des échantillons des zones minéralisées et les standards sont insérés au hasard. Les standards utilisés sont le CM-19 et ME-1306 de CDN.

L'insertion de blancs a permis de repérer une contamination sur le certificat 15O004177. De plus, la plupart des résultats des blancs pour le cuivre et le zinc dépassent légèrement la limite de détection, mais restent sous la barre des 10 ppm. Ces résultats relèvent plus du bruit de fond que de contamination. Les limites de détection pour le zinc et le cuivre sont de 0,5 ppm, tandis que celle de l'or est de 1 ppb.

L'insertion de standards montre des excellentes répétabilités et précisions pour l'or. La précision et la répétabilité sont bonnes pour le cuivre tandis qu'un échantillon obtient un échec en précision dans le cas du zinc. La précision de l'argent semble bonne, mais la répétabilité n'a pu être compilée en raison de données manquantes. En effet, deux résultats d'argent donnent une valeur plus grande que la limite de détection supérieure (100 ppm) et n'ont pas été confirmés par une autre méthode, de sorte que la comparaison de la répétabilité pour l'argent n'est pas valide.

Le laboratoire a été avisé des problématiques observées, mais aucun certificat n'a été repris. Les faibles valeurs en métaux obtenues lors de la campagne et l'état d'avancement du projet justifient cette décision. L'annexe 7 présente les graphiques relatifs au contrôle de la qualité.

9.0 Interprétation et conclusion

9.1 Interprétation

Les observations de terrain ont permis de constater que le massif de Nipukatasi est plus complexe que prévu. Même si le grade métamorphique reste au niveau des amphibolites, les zones de migmatisation sont nombreuses et la roche passe régulièrement du granite massif au granite avec injections pegmatitiques, au gneiss granitique. De plus, des enclaves de paragneiss partiellement digérées se retrouvent partout à l'échelle de la propriété, de même que quelques enclaves d'amphibolites. Malgré tout, trois domaines ont pu être identifiés.

C'est dans le domaine le plus occidental (grilles A et B) que les granites les plus massifs se retrouvent, tel que l'encaissant de l'indice JFO. Les granites y sont régulièrement persillés d'injections pegmatitiques, mais les textures gneissiques y sont rares. Les enclaves de paragneiss, bien que souvent partiellement digérés, présentent des contacts plus nets et sont plus faciles à identifier. Les minéralisations trouvées, surtout de la pyrrhotite, sont associées à ces enclaves, ce qui inclut l'indice de cuivre JFO. Les mesures structurales ne sont pas constantes dans l'espace, comme on peut s'attendre d'une intrusion massive avec des enclaves. La source des enclaves cuprifères reste donc inconnue. Elle pourrait avoir été digérée par l'intrusion, érodée par les glaciers, ou elle pourrait être enfouie plus profondément, sous le massif granitique.

Le domaine au nord-est de la propriété présente beaucoup plus de paragneiss en volume que dans l'ouest. Dans le paragneiss, des horizons centimétriques à décimétriques de pyrrhotite/pyrite disséminées à semi-massives (Photo 2) expliquent aisément les anomalies SkyTEM et MaxMin. Ils ont d'ailleurs été repérés au Beep Mat. Malgré que les roches granitiques soient très présentes, les structures principales des paragneiss sont plus constantes que dans l'ouest, avec des pendages subhorizontaux ondulants (Photo 1), ce qui est particulièrement clair dans la série d'affleurements au nord de la grille C. Cette consistance des structures avec le nombre d'affleurements de paragneiss suggère qu'une unité principale allant de la grille C à la grille D au minimum est présente, et que cette unité ne fait pas partie du massif de Nipukatasi. Cette hypothèse est corroborée par une anomalie en forme de pli, continue sur plus d'un kilomètre, qui détone par rapport aux autres anomalies EM du secteur. La forme de pli ne serait qu'un effet topographique relié au faible pendage et à une colline à cet endroit. Les unités de granites dans ce secteur seraient alors des granites d'anatexie que l'on retrouve régulièrement sur les hauts topographiques en raison de leur dureté plus élevée.

Le troisième domaine, plus au sud-est, est constitué de roches plus déformées et fondues que les deux autres domaines. Les gneiss quartzo-feldspathiques, gneiss granitiques et les migmatites sont caractéristiques de ce secteur, qui va de l'est de la grille F au lac de la Bétulaie. Aucune minéralisation n'a été observée dans ce domaine qui ne présentait pas d'anomalies EM.



Photo 1 Paragneiss horizontal

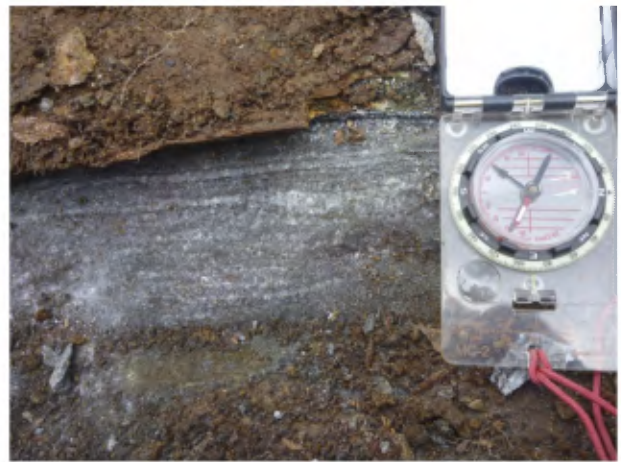


Photo 2 Paragneiss minéralisé

9.2 Conclusion

Dans un premier temps, les levés de géophysique ont obtenu un certain succès. En effet, le levé MaxMin a permis de préciser la position de plusieurs anomalies EM qui avaient été découvertes lors du levé SkyTEM de 2014. Ces anomalies ont donc pu être visitées sur le terrain. Ce levé a aussi pu confirmer que certaines anomalies étaient causées par du mort-terrain très conducteur (argiles bleues), ce qui a permis de dégrossir le travail de cartographie à accomplir. Le levé de polarisation provoquée, quant à lui, a aussi permis de préciser quelques anomalies EM de 2014, en plus de découvrir quelques autres anomalies, entre autres, celle qui correspond à l'indice de cuivre JFO.

La cartographie dans le secteur ouest (grilles A et B) n'a pas permis de découvrir de nouvelles minéralisations. Celles qui ont été décrites avaient déjà été observées à proximité en 2014. En outre, aucune minéralisation du même type que celle de l'indice JFO n'a pu être découverte. Certains affleurements de granite avec des enclaves de paragneiss ont été observés, mais la minéralisation cuprifère n'y était pas. Cependant, quelques anomalies de chargeabilité intéressantes (PP-2 et PP-4) ont été visitées sans trouver d'affleurements et restent prospectives.

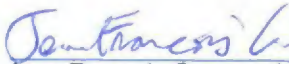
La cartographie dans le secteur est (grilles C, D, E et F) a été bien servie par la géophysique. Plusieurs anomalies EM ont été expliquées par des horizons minéralisés. Ces minéralisations se sont toutefois avérées stériles en métaux économiques, à l'exception de trois échantillons entre 200 et 500 ppb d'or sur la grille C.


10.0 Recommandations

Dans le secteur est (grilles C, D, E et F), les anomalies EM ont été expliquées et les seules teneurs sub-économiques à économiques relevées en métaux de base ou précieux se trouvent dans le secteur nord de la grille C, où trois échantillons d'une teneur de 223, 343 et 464 ppb Au respectivement ont été prélevés. Selon l'auteur, ces teneurs ne justifient pas à elles seules la poursuite de l'exploration dans ce secteur de la propriété.

La provenance des enclaves minéralisées en chalcopryrite de l'indice JFO reste la question à élucider sur la propriété Chablis. Pour ce faire, une étude des lames minces provenant de l'indice est recommandée afin de déterminer la pétrogénèse et la signature minéralogique et/ou chimique des enclaves minéralisées par rapport à celles qui ne le sont pas. Il serait alors possible de trouver un traceur qui définirait un vecteur d'exploration. Il n'est pas encore possible de positionner des forages sur l'indice en raison de la variabilité des structures des enclaves.

À Chibougamau, le 15 décembre 2015


Jean-François Gagnon, ing.



Références

Bandyayera, D, Morin, R. 1999. L'Indice du lac Rocher (découverte de Nuinsco Resources Ltd) et le potentiel en nickel-cuivre de la région de Frotet-Evans. MNRF, 13 pages; Pro 99-03.

Bandyayera, D, Sharma. 2001. Minéralisations en Ni-Cu±egp dans la bande volcano-sédimentaire de Frotet-Evans (SNRC 32K), 74 pages; MB 2001-06.

Beaumier, M, Kirouac, F. 1996. Série de cartes géochimiques couleur. Échantillonnage des sédiments de lac. Région du lac Evans (SRNC 32K). MNRF, 33 pages; MB 96-23.

Boily, M. 1998. Géochimie des assemblages volcaniques de la portion occidentale de la ceinture volcano-sédimentaire de Frotet-Evans (CVFE). MNRF, 70 pages; MB 98-08.

Brisson, H., Gosselin, C., Fallara, F., Gaulin, R., Dion, D.J., 1998. Géologie de la région du lac Rocher (32K/09). Ministère des Ressources naturelles du Québec, 24 pages; RG 98-05.

D'Amours, I, Intissar, R. 2012. Levé magnétique aéroporté dans le secteur du lac Evans, Baie-James. MNRF, 8 pages et autres données numériques; DP 2012-01.

Davis, W.J. Machado, N. Gariépy, C. Sawyer, E.W. Benn, K., 1995. U-Pb geochronology of the Opatica tonalite-gneiss belt and its relationship to the Abitibi greenstone belt, Superior Province, Québec. *Journal Canadien des Sciences de la Terre*; volume 32, pages 113-127.

Dion, D.J, Lefebvre, D L. 1998. Données numériques (profils) des levés géophysiques aéroportés du Québec – 32K, MNRF, données numériques; DP 96-07.

Franconi, A. 1971. Géochimie des sédiments de ruisseaux : Région du lac Rocher, territoire d'Abitibi. Ministère des Richesses naturelles, Québec, rapport préliminaire, 7 pages, 1 carte (1/31 680); DP 209.

Franconi, A. 1972. Géologie de la région du lac Rocher, territoire d'Abitibi. Ministère des Richesses naturelles, Québec, rapport préliminaire, 13 pages, 1 carte (1/31 680); DP 060.

Franconi, A. 1974. Géologie de la moitié ouest de la bande volcano-sédimentaire Frotet-Evans, territoire d'Abitibi. Ministère des Richesses naturelles, Québec, rapport intérimaire, 141 pages, 5 cartes (1/31 680, 1/125 000); DP 265.

Geotech Ltd. 2011. Report on a helicopter-borne versatile time domain electromagnetic (VTEM) and aeromagnetic survey (Remparts, Wildcats, Huskies and Tigres Blocks). For Canadian Royalties Inc. 111 pages, 26 plans; GM 65701.

Houle, P. 2011. L'odyssée minière du territoire de la Baie-James. Ressources naturelles et Faune, 27 pages.

Jébrak, M. Marcoux, E. 2008. Géologie des ressources minérales. Gouvernement du Québec, Ressources naturelles et Faune, Géologie Québec, 667 p.; MM 2008-01.

Perreault, S., D'Amboise, P., Rochefort, G., 2015. Rapport d'exploration, été 2014, propriété Chablis (1388), Feuillet SNRC 32K/09, SOQUEM INC., 47 pages.

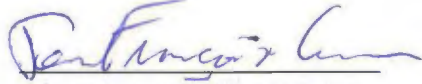
ANNEXE 1 CERTIFICAT DE QUALIFICATION

CERTIFICAT DE QUALIFICATION

La présente est pour certifier que moi, Jean-François Gagnon, domicilié au 131, rue Bidgood, à Chibougamau, Québec, G8P 2Y4 :

- Je suis présentement à l'emploi de SOQUEM INC. ayant son siège social au 600, avenue Centrale, Val-d'Or, Québec, J9P 1P8 à titre d'ingénieur chef de projet. Je suis à l'emploi de SOQUEM depuis janvier 2007 et mon lieu d'assignation est le bureau régional de Chibougamau au 462 3^e Rue, Chibougamau, Québec, G8P 1N7.
- Je travaille en exploration minière au Québec, à plein temps, depuis novembre 2004.
- Je suis diplômé de l'Université Laval à Québec (Bachelier en génie géologique) en 2004.
- Je suis membre de l'Ordre des Ingénieurs du Québec à titre d'ingénieur (#136888).
- Ce rapport profite de mes années d'expérience en exploration minière et à titre d'ingénieur au Québec.
- En tant qu'ingénieur, j'ai été impliqué dans le projet Chablis durant la période de travaux de terrain du 19 juin au 24 juillet 2014, et à titre de chargé de projet depuis avril 2015.
- Je n'ai pas, directement ou indirectement, reçu ou espère recevoir un intérêt, direct ou indirect, dans la propriété.

À Chibougamau
Le 16 décembre 2015


Jean-François Gagnon, ing.

ANNEXE 2 LÉGENDES

| Code | Minéral | Code | Minéral | Code | Minéral |
|-------------|-------------------|-------------|---------------------|-------------|-----------------------|
| AC | Actinote | FL | Fluorite (fluorine) | OF | Oxyde de fer |
| AE | Agate | FO | Forstérite | OH | Kaersutite |
| AB | Albite | FR | Franklinite | PE | Paragonite |
| AL | Allanite | FC | Fuschite | PB | Pechblende |
| AI | Amazonite | GH | Gahnite | PD | Pentlandite |
| AH | Améthyste | GL | Galène | VP | Perlite |
| AO | Amiante | GT | Gédrite | PR | Perthite |
| AM | Amphibole | GC | Glaucophane | PH | Phlogopite |
| AD | Andalousite | GO | Goethite | PC | Pistachite |
| AA | Andésine | GP | Graphite | AR | Picrolite |
| AY | Anhydrite | GR | Grenat | PG | Plagioclase |
| AK | Ankérite | GA | Grenat-almandin | PN | Prehnite |
| AN | Anorthite | GD | Grenat-andratite | PP | Pumpellyite |
| AT | Anthophyllite | GG | Grenat-grossulaire | PY | Pyrite |
| AR | Antigorite | GY | Grenat-pyrope | PM | Pyrochlore |
| AP | Apatite | GS | Grenat-spessartine | PS | Pyrolusite |
| Ag | Argent natif | GU | Grenat-uvarovite | PL | Pyrophyllite |
| OA | Aragonite | GN | Grunérite | PX | Pyroxène |
| AS | Arsénopyrite | GE | Gypse | PO | Pyrrhotite |
| AG | Augite | HL | Halite | QZ | Quartz |
| AX | Axinite | HM | Hématite | QB | Quartz bleu |
| AZ | Azurite | HC | Hercynite | RD | Rhodochrosite |
| BY | Baddeleyite | HK | Holmquistite | RN | Rhodonite |
| BR | Barytine | HB | Hornblende | RB | Riebeckite |
| BA | Bastnaesite | ZH | Hydrozincite | RL | Rutile |
| BL | Béryl | HP | Hypersthène | SA | Sanidine |
| BO | Biotite | IG | Iddingsite | SH | Sapphirine |
| BN | Bornite | IM | Ilménite | SC | Scapolite |
| BC | Brucite | JA | Jade | SW | Scheelite |
| CQ | Calcédoine | JP | Jaspe | SR | Séricite |
| CC | Calcite | KL | Kaolinite | ST | Serpentine |
| CB | Carbonate | KP | Kornerupine | SD | Sidérite |
| ZB | Chabazite | LB | Labradorite | SM | Sillimanite |
| CT | Chalcocite | LS | Lawsonite | TW | Smaltite (smaltine) |
| CP | Chalcopyrite | LP | Lépidolite | ZO | Smithsonite |
| CH | Chert | LC | Leucite | SS | Sodalite |
| CL | Chlorite | LX | Leucoxène | HS | Spéculaireite |
| CR | Chloritoïde | LM | Limonite | SP | Sphalérite |
| HR | Chondrodite | MN | Magnésite | SN | Sphène/Titanite |
| CM | Chromite | MG | Magnétite | SL | Spinelle |
| CY | Chrysocolle | MC | Malachite | SO | Spodumène |
| CY | Chrysotile | MS | Marcassite | SU | Staurotide |
| CX | Clinopyroxène | MT | Mariposite | TS | Stéatite |
| CZ | Clinozoïsite | MP | Mésoperthite | SB | Stibine/Stibinite |
| NB | Columbite/Niobite | MI | Mica | HD | Stilbite (heulandite) |

| Code | Minéral | Code | Minéral | Code | Minéral |
|-------------|----------------------|-------------|----------------------|-------------|----------------|
| TO | Columbo-tantalite | ML | Microcline | SE | Stilpnomélane |
| CD | Cordiérite | NS | Millerite | SF | Sulfures |
| CN | Corindon | MA | Minéraux argileux | KC | Sylvite |
| CV | Covélite | MX | Minéraux lourds | TC | Talc |
| CF | Cubanite | MF | Minéraux mafiques | TN | Tantalite |
| Cu | Cuivre natif | OP | Minéraux opaques | TZ | Topaze |
| CG | Cummingtonite | MR | Minéraux radioactifs | TL | Tourmaline |
| CU | Cuprite | MO | Molybdénite | TM | Trémolite |
| DP | Diopside | MB | Molybdite | UR | Uraninite |
| KN | Disthène/Kyanite | MZ | Monazite | UP | Uranophane |
| DM | Dolomite | MV | Muscovite | VR | Vermiculite |
| ES | Enstatite | NP | Néphéline | WS | Wilsonite |
| EP | Épidote | OC | Ocre | WF | Wolframite |
| ER | Erythrite | OG | Oligoclase | WL | Wollastonite |
| FA | Fayalite | OV | Olivine | ZL | Zéolite |
| FP | Feldspath | Au | Or natif | ZN | Zincite |
| FK | Feldspath potassique | OR | Orthoclase | ZC | Zircon |
| FD | Feldspathoïde | OX | Orthopyroxène | ZS | Zoïsité |
| FB | Fibrolite | | | | |

| Code | Roche | Code | Roche |
|-------------|---|-------------|--|
| I1 | Roche intrusive felsique | T1 | Cataclasite |
| I1A | Granite à FP alcalin | T1A | Brèche de faille |
| I1B | Granite | T1B | Microbrèche de faille |
| I1C | Granodiorite | T1C | Gouge de faille |
| I1D | Tonalite | T1D | Pseudotachylite |
| I1E | Trondhjémite (MF < 10%) | T1E | Myololithénite |
| I1F | Aplite | T1F | Brèche d'impact |
| I1G | Pegmatite | T1G | Impactite |
| I1I | Granitoïde riche en QZ | T2 | Mylonite |
| I1J | Quartzolite (silexite) | T2A | Protomylonite |
| I1K | Alaskite / Plagiogranite (MF < 10%) | T2B | Orthomylonite |
| I1L | Syénogranite | T2C | Ultramylonite |
| I1M | Monzogranite | T2D | Phyllonite |
| I1O | Granite à FP alcalin avec hypersthène | T2E | Blastomylonite |
| I1P | Granite à hypersthène (charnockite) | T3A | Gneiss droit (straight gneiss) |
| I1Q | Syénogranite à hypersthène | T3B | Gneiss porphyroclastique |
| I1R | Monzogranite à hypersthène (farsundite) | T3C | Gneiss régulier |
| I1S | Granodiorite à hypersthène | T3D | Gneiss irrégulier |
| I1T | Tonalite à hypersthène (enderbite) | T4 | Brèche tectonique |
| I2 | Roche intrusive intermédiaire | T4A | Mélange tectonique |
| I2A | Syénite quartzifère à FP alcalin | T4B | Brèche tectonique à matrice de marbre |
| I2B | Syénite à FP alcalin | | |
| I2BR | Syénite foïdifière à FP alcalin | R1 | Veine |
| I2C | Syénite quartzifère à FP alcalin | F1 | Sulfures massifs (>65 % SF) |
| I2D | Syénite | F2 | Sulfures semi-massifs (35-65 % SF) |
| I2DF | Syénite foïdique | | |
| I2DR | Syénite foïdifière | A1 | Altérite |
| I2E | Monzonite quartzifère | A2 | Régolite/paléorégolite |
| I2F | Monzonite | A3 | Chapeau de fer |
| I2FR | Monzonite foïdifière | A4 | Surface encroutée (duricrust) |
| I2G | Monzodiorite quartzifère | | |
| I2H | Monzodiorite | S | Sédiments |
| I2HF | Monzodiorite foïdique | S1 | Grès (terme comprenant arénites et wackes) |
| I2HR | Monzodiorite foïdifière | S1A | Grès quartzitique |
| I2I | Diorite quartzifère | S1B | Grès feldspathique |
| I2J | Diorite | S1C | Arkose |
| I2JF | Diorite foïdique | S1D | Grès arkosique |
| I2JR | Diorite foïdifière | S1E | Grès lithique |
| I2KF | Monzosyénite foïdique | S1F | Grès lithique subfeldspathique |
| I2M | Syénite à FP alcalin avec hypersthène | S2 | Arénite |
| I2N | Syénite à hypersthène | S2A | Arénite quartzitique |
| I2O | Monzonite à hypersthène (mangérite) | S2B | Subarkose |
| I2P | Monzodiorite à hypersthène (jotunite) | S2C | Arkose |
| I2Q | Diorite à hypersthène | S2D | Arénite arkosique |
| I3 | Roche intrusive mafique | S2E | Arénite lithique |
| I3A | Gabbro | S2F | Sublitharénite |
| I3AF | Gabbro foïdique | S3 | Wacke |
| I3AR | Gabbro foïdifière | S3A | Wacke quartzitique |

| Code | Roche | Code | Roche |
|-------------|--|-------------|---|
| I3B | Diabase/Dolérite | S3C | wacke arkosique |
| I3C | Monzogabbro | S3D | Wacke feldspathique |
| I3CF | Monzogabbro foïdique | S3E | Wacke lithique |
| I3CQ | Monzogabbro quartzifère | S4 | Conglomérat |
| I3CR | Monzogabbro foïdifère | S4A | Conglomérat monogénique |
| I3G | Anorthosite | S4B | Conglomérat monogénique à fragments jointifs |
| I3GQ | Anorthosite quartzifère | S4C | Conglomérat monogénique à fragments flottants |
| I3GR | Anorthosite foïdifère | S4D | Conglomérat polygénique |
| I3J | Norite | S4E | Conglomérat polygénique à fragments jointifs |
| I3K | Gabbro à olivine | S4F | Conglomérat polygénique à fragments flottants |
| I3L | Norite à olivine | S4G | Conglomérat intraformationnel |
| I3N | Troctolite | S4H | Conglomérat intraformationnel à fragments jointifs |
| I3O | Lamprophyre mafique | S4I | Conglomérat intraformationnel à fragments flottants |
| I3P | Leuconorite | S4J | Tillite |
| I3Q | Gabbronorite à olivine | S5 | Brèche |
| I3R | Gabbronorite à olivine | S5A | Brèche monogénique |
| I3T | Anorthosite à hypersthène | S5B | Brèche monogénique à fragments jointifs |
| I4 | Roche intrusive ultramafique/ ultrabasique | S5C | Brèche monogénique à fragments flottants |
| I4A | Hornblendite | S5D | Brèche polygénique |
| I4B | Pyroxénite | S5E | Brèche polygénique à fragments jointifs |
| I4C | Clinopyroxénite | S5F | Brèche polygénique à fragments flottants |
| I4D | Webstérite | S5G | Brèche intraformationnel |
| I4E | Orthopyroxénite | S5H | Brèche intraformationnel à fragments jointifs |
| I4F | Clinopyroxénite | S5I | Brèche intraformationnel à fragments flottants |
| I4G | Webstérite à olivine | S6 | Mudrock |
| I4H | Orthopyroxénite à olivine | S6A | Siltstone |
| I4I | Péridotite | S6B | Siltshale |
| I4J | Wehrlite | S6C | Siltslate |
| I4K | Lherzolite | S6D | Mudstone |
| I4L | Harzburgite | S6E | Mudshale |
| I4M | Dunite | S6F | Mudslate |
| I4O | Lamprophyre ultramafique | S6G | Claystone/argilite |
| I4P | Kimberlite | S6H | Clayshale |
| I4Q | Carbonatite | S6I | Clayslate |
| I4QS | Silicocarbonatite | S7 | Calcaire |
| I4R | Lamproïte | S7A | Calcilutite |
| I4S | Foïdolite | S7B | Calcsiltite |
| I4SI | Ijolite | S7C | Calcarénite |
| I4SM | Melteigite | S7D | Calcirudite |
| I4SU | Urtite | S7E | Mudstone |
| I4T | Méllilitolite | S7F | Wackestone |
| I4Z | Roche ultramafique à >90% de mx oxydés | S7G | Packstone |
| I4ZC | Chromitite | S7H | Grainstone |
| I4ZI | Ilménitite | S7I | Boundstone |
| I4ZK | Minerai de fer de type Kiruna | S7J | Bafflestone |
| I4ZM | Magnétitite | S7K | Rudstone |
| I4ZN | Nelsonite | S8 | Dolomie |
| I4ZR | Rutilite | S8A | Dololutite |

| Code | Roche | Code | Roche |
|-------------|--|-------------|-------------------------------|
| I4ZU | Cumberlandite | S8B | Dolosiltite |
| V1 | Roche volcanique felsique | S8C | Dolarénite |
| V1A | Rhyolite à FP alcalin | S8D | Dolorudite |
| V1B | Rhyolite à FP alcalin | S9 | Formation de fer |
| V1C | Rhyodacite | S9A | Formation de fer indéterminée |
| V1D | Dacite | S9B | Formation de fer oxydée |
| V1E | Trachydacite | S9C | Formation de fer carbonatée |
| V2 | Roche volcanique intermédiaire | S9D | Formation de fer silicatée |
| V2A | Trachyte quartzifère à FP alcalin | S9E | Formation de fer sulfurée |
| V2B | Trachyte à FP alcalin | S10 | Chert |
| V2BR | Trachite foïdifère à FP alcalin | S10A | Chert oxydé |
| V2C | Trachyte quartzifère | S10B | Chert carbonaté |
| V2D | Trachyte | S10C | Chert silicaté |
| V2DR | Trachite foïdifère | S10D | Chert sulfuré |
| V2E | Latite quartzifère | S10E | Chert graphiteux |
| V2F | Trachyandésite | S10F | Chert ferrugineux |
| V2FL | Latite | S10J | Jaspe (Jaspilite) |
| V2G | Phonolite | S11 | Exhalite |
| V2GT | Phonolite téphritique | S12 | Évaporite |
| V2J | Andésite | S12A | Halite |
| V2LR | Latite foïdifère | S12B | Sylvite |
| V3 | Roche volcanique mafique | S12C | Anhydrite |
| V3A | Basalte andésitique/andésite basaltique | S12D | Gypse |
| V3B | Basalte | S12E | Sulfate |
| V3D | Trachybasalte | S13 | Phosphorite |
| V3DK | Trachybasalte potassique | | |
| V3F | Basalte magnésien | | |
| V3G | Trachyandésite basaltique | | |
| V3H | Basanite | | |
| V3HP | Basanite phonolitique | | |
| V3I | Téphrite | | |
| V3J | Boninite | | |
| V3IP | Téphrite phonolitique | | |
| V4 | Roche volcanique ultramafique/ultrabasique | | |
| V4A | Komatiite (>18%MgO) | | |
| V4B | Komatiite pyroxénitique | | |
| V4C | Komatiite péridotitique | | |
| V4D | Komatiite dunitique | | |
| V4E | Meimechite | | |
| V4F | Méllilite | | |
| V4FO | Méllilite à olivine | | |
| V4G | Picrobasalte | | |
| V4H | Picrite | | |
| V4I | Foïdite | | |
| V4IN | Néphéline | | |
| V4IP | Foïdite phonolitique | | |
| V4IT | Foïdite téphritique | | |
| V4M | Roche ultramafique à méllilite | | |

| Code | Roche | Code | Roche |
|-------------|--|-------------|--------------|
| VTU | Tuf indifférencié | | |
| V1TU | Tuf felsique indifférencié | | |
| V2TU | Tuf intermédiaire indifférencié | | |
| V3TU | Tuf mafique indifférencié | | |
| VTX | Tuf à cristaux | | |
| V1TX | Tuf felsique à cristaux | | |
| V2TX | Tuf intermédiaire à cristaux | | |
| V3TX | Tuf mafique à cristaux | | |
| VTL | Tuf à lapilli | | |
| V1TL | Tuf felsique à lapilli | | |
| V2TL | Tuf intermédiaire à lapilli | | |
| V3TL | Tuf mafique à lapilli | | |
| VTM | Tuf à blocs | | |
| V1TM | Tuf felsique à blocs | | |
| V2TM | Tuf intermédiaire à blocs | | |
| V3TM | Tuf mafique à blocs | | |
| VTD | Tuf à cendres | | |
| V1TD | Tuf felsique à cendres | | |
| V2TD | Tuf intermédiaire à cendres | | |
| V3TD | Tuf mafique à cendre | | |
| VTC | Tuf cherteux | | |
| VTG | Tuf graphiteux | | |
| M1 | Gneiss | | |
| M2 | Gneiss rubané | | |
| M3 | Orthogneiss | | |
| M4 | Paragneiss | | |
| M5 | Gneiss quartzofeldspathique | | |
| M6 | Gneiss granitique | | |
| M7 | Granulite (gneiss granulitique) | | |
| M8 | Schiste | | |
| M9 | Orthoschiste | | |
| M10 | Paraschiste | | |
| M11 | Phyllade | | |
| M12 | Quartzite | | |
| M13 | Marbre (calcaire cristallin) | | |
| M14 | Roche calco silicatée | | |
| M15 | Roche métasomatiques (incluant skarn ou tactite) | | |
| M15A | Skarn | | |
| M15B | Rodingite | | |
| M15C | Listwaenite | | |
| M15D | Fénite | | |
| M15E | Greisen | | |
| M16 | Amphibolite | | |
| M17 | Éclogite | | |
| M18 | Cornéenne | | |
| M20 | Métatexite | | |
| M21 | Diatexite | | |
| M21A | Granite d'anatexie | | |

| Code | Roche | Code | Roche |
|-------------|--------------|-------------|--------------|
| M22 | Migmatite | | |
| M23 | Agmatite | | |
| M30 | Tourmalinite | | |
| M31 | Coticule | | |
| M32 | Serpentinite | | |

| Code | Texture/structure | Code | Texture/structure | Code | Texture/structure |
|-------------|--------------------------------------|-------------|--------------------------------------|-------------|-------------------------------|
| AC | Aciculaire | FX | Flûte déformée par surcharge | MN | Mylonitique |
| AD | Adcumulat | FT | Flûte ("flutecast") | MY | Myrmékite |
| AA | Affl. caractérisé par le plissement | FO | Folié(e) | NB | Nébulitique |
| AT | Agmatitique | FF | Fossilifère | NE | Nématoblastique |
| AL | Alaskitique | FA | Fracturé(e) | NS | Néosome |
| AE | Altéré | FC | Fractures radiales dans les coussins | NO | Nodulaire |
| AO | Amas arrondis | FG | Fragmenté(e) | NY | Noyaux |
| AI | Amas irréguliers | FW | Fragments allongés monogéniques | OC | Ocellaire |
| AB | Amiboïdal(e) | FU | Fragments allongés polygéniques | OE | Oeillé(e) |
| AM | Amygdalaire | FK | Fragments aplatis polygéniques | OI | Oikocryst (à) |
| AN | Anastomosé | FQ | Fragments aplatis monogéniques | OO | Oolitique |
| AR | Anti-rapakivi | RB | Framboïdal | OP | Ophitique |
| AP | Aphanitique | FR | Frites (en crayons) | OR | Orbiculaire |
| AS | Arborescent | GA | Galets (à) (64-256 mm) | OU | Orthocumulat |
| AU | Autoclastique | GE | Géode | PS | Paléosome |
| BA | Bancs (en) | GB | Gloméroblastique | PE | Paléosurface d'érosion |
| BM | Bandes de cimentation | GC | Gloméroclastique | PA | Panidiomorphe |
| BS | Basal(e) | GX | Glomérocrisllin(e) | PV | Patron d'interférence |
| BE | Birds eyes | GH | Gloméroporphyrrique | PG | Pegmatitique |
| BI | Biseau | NR | Gneiss à crayons | PL | Pellets (à) |
| BL | Blocs (à) | GD | Gneiss droit ("straight gneiss") | PD | Péloïdes |
| BU | Bordure/limite de coulée | GS | Gneissique | PT | Perlitique |
| BO | Boudinage | GW | Gradation densimétrique | LR | Peu serrés ("loosely packed") |
| BC | Brèche à coussins ordinaires isolées | VG | Gradation granulométrique | PH | Phanéritique |
| BG | Brèche à coussins peu serrés | GF | Grains fins | PI | Phénocristique |
| BF | Brèche à méga- coussins isolés | GG | Grains grossiers | PZ | Plis ptygmatisques |
| BB | Brèche à mini-coussins isolés | GM | Grains moyens | PU | Plutonique |
| BQ | Brèche de coulée/Brèche de lave | GT | Grains très fins | PC | Poecilitique |
| BH | Brèche de coussins désagrégés/brisés | GO | Grains très grossiers | PB | Poeciloblastique |
| BK | Brèche de coussins fragmentés | GR | Granoblastique | PM | Polygénique/"Polymictic" |
| BN | Brèche d'intrusion | GI | Granoclassement inverse | PN | Ponce |
| BP | Brèche pyroclastique | GJ | Granoclassement inv. suivi de normal | PP | Porphyre |
| BR | Bréchique/brèche | GK | Granoclassement normal suivi d'inv. | PO | Porphyrique |

| Code | Texture/structure | Code | Texture/structure | Code | Texture/structure |
|-------------|---|-------------|--------------------------|-------------|--|
| BT | Brèche tectonique | GN | Granoclassement normal | PQ | Porphyroblastique |
| BY | Broyage | GQ | Granoclastique | PJ | Porphyroclastique |
| PK | Cailloux alignés "pebble stringers" | GY | Granophyrique | PX | Prismatique |
| CA | Cailloux 4-64mm | GU | Granules (à) (2-4 mm) | PF | Protoclastique |
| CN | Cannelure | GP | Graphique | PR | Pyroclastique |
| CQ | Cataclastique | GV | Griffon | RO | Radeaux (en) |
| CE | Cendres (à) | HA | "Harrisitic" | RK | Rapakivique |
| VP | Centre volcanique/faciès proximal | HE | Hélicitique | RN | Remanié(e) |
| DN | Dyke nourricier | HU | Hétéradcumulat | RL | Remplacement |
| CV | Cheminée volcanique | HB | Hétéroblastique | RF | Réniforme |
| CH | Chenal | HK | Hétérogène | RE | Réticulé(e) |
| CG | Chenalisé | HG | Hétérogranulaire | RC | Rides de courant |
| CD | Chenal d'érosion (à) | HC | Holocristallin(e) | RP | Rides de plage |
| CS | Cisaillé(e) | HH | Holohyalin(e) | RM | "Rill mark(s)" |
| OL | Colloforme | HL | Hololeucocrate | RI | "Rip-up clast(s)" |
| JC | Columnaire/(joints en colonnes) | HM | Holomélanocrate | RQ | Ruban de quartz |
| CC | Concrétion(s) nodules | HQ | Homoéblastique | RU | Rubané(e) |
| CB | Convolution (à) | HJ | Homogène | RA | Rubanement concentrique |
| KO | Coronitique | HT | Homotactique | LJ | Rubanement de diffusion ("Liesegang rings") |
| CL | Coulée | HY | Hyaloclastites | RS | Rubanement symétrique |
| NC | Coulée coussinée à noyaux saussuritisés | HR | Hyaloclastites remaniées | RT | Rubanement tectonique |
| FZ | Coulée fragmentée | HP | Hyalopylitique | SD | Saccaroïdale (granoblastique) |
| CZ | Coulée massive à surface coussinée | TH | Hyalotuf | SC | Schisteux |
| NM | Coulées massives à noyaux saussuritisés | HD | Hypidiomorphe | SH | "Schlieren" |
| CZ | Coulée massive à surface coussinée | HX | Hypocristallin(e) | SR | Scoriacé(e) |
| CW | Coulées massives grenues | ID | Idiomorphe | SV | "Shatter" cone |
| CO | Coussiné (coussins) | IM | Imbrication de galets | SL | Éboulement "Slump" |
| XP | Coussins allongés | IP | Imprégnation | SM | Sommital(e) |
| FP | Coussins aplatés | IG | Intergranulaire | SP | Sphérolitique |
| MD | Coussins en molaire | IS | Intersertale | SX | Spinifex (à) |
| CF | Coussins fragmentés | IT | Intraclastes (à) | SW | Stockwerk |
| CI | Coussins isolés | IR | Intraformationnel(le) | SF | Stratifications entrecroisées de fosse |
| CJ | Coussins jointifs | IU | Intrusif(ve)/injection | SN | Stratifications/laminations obliques planaires |

| Code | Texture/structure | Code | Texture/structure | Code | Texture/structure |
|-------------|-----------------------------------|-------------|--------------------------------------|-------------|--|
| CT | Crescumulat | IC | Iridescence | SQ | Stratifications/laminations obliques tangentielles |
| CR | Cristalloblastique | IL | Isolés | ST | Startifié(e) |
| CX | Cristaux (en) | JC | Joints en colonnes | SG | "Steaky" mafique en trait |
| CP | Cryptalgair | KR | Karstique | SJ | Statoïde ("stratabound") |
| CU | Cumulat (à) | LU | Labrodorescence | SI | Strie |
| CM | Cumulite | LA | Laminaire (laminé) | SK | "Stromatic" |
| DS | Cupules et piliers | LC | Laminations convolutées | SU | Stromatolitique |
| CY | Cyclique | CP | Laminations cryptalgaires | ET | Structure de percement ("percement") |
| DT | Dendritique | LO | Laminations ondulantes | DW | Structure "Durchbewegung" |
| DG | Désagrégés/brisés | LL | Laminations ondulantes lenticulaires | PY | Structure en cocarde |
| DQ | Diabasique | LQ | Laminations obliques | PW | Structure en peigne ("comb") |
| DB | Diablastique | LP | Laminations parallèles | SY | Stylolites |
| DC | Diaclaté | TO | Lapillistone | SO | Subophitique |
| DE | Direction d'écoulement de coulée | LI | Lapilli (à) | SE | Surface d'érosion |
| DR | Direction de courant | LT | Lattes (en) | TA | Tabulaire |
| DD | Discordance | LV | Lave/coulée de lave | TT | Talus (de) |
| DI | Disséminé | LK | Lave en blocs | TE | Tectonique |
| DK | Drusique | LE | Lenticulaire | YL | Tectonite en L |
| DU | Dunes | LF | Lépidoblastique | YZ | Tectonite en L/S |
| SB | Échappement (structure d') | LX | Leucocrate | YS | Tectonite en S |
| ED | Écharde | LS | Leucosome | YH | Tectonite hétéroclastique |
| EO | Écoulement (structure d') | SA | Lité(e), stratifié(e) | YM | Tectonite homoclastique |
| EF | Effondrement (structure d') | AG | Lits amalgamés | TF | Traces fossiles (trous de vers, etc.) |
| EL | Empreinte de cannelure | LN | Lits d'épaisseur moyenne (10-25 cm) | TR | Trachytique/trachitoïde |
| EC | Empreinte de charge ("load cast") | LG | Lits épais (>25 cm) | TP | Trempe (de) |
| EI | Empreinte d'impact | LD | Lits lenticulaires | TM | Tuf à blocs |
| EN | Enclave | LM | Lits minces (1-10 cm) | TZ | Tuf à blocs et à lapilli |
| EM | Encroûtement ("crustification") | LB | Lobe | TD | Tuf à cendre |
| EE | En échelon | MA | Massif(ve) | TX | Tuf à cristaux |
| ES | En festons | MC | Mégacoussins (à) | TL | Tuf à lapilli |
| AY | En apophyse | MP | Mégaporphyrique | TY | Tuf à lapilli et à blocs |
| EP | Épiclastique | MX | Mélanocrate | TC | Tuf cherteux |
| EQ | Équi-granulaire | MS | Mélanosome | TG | Tuf graphiteux |

| <i>Code</i> | <i>Texture/structure</i> | <i>Code</i> | <i>Texture/structure</i> | <i>Code</i> | <i>Texture/structure</i> |
|-------------|-----------------------------|-------------|--------------------------|-------------|--------------------------|
| ER | Excroissances | MK | Mésocrate | TI | Tuf lithique |
| EX | Extrusif(ve) | MF | Mésocumulat | TS | Tuf soudé |
| FJ | Faille intre-formationnelle | ME | Métamorphisé | TU | Tufacé |
| FV | Faille synvolcanique | ML | Miarolitique | TB | Turbidite |
| FD | Fentes de dessiccation | MT | Micritique | VA | Variolitique |
| FM | Fente de refroidissement | MB | Microbrèche | VN | Veiné(e) |
| FI | Fibreux(se) | MI | Microlitique | VE | Vésiculaire |
| FB | Fibroblastique | MR | Microporphyrrique | VI | Vitreux(se) |
| FN | Filonien | MU | Minicoussins (à) | VO | Volcanique |
| FH | Filons-couches cogénétiques | MZ | Mobilisat | VC | Volcanoclastites |
| FE | Flammes | MM | Monogénique "Monomictic" | XB | Xénoblastique |
| FS | "Flaser" | MO | Masaïque | XM | Xénomorphe |
| FL | Fluidal (à structure) | | | | |

ANNEXE 3 DESCRIPTIONS DES AFFLEUREMENTS

Généralités

| Projet | Géologue | Date | # affleurement | Projection | Zone | Estant | Nordant | Environnement | Photo description | Dimension | Type (aff/bloc) | Angulosité | Qualité de l'affleurement |
|--------|----------|------------|----------------|------------|------|--------|---------|------------------|-----------------------|-------------------------|-----------------|-------------------|---------------------------|
| 1388 | AM | 2015-07-05 | 15-AM-001 | UTM NAD83 | 18 | 420611 | 5599001 | Ligne coupée | P1000023, 24,25,26,27 | 51-100 m ² | Affleurement | | Couvert de mousse |
| 1388 | AM | 2015-07-05 | 15-AM-002 | UTM NAD83 | 18 | 420599 | 5599007 | Bois | | 1-10 m ² | Affleurement | | Couvert de mousse |
| 1388 | AM | 2015-07-05 | 15-AM-003 | UTM NAD83 | 18 | 420487 | 5598870 | Bois | | <1 m ² | Bloc | 3 - Intermédiaire | Surface altérée |
| 1388 | AM | 2015-07-06 | 15-AM-004 | UTM NAD83 | 18 | 420721 | 5598601 | Ligne coupée | A, B, C | 11-50 m ² | Affleurement | | Couvert de mousse |
| 1388 | AM | 2015-07-06 | 15-AM-005 | UTM NAD83 | 18 | 420943 | 5598506 | Bois | A,B | 51-100 m ² | Affleurement | | Couvert de mousse |
| 1388 | AM | 2015-07-06 | 15-AM-006 | UTM NAD83 | 18 | 420845 | 5598398 | Bois | | 1-10 m ² | Affleurement | | Couvert de mousse |
| 1388 | AM | 2015-07-16 | 15-AM-007 | UTM NAD83 | 18 | 424627 | 5600364 | Bûché | | 1-10 m ² | Bloc | 3 - Intermédiaire | Couvert de mousse |
| 1388 | AM | 2015-07-16 | 15-AM-008 | UTM NAD83 | 18 | 424880 | 5600652 | Bûché | | 1-10 m ² | Bloc | 1 - anguleux | Couvert de mousse |
| 1388 | AM | 2015-07-17 | 15-AM-009 | UTM NAD83 | 18 | 426270 | 5601337 | Bûché | | 1-10 m ² | Affleurement | | Couvert de mousse |
| 1388 | AM | 2015-07-17 | 15-AM-010 | UTM NAD83 | 18 | 426364 | 5601439 | Bûché | | 101-1000 m ² | Affleurement | | Couvert de mousse |
| 1388 | AM | 2015-07-17 | 15-AM-011 | UTM NAD83 | 18 | 426665 | 5601864 | Ligne coupée | | 1-10 m ² | Affleurement | | Couvert de mousse |
| 1388 | AM | 2015-07-17 | 15-AM-012 | UTM NAD83 | 18 | 426523 | 5601749 | Bois | | 11-50 m ² | Affleurement | | Couvert de mousse |
| 1388 | AM | 2015-07-17 | 15-AM-013 | UTM NAD83 | 18 | 426465 | 5601712 | Bois | | 11-50 m ² | Affleurement | | Couvert de mousse |
| 1388 | AM | 2015-07-17 | 15-AM-014 | UTM NAD83 | 18 | 426395 | 5601602 | Bois | | 11-50 m ² | Affleurement | | Couvert de mousse |
| 1388 | AM | 2015-07-17 | 15-AM-015 | UTM NAD83 | 18 | 426332 | 5601497 | Bûché | | 1-10 m ² | Affleurement | | Couvert de mousse |
| 1388 | AM | 2015-07-19 | 15-AM-016 | UTM NAD83 | 18 | 425317 | 5601780 | Ligne coupée | | 1-10 m ² | Affleurement | | Autre |
| 1388 | AM | 2015-07-20 | 15-AM-017 | UTM NAD83 | 18 | 425948 | 5602005 | Bûché | | 11-50 m ² | Affleurement | | Couvert de mousse |
| 1388 | AM | 2015-07-30 | 15-AM-018 | UTM NAD83 | 18 | 418057 | 5599266 | Ligne coupée | | 1-10 m ² | Affleurement | | Couvert de mousse |
| 1388 | AM | 2015-07-30 | 15-AM-019 | UTM NAD83 | 18 | 418177 | 5599093 | Ligne coupée | | 11-50 m ² | Affleurement | | Couvert de mousse |
| 1388 | AM | 2015-07-31 | 15-AM-020 | UTM NAD83 | 18 | 417628 | 5599100 | Ligne coupée | | 101-1000 m ² | Affleurement | | Couvert de mousse |
| 1388 | AM | 2015-07-31 | 15-AM-021 | UTM NAD83 | 18 | 418399 | 5599465 | Brûlé | | 1-10 m ² | Affleurement | | Couvert de mousse |
| 1388 | AM | 2015-08-02 | 15-AM-022 | UTM NAD83 | 18 | 427587 | 5601332 | Bûché | | 101-1000 m ² | Affleurement | | Couvert de mousse |
| 1388 | AM | 2015-08-02 | 15-AM-023 | UTM NAD83 | 18 | 427418 | 5601411 | Bûché | | 51-100 m ² | Affleurement | | Couvert de mousse |
| 1388 | AM | 2015-08-02 | 15-AM-024 | UTM NAD83 | 18 | 427310 | 5601504 | Bûché | | 11-50 m ² | Affleurement | | Couvert de mousse |
| 1388 | AM | 2015-08-02 | 15-AM-025 | UTM NAD83 | 18 | 427243 | 5601496 | Bois | | 51-100 m ² | Affleurement | | Couvert de mousse |
| 1388 | AM | 2015-08-02 | 15-AM-026 | UTM NAD83 | 18 | 426490 | 5600700 | Bois | | 1-10 m ² | Affleurement | | Couvert de mousse |
| 1388 | AM | 2015-08-02 | 15-AM-027 | UTM NAD83 | 18 | 426335 | 5600552 | Bois | | 1-10 m ² | Affleurement | | Couvert de mousse |
| 1388 | AM | 2015-08-02 | 15-AM-028 | UTM NAD83 | 18 | 426877 | 5601087 | Ligne coupée | | 11-50 m ² | Affleurement | | Couvert de mousse |
| 1388 | JFG | 2015-07-03 | 15-JFG-001 | UTM NAD83 | 18 | 420443 | 5599310 | Ligne coupée | P1000007 | <1 m ² | Affleurement | | Submergé |
| 1388 | JFG | 2015-07-03 | 15-JFG-002 | UTM NAD83 | 18 | 420598 | 5599168 | Bois | | 101-1000 m ² | Affleurement | | Couvert de mousse |
| 1388 | JFG | 2015-07-03 | 15-JFG-003 | UTM NAD83 | 18 | 420051 | 5599102 | Bois | P1000012, P1000013 | <1m ³ | Bloc | 2 - subanguleux | |
| 1388 | JFG | 2015-07-04 | 15-JFG-004 | UTM NAD83 | 18 | 426940 | 5600571 | Bûché | | 11-50 m ² | Affleurement | | Couvert de mousse |
| 1388 | JFG | 2015-07-04 | 15-JFG-005 | UTM NAD83 | 18 | 427215 | 5600665 | Bûché | P1000015, P1000016 | 101-1000 m ² | Affleurement | | En relief |
| 1388 | JFG | 2015-07-04 | 15-JFG-006 | UTM NAD83 | 18 | 427086 | 5600670 | Bûché | P1000017, P1000018 | 11-50 m ² | Affleurement | | Couvert de mousse |
| 1388 | JFG | 2015-07-06 | 15-JFG-007 | UTM NAD83 | 18 | 420508 | 5598766 | Clairière | | 101-1000 m ² | Affleurement | | Couvert de mousse |
| 1388 | JFG | 2015-07-06 | 15-JFG-008 | UTM NAD83 | 18 | 420509 | 5598742 | Bois | | 11-50 m ² | Affleurement | | Couvert de mousse |
| 1388 | JFG | 2015-07-06 | 15-JFG-009 | UTM NAD83 | 18 | 420483 | 5598749 | Clairière | | 101-1000 m ² | Affleurement | | Couvert de mousse |
| 1388 | JFG | 2015-07-06 | 15-JFG-010 | UTM NAD83 | 18 | 420545 | 5598691 | Bois | | 11-50 m ² | Affleurement | | Couvert de mousse |
| 1388 | JFG | 2015-07-06 | 15-JFG-011 | UTM NAD83 | 18 | 420607 | 5598695 | Chemin forestier | | 11-50 m ² | Affleurement | | Couvert de mousse |
| 1388 | JFG | 2015-07-07 | 15-JFG-012 | UTM NAD83 | 18 | 420428 | 5598503 | Bois | | 101-1000 m ² | Affleurement | | Couvert de mousse |

Généralités

| Projet | Géologue | Date | # affleurement | Projection | Zone | Estant | Nordant | Environnement | Photo description | Dimension | Type (aff/bloc) | Angulosité | Qualité de l'affleurement |
|--------|----------|------------|----------------|------------|------|--------|---------|------------------|-----------------------|-------------------------|---------------------------|-----------------|---------------------------|
| 1388 | JFG | 2015-07-08 | 15-JFG-013 | UTM NAD83 | 18 | 418486 | 5599228 | Brûlé | | 1-10 m ² | Affleurement | | Couvert de mousse |
| 1388 | JFG | 2015-07-08 | 15-JFG-014 | UTM NAD83 | 18 | 419442 | 5599074 | Bois | P1000033-36 | 11-50 m ² | Affleurement | | Couvert de mousse |
| 1388 | JFG | 2015-07-15 | 15-JFG-015 | UTM NAD83 | 18 | 423008 | 5598476 | Bois | | 1-10 m ² | Bloc | 2 - subanguleux | Couvert de mousse |
| 1388 | JFG | 2015-07-15 | 15-JFG-016 | UTM NAD83 | 18 | 423609 | 5599542 | Rivage | | 1-10 m ² | Affleurement | | En relief |
| 1388 | JFG | 2015-07-15 | 15-JFG-017 | UTM NAD83 | 18 | 423609 | 5599541 | Rivage | | <1 m ² | Bloc | 1 - anguleux | Surface altérée |
| 1388 | JFG | 2015-07-15 | 15-JFG-018 | UTM NAD83 | 18 | 426584 | 5545790 | Chemin forestier | | 11-50 m ² | Affleurement | | Surface altérée |
| 1388 | JFG | 2015-07-16 | 15-JFG-019 | UTM NAD83 | 18 | 421944 | 5597122 | Bois | | 11-50 m ² | Affleurement | | Décapé |
| 1388 | JFG | 2015-07-16 | 15-JFG-020 | UTM NAD83 | 18 | 422260 | 5596994 | Bois | | 11-50 m ² | Affleurement | | Décapé |
| 1388 | JFG | 2015-07-18 | 15-JFG-021 | UTM NAD83 | 18 | 425055 | 5601658 | Bois | | 2 x 7 m | Affleurement | | Marche de roche |
| 1388 | JFG | 2015-07-18 | 15-JFG-022 | UTM NAD83 | 18 | 425042 | 5601955 | Bûché | | 15 x 10 m | Affleurement | | Couvert de mousse |
| 1388 | JFG | 2015-07-18 | 15-JFG-023 | UTM NAD83 | 18 | 425158 | 5601986 | Bûché | | 10 x 8 m | Affleurement | | Couvert de mousse |
| 1388 | JFG | 2015-07-18 | 15-JFG-024 | UTM NAD83 | 18 | 425179 | 5601936 | Bois | | 20 x 15 | Affleurement | | bord de bûché |
| 1388 | JFG | 2015-07-18 | 15-JFG-025 | UTM NAD83 | 18 | 425276 | 5602022 | Bois | | 4 x 3 m | Affleurement | | Couvert de mousse |
| 1388 | JFG | 2015-07-19 | 15-JFG-026 | UTM NAD83 | 18 | 425243 | 5602066 | Bois | 71-72 | 11-50 m ² | Affleurement | | Couvert de mousse |
| 1388 | JFG | 2015-07-19 | 15-JFG-027 | UTM NAD83 | 18 | 425237 | 5594683 | Chemin forestier | | 51-100 m ² | Affleurement | | Couvert de mousse |
| 1388 | JFG | 20/07/2015 | 15-JFG-028 | UTM NAD83 | 18 | 425272 | 5602137 | Bois | 5-JFG-028A,15-JFG-028 | 5x10m | Blocs sub- en-place | | mousse |
| 1388 | JFG | 2015-07-21 | 15-JFG-029 | UTM NAD83 | 18 | 423617 | 5602373 | Bois | | 11-50 m ² | Affleurement | | Couvert de mousse |
| 1388 | JFG | 2015-07-21 | 15-JFG-030 | UTM NAD83 | 18 | 423562 | 5602382 | Bois | | 11-50 m ² | Affleurement | | Couvert de mousse |
| 1388 | JFG | 2015-07-21 | 15-JFG-031 | UTM NAD83 | 18 | 423523 | 5602402 | Bois | | 51-100 m ² | Affleurement | | Couvert de mousse |
| 1388 | JFG | 2015-07-21 | 15-JFG-032 | UTM NAD83 | 18 | 423544 | 5602416 | Bois | | 51-100 m ² | Affleurement | | Couvert de mousse |
| 1388 | JFG | 2015-07-21 | 15-JFG-033 | UTM NAD83 | 18 | 423573 | 5602420 | Bois | | 11-50 m ² | Affleurement | | En relief |
| 1388 | JFG | 2015-07-22 | 15-JFG-034 | UTM NAD83 | 18 | 423566 | 5602463 | Bois | P1000085 | 1-10 m ² | Affleurement | | Décapé |
| 1388 | JFG | 2015-07-22 | 15-JFG-035 | UTM NAD83 | 18 | 423536 | 5602472 | Bois | P1000087, P1000088 | 1-10 m ² | Affleurement | | Décapé |
| 1388 | JFG | 2015-07-22 | 15-JFG-036 | UTM NAD83 | 18 | 423559 | 5602476 | Bois | P1000084, P1000086 | >1000 m ² | Affleurement | | Couvert de mousse |
| 1388 | JFG | 2015-07-22 | 15-JFG-037 | UTM NAD83 | 18 | 423538 | 5602454 | Bois | P1000089 | 11-50 m ² | Affleurement | | Couvert de mousse |
| 1388 | JFG | 2015-07-22 | 15-JFG-038 | UTM NAD83 | 18 | 423647 | 5602526 | Escarpement | 0091, P1000092, P100 | >1000 m ² | Affleurement | | Couvert de mousse |
| 1388 | JFG | 2015-07-22 | 15-JFG-039 | UTM NAD83 | 18 | 423508 | 5602570 | Bois | | 1-10 m ² | Affleurement | | Couvert de mousse |
| 1388 | JFG | 2015-07-22 | 15-JFG-040 | UTM NAD83 | 18 | 423420 | 5602499 | Bois | P1000095 | 101-1000 m ² | Affleurement | | Couvert de mousse |
| 1388 | JFG | 2015-07-22 | 15-JFG-041 | UTM NAD83 | 18 | 423498 | 5602457 | Bois | | 1-10 m ² | Affleurement | | Décapé |
| 1388 | JFG | 2015-07-22 | 15-JFG-042 | UTM NAD83 | 18 | 423503 | 5602436 | Bois | | 101-1000 m ² | Affleurement | | Couvert de mousse |
| 1388 | JFG | 2015-07-29 | 15-JFG-043 | UTM NAD83 | 18 | 423500 | 5602330 | Ligne coupée | | 11-50 m ² | Affleurement | | Couvert de mousse |
| 1388 | JFG | 2015-07-29 | 15-JFG-044 | UTM NAD83 | 18 | 423452 | 5602377 | Bois | | 101-1000 m ² | Affleurement | | Couvert de mousse |
| 1388 | JFG | 2015-07-31 | 15-JFG-045 | UTM NAD83 | 18 | 417492 | 5598843 | Bûché | | 15 x 3 m | Affleurement | | Brûlé |
| 1388 | JFG | 2015-07-31 | 15-JFG-046 | UTM NAD83 | 18 | 417452 | 5598911 | Bûché | | 1 x 8 m | Affleurement sub-en place | | Brûlé |
| 1388 | JFG | 2015-07-31 | 15-JFG-047 | UTM NAD83 | 18 | 417213 | 5598566 | Bûché | | 100 x 120 x ?? Cr | Bloc | Sub-arrondi | Brûlé |
| 1388 | JFG | 2015-07-31 | 15-JFG-048 | UTM NAD83 | 18 | 418751 | 5599651 | Forêt | | 3 x 8 m | Affleurement | | Bordure de bûché |
| 1388 | JFG | 2015-07-31 | 15-JFG-049 | UTM NAD83 | 18 | 418751 | 5599719 | Brûlé | | 2 x 7 m | Affleurement | | Mousse |
| 1388 | JFG | 1/08/2015 | 15-JFG-050 | UTM NAD83 | 18 | 418386 | 5599288 | Bucher,brulé | 115-118 | 10x30m | Affleurement | | mousse |

Généralités

| Projet | Géologue | Date | # affleurement | Projection | Zone | Estant | Nordant | Environnement | Photo description | Dimension | Type (aff/bloc) | Angulosité | Qualité de l'affleurement |
|--------|----------|------------|----------------|------------|------|--------|---------|-----------------------|------------------------------|-------------------------|-----------------|-------------|-----------------------------------|
| 1388 | JFG | 1/08/2015 | 15-JFG-051 | UTM NAD83 | 18 | 418019 | 5599933 | brulé | | 1x1,5m creusé 50 | Affleurement | | mousse |
| 1388 | JFG | 1/08/2015 | 15-JFG-052 | UTM NAD83 | 18 | 417960 | 5599422 | brulé | | 20x10m | Affleurement | | mousse |
| 1388 | JFG | 1/08/2015 | 15-JFG-053 | UTM NAD83 | 18 | 417978 | 5599470 | brulé | 119-121 | 30x10m | Affleurement | | mousse |
| 1388 | JV | 2/07/2015 | 15-JV-001 | UTM NAD83 | 18 | 420015 | 5597743 | petit champ de bloc | | 0,6x0,2x0,2 mètre | bloc | anguleux | |
| 1388 | JV | 2/07/2015 | 15-JV-002 | UTM NAD83 | 18 | 419819 | 5597455 | bucher degage | | 5x2 m | Affleurement | | |
| 1388 | JV | 2/07/2015 | 15-JV-003 | UTM NAD83 | 18 | 419856 | 5597337 | ord de chemin d'hiver | | 0,6x0,3 m | bloc | subarrondi | |
| 1388 | JV | 2/07/2015 | 15-JV-004 | UTM NAD83 | 18 | 419957 | 5597181 | zone affleurante | | 20x5m | Affleurement | | |
| 1388 | JV | 2/07/2015 | 15-JV-005 | UTM NAD83 | 18 | 419824 | 5598317 | foret | | 5mx3m | Affleurement | | |
| 1388 | JV | 16/07/2015 | 15-JV-006 | UTM NAD83 | 18 | 423068 | 5597698 | bord de lac | 15-JV-006 | 1mx10m | Affleurement | | mousse |
| 1388 | JV | 16/07/2015 | 15-JV-007 | UTM NAD83 | 18 | 423069 | 5597656 | bord de lac | 15-JV-007 | 3mx10m | Affleurement | | mousse |
| 1388 | JV | 16/07/2015 | 15-JV-008 | UTM NAD83 | 18 | 422056 | 5597308 | chablis | | 1mx2m | Affleurement | | mousse |
| 1388 | JV | 20/07/2015 | 15-JV-009 | UTM NAD83 | 18 | 425349 | 5602199 | Bois | 15-JV-009 | 4x6m | Affleurement | | mousse |
| 1388 | JV | 20/07/2015 | 15-JV-010 | UTM NAD83 | 18 | 425365 | 5602198 | Bois | 15-JV-010 | 3x6m | Affleurement | | mousse |
| 1388 | JV | 20/07/2015 | 15-JV-011 | UTM NAD83 | 18 | 425387 | 5602128 | Bois | 15-JV-011 | 8x4m | Affleurement | | mousse |
| 1388 | JV | 20/07/2015 | 15-JV-012 | UTM NAD83 | 18 | 425773 | 5602052 | Bois | 15-JV-012 | 3x6m | Affleurement | | mousse |
| 1388 | JV | 29/07/2015 | 15-JV-013 | UTM NAD83 | 18 | 423381 | 5602240 | Bois | | 10x12m | Affleurement | | mousse |
| 1388 | JV | 29/07/2015 | 15-JV-014 | UTM NAD83 | 18 | 423422 | 5602296 | Bois | | 10x5m | Affleurement | | mousse |
| 1388 | JV | 29/07/2015 | 15-JV-015 | UTM NAD83 | 18 | 423369 | 5602295 | Bois | 15-JV-015A, 15-JV-015B | 5x4m | Affleurement | | mousse |
| 1388 | JV | 29/07/2015 | 15-JV-016 | UTM NAD83 | 18 | 423400 | 5602494 | Bois | 016A, 15-JV-016B, 15-JV-016C | 8x4m | Affleurement | | mousse |
| 1388 | JV | 1/08/2015 | 15-JV-017 | UTM NAD83 | 18 | 418325 | 5599331 | Bois | | 5x10m | Affleurement | | mousse |
| 1388 | JV | 1/08/2015 | 15-JV-018 | UTM NAD83 | 18 | 418047 | 5599938 | Bois, brulé | | 10x6m | Affleurement | | mousse |
| 1388 | MA | 2015-07-02 | 15-MA-001 | UTM NAD83 | 18 | 421191 | 5599892 | Bois | | 11-50 m ² | Affleurement | | Couvert de mousse |
| 1388 | MA | 2015-07-02 | 15-MA-002 | UTM NAD83 | 18 | 421046 | 5599256 | Bois | | 101-1000 m ² | Affleurement | | En relief |
| 1388 | MA | 2015-07-02 | 15-MA-003 | UTM NAD83 | 18 | 420519 | 5600130 | Bois | | <1 m ² | Bloc | | Autre |
| 1388 | MA | 2015-07-03 | 15-MA-004 | UTM NAD83 | 18 | 420910 | 5599400 | Bois | 15-MA-004A, 004B, 004C | 25 x 2m | Affleurement | | Couvert de mousse |
| 1388 | MA | 2015-07-03 | 15-MA-005 | UTM NAD83 | 18 | 420990 | 5599408 | Bois | | 5 x 5 m | Affleurement | | Couvert de mousse |
| 1388 | MA | 2015-07-03 | 15-MA-006 | UTM NAD83 | 18 | 421112 | 5599412 | Bois | | 1 m ² | Affleurement | | Couvert de mousse |
| 1388 | MA | 2015-07-03 | 15-MA-007 | UTM NAD83 | 18 | 421185 | 5599402 | Bois | 15-MA-007A, 007B | 100 x 5 m | Affleurement | | Flanc de colline |
| 1388 | MA | 2015-07-03 | 15-MA-008 | UTM NAD83 | 18 | 421349 | 5599404 | Bois | | 20 x 5 m | Affleurement | | Couvert de mousse |
| 1388 | MA | 2015-07-03 | 15-MA-009 | UTM NAD83 | 18 | 421198 | 5599241 | Bois | | 100 x 50 m | Affleurement | | Couvert de mousse, flanc de monta |
| 1388 | MA | 2015-07-03 | 15-MA-010 | UTM NAD83 | 18 | 420866 | 5599204 | Bois | | 20 x 5 m | Affleurement | | Couvert de mousse |
| 1388 | MA | 2015-07-03 | 15-MA-011 | UTM NAD83 | 18 | 421017 | 5599095 | Bois | | 10 x 20 m | Affleurement | | Couvert de mousse |
| 1388 | MA | 2015-07-03 | 15-MA-012 | UTM NAD83 | 18 | 420835 | 5599095 | Bois | | 10 x 5 m | Affleurement | | Couvert de mousse |
| 1388 | MA | 4/07/2015 | 15-MA-013 | UTM NAD83 | 18 | 427529 | 5602908 | Bord route affleurant | gneiss (FO) dans l1B 99 | 100x25 | Affleurement | | |
| 1388 | MA | 4/07/2015 | 15-MA-014 | UTM NAD83 | 18 | 427461 | 5602888 | Bois, couvert mousse | 97: Vue rapprochee l1B | 50X30 | Affleurement | | |
| 1388 | MA | 4/07/2015 | 15-MA-015 | UTM NAD83 | 18 | 427729 | 5602765 | Couvert mousse | 8: vue rapprochee l1B à | 200X100 | Affleurement | | |
| 1388 | MA | 4/07/2015 | 15-MA-016 | UTM NAD83 | 18 | 427654 | 5602613 | Couvert mousse | du l1B, 0004: vue rapp | 50X50 | Affleurement | | |
| 1388 | MA | 4/07/2015 | 15-MA-017 | UTM NAD83 | 18 | 427230 | 5602283 | Bordure route | 0005: vue rapprochee | 4x5 | bloc | subanguleux | |
| 1388 | MA | 06/07/2015 | 15-MA-018 | UTM NAD83 | 18 | 420464 | 5598704 | Bois | | 15mX8m | Affl | | Éparpillé |
| 1388 | MA | 06/07/2015 | 15-MA-019 | UTM NAD83 | 18 | 420280 | 5598606 | Bois | | 5mX4m | Affl | | Couvert de mousse |
| 1388 | MA | 06/07/2015 | 15-MA-020 | UTM NAD83 | 18 | 420208 | 5598503 | Bois | | 1mx0,75m | Bloc | Subanguleux | Champ de blocs |
| 1388 | MA | 06/07/2015 | 15-MA-021 | UTM NAD83 | 18 | 420274 | 5598504 | Bois | 15-MA-021B: Vue de l'affl | 10mX5m | Affl | | Couvert de mousse |

Généralités

| Projet | Géologue | Date | # affleurement | Projection | Zone | Estant | Nordant | Environnement | Photo description | Dimension | Type (aff/bloc) | Angulosité | Qualité de l'affleurement |
|--------|----------|------------|----------------|------------|------|--------|---------|----------------------------|--------------------------|-------------------------|-----------------|-----------------|---------------------------|
| 1388 | MA | 06/07/2015 | 15-MA-022 | UTM NAD83 | 18 | 420338 | 5598484 | Bois | | 50mX20m | Affl | | Couvert de mousse |
| 1388 | MA | 8/07/2015 | 15-MA-023 | UTM NAD83 | 18 | 418743 | 5598709 | Buché, champ de bloc | | 1X1m | Bloc | subarrondi | |
| 1388 | MA | 8/07/2015 | 15-MA-024 | UTM NAD83 | 18 | 419244 | 5598809 | Flanc de buton | MA-024C Vue des enc | 50mx5m | Affleurement | | mousse |
| 1388 | MA | 17/07/2015 | 15-MA-025 | UTM NAD83 | 18 | 420416 | 5596041 | Bois | oc de M16. 0057: vue | 1mx1m | Bloc | Subarrondi/plat | |
| 1388 | MA | 17/07/2015 | 15-MA-026 | UTM NAD83 | 18 | 420086 | 5595593 | Buché | 8: Vue d'ensemble du | 5mX2m | Affl | | Décapé |
| 1388 | MA | 17/07/2015 | 15-MA-027 | UTM NAD83 | 18 | 420177 | 5595593 | Brulé | . 0060: Vue du granite | 50mX30m | Affl | | Top montagne décapé |
| 1388 | MA | 18/07/2015 | 15-MA-028 | UTM NAD83 | 18 | 425947 | 5601360 | buché | 28C: vue melanosome r | 8x2m | Affleurement | | mousse |
| 1388 | MA | 18/07/2015 | 15-MA-029 | UTM NAD83 | 18 | 426173 | 5601520 | buché | pproche M6; 15-MA-029 | 2x2m | Affleurement | | mousse |
| 1388 | MA | 18/07/2015 | 15-MA-030 | UTM NAD83 | 18 | 426239 | 5601567 | bois | 0Z; 15-MA-030B: vue l1 | 80x40m | Affleurement | | mousse |
| 1388 | MA | 18/07/2015 | 15-MA-031 | UTM NAD83 | 18 | 426439 | 5601739 | Bois | 15-MA-031A: vue M6 | 10x8m | Affleurement | | mousse |
| 1388 | MA | 18/07/2015 | 15-MA-032 | UTM NAD83 | 18 | 426548 | 5601891 | Bois | 15-MA-032A: vue de M6 | 15x15m | Affleurement | | mousse |
| 1388 | MA | 18/07/2015 | 15-MA-033 | UTM NAD83 | 18 | 426390 | 5601865 | Bois | 15-MA-033A: vue du M6 | 10x8m | Affleurement | | mousse |
| 1388 | MA | 2015-07-20 | 15-MA-034 | UTM NAD83 | 18 | 425665 | 5601464 | Bûché | | 11-50 m ² | Affleurement | | Couvert de mousse |
| 1388 | MA | 2015-07-20 | 15-MA-035 | UTM NAD83 | 18 | 425774 | 5601676 | Bûché | | 11-50 m ² | Affleurement | | Couvert de mousse |
| 1388 | MA | 2015-07-20 | 15-MA-036 | UTM NAD83 | 18 | 426061 | 5602010 | Bûché | | 101-1000 m ² | Affleurement | | En relief |
| 1388 | MA | 2015-07-20 | 15-MA-037 | UTM NAD83 | 18 | 425906 | 5601939 | Bûché | | 51-100 m ² | Affleurement | | Couvert de mousse |
| 1388 | MA | 2015-07-20 | 15-MA-038 | UTM NAD83 | 18 | 425746 | 5601757 | Bûché | | 51-100 m ² | Affleurement | | En relief |
| 1388 | MA | 2015-07-21 | 15-MA-039 | UTM NAD83 | 18 | 425344 | 5601548 | Bord de route | 15-MA-039A et 039B | 10 x 5 m | Affleurement | | Plat |
| 1388 | MA | 2015-07-21 | 15-MA-040 | UTM NAD83 | 18 | 425848 | 5602028 | Bûché | 15-MA-040A, B, C, D, E | 30 x 15 m | Affleurement | | Décapé |
| 1388 | MA | 2015-07-21 | 15-MA-041 | UTM NAD83 | 18 | 425388 | 5601705 | Bois | | 1 x 0,5 m | Affleurement | | Trou 1 m profond |
| 1388 | MA | 22/07/2015 | 15-MA-042 | UTM NAD83 | 18 | 423334 | 5602234 | Bois | e; 15-MA-042B: contac | 10x4m | Affleurement | | mousse |
| 1388 | MA | 22/07/2015 | 15-MA-043 | UTM NAD83 | 18 | 423302 | 5602308 | Bois | de M4; 15-MA-043B : v | 50x15m | Affleurement | | mousse |
| 1388 | MA | 22/07/2015 | 15-MA-044 | UTM NAD83 | 18 | 423295 | 5602403 | Bois | ue de la relation entre | 20x20m | Affleurement | | mousse |
| 1388 | MA | 22/07/2015 | 15-MA-045 | UTM NAD83 | 18 | 423316 | 5602473 | Bois, relief (escarpement) | MA-045B : relations en | 15x15m | Affleurement | | mousse |
| 1388 | MA | 30/07/2015 | 15-MA-046 | UTM NAD83 | 18 | 417962 | 5599308 | Bois | MA-046A: vue du M4 p | 1mX2m et 5mX3 | Affleurement | | Couvert de mousse |
| 1388 | MA | 30/07/2015 | 15-MA-047 | UTM NAD83 | 18 | 417924 | 5599201 | Bord de sentier | e du gneiss; 15-MA-047 | 10mX10m | Affleurement | | Relief |
| 1388 | MA | 30/07/2015 | 15-MA-048 | UTM NAD83 | 18 | 417501 | 5598887 | Buché | paragneiss; 15-MA-049 | 2mX1,5m | Affleurement | | Couvert de mousse |
| 1388 | MA | 2/08/2015 | 15-MA-050 | UTM NAD83 | 18 | 419897 | 5598902 | bois | 50A : vue de l'affleurem | m (0.5m de pro | Affleurement | | mousse |
| 1388 | MA | 2/08/2015 | 15-MA-051 | UTM NAD83 | 18 | 419149 | 5598886 | brulé éparpillé | une enclave 'dm' de M4 | visible), 40x20m | Affleurement | | mousse |
| 1388 | VR | 2015-07-04 | 15-VR-201 | UTM NAD83 | 18 | 426989 | 5600787 | Bûché | P1000019 | 3 x 5 m | Affleurement | | Couvert de mousse |
| 1388 | VR | 2015-07-04 | 15-VR-202 | UTM NAD83 | 18 | 426939 | 5600800 | Bûché | P1000021-22 | 5 x 10 m | Affleurement | | Couvert de mousse |
| 1388 | VR | 2015-07-04 | 15-VR-203 | UTM NAD83 | 18 | 426863 | 5600841 | Bûché | | 2 x 5 m | Affleurement | | Couvert de mousse |
| 1388 | VR | 2015-07-04 | 15-VR-204 | UTM NAD83 | 18 | 426892 | 5600901 | Bûché | | 5 x 10 m | Affleurement | | Couvert de mousse |
| 1388 | VR | 2015-07-04 | 15-VR-205 | UTM NAD83 | 18 | 426951 | 5600874 | Bûché | | 2 x 5 m | Affleurement | | Couvert de mousse |
| 1388 | VR | 2015-07-05 | 15-VR-206 | UTM NAD83 | 18 | 420695 | 5599009 | Bois | 15-VR-206 | 4X3m | Affleurement | | Couvert de mousse |
| 1388 | VR | 2015-07-05 | 15-VR-207 | UTM NAD83 | 18 | 421015 | 5598939 | Bois | | 25x10m | Affleurement | | Couvert de mousse |
| 1388 | VR | 2015-07-05 | 15-VR-208 | UTM NAD83 | 18 | 420780 | 5598897 | Bois | 5-VR-208A et 15-VR208 | 10x5m | Affleurement | | Couvert de mousse |
| 1388 | VR | 2015-07-05 | 15-VR-209 | UTM NAD83 | 18 | 420876 | 5598793 | Bois | 15-VR-209A-B | 3 x 6 m | Affleurement | | Couvert de mousse |
| 1388 | VR | 2015-07-05 | 15-VR-210 | UTM NAD83 | 18 | 421208 | 5598693 | Bois | | 5 x 10 m | Affleurement | | Couvert de mousse |

Généralités

| Projet | Géologue | Date | # affleurement | Projection | Zone | Estant | Nordant | Environnement | Photo description | Dimension | Type (aff/bloc) | Angulosité | Qualité de l'affleurement |
|--------|----------|------------|----------------|------------|------|--------|---------|---------------|-----------------------------------|----------------------|-----------------|------------|---------------------------|
| 1388 | VR | 2015-07-05 | 15-VR-211 | UTM NAD83 | 18 | 420808 | 5598699 | Bois | 15-VR-211A 15-VR-211B | 10x10 m | Affleurement | | Couvert de mousse |
| 1388 | VR | 2015-07-06 | 15-VR-212A | UTM NAD83 | 18 | 420671 | 5598622 | Bois | 17-18 | | Affleurement | | |
| 1388 | VR | 2015-07-05 | 15-VR-212B | UTM NAD83 | 18 | 420684 | 5598623 | Bois | | 15x25 | Affleurement | | Couvert de mousse |
| 1388 | VR | 2015-07-07 | 15-VR-213A | UTM NAD83 | 18 | 419887 | 5598406 | Ligne coupée | | 11-50 m ² | Affleurement | | Couvert de mousse |
| 1388 | VR | 15/07/2015 | 15-VR-213B | UTM NAD83 | 18 | 425242 | 5599096 | bord de lac | | 10x2m | Affleurement | | mousse |
| 1388 | VR | 15/07/2015 | 15-VR-214 | UTM NAD83 | 18 | 425217 | 5599068 | bois | 15-VR-214A, 15-VR-214B,15-VR-214C | 5x5m | Affleurement | | mousse |
| 1388 | VR | 15/07/2015 | 15-VR-215 | UTM NAD83 | 18 | 425131 | 5598977 | bord de lac | 15-VR-215 | 10x5m | Affleurement | | mousse |
| 1388 | VR | 15/07/2015 | 15-VR-216 | UTM NAD83 | 18 | 424667 | 5598650 | bord de lac | 15-VR-216 | 3x4m | Affleurement | | mousse |
| 1388 | VR | 15/07/2015 | 15-VR-217 | UTM NAD83 | 18 | 424826 | 5598953 | bois | 15-VR-217A, 15-VR-217B | 2x2m | Affleurement | | mousse |
| 1388 | VR | 15/07/2015 | 15-VR-218 | UTM NAD83 | 18 | 424889 | 5598993 | bois | | 10x3m | Affleurement | | mousse |
| 1388 | VR | 15/07/2015 | 15-VR-219 | UTM NAD83 | 18 | 425001 | 5599065 | bois | 15-VR-219 | 3x2m | Affleurement | | mousse |
| 1388 | VR | 2015-07-18 | 15-VR-220 | UTM NAD83 | 18 | 425275 | 5602014 | Bois | | 1,2 x 0,5 m | Affleurement | | Fond d'un trou |
| 1388 | VR | 19/07/2015 | 15-VR-221 | UTM NAD83 | 18 | 425915 | 5601525 | Buché | 15-VR-221 | 7x5m | Affleurement | | mousse |
| 1388 | VR | 19/07/2015 | 15-VR-222 | UTM NAD83 | 18 | 426002 | 5601626 | Buché | | 8x6m | Affleurement | | mousse |
| 1388 | VR | 19/07/2015 | 15-VR-223 | UTM NAD83 | 18 | 426044 | 5601679 | Buché | | 80x50m | Affleurement | | mousse |
| 1388 | VR | 19/07/2015 | 15-VR-224 | UTM NAD83 | 18 | 426250 | 5601906 | Bois | 15-VR-224 | 5x5m | Affleurement | | mousse |
| 1388 | VR | 19/07/2015 | 15-VR-225 | UTM NAD83 | 18 | 426269 | 5601959 | Bois | | 30x10m | Affleurement | | rupture de pente; mousse |
| 1388 | VR | 19/07/2015 | 15-VR-226 | UTM NAD83 | 18 | 426197 | 5601943 | Bois | | 10x5m | Affleurement | | mousse |
| 1388 | VR | 19/07/2015 | 15-VR-227 | UTM NAD83 | 18 | 426104 | 5601811 | Buché | 15-VR-227 | 10x10m | Affleurement | | mousse |
| 1388 | VR | 19/07/2015 | 15-VR-228 | UTM NAD83 | 18 | 425947 | 5601718 | Buché | | 20x20m | Affleurement | | mousse |
| 1388 | VR | 19/07/2015 | 15-VR-229 | UTM NAD83 | 18 | 425427 | 5601219 | Buché | | 50x20m | Affleurement | | mousse |
| 1388 | VR | 29/07/2015 | 15-VR-230 | UTM NAD83 | 18 | 423405 | 5602297 | Bois | | 0,5x0,5m | Affleurement | | mousse |
| 1388 | VR | 29/07/2015 | 15-VR-231 | UTM NAD83 | 18 | 423294 | 5602136 | Bois | | 40x5m | Affleurement | | mousse |

| # affleurement | Magnétisme | Métamorphisme | Déformation | # litho | ratio % | Code MIF | Couleur | Corps géo | Minéraux (%) |
|----------------|------------|------------------------|-------------|---------|---------|---------------------------|------------------------|----------------|------------------------------------|
| 15-AM-001 | 0-Nul | | 1 - Faible | A | 50 | (I2J) Diorite | Gris foncé | (L) Lithologie | (AM, BO) MF 70%, PY 5%, CP trace |
| 15-AM-002 | 0-Nul | | 1 - Faible | A | 85 | (I1B) Granite | Gris moyen rosé (P) | (L) Lithologie | BO 2%, AM tr |
| 15-AM-003 | 1-Faible | | 0 - Nulle | A | 99 | (M1) Gneiss | Gris foncé rouillé | (B) Bloc | PY 10%, GZ 50%, BO 35% |
| 15-AM-004 | 0-Nul | Amphibolite supérieure | 1 - Faible | A | 60 | (I1B) Granite | Gris rosé | (L) Lithologie | BO 3% |
| 15-AM-005 | 0-Nul | Amphibolite supérieure | 1 - Faible | A | 80 | (M20) Métatexite | Rose Blanchâtre | (ZO) Zone | BO 6% |
| 15-AM-006 | 0-Nul | | 1 - Faible | A | 99 | (M6) Gneiss granitique | Gris rosé (PA), Gris | (L) Lithologie | BO 5% |
| 15-AM-007 | 1-Faible | | 1 - Faible | A | 60 | (M4) Paragneiss | Gris foncé blanchâtre | (L) Lithologie | BO 40%, MG 3%, GR 3%, AM 2%, CL 2% |
| 15-AM-008 | 0-Nul | | 1 - Faible | A | 99 | (M4) Paragneiss | Gris foncé rouille(P | (B) Bloc | PY, BO 50%, QZ 30%, PL 20% |
| 15-AM-009 | 0-Nul | | 0 - Nulle | A | 99 | (M21A) Granite d'anatexie | Beige blanchâtre | (L) Lithologie | BO 1% |
| 15-AM-010 | 0-Nul | | 1 - Faible | A | 55 | (M6) Gneiss granitique | Gris foncé roseâtre | (L) Lithologie | BO 10%, GR 1% |
| 15-AM-011 | 0-Nul | | 0 - Nulle | A | 99 | (I1B) Granite | Gris foncé blanchâtre | (L) Lithologie | BO 7 % |
| 15-AM-012 | 0-Nul | | 2 - Moyenne | A | 50 | (M21A) Granite d'anatexie | Gris foncé blanchâtre | (L) Lithologie | BO 2% |
| 15-AM-013 | 0-Nul | | 0 - Nulle | A | 99 | (I1B) Granite | Gris blanchâtre (PA | (L) Lithologie | BO 5% |
| 15-AM-014 | 0-Nul | | 1 - Faible | A | 99 | (M6) Gneiss granitique | Beige foncé roseâtre | (L) Lithologie | BO 7% |
| 15-AM-015 | 0-Nul | | 1 - Faible | A | 70 | (I1B) Granite | Gris beige rouillé | (L) Lithologie | BO 5% |
| 15-AM-016 | 0-Nul | | 2 - Moyenne | A | 99 | (M4) Paragneiss | Gris rouillé (PA), gri | (L) Lithologie | BO 65%, QZ 10%, SF 25% |
| 15-AM-017 | 0-Nul | | 1 - Faible | A | 60 | (I1B) Granite | Beige gris (PA), gris | (L) Lithologie | BO 8% |
| 15-AM-018 | 0-Nul | | 1 - Faible | A | 99 | (M6) Gneiss granitique | Gris blanchâtre | (L) Lithologie | BO 5% |
| 15-AM-019 | 0-Nul | | 0 - Nulle | A | 93 | (I1B) Granite | Gris beige | (L) Lithologie | BO 2% |
| 15-AM-020 | 0-Nul | | 0 - Nulle | A | 94 | (I1B) Granite | Gris blanchâtre, Gr | (L) Lithologie | BO 5% |
| 15-AM-021 | 2-Moyen | | 1 - Faible | A | 99 | (I3A) Gabbro | Gris vert | (L) Lithologie | MG 5%, MF 50% |
| 15-AM-022 | 0-Nul | | 1 - Faible | A | 75 | (I1B) Granite | Gris blanc | (L) Lithologie | BO 3% |
| 15-AM-023 | 0-Nul | | 0 - Nulle | A | 90 | (I1B) Granite | Gris moyen blanc | (L) Lithologie | BO 3% |
| 15-AM-024 | 0-Nul | | 0 - Nulle | A | 99 | (I1B) Granite | Gris rosé | (L) Lithologie | BO 2% |
| 15-AM-025 | 0-Nul | | 0 - Nulle | A | 55 | (I1B) Granite | Gris rouille | (L) Lithologie | BO 2% |
| 15-AM-026 | 0-Nul | | 0 - Nulle | A | 99 | (I1B) Granite | Gris rosé | (L) Lithologie | BO 5% |
| 15-AM-027 | 0-Nul | | 0 - Nulle | A | 99 | (I1B) Granite | Gris rosé | (L) Lithologie | BO 5% |
| 15-AM-028 | 0-Nul | | 0 - Nulle | A | 90 | (I1B) Granite | Gris rosé | (L) Lithologie | BO 3% |
| 15-JFG-001 | 0-Nul | Amphibolite | 0 - Nulle | A | 100 | (I1B) Granite | blanc | (L) Lithologie | FP-QZ-(BO) |
| 15-JFG-002 | 0-Nul | Amphibolite | 3 - Forte | A | 85 | (I1B) Granite | blanc | (L) Lithologie | FP-QZ-(BO) |
| 15-JFG-003 | 0-Nul | Amphibolite | 3 - Forte | A | 100 | (M2) Gneiss rubané | gris-brun foncé | (L) Lithologie | BO-(FP)-(QZ) |
| 15-JFG-004 | 0-Nul | Amphibolite | 0 - Nulle | A | 80 | (I1B) Granite | gris | (L) Lithologie | 45%FP, 50%QZ, 5%BO |
| 15-JFG-005 | 0-Nul | Amphibolite | 3 - Forte | A | 100 | (M6) Gneiss granitique | gris | (L) Lithologie | QZ+FP+5%BO |
| 15-JFG-006 | 0-Nul | Amphibolite | 3 - Forte | A | 50 | (M6) Gneiss granitique | gris | (L) Lithologie | 60%FP, 30%QZ, 10%BO |
| 15-JFG-007 | 0-Nul | Amphibolite | 0 - Nulle | A | 89 | (I1B) Granite | gris-blanc | (L) Lithologie | 50%FP, 40%QZ, 10%BO |
| 15-JFG-008 | 0-Nul | Amphibolite | 0 - Nulle | A | 100 | (I1B) Granite | gris-blanc | (L) Lithologie | 50%FP, 40%QZ, 10%BO |
| 15-JFG-009 | 0-Nul | Amphibolite | 0 - Nulle | A | 90 | (I1B) Granite | gris-blanc | (L) Lithologie | 50%FP, 40%QZ, 10%BO |
| 15-JFG-010 | 0-Nul | Amphibolite | 0 - Nulle | A | 98 | (I1B) Granite | gris-blanc | (L) Lithologie | 50%FP, 40%QZ, 10%BO |
| 15-JFG-011 | 0-Nul | Amphibolite | 0 - Nulle | A | 100 | (I1B) Granite | gris-blanc | (L) Lithologie | 50%FP, 40%QZ, 10%BO |
| 15-JFG-012 | 0-Nul | Amphibolite | 3 - Forte | A | 60 | (I1B) Granite | gris-blanc | (L) Lithologie | 50%FP, 40%QZ, 10%BO |

| # affleurement | Magnétisme | Métamorphisme | Déformation | # litho | ratio % | Code MIF | Couleur | Corps géo | Minéraux (%) |
|----------------|------------|---------------|-------------|---------|---------|--------------------------------|-----------------------|-----------------------|--|
| 15-JFG-013 | 0-Nul | Amphibolite | 3 - Forte | A | 60 | (M6) Gneiss granitique | gris-brun et blanc | (9) Mobilisat/néosome | 60%FP, 20%BO, 20%QZ |
| 15-JFG-014 | 0-Nul | Amphibolite | 3 - Forte | A | 60 | (I1B) Granite | gris-blanc | (L) Lithologie | 50%FP, 40%QZ, 10%BO |
| 15-JFG-015 | 2-Moyen | | 0 - Nulle | A | 99 | (M16) Amphibolite | Gris vert foncé | (B) Bloc | AM 80%, BO 20% |
| 15-JFG-016 | 0-Nul | | 1 - Faible | A | 99 | (M6) Gneiss granitique | Gris blanchâtre | (L) Lithologie | QZ 35%, BO 5%, FP 60% |
| 15-JFG-017 | 3-Fort | | 0 - Nulle | A | 99 | | Gris foncé | (B) Bloc | 20% MG, 40% QZ, |
| 15-JFG-018 | 1-Faible | | | A | 99 | (I2D) Syénite | Rose | (L) Lithologie | 60% FK, 20% HB, 5%QZ |
| 15-JFG-019 | 0-Nul | Amphibolite | 3 - Forte | A | 100 | (M6) Gneiss granitique | gris-blanc | (L) Lithologie | 60%FP, 30%QZ, 10%BO |
| 15-JFG-020 | 0-Nul | Amphibolite | 3 - Forte | A | 100 | (M4) Paragneiss | brun | (L) Lithologie | 50%FP, 30%QZ, 20%BO |
| 15-JFG-021 | | | | A | 70 | (M4) Paragneiss | Beige | (L) Lithologie | FD 70%, QZ 20%, BO 10% |
| 15-JFG-022 | | | | A | 70 | (I1B) Granite / (I1G) | Beige rosé | (L) Lithologie | FD-PG 60%, QZ 35%, BO 5% |
| 15-JFG-023 | | | | A | 70 | (I1B) Granite / (I1G) | Beige rosé | (L) Lithologie | FD-PG 60%, QZ 35%, BO 5% |
| 15-JFG-024 | | | | A | 70 | (I1B) Granite / (I1G) | Beige rosé | (L) Lithologie | FD 60%, QZ 35%, BO 5% |
| 15-JFG-025 | | | | A | 99 | (I1B) Granite / (I1G) | Beige rosé | (L) Lithologie | FD 55%, QZ 35%, BO 10% |
| 15-JFG-026 | 0-Nul | | 1 - Faible | A | 70 | (M4) Paragneiss | Gris foncé rouille | (L) Lithologie | FP 60%, 30% BO, 10% QZ |
| 15-JFG-027 | 0-Nul | | 0 - Nulle | A | 99 | (I2D) Syénite | Blanc rose (PA), ros | (L) Lithologie | QZ-FK 90%, AM 10% |
| 15-JFG-028 | non | | | A | 99 | M4 | gris et blanc | litho | 25%BO, 50% FP,25%QZ |
| 15-JFG-029 | 0-Nul | | 1 - Faible | A | 80 | (I1B) Granite | Gris beige (PA), Gris | (L) Lithologie | BO 2%, FP 60% |
| 15-JFG-030 | 0-Nul | | 1 - Faible | A | 80 | (I1B) Granite | Gris beige (PA), Gris | (L) Lithologie | BO 5%, QZ 35%, FP 60% |
| 15-JFG-031 | 0-Nul | | 1 - Faible | A | 95 | (I1B) Granite | Gris beige (PA), Gris | (L) Lithologie | FP 60%, 5% BO, 35% QZ |
| 15-JFG-032 | 0-Nul | | 2 - Faible | A | 95 | (I1B) Granite | Gris beige (PA), Gris | (L) Lithologie | FP 60%, 5% BO, 35% QZ |
| 15-JFG-033 | 0-Nul | | 2 - Moyenne | A | 80 | (I1B) Granite | Gris beige (PA), Gris | (L) Lithologie | FP 60%, BO 5% |
| 15-JFG-034 | 0-Nul | Amphibolite | 3 - Forte | A | 100 | (M4) Paragneiss | brun-rouille | (L) Lithologie | 40%FP, 40%QZ, 20%BO |
| 15-JFG-035 | 0-Nul | Amphibolite | 3 - Forte | A | 100 | (M4) Paragneiss | brun-rouille | (L) Lithologie | 50% micas gris, 40% QZ, 10%PO |
| 15-JFG-036 | 0-Nul | Amphibolite | 3 - Forte | A | 70 | (I1B) Granite | gris-blanc | (L) Lithologie | 60%FP, 35%QZ, 5%BO |
| 15-JFG-037 | 0-Nul | Amphibolite | 3 - Forte | A | 70 | (I1B) Granite | gris-blanc | (L) Lithologie | 60%FP, 35%QZ, 5%BO |
| 15-JFG-038 | 0-Nul | Amphibolite | 3 - Forte | A | 80 | (M4) Paragneiss | brun | (L) Lithologie | 25%BO, 25% QZ, 50% FP |
| 15-JFG-039 | 0-Nul | Amphibolite | 0 - Nulle | A | 100 | (I1G) Pegmatite | gris-blanc | (L) Lithologie | 70%FP, 25%QZ, 5%BO |
| 15-JFG-040 | 0-Nul | Amphibolite | 3 - Forte | A | 80 | (I1B) Granite | gris-blanc | (L) Lithologie | 60%FP, 35% QZ, 5% BO |
| 15-JFG-041 | 0-Nul | Amphibolite | 3 - Forte | A | 100 | (M4) Paragneiss | brun-rouille | (L) Lithologie | 25%BO (et autres micas gris), 40%QZ, 35%FP |
| 15-JFG-042 | 0-Nul | Amphibolite | 3 - Forte | A | 70 | (I1B) Granite | gris-blanc | (L) Lithologie | 60%FP, 35%QZ, 5% BO |
| 15-JFG-043 | 0-Nul | | 2 - Moyenne | A | 80 | (I1B) Granite | Blanc gris rouillé | (L) Lithologie | BO 5% |
| 15-JFG-044 | 0-Nul | | 1 - Faible | A | 70 | (I1B) Granite | Blanc gris rouillé | (L) Lithologie | BO 1% |
| 15-JFG-045 | | | | A | 99 | (M6) Gneiss granitique | Rouille | (L) Lithologie | FP 55%, QZ 40%, BO 5% |
| 15-JFG-046 | | | | A | 99 | (M6) Gneiss granitique | Blanc rosé, rouille | (L) Lithologie | FD 60%, QZ 35%, BO 5-15% |
| 15-JFG-047 | Fort | | | A | 99 | (V3) | Gris verdâtre | (B) Bloc | PG, AM, PO TR, MT |
| 15-JFG-048 | | | | A | 99 | (I1B/I1G) Granite pegmatitique | Blanc rosé | (L) Lithologie | FP 60%, QZ 35%, BO 5% |
| 15-JFG-049 | | | | A | 80 | (I1B/I1G) Granite pegmatitique | Blanc rosé | (L) Lithologie | FP 60%, QZ 35%, BO 5% |
| 15-JFG-050 | | | | A | 80 | I1B+I1G | beige rose | litho | 60% FP, 35% QZ, 5% BO |

| # affleurement | Magnétisme | Métamorphisme | Déformation | # litho | ratio % | Code MIF | Couleur | Corps géo | Minéraux (%) |
|----------------|------------|---------------|-------------|---------|---------|-----------------|-----------------------|----------------|---|
| 15-JFG-051 | | | | A | 99 | M4 ? | grisatre | litho | 15% BO, 40% FP, 40% QZ, 5% PO |
| 15-JFG-052 | | | | A | 90 | I1B+I1G | beige rose | litho | 60% FP, 35% QZ, 5% BO |
| 15-JFG-053 | | | | A | 50 | I1B+I1G | beige rose | litho | 60% FP, 35% QZ, 5% BO |
| 15-JV-001 | non | | | A | 99 | M4 | rouille | Litho | FP, QZ, BO |
| 15-JV-002 | non | | | A | 99 | M3 | | Litho | QZ,FP, BO |
| 15-JV-003 | non | | | A | 99 | M4 | | Litho | QZ,FP,BO |
| 15-JV-004 | non | | | A | 99 | I1B | | Litho | QZ, FP,BO(5%) |
| 15-JV-005 | non | | | A | 99 | I1B | | Litho | QZ,FP |
| 15-JV-006 | oui | | | A | 35 | I1B | PA: gris blanchatre | litho | BO (<5%) QZ-FD, MG (2%) |
| 15-JV-007 | non | | | A | 50 | I1B | PA: beige rose CF: b | litho | BO (5%), QZ-FD |
| 15-JV-008 | non | | | A | 90 | I1B | PA: gris blanc CF: b | litho | BO(10%),QZ-FD |
| 15-JV-009 | non | | | A | 40 | M1 | PA: gris fonce; CF: r | litho | FD-QZ (70%) BO(30%) |
| 15-JV-010 | non | | | A | 99 | I1G | rose | litho | FK, QZ, PL |
| 15-JV-011 | non | | | A | 85 | I1B | PA: gris pale rosé; C | litho | QZ-FD, BO (2%) |
| 15-JV-012 | non | | | A | 60 | M4 | PA: rose et gris,CF: | litho | 60% leucosome: QZ-FD, BO (<5%), 40% mel |
| 15-JV-013 | non | | | A | 80 | I1B | PA: beige rose CF: b | litho | QZ-FD (95%) BO (5%) |
| 15-JV-014 | non | | | A | 75 | I1B | PA: gris rose CF: bla | litho | QZ-FD (95%) BO (<5%) |
| 15-JV-015 | non | | | A | 75 | I1B | PA: beige rose CF: b | litho | QZ-FD (97%) BO (3%) |
| 15-JV-016 | non | | | A | 50 | I1B | PA: gris pale CF: bla | litho | QZ-FD (95%) BO (5%) |
| 15-JV-017 | non | | | A | 95 | I1B | PA: beige rose CF: b | litho | BO (3%) QZ-FP-PL (97%) |
| 15-JV-018 | non | | | A | 90 | I1B+I1G | PA: beige rose CF: b | litho | BO (2%) QZ-FP-PL (98%) |
| 15-MA-001 | 0-Nul | | 0 - Nulle | A | 99 | (I1B) Granite | Gris-rose foncé, Gri | (L) Lithologie | BO 5% |
| 15-MA-002 | 0-Nul | | 1 - Faible | A | 99 | (I1B) Granite | Gris-rose foncé, Gri | (L) Lithologie | BO 7% |
| 15-MA-003 | | | 1 - Faible | A | 99 | (M4) Paragneiss | noir brunâtre, blan | (B) Bloc | B0 60%, PY 5% |
| 15-MA-004 | Nul | | | A | 99 | (I1B) Granite | Blanc-rose (PA), ros | (L) Lithologie | BO 7%, QZ, FD |
| 15-MA-005 | Nul | | | A | 99 | (I1B) Granite | Blanc-rose (PA), ros | (L) Lithologie | BO 7%, QZ, FD |
| 15-MA-006 | Nul | | | A | 99 | (I1B) Granite | Blanc-rose (PA), ros | (L) Lithologie | BO 7%, QZ, FD |
| 15-MA-007 | Nul | | | A | 99 | (I1B) Granite | Rose-gris (PA), rose | (L) Lithologie | BO 7%, QZ, FD |
| 15-MA-008 | Nul | | | A | 99 | (I1B) Granite | Rose-gris (PA), rose | (L) Lithologie | BO 7%, QZ, FD |
| 15-MA-009 | Nul | | | A | 95 | (I1B) Granite | Gris-rose (PA), rose | (L) Lithologie | BO 5%, QZ, FD |
| 15-MA-010 | Nul | | | A | 99 | (I1B) Granite | Blanc-rose (PA), ros | (L) Lithologie | BO 7%, QZ, FD |
| 15-MA-011 | Nul | | | A | 99 | (I1B) Granite | Blanc-rose (PA), ros | (L) Lithologie | BO 7%, QZ, FD |
| 15-MA-012 | Nul | | | A | 99 | (I1B) Granite | Blanc-rose (PA), ros | (L) Lithologie | BO 7%, QZ, FD |
| 15-MA-013 | non | | | A | 90 | I1B | PA: gris rose CF: ro | Litho | 7% BO (GF a GM) |
| 15-MA-014 | non | | | A | 99 | I1B | PA: gris rose CF: ro | Litho | 7% BO (GF a GM) |
| 15-MA-015 | oui | | | A | 99 | I1B | PA: gris rose CF: ro | Litho | 5% BO (GF) |
| 15-MA-016 | non | | | A | 95 | I1B | PA: gris rose CF: ro | Litho | 10% BO (GF, GM) |
| 15-MA-017 | non | | | A | 99 | I2 | PA: beige noir CF: g | Litho | 8% BO (GM GF) |
| 15-MA-018 | non | | | A | 99 | I1B | beige-rosé | lithologie | QZ-FP-PG: 88% BO: 12% |
| 15-MA-019 | non | | | A | 99 | I1B | beige-rosé | lithologie | QZ-FP-PG: 90-95% BO: 5-10% |
| 15-MA-020 | non | | | A | 99 | M4 | beige-gris | lithologie | QZ-FP-PG: 70% BO: 30% |
| 15-MA-021 | non | | | A | 99 | M6 | beige | lithologie | QZ-FP-PG: 75% BO: 25% |

| # affleurement | Magnétisme | Métamorphisme | Déformation | # litho | ratio % | Code MIF | Couleur | Corps géo | Minéraux (%) |
|----------------|-------------------|---------------|-------------|---------|---------|------------------------|-----------------------|----------------|---|
| 15-MA-022 | non | | | A | 90 | I1B | beige | lithologie | QZ-FP-PG: 90% BO: 10% |
| 15-MA-023 | non | | | A | 99 | I3A | CF:gris verdâtre, PA | Litho | OPX-CPX (75%), PG (25%) |
| 15-MA-024 | non | | | A | 80 | I1B | PA: gris blanc CF: b | Litho | QZ,FP,PG (90-95%), BO (5-10%) |
| 15-MA-025 | non | | | A | 99 | M16 | PA: gris verdatre/ C | lithologie | AM: 85% FP-QZ-PG: 15% |
| 15-MA-026 | non | | | A | 99 | M6 | gris-blanc | lithologie | QZ-FP-PG: 92% BO: 8% |
| 15-MA-027 | non | | | A | 60 | I1B | PA: blanc-rose/ CF: | lithologie | FP-QZ-PG: 98% BO: 2% |
| 15-MA-028 | non | | | A | 99 | M6 | PA: blanc gris; CF: b | litho | leucosome: QZ-FP-PG (98%) BO(2%); melanc |
| 15-MA-029 | non | | | A | 99 | M6 | PA: beige; CF: beige | litho | leucosome: QZ-FP-PG (98%) BO (2%); melanc |
| 15-MA-030 | non | | | A | 60 | M6 | PA: gris fonce beige | litho | leucosome: QZ-FP-PG (98%) BO (2%); melanc |
| 15-MA-031 | non | | | A | 99 | M6 | PA: beige ; CF: beig | litho | leucosome: QZ-FP-PG (85%) BO (15%) ; melanc |
| 15-MA-032 | non | | | A | 99 | M6 | PA: gris beige; CF: b | litho | leucosome: QZ-FP-PG (96%) BO (4%) ; melanc |
| 15-MA-033 | non | | | A | 99 | M6 | PA: beige fonce | litho | leucosome: QZ-FP-PG (97%) BO (3%) ; melanc |
| 15-MA-034 | 0-Nul | | 2 - Moyenne | A | 99 | (M4) Paragneiss | Gris beige (PA), Gris | (L) Lithologie | BO 15% |
| 15-MA-035 | 0-Nul | | 0 - Nulle | A | 99 | (M4) Paragneiss | Blanc gris rouille | (L) Lithologie | BO 45% |
| 15-MA-036 | 0-Nul | | 1 - Faible | A | 99 | (M6) Gneiss granitique | Beige gris (PA), gris | (L) Lithologie | BO 8% |
| 15-MA-037 | 0-Nul | | 1 - Faible | A | 99 | (I1B) Granite | Beige rosé | (L) Lithologie | BO 8% |
| 15-MA-038 | 0-Nul | | 2 - Moyenne | A | 99 | (M6) Gneiss granitique | Gris beige (PA), Gris | (L) Lithologie | BO 4% |
| 15-MA-039 | | | | A | 60 | (I1B) Granite | Gris-blanc (PA), beig | (L) Lithologie | QZ-FP-PG 95%, BO 5% |
| 15-MA-040 | | | | A | 50 | (M4) Paragneiss | Beige-rouillé (PA), g | (L) Lithologie | FD-QZ-PG 85%, BO 15% |
| 15-MA-041 | | | | A | 99 | (M4) Paragneiss | | (L) Lithologie | QZ-FP-PG 95%, BO 5% |
| 15-MA-042 | non | | | A | 80 | I1B [I1G] | PA: gris beige CF:bl | litho | FP-QZ-PG (97%) BO (3%) |
| 15-MA-043 | non | | | A | 50 | I1B | PA: gris rose; CF: gr | litho | QZ-FP-PG (98%) BO (2%) |
| 15-MA-044 | non | | | A | 60 | I1B | PA: gris beige; CF: b | litho | QZ-FP-PG (95-97%) BO (3-5%) |
| 15-MA-045 | non | | | A | 60 | I1B | PA: beige rose; CF: | litho | QZ-FP-PG (98-99%) BO(1-2%) |
| 15-MA-046 | non | | | A | 60 | I1G | PA: gris beige foncé | lithologie | QZ-FP-PG: 98% BO: 2% |
| 15-MA-047 | non | | | A | 99 | M1 | PA: gris beige; CF: g | lithologie | QZ-FP-PG: 80-85% BO: 15-20% |
| 15-MA-048 | non | | | A | 99 | M4 | PA: rouille; CF: gris | lithologie | QZ-FP-PG: 75-80% BO: 20-25% |
| 15-MA-050 | non | | | A | 99 | M16 | PA: brun verdatre C | litho | FP 30%, AM 70% |
| 15-MA-051 | non | | | A | 95 | I1B [I1G] | PA: gris beige ; CF: | litho | QZ-FP-PG (95%); BO (GM)(5%) |
| 15-VR-201 | litho A léger mag | | | A | 90 | (I1B) Granite | Gris beige (PA), ros | (L) Lithologie | BO 5-7%, QZ, FD |
| 15-VR-202 | Nul | | | A | 90 | Gneiss «granitique» | Gris-rosé clair (PA), | (L) Lithologie | BO 5-10%, QZ, FD, PY |
| 15-VR-203 | Nul | | | A | 99 | Gneiss «granitique» | Beige rosé (Leuco), | (L) Lithologie | BO 1-5%(leuco) 50%(mélano), QZ, FD |
| 15-VR-204 | Localement | | | A | 99 | (I1B) Granite | Beige rosé (PA), ros | (L) Lithologie | BO 5%, MG 1%, QZ, FD |
| 15-VR-205 | | | | A | 99 | (M1) Gneiss | | (L) Lithologie | |
| 15-VR-206 | localement | | | A | 90 | I1B | PA: beige rose CF: r | Litho | QZ, FD, BO (5%) |
| 15-VR-207 | non | | | A | 99 | I1B | PA: beige blanchatr | Litho | QZ, FD, BO (10-15%) |
| 15-VR-208 | non | | | A | 90 | I1B | PA: beige rose CF: r | Litho | QZ, FD, BO (5%) |
| 15-VR-209 | Nul | | | A | 90 | (I1B) Granite | Beige rosé rouille (f | (L) Lithologie | BO 2-5%, QZ, FD, PY 2-5% |
| 15-VR-210 | Nul | | | A | 99 | (I1B) Granite | Beige-rosé (PA), be | (L) Lithologie | BO 5%, QZ, FD |

| # affleurement | Magnétisme | Métamorphisme | Déformation | # litho | ratio % | Code MIF | Couleur | Corps géo | Minéraux (%) |
|----------------|------------|---------------|-------------|---------|---------|---------------------------|-----------------------|-------------------|--|
| 15-VR-211 | non | | | A | 95 | I1B | PA: gris-beige clair, | Litho | QZ,FD, BO (5%) |
| 15-VR-212A | | | | A | 80 | I1B | Gris-rose | Litho | 5%BO, AM |
| 15-VR-212B | non | | | A | 99 | I1B | PA: beige rose, CF: | Litho | QZ, FD, BO (5%) |
| 15-VR-213A | 0-Nul | | 1 - Faible | A | 90 | (M21A) Granite d'anatexie | Beige rosé | (L) Lithologie | |
| 15-VR-213B | non | | | A | 99 | M6 | PA: gris rose clair C | litho | BO (15%) QZ-FD |
| 15-VR-214 | non | | | A | 99 | I1B | PA: rose beige CF: b | litho | BO (5%) FD-QZ |
| 15-VR-215 | non | | | A | 60 | I1B | PA: rose beige CF: r | litho | BO (5%) FD-QZ |
| 15-VR-216 | non | | | A | 60 | I1B | PA: gris rose CF: be | litho (paleosome) | BO (5%), FD-QZ |
| 15-VR-217 | non | | | A | 99 | I1B | PA: beige rose CF: r | litho | BO (5%), FD-QZ |
| 15-VR-218 | non | | | A | 99 | I1B | PA: beige rose CF: r | litho | BO (5%), FD-QZ |
| 15-VR-219 | non | | | A | 90 | I1B | PA: beige rose CF: r | litho | BO (5%), FD-QZ |
| 15-VR-220 | légèrement | | | A | 99 | (F1) Sulfure massif (PO) | gris foncé métalliqu | (L) Lithologie | PO 95%, QZ 5% |
| 15-VR-221 | non | | | A | 70 | M4 | PA: beige orange C | litho | FD-QZ (75%) BO (25%) ; leucosome (60%), m |
| 15-VR-222 | non | | | A | 60 | I1B | PA: beige rose; CF: | litho | QZ-FD (95%) BO (5%) |
| 15-VR-223 | non | | | A | 99 | I1B | PA: beige blanchatr | litho | QZ-FD (95%) BO (5%) |
| 15-VR-224 | non | | | A | 70 | M16 | PA: gris fonce ; CF: | litho | AM (70%), BO (10-15%), QZ-FD (15%) |
| 15-VR-225 | non | | | A | 80 | I1B | PA: beige rose; CF: | litho | BO (5%) , FD-QZ (95%) |
| 15-VR-226 | non | | | A | 99 | I1B | PA:blanc rose; CF: g | litho | BO (5%) , FD-QZ (95%) |
| 15-VR-227 | non | | | A | 70 | M4 | PA: brun beige; CF: | litho | FD-QZ (70-85%) BO (15-30%) ; 60% leucosom |
| 15-VR-228 | non | | | A | 99 | M4 | PA: gris moyen; CF: | litho | FD-QZ (70-90%) BO (10-30%); 70% leucosom |
| 15-VR-229 | non | | | A | 99 | I1B | PA: gris moyen; CF: | litho | FD-QZ (95%) BO (5%, en amas) |
| 15-VR-230 | non | | | A | 99 | M4 | PA:brun rouille CF: | litho | BO (15-20%) QZ-FD (60%) PO (5-10%) PY (5-1 |
| 15-VR-231 | non | | | A | 90 | I1B | PA: gris rose CF: ros | litho | BO (5%) |

| # affleurement | texture/structure | # litho2 | ratio %3 | Code MIF4 | Couleur5 | Corps géo6 |
|----------------|--------------------|----------|----------|---------------------------|---------------------|------------------------|
| 15-AM-001 | FO, GF, AE | B | 49 | (I1B) Granite | Gris moyen rosé (P) | (D) Dyke (filon) |
| 15-AM-002 | PG, MA, GM, GG | B | 15 | (M16) Amphibolite | Gris foncé | (E) Enclave |
| 15-AM-003 | FO, GF | B | 1 | | Jaune brillant | (U) Veinule (filonets) |
| 15-AM-004 | PG, MA, GM, GG, HJ | B | 20 | (I1B) Granite | Gris foncé rosé | (ZO) Zone |
| 15-AM-005 | GS, FO, GF, GM, HJ | B | 20 | (I1B) Granite | Rose Blanchâtre | (L) Lithologie |
| 15-AM-006 | GS, HK,GF,GM | | | | | |
| 15-AM-007 | GF, MA,FO | B | 40 | (I1B) Granite | Gris rosé | (L) Lithologie |
| 15-AM-008 | FO, GF | | | | | |
| 15-AM-009 | HJ, GM, MA | | | | | |
| 15-AM-010 | GS, GM | B | 40 | (M21A) Granite d'anatexie | Gris foncé | (L) Lithologie |
| 15-AM-011 | GM, GF, MA | | | | | |
| 15-AM-012 | HJ, PG, MA, GG, GM | B | 40 | (M22) Migmatite | Gris foncé blanchât | (L) Lithologie |
| 15-AM-013 | GM,GG,MA ,PG | | | | | |
| 15-AM-014 | GS, GM | | | | | |
| 15-AM-015 | GM,GG,MA ,PG | B | 30 | (M3) Orthogneiss | Gris beige foncé | (L) Lithologie |
| 15-AM-016 | FO, GF, AE | | | | | |
| 15-AM-017 | GF, GM, MA | B | 40 | (M4) Paragneiss | rouille | (L) Lithologie |
| 15-AM-018 | GS, GM, GG | | | | | |
| 15-AM-019 | MA, PG, GG, GM | B | 7 | (M6) Gneiss granitique | Gris foncé | (L) Lithologie |
| 15-AM-020 | GM, GG, MA, PG, HK | B | 6 | (M6) Gneiss granitique | Gris foncé | (ZO) Zone |
| 15-AM-021 | PG, GM, MA | | | | | |
| 15-AM-022 | GG, PG, MA, GM | B | 20 | (M16) Amphibolite | Gris noir | (E) Enclave |
| 15-AM-023 | GM, GG, PG, MA | B | 10 | (M4) Paragneiss | Gris moyen brun | (E) Enclave |
| 15-AM-024 | GM, GG, PG, MA | | | | | |
| 15-AM-025 | MA, PG, GG, GM, AE | B | 45 | (M4) Paragneiss | Gris rouille | (L) Lithologie |
| 15-AM-026 | MA, PG, GG, GM | | | | | |
| 15-AM-027 | MA, PG, GG, GM | | | | | |
| 15-AM-028 | GM, MA | B | 10 | (M4) Paragneiss | Gris foncé | (L) Lithologie |
| 15-JFG-001 | (MA) Massif(ve) | | | | | |
| 15-JFG-002 | (MA) Massif(ve) | B | 0.15 | (M3) Orthogneiss | Gris-brun foncé | (9) Mobilisat/néosome |
| 15-JFG-003 | (RU) Rubané(e) | | | | | |
| 15-JFG-004 | (MA) Massif(ve) | B | 20 | (I1G) Pegmatite | Gris-blanc | (9) Mobilisat/néosome |
| 15-JFG-005 | (RU) Rubané(e) | | | | | |
| 15-JFG-006 | (RU) Rubané(e) | B | 40 | (I1G) Pegmatite | Gris-blanc | (9) Mobilisat/néosome |
| 15-JFG-007 | (MA) Massif(ve) | B | 10 | (M4) Paragneiss | Gris-brun | (E) Enclave |
| 15-JFG-008 | (MA) Massif(ve) | | | | | |
| 15-JFG-009 | (MA) Massif(ve) | B | 10 | (M4) Paragneiss | Gris-brun | (E) Enclave |
| 15-JFG-010 | (MA) Massif(ve) | B | 2 | (M4) Paragneiss | Gris-brun | (E) Enclave |
| 15-JFG-011 | (MA) Massif(ve) | | | | | |
| 15-JFG-012 | (MA) Massif(ve) | B | 40 | (M6) Gneiss granitique | Gris-blanc | (9) Mobilisat/néosome |

| # affleurement | texture/structure | # litho2 | ratio %3 | Code MIF4 | Couleur5 | Corps géo6 |
|----------------|--------------------------|----------|----------|---------------------------------|----------------------|-------------------|
| 15-JFG-013 | (RU) Rubané(e) | B | 40 | (I1B) Granite | Gris-blanc | (L) Lithologie |
| 15-JFG-014 | (MA) Massif(ve) | B | 40 | (M8) Schiste | Brun foncé à noir | (E) Enclave |
| 15-JFG-015 | GM, FO, FA | | | | | |
| 15-JFG-016 | GM, GG, RU | | | | | |
| 15-JFG-017 | GF, LI | | | | | |
| 15-JFG-018 | GM, GG, FA | | | | | |
| 15-JFG-019 | (RU) Rubané(e) | | | | | |
| 15-JFG-020 | (RU) Rubané(e) | | | | | |
| 15-JFG-021 | GF, RU +++ | B | 30 | (I1G) Pegmatite avec enclave M4 | gris beige | (L) Lithologie |
| 15-JFG-022 | GM, GG, MA | B | 30 | (M4) Paragneiss | beige | enclave |
| 15-JFG-023 | GM, GG, MA | B | 30 | (M4) Paragneiss | beige | enclave |
| 15-JFG-024 | PG, GM, GG, MA, loc RU | B | 30 | (M4) Paragneiss | beige rouille | (L) Lithologie |
| 15-JFG-025 | GM, GTG | | | | | |
| 15-JFG-026 | RU, FO, GF | B | 30 | (I1B) Granite | Gris rosé | (L) Lithologie |
| 15-JFG-027 | GF, GM, MA | | | | | |
| 15-JFG-028 | GF, RU+++ , plissé | | | | | |
| 15-JFG-029 | GM, GG, MA, PG | B | 20 | (M4) Paragneiss | Gris foncé | (E) Enclave |
| 15-JFG-030 | GM, GG, MA, PG | B | 20 | (M4) Paragneiss | Gris foncé | (L) Lithologie |
| 15-JFG-031 | GM, GG, MA, PG | B | 5 | (M4) Paragneiss | Gris foncé | (ME) Mélanosome |
| 15-JFG-032 | GM, GG, MA, PG | B | 5 | (M4) Paragneiss | Gris foncé | (ME) Mélanosome |
| 15-JFG-033 | GM, GG, MA, PG | B | 20 | (M4) Paragneiss | Gris foncé | (E) Enclave |
| 15-JFG-034 | (RU) Rubané(e) | | | | | |
| 15-JFG-035 | (SC) Schisteux | | | | | |
| 15-JFG-036 | (PG) Pegmatitique | B | 30 | (M4) Paragneiss | brun | (L) Lithologie |
| 15-JFG-037 | (PG) Pegmatitique | B | 30 | (M4) Paragneiss | brun | (L) Lithologie |
| 15-JFG-038 | (RU) Rubané(e) | B | 20 | (I1B) Granite | gris-blanc | (L) Lithologie |
| 15-JFG-039 | (PG) Pegmatitique | | | | | |
| 15-JFG-040 | (MA) Massif(ve) | B | 20 | (M4) Paragneiss | brun | (L) Lithologie |
| 15-JFG-041 | (RU) Rubané(e) | | | | | |
| 15-JFG-042 | (RU) Rubané(e) | B | 30 | (M4) Paragneiss | brun | (E) Enclave |
| 15-JFG-043 | MA, PG | B | 20 | (M4) Paragneiss | Gris foncé | (L) Lithologie |
| 15-JFG-044 | GM, GG, MA, PG | B | 30 | (M4) Paragneiss | Gris foncé | (E) Enclave |
| 15-JFG-045 | GM, RU | | | | | |
| 15-JFG-046 | GM, GG, RU ++ | | | | | |
| 15-JFG-047 | GTF, MA | | | | | |
| 15-JFG-048 | GM, GG, GP, MA, QZ 12 cm | | | | | |
| 15-JFG-049 | GM, GG, MA | B | 0.2 | (M4) Paragneiss | Gris clair | Enclave |
| 15-JFG-050 | GM, GG, PG, RU++ | B | 20 | M4 | gris,rouille localem | enclaves (dm a m) |

| # affleurement | texture/structure | # litho2 | ratio %3 | Code MIF4 | Couleur5 | Corps géo6 |
|----------------|---|----------|----------|-----------------|----------------------|------------------|
| 15-JFG-051 | GF, RU+++ (subhorizontal et ondulant) | | | | | |
| 15-JFG-052 | GM, GG, PG | B | 10 | M4 | gris fonce | enclave (dm a m) |
| 15-JFG-053 | GM, GG | B | 20 | M4? | gris fonce | enclaves |
| 15-JV-001 | FO | | | | | |
| 15-JV-002 | rubanee, GM a GG | | | | | |
| 15-JV-003 | | | | | | |
| 15-JV-004 | rubanee, GM a GG | | | | | |
| 15-JV-005 | MA, GM a GG | | | | | |
| 15-JV-006 | GM, GG,PG | B | 65 | M4 | gris | litho |
| 15-JV-007 | GM-GG-PG | B | 50 | M8BO | PA: gris moyen CF: | enclaves |
| 15-JV-008 | GF,GM | B | 10 | M16 | PA: gris fonce CF: n | enclaves |
| 15-JV-009 | GN, GF | B | 60 | I1B | PA: beige rose; CF: | litho |
| 15-JV-010 | GG,PG, GP | | | | | |
| 15-JV-011 | Plissé par endroits; GM,GG, PG (localement) | B | 15 | M4 | PA: gris foncé ; CF: | enclaves |
| 15-JV-012 | GN,GF,GM, MA(leucosomes) | B | 40 | M16 | PA:gris fonce; CF: n | litho |
| 15-JV-013 | MA, GF,GM,GG, PG (localement) | B | 20 | M4 | PA: gris moyen CF: | litho |
| 15-JV-014 | MA,GF,GM | B | 25 | M4 | PA: brun moyen CF | litho |
| 15-JV-015 | MA, GM | B | 20 | M4 | PA: gris fonce CF: g | litho |
| 15-JV-016 | MA,GF, GM | B | 40 | M4 | PA: gris moyen CF: | litho |
| 15-JV-017 | MA, GM, GG, PG(localement) | B | 5 | M4 | PA: gris fonce CF: g | enclave |
| 15-JV-018 | MA, GF, GM,GG,PG | B | 10 | M4 | PA: gris fonceCF: gr | enclave |
| 15-MA-001 | GM, MA | | | | | |
| 15-MA-002 | FO, GM, GF, MA, GS | | | | | |
| 15-MA-003 | FO, GF | | | | | |
| 15-MA-004 | GM, GG, MA, grenue, BO GF | | | | | |
| 15-MA-005 | GM, GG, MA, grenue, BO GF | | | | | |
| 15-MA-006 | GM, GF, MA, | | | | | |
| 15-MA-007 | GM, MA, grenue | B | 1 | (M4) Paragneiss | | enclave |
| 15-MA-008 | GM, MA, grenue | | | | | |
| 15-MA-009 | BO GF, GM, GG, MA, grenue | B | 5 | (M4) Paragneiss | | enclave |
| 15-MA-010 | GM, GG, MA, grenue, BO GF | | | | | |
| 15-MA-011 | GM, GG, MA, grenue, BO GF | | | | | |
| 15-MA-012 | GM, GG, MA, grenue, BO GF | | | | | |
| 15-MA-013 | GM GG PG MA | B | 10 | M4 | PA: gris beige CF: b | enclave |
| 15-MA-014 | GM GG PG MA | | | | | |
| 15-MA-015 | GF GM GG PG MA | B | 1 | M4 | | enclave |
| 15-MA-016 | GF GM GG PG MA | B | 5 | M4 | | enclave |
| 15-MA-017 | GM GG FO | | | | | |
| 15-MA-018 | GM,GG,MA | | | | | |
| 15-MA-019 | GM, GG, MA | | | | | |
| 15-MA-020 | FO, GF, GM | | | | | |
| 15-MA-021 | GF, GM, GS | | | | | |

| # affleurement | texture/structure | # litho2 | ratio %3 | Code MIF4 | Couleur5 | Corps géo6 |
|----------------|---------------------------------|----------|----------|-------------------|---------------------------|-----------------|
| 15-MA-022 | GF, GM, MA | B | 7% | M4 | gris foncé | Enclave |
| 15-MA-023 | GF, GM, MA | | | | | |
| 15-MA-024 | GM, GF, MA | B | 20 | M4 | beige foncé | enclave |
| 15-MA-025 | GF, FO | | | | | |
| 15-MA-026 | GF, GS | | | | | |
| 15-MA-027 | GF, GM, GG, MA | B | 40 | M6 | PA: beige/ CF: beige | lithologie |
| 15-MA-028 | GF, GM, GS | | | | | |
| 15-MA-029 | GF,GM,GS | | | | | |
| 15-MA-030 | GF,GM,GS | B | 40 | I1B | PA: beige rose; CF: beige | litho |
| 15-MA-031 | GF, GM, GS | | | | | |
| 15-MA-032 | GF, GM, GS | | | | | |
| 15-MA-033 | GF,GM, GS | | | | | |
| 15-MA-034 | GF, FO, HK | | | | | |
| 15-MA-035 | HK, BO, GF, GG, GM, FO | | | | | |
| 15-MA-036 | GF, GM, GS | B | 10 | (M4) Paragneiss | gris foncé | (ME) Mélanosome |
| 15-MA-037 | MA, GF, GM | | | | | |
| 15-MA-038 | GF, GM, RU | B | 10 | (M4) Paragneiss | gris foncé | (ME) Mélanosome |
| 15-MA-039 | GF, GM, MA | B | 40 | (M4) Paragneiss | Gris-pâle (PA), gris- | Enclave |
| 15-MA-040 | GF, GM, FO | B | 35 | (M16) Amphibolite | Gris-verdâtre (PA), | Enclave |
| 15-MA-041 | GF, GM, MA | | | | | |
| 15-MA-042 | GM, GG,PG,MA | B | 20 | M4 | PA: brun-beige ; CF: brun | litho |
| 15-MA-043 | GM, GG, MA | B | 50 | M4 | PA: rouille; CF: gris | litho |
| 15-MA-044 | GF,GM,GG,MA | B | 40 | M4 | PA: brun-gris; CF: gris | litho |
| 15-MA-045 | GF, GM,GG, MA | B | 35 | M4 | PA: beige gris; CF: gris | litho |
| 15-MA-046 | GM, GG, MA | B | 40 | M4 | PA: gris beige foncé | lithologie |
| 15-MA-047 | GF, GM, MA | | | | | |
| 15-MA-048 | GF, GM, RU | | | | | |
| 15-MA-050 | GF, FO | | | | | |
| 15-MA-051 | GM,GG,PG,MA | B | 5 | M4 | PA: gris verdâtre; C | enclaves (dm) |
| 15-VR-201 | GM, Hypidiomorphes, MA, HJ | B | 10 | (M4) Paragneiss | Brun beige (PA), Gr | Enclave |
| 15-VR-202 | GM, GF, HM légère, GN | B | 10 | (M16) Amphibolite | Vert foncé | Enclave |
| 15-VR-203 | GN, GF, rare GM | | | | | |
| 15-VR-204 | GM, GF, HM légère, MA, HJ | | | | | |
| 15-VR-205 | GN, GF | | | | | |
| 15-VR-206 | GF GM, BO en amas hypidiomorphe | B | 10 | M1 | PA: brun rouille CF: brun | enclave |
| 15-VR-207 | MA GF GM | | | | | |
| 15-VR-208 | MA GM,BO = GF hypidio | B | 10 | M1 | gris moyen | enclave |
| 15-VR-209 | GM, GG, BO GF, PY en amas | B | 10 | (M1) Gneiss | Gris moyen | Enclave |
| 15-VR-210 | GF, GM MA | | | | | |

| # affleurement | texture/structure | # litho2 | ratio %3 | Code MIF4 | Couleur5 | Corps géo6 |
|----------------|--------------------------------------|----------|----------|------------------------|-----------------------|--------------------|
| 15-VR-211 | GF, GM, MA | B | 5 | M1 | gris moyen | enclave |
| 15-VR-212A | PG, GG, GM, MA | B | 15 | M4 | gris foncé | enclave |
| 15-VR-212B | MA GM GG, BO=GF | | | | | |
| 15-VR-213A | MA, GM, HJ | B | 10 | (M6) Gneiss granitique | Vert foncé | (ME) Mélanosome |
| 15-VR-213B | GF, GM, GN | | | | | |
| 15-VR-214 | GM-GG, PG dans region centrale | | | | | |
| 15-VR-215 | GM,GG,MA (2% de zone PG) | B | 40 | M6 | PA: gris moyen CF: | litho |
| 15-VR-216 | GM, MA | B | 20 | I1B | PA: gris rose CF: be | litho (melanosome) |
| 15-VR-217 | GM, MA | | | | | |
| 15-VR-218 | GM, MA | | | | | |
| 15-VR-219 | GM, MA | B | 10 | M4 | gris beige | enclave |
| 15-VR-220 | MA, HJ, GF, GM, hypidiomorphe | | | | | |
| 15-VR-221 | GN, GF,GM | B | 30 | I1B/ I1G | PA: blanc beige; CF: | litho |
| 15-VR-222 | GF, GM | B | 40 | M4 | PA: gris fonce ; CF: | litho |
| 15-VR-223 | GM, GG,MA | | | | | |
| 15-VR-224 | GF, GM, SC | B | 30 | I1B | PA: brun beige ; CF: | litho |
| 15-VR-225 | GM, MA, avec enclaves M4 (DM a M) | B | 20 | M4 | PA: gris moyen; CF: | enclave |
| 15-VR-226 | GF, GM, MA | | | | | |
| 15-VR-227 | GF, GM, GN | B | 30 | I1B | PA: gris rose; CF: bl | litho |
| 15-VR-228 | GF, GM,GN (GN semble subhorizontal) | | | | | |
| 15-VR-229 | GM, GG, MA | | | | | |
| 15-VR-230 | GF, GN, GM (QZ) | | | | | |
| 15-VR-231 | GF (BO), GM, GG, MA (QZ-FD) PG (30%) | B | 10 | M4 | PA: gris brun CF: gr | litho |
| | | | | | | |

Lithologie

| # affleurement | Minéraux (%)7 | texture/structure8 | # litho9 | ratio %10 | Code MIF11 | Couleur12 |
|----------------|----------------------|--------------------|----------|-----------|-------------------|--------------------|
| 15-AM-001 | BO 5%, PY trace | PG, GM, GG, MA | C | 1 | (I1B) Granite | Gris moyen rosé (P |
| 15-AM-002 | AM 95% | MA, GF, GM | | | | |
| 15-AM-003 | PY 99% | MA, GF, GM | | | | |
| 15-AM-004 | BO 6% | GS, FO, GM, GF | C | 15 | (M20) Métatexite | gris blanc |
| 15-AM-005 | BO 6% | EQ, PG, GG, MA, GM | | | | |
| 15-AM-006 | | | | | | |
| 15-AM-007 | | GG, PG, MA | | | | |
| 15-AM-008 | | | | | | |
| 15-AM-009 | | | | | | |
| 15-AM-010 | MF < 1% | HJ, GM, MA | C | 5 | | blanchâtre |
| 15-AM-011 | | | | | | |
| 15-AM-012 | BO | HK, GM, GG, GF | C | 10 | (I1D) Tonalite | Gris bleuté |
| 15-AM-013 | | | | | | |
| 15-AM-014 | | | | | | |
| 15-AM-015 | MF 35% | GS, GF, GM | | | | |
| 15-AM-016 | | | | | | |
| 15-AM-017 | BO 25%, GP 3% | GF, GM SC, AE | | | | |
| 15-AM-018 | | | | | | |
| 15-AM-019 | BO 20% | GS, GF, GM | | | | |
| 15-AM-020 | BO 15% | GS, GM, HK | | | | |
| 15-AM-021 | | | | | | |
| 15-AM-022 | BO 10%, AM 50% | FO, GF | C | 5 | (M4) Paragneiss | Gris brun |
| 15-AM-023 | BO 15% | | | | | |
| 15-AM-024 | | | | | | |
| 15-AM-025 | BO 30% | GF, FO, AE | | | | |
| 15-AM-026 | | | | | | |
| 15-AM-027 | | | | | | |
| 15-AM-028 | BO 15% | | | | | |
| 15-JFG-001 | | | | | | |
| 15-JFG-002 | 90% BO, 8% FP, 2% QZ | (RU) Rubané(e) | | | | |
| 15-JFG-003 | | | | | | |
| 15-JFG-004 | | (MA) Massif(ve) | | | | |
| 15-JFG-005 | | | | | | |
| 15-JFG-006 | 55%FP, 40%QZ, 5%BO | (HK) Hétérogène | C | 10 | (M16) Amphibolite | Gris-vert foncé |
| 15-JFG-007 | 20%BO, 50%FP, 30%QZ | (RU) Rubané(e) | C | 1 | (M16) Amphibolite | Gris-vert foncé |
| 15-JFG-008 | | | | | | |
| 15-JFG-009 | | | | | | |
| 15-JFG-010 | 20%BO, 50%FP, 30%QZ | (RU) Rubané(e) | | | | |
| 15-JFG-011 | | | | | | |
| 15-JFG-012 | | (RU) Rubané(e) | | | | |

Lithologie

| # affleurement | Minéraux (%)7 | texture/structure8 | # litho9 | ratio %10 | Code MIF11 | Couleur12 |
|----------------|--------------------------|--|----------|-----------|------------|-----------|
| 15-JFG-013 | 50%FP, 40%QZ, 10%BO | (MA) Massif(ve) | | | | |
| 15-JFG-014 | 60%BO, 10%AM, 30%FP | (SC) Schisteux | | | | |
| 15-JFG-015 | | | | | | |
| 15-JFG-016 | | | | | | |
| 15-JFG-017 | | | | | | |
| 15-JFG-018 | | | | | | |
| 15-JFG-019 | | | | | | |
| 15-JFG-020 | | | | | | |
| 15-JFG-021 | FD 50%, QZ 45%, BO 5% | GG, RU + | | | | |
| 15-JFG-022 | FD 70%, QZ 15%, BO 15% | enclave métrique à décimétrique | | | | |
| 15-JFG-023 | FD 70%, QZ 15%, BO 15% | | | | | |
| 15-JFG-024 | FD 60%, BO 20%, QZ 20% | GF, RU +++, SI + localement, TR PY disséminé | | | | |
| 15-JFG-025 | | | | | | |
| 15-JFG-026 | FP 60%, QZ 35%, BO 5% | GG, GM, MA | | | | |
| 15-JFG-027 | | | | | | |
| 15-JFG-028 | | | | | | |
| 15-JFG-029 | BO 20%, FP 50% | FO, GF | | | | |
| 15-JFG-030 | FP 50%, BO 20% | GF, RU | | | | |
| 15-JFG-031 | BO 20%, FP 50% | GF, RU | | | | |
| 15-JFG-032 | BO 20%, FP 50% | GF, RU | | | | |
| 15-JFG-033 | BO 20%, FP 50% | GF, RU | | | | |
| 15-JFG-034 | | | | | | |
| 15-JFG-035 | | | | | | |
| 15-JFG-036 | 20%BO, 30%QZ, 50%FP | (RU) Rubané(e) | | | | |
| 15-JFG-037 | 25%BO, 25%QZ, 50%FP | (RU) Rubané(e) | | | | |
| 15-JFG-038 | 60%FP, 35% QZ, 5% BO | (PG) Pegmatitique | | | | |
| 15-JFG-039 | | | | | | |
| 15-JFG-040 | 20%BO, 60%FP, 20%QZ | (RU) Rubané(e) | | | | |
| 15-JFG-041 | | | | | | |
| 15-JFG-042 | 50%FP, 30%QZ, 20%BO | (RU) Rubané(e) | | | | |
| 15-JFG-043 | BO 15%, PO 5% | GF, RU, AE | | | | |
| 15-JFG-044 | BO 15%, PO 5%, PY 1%, GP | GF, RU, AE | | | | |
| 15-JFG-045 | | | | | | |
| 15-JFG-046 | | | | | | |
| 15-JFG-047 | | | | | | |
| 15-JFG-048 | | | | | | |
| 15-JFG-049 | FP 50%, QZ 30%, BO 20% | GF, RU +++) | | | | |
| 15-JFG-050 | 50% FP, 25% BO, 25% QZ | GF, RU++) | | | | |

Lithologie

| # affleurement | Minéraux (%)7 | texture/structure8 | # litho9 | ratio %10 | Code MIF11 | Couleur12 |
|----------------|----------------------------|---|----------|-----------|------------|----------------------|
| 15-JFG-051 | | | | | | |
| 15-JFG-052 | 20% BO, 30% QZ, 50% FP | GF, RU+++ , plissotte | | | | |
| 15-JFG-053 | 10-20% BO, 50% FP, 30% Q | GF, RU+++ , plisse | C | 30 | M16 | gris fonce verdatre |
| 15-JV-001 | | | | | | |
| 15-JV-002 | | | | | | |
| 15-JV-003 | | | | | | |
| 15-JV-004 | | | | | | |
| 15-JV-005 | | | | | | |
| 15-JV-006 | BO (30%) , QZ-FD | GF, FO | | | | |
| 15-JV-007 | BO (40%), QZ, mineral vert | GF, MA | | | | |
| 15-JV-008 | BO(30%) AM(60%) QZ-FD (| GF, faible FO | | | | |
| 15-JV-009 | QZ-FD (96-98%) BO (2-4%) | MA, GF, GM | | | | |
| 15-JV-010 | | | | | | |
| 15-JV-011 | 60%leucosome : QZ-FD, BO | GN, GF,GM | | | | |
| 15-JV-012 | AM (75%), FD,QZ | GF, GM, legere FO | | | | |
| 15-JV-013 | QZ-FD (80-85%) BO (15-20% | GF, GN | | | | |
| 15-JV-014 | leucosome: BO (5-10%) QZ | GF, GN | | | | |
| 15-JV-015 | leucosome: BO (5-10%) QZ | GF, GN | C | 5 | M16 | PA: gris fonce CF: n |
| 15-JV-016 | QZ-FD (80%) BO (20%) | GF,GM | C | 10 | M16 | PA: gris fonce CF: g |
| 15-JV-017 | BO (30%) QZ-FP-PL (70%) | GF, GN | | | | |
| 15-JV-018 | BO (20%) QZ-FP-PL (80%) | GF, GN | | | | |
| 15-MA-001 | | | | | | |
| 15-MA-002 | | | | | | |
| 15-MA-003 | | | | | | |
| 15-MA-004 | | | | | | |
| 15-MA-005 | | | | | | |
| 15-MA-006 | | | | | | |
| 15-MA-007 | BO, PG, QZ, FD | enclave, GN | | | | |
| 15-MA-008 | | | | | | |
| 15-MA-009 | BO, PG, QZ, FD | enclave, GN | | | | |
| 15-MA-010 | | | | | | |
| 15-MA-011 | | | | | | |
| 15-MA-012 | | | | | | |
| 15-MA-013 | BO 25% (GF) | GF, FO, dm à m allongées orientee +/- N-S | | | | |
| 15-MA-014 | | | | | | |
| 15-MA-015 | BO 50% (GF), PY trace ? | | | | | |
| 15-MA-016 | BO 20% (GF) | | | | | |
| 15-MA-017 | | | | | | |
| 15-MA-018 | | | | | | |
| 15-MA-019 | | | | | | |
| 15-MA-020 | | | | | | |
| 15-MA-021 | | | | | | |

Lithologie

| # affleurement | Minéraux (%)7 | texture/structure8 | # litho9 | ratio %10 | Code MIF11 | Couleur12 |
|----------------|------------------------------|---|----------|-----------|---------------|----------------------|
| 15-MA-022 | QZ-FP-PG: 95% BO: 5% | GF, MA | C | 3% | M1 | beige |
| 15-MA-023 | | | | | | |
| 15-MA-024 | QZ-FP-PG (70%), BO (30%) | GF, FO | | | | |
| 15-MA-025 | | | | | | |
| 15-MA-026 | | | | | | |
| 15-MA-027 | FP-QZ-PG: 80% BO: 20% | GF, FO | | | | |
| 15-MA-028 | | | | | | |
| 15-MA-029 | | | | | | |
| 15-MA-030 | QZ-FP-PG (96%) BO (4%) | GF, GM,MA | | | | |
| 15-MA-031 | | | | | | |
| 15-MA-032 | | | | | | |
| 15-MA-033 | | | | | | |
| 15-MA-034 | | | | | | |
| 15-MA-035 | | | | | | |
| 15-MA-036 | BO 30% | GF, GM, GS | | | | |
| 15-MA-037 | | | | | | |
| 15-MA-038 | BO 30% | GF, GM, FO | | | | |
| 15-MA-039 | QZ-FP-PG 80-85%, BO 15-20% | GF, FO | | | | |
| 15-MA-040 | FD 75%, AM 25% | GF, MA | C | 15 | (I1B) Granite | Gris (PA), Gris pâle |
| 15-MA-041 | | | | | | |
| 15-MA-042 | leucosome: PG-FD-QZ (96%) | GF, FO | | | | |
| 15-MA-043 | QZ-FP-PG (80%) BO(19%) S | GF | | | | |
| 15-MA-044 | QZ-FP-PG (75%) BO(25%) | GF | | | | |
| 15-MA-045 | leucosome : QZ-FP-PG (98%) | GF,FO | C | 5 | M16 | PA: vert foncé; CF: |
| 15-MA-046 | QZ-FP-FP: 70-75%; BO: 25-30% | GF, GM, FO | | | | |
| 15-MA-047 | | | | | | |
| 15-MA-048 | | | | | | |
| 15-MA-050 | | | | | | |
| 15-MA-051 | QZ-FP-PG (85%), BO (15%) | GF, FO | | | | |
| 15-VR-201 | BO 15%, QZ, FD | GN, GF, enclave | | | | |
| 15-VR-202 | BO, AM, PY | MA, GF, enclave | | | | |
| 15-VR-203 | | | | | | |
| 15-VR-204 | | | | | | |
| 15-VR-205 | | | | | | |
| 15-VR-206 | QZ, FD, PY(5%), PO(2%), CP | QZ+FD = GF a GM, PY = GF a GM hypidio a idiomorphe, PO = GF | | | | |
| 15-VR-207 | | | | | | |
| 15-VR-208 | QZ,FD, BO (40%) | GF GN | | | | |
| 15-VR-209 | BO 15%, QZ, FD, PY 5% | GF, GN | | | | |
| 15-VR-210 | | | | | | |

Lithologie

| # affleurement | Minéraux (%)7 | texture/structure8 | # litho9 | ratio %10 | Code MIF11 | Couleur12 |
|----------------|-----------------------------|---|----------|-----------|------------|----------------------|
| 15-VR-211 | QZ, FD, BO (45%) | BO= GF, QZ-FD = GN | | | | |
| 15-VR-212A | 20%BO | FO, GF | C | 5 | M16 | Noir verdâtre |
| 15-VR-212B | | | | | | |
| 15-VR-213A | BO 80% | GF, FO | | | | |
| 15-VR-213B | | | | | | |
| 15-VR-214 | | | | | | |
| 15-VR-215 | BO (5-10%) FD,QZ | zones enrichi en BO (15%) = melanosome, zones sans Mg-Fe = leucosomes | | | | |
| 15-VR-216 | BO(35%), FD,QZ, tr GT | GF-GM | C | 20 | I1B | PA: gris rose CF: be |
| 15-VR-217 | | | | | | |
| 15-VR-218 | | | | | | |
| 15-VR-219 | BO (20-25%) FD-QZ | 1.5 m de long,10 cm epais | | | | |
| 15-VR-220 | | | | | | |
| 15-VR-221 | QZ-FD (90-95%) ; BO (5-10%) | GM-GG-MA | | | | |
| 15-VR-222 | 60% melanosome : QZ-FD (| GN, GF,GM | | | | |
| 15-VR-223 | | | | | | |
| 15-VR-224 | FD-QZ (95%) BO (5%) | GF,GM, MA | | | | |
| 15-VR-225 | FD-QZ (80-85%) BO (15-20%) | GN,GF, GM | | | | |
| 15-VR-226 | | | | | | |
| 15-VR-227 | FD-QZ (90-95%) BO (5-10%) | GM, GG | | | | |
| 15-VR-228 | | | | | | |
| 15-VR-229 | | | | | | |
| 15-VR-230 | | | | | | |
| 15-VR-231 | BO (15%) | GF (BO), GF, GM (QZ-FD), GN | | | | |
| | | | | | | |

| # affleurement | Corps géo13 | Minéraux (%)14 | texture/structure15 | # litho16 | ratio %17 | Code MIF18 | Couleur19 |
|----------------|----------------|----------------|---------------------|-----------|-----------|-------------------|---------------|
| 15-AM-001 | (E) Enclave | BO 20% | GF, FO | | | | |
| 15-AM-002 | | | | | | | |
| 15-AM-003 | | | | | | | |
| 15-AM-004 | (ZO) Zone | BO 5% | RU, EQ, FO, GM | D | 5 | (M16) Amphibolite | noir verdâtre |
| 15-AM-005 | | | | | | | |
| 15-AM-006 | | | | | | | |
| 15-AM-007 | | | | | | | |
| 15-AM-008 | | | | | | | |
| 15-AM-009 | | | | | | | |
| 15-AM-010 | (V) Veine | QZ, DP | MA, SC, GM, GG | | | | |
| 15-AM-011 | | | | | | | |
| 15-AM-012 | (L) Lithologie | BO 7% | GF, FO | | | | |
| 15-AM-013 | | | | | | | |
| 15-AM-014 | | | | | | | |
| 15-AM-015 | | | | | | | |
| 15-AM-016 | | | | | | | |
| 15-AM-017 | | | | | | | |
| 15-AM-018 | | | | | | | |
| 15-AM-019 | | | | | | | |
| 15-AM-020 | | | | | | | |
| 15-AM-021 | | | | | | | |
| 15-AM-022 | (E) Enclave | BO 15% | FO, GF | | | | |
| 15-AM-023 | | | | | | | |
| 15-AM-024 | | | | | | | |
| 15-AM-025 | | | | | | | |
| 15-AM-026 | | | | | | | |
| 15-AM-027 | | | | | | | |
| 15-AM-028 | | | | | | | |
| 15-JFG-001 | | | | | | | |
| 15-JFG-002 | | | | | | | |
| 15-JFG-003 | | | | | | | |
| 15-JFG-004 | | | | | | | |
| 15-JFG-005 | | | | | | | |
| 15-JFG-006 | (E) Enclave | 60%HB, 40%FP | (MA) Massif(ve) | | | | |
| 15-JFG-007 | (E) Enclave | 90%AM, 10%FP | (RU) Rubané(e) | | | | |
| 15-JFG-008 | | | | | | | |
| 15-JFG-009 | | | | | | | |
| 15-JFG-010 | | | | | | | |
| 15-JFG-011 | | | | | | | |
| 15-JFG-012 | | | | | | | |



| # affleurement | Corps géo13 | Minéraux (%)14 | texture/structure15 | # litho16 | ratio %17 | Code MIF18 | Couleur19 |
|----------------|-------------|----------------|---------------------|-----------|-----------|------------|-----------|
| 15-JFG-013 | | | | | | | |
| 15-JFG-014 | | | | | | | |
| 15-JFG-015 | | | | | | | |
| 15-JFG-016 | | | | | | | |
| 15-JFG-017 | | | | | | | |
| 15-JFG-018 | | | | | | | |
| 15-JFG-019 | | | | | | | |
| 15-JFG-020 | | | | | | | |
| 15-JFG-021 | | | | | | | |
| 15-JFG-022 | | | | | | | |
| 15-JFG-023 | | | | | | | |
| 15-JFG-024 | | | | | | | |
| 15-JFG-025 | | | | | | | |
| 15-JFG-026 | | | | | | | |
| 15-JFG-027 | | | | | | | |
| 15-JFG-028 | | | | | | | |
| 15-JFG-029 | | | | | | | |
| 15-JFG-030 | | | | | | | |
| 15-JFG-031 | | | | | | | |
| 15-JFG-032 | | | | | | | |
| 15-JFG-033 | | | | | | | |
| 15-JFG-034 | | | | | | | |
| 15-JFG-035 | | | | | | | |
| 15-JFG-036 | | | | | | | |
| 15-JFG-037 | | | | | | | |
| 15-JFG-038 | | | | | | | |
| 15-JFG-039 | | | | | | | |
| 15-JFG-040 | | | | | | | |
| 15-JFG-041 | | | | | | | |
| 15-JFG-042 | | | | | | | |
| 15-JFG-043 | | | | | | | |
| 15-JFG-044 | | | | | | | |
| 15-JFG-045 | | | | | | | |
| 15-JFG-046 | | | | | | | |
| 15-JFG-047 | | | | | | | |
| 15-JFG-048 | | | | | | | |
| 15-JFG-049 | | | | | | | |
| 15-JFG-050 | | | | | | | |

| # affleurement | Corps géo13 | Minéraux (%)14 | texture/structure15 | # litho16 | ratio %17 | Code MIF18 | Couleur19 |
|----------------|-----------------------|--------------------|---------------------|-----------|-----------|------------|-----------|
| 15-JFG-051 | | | | | | | |
| 15-JFG-052 | | | | | | | |
| 15-JFG-053 | enclaves | 60% HB, 40% FP | GM, RU ++ | | | | |
| 15-JV-001 | | | | | | | |
| 15-JV-002 | | | | | | | |
| 15-JV-003 | | | | | | | |
| 15-JV-004 | | | | | | | |
| 15-JV-005 | | | | | | | |
| 15-JV-006 | | | | | | | |
| 15-JV-007 | | | | | | | |
| 15-JV-008 | | | | | | | |
| 15-JV-009 | | | | | | | |
| 15-JV-010 | | | | | | | |
| 15-JV-011 | | | | | | | |
| 15-JV-012 | | | | | | | |
| 15-JV-013 | | | | | | | |
| 15-JV-014 | | | | | | | |
| 15-JV-015 | enclaves (cm a decim) | QZ-FD (15-20%) AM- | GF, FO | | | | |
| 15-JV-016 | enclaves (cm a decim) | QZ-FD (10-15%) AM- | GF | | | | |
| 15-JV-017 | | | | | | | |
| 15-JV-018 | | | | | | | |
| 15-MA-001 | | | | | | | |
| 15-MA-002 | | | | | | | |
| 15-MA-003 | | | | | | | |
| 15-MA-004 | | | | | | | |
| 15-MA-005 | | | | | | | |
| 15-MA-006 | | | | | | | |
| 15-MA-007 | | | | | | | |
| 15-MA-008 | | | | | | | |
| 15-MA-009 | | | | | | | |
| 15-MA-010 | | | | | | | |
| 15-MA-011 | | | | | | | |
| 15-MA-012 | | | | | | | |
| 15-MA-013 | | | | | | | |
| 15-MA-014 | | | | | | | |
| 15-MA-015 | | | | | | | |
| 15-MA-016 | | | | | | | |
| 15-MA-017 | | | | | | | |
| 15-MA-018 | | | | | | | |
| 15-MA-019 | | | | | | | |
| 15-MA-020 | | | | | | | |
| 15-MA-021 | | | | | | | |



| # affleurement | Corps géo13 | Minéraux (%)14 | texture/structure15 | # litho16 | ratio %17 | Code MIF18 | Couleur19 |
|----------------|----------------|---------------------|---------------------|-----------|-----------|------------|-----------|
| 15-MA-022 | Lithologie | PG, FP, QZ: 90% BO | GM, GS | | | | |
| 15-MA-023 | | | | | | | |
| 15-MA-024 | | | | | | | |
| 15-MA-025 | | | | | | | |
| 15-MA-026 | | | | | | | |
| 15-MA-027 | | | | | | | |
| 15-MA-028 | | | | | | | |
| 15-MA-029 | | | | | | | |
| 15-MA-030 | | | | | | | |
| 15-MA-031 | | | | | | | |
| 15-MA-032 | | | | | | | |
| 15-MA-033 | | | | | | | |
| 15-MA-034 | | | | | | | |
| 15-MA-035 | | | | | | | |
| 15-MA-036 | | | | | | | |
| 15-MA-037 | | | | | | | |
| 15-MA-038 | | | | | | | |
| 15-MA-039 | | | | | | | |
| 15-MA-040 | (L) Lithologie | FD-QZ-PG 95%, BO 5 | GF, GM, MA | | | | |
| 15-MA-041 | | | | | | | |
| 15-MA-042 | | | | | | | |
| 15-MA-043 | | | | | | | |
| 15-MA-044 | | | | | | | |
| 15-MA-045 | enclave | FP-PG-QZ (10-15%) A | GF,MA | | | | |
| 15-MA-046 | | | | | | | |
| 15-MA-047 | | | | | | | |
| 15-MA-048 | | | | | | | |
| 15-MA-050 | | | | | | | |
| 15-MA-051 | | | | | | | |
| 15-VR-201 | | | | | | | |
| 15-VR-202 | | | | | | | |
| 15-VR-203 | | | | | | | |
| 15-VR-204 | | | | | | | |
| 15-VR-205 | | | | | | | |
| 15-VR-206 | | | | | | | |
| 15-VR-207 | | | | | | | |
| 15-VR-208 | | | | | | | |
| 15-VR-209 | | | | | | | |
| 15-VR-210 | | | | | | | |



| # affleurement | Corps géo13 | Minéraux (%)14 | texture/structure15 | # litho16 | ratio %17 | Code MIF18 | Couleur19 |
|----------------|-------------------|-----------------|---------------------|-----------|-----------|------------|-----------|
| 15-VR-211 | | | | | | | |
| 15-VR-212A | Enclave | 95%(BO, AM), PG | FO, GF | | | | |
| 15-VR-212B | | | | | | | |
| 15-VR-213A | | | | | | | |
| 15-VR-213B | | | | | | | |
| 15-VR-214 | | | | | | | |
| 15-VR-215 | | | | | | | |
| 15-VR-216 | litho (leucosome) | FD-QZ | GF-GM | | | | |
| 15-VR-217 | | | | | | | |
| 15-VR-218 | | | | | | | |
| 15-VR-219 | | | | | | | |
| 15-VR-220 | | | | | | | |
| 15-VR-221 | | | | | | | |
| 15-VR-222 | | | | | | | |
| 15-VR-223 | | | | | | | |
| 15-VR-224 | | | | | | | |
| 15-VR-225 | | | | | | | |
| 15-VR-226 | | | | | | | |
| 15-VR-227 | | | | | | | |
| 15-VR-228 | | | | | | | |
| 15-VR-229 | | | | | | | |
| 15-VR-230 | | | | | | | |
| 15-VR-231 | | | | | | | |
| | | | | | | | |

| # affleurement | Corps géo20 | Minéraux (%)21 | texture/structure22 | Altération #1 | Intensité | Qualificatif | # litho23 |
|----------------|-------------|----------------|---------------------|---------------|------------|--------------|-----------|
| 15-AM-001 | | | | | | | |
| 15-AM-002 | | | | | | | |
| 15-AM-003 | | | | (Si) Silice | 3 - Forte | Pervasive | A |
| 15-AM-004 | (E) Enclave | | FO, GF | | | | |
| 15-AM-005 | | | | | | | |
| 15-AM-006 | | | | | | | |
| 15-AM-007 | | | | | | | |
| 15-AM-008 | | | | | | | |
| 15-AM-009 | | | | | | | |
| 15-AM-010 | | | | | | | |
| 15-AM-011 | | | | | | | |
| 15-AM-012 | | | | | | | |
| 15-AM-013 | | | | | | | |
| 15-AM-014 | | | | | | | |
| 15-AM-015 | | | | | | | |
| 15-AM-016 | | | | | | | |
| 15-AM-017 | | | | | | | |
| 15-AM-018 | | | | | | | |
| 15-AM-019 | | | | | | | |
| 15-AM-020 | | | | | | | |
| 15-AM-021 | | | | | | | |
| 15-AM-022 | | | | | | | |
| 15-AM-023 | | | | | | | |
| 15-AM-024 | | | | | | | |
| 15-AM-025 | | | | (Si) Silice | 2- Moyenne | Pervasive | B |
| 15-AM-026 | | | | | | | |
| 15-AM-027 | | | | | | | |
| 15-AM-028 | | | | | | | |
| 15-JFG-001 | | | | | | | |
| 15-JFG-002 | | | | | | | |
| 15-JFG-003 | | | | | | | |
| 15-JFG-004 | | | | | | | |
| 15-JFG-005 | | | | | | | |
| 15-JFG-006 | | | | | | | |
| 15-JFG-007 | | | | | | | |
| 15-JFG-008 | | | | | | | |
| 15-JFG-009 | | | | | | | |
| 15-JFG-010 | | | | | | | |
| 15-JFG-011 | | | | | | | |
| 15-JFG-012 | | | | | | | |

| # affleurement | Corps géo20 | Minéraux (%)21 | texture/structure22 | Altération #1 | Intensité | Qualificatif | # litho23 |
|----------------|-------------|----------------|---------------------|---------------------|------------|---------------------------------------|-----------|
| 15-JFG-013 | | | | | | | |
| 15-JFG-014 | | | | | | | |
| 15-JFG-015 | | | | | | | |
| 15-JFG-016 | | | | | | | |
| 15-JFG-017 | | | | | | | |
| 15-JFG-018 | | | | | | | |
| 15-JFG-019 | | | | | | | |
| 15-JFG-020 | | | | | | | |
| 15-JFG-021 | | | | | | | |
| 15-JFG-022 | | | | | | | |
| 15-JFG-023 | | | | | | | |
| 15-JFG-024 | | | | (Si) Silicification | Moyenne | Local | B |
| 15-JFG-025 | | | | | | | |
| 15-JFG-026 | | | | | | | |
| 15-JFG-027 | | | | | | | |
| 15-JFG-028 | | | | | | | |
| 15-JFG-029 | | | | | | | |
| 15-JFG-030 | | | | | | | |
| 15-JFG-031 | | | | | | | |
| 15-JFG-032 | | | | | | | |
| 15-JFG-033 | | | | | | | |
| 15-JFG-034 | | | | (Si) Silice | 2- Moyenne | Pervasive | A |
| 15-JFG-035 | | | | (Si) Silice | 2- Moyenne | Pervasive | A |
| 15-JFG-036 | | | | | | | |
| 15-JFG-037 | | | | (MIB) Mica blanc | 2- Moyenne | BO remplacée par des micas gris-verts | A |
| 15-JFG-038 | | | | | | | |
| 15-JFG-039 | | | | | | | |
| 15-JFG-040 | | | | | | | |
| 15-JFG-041 | | | | (Si) Silice | 2- Moyenne | Pervasive | A |
| 15-JFG-042 | | | | (Si) Silice | 1 - Faible | Pervasive, micas gris-verts | B |
| 15-JFG-043 | | | | | | | |
| 15-JFG-044 | | | | | | | |
| 15-JFG-045 | | | | (Si) Silicification | Faible | pervasive | A |
| 15-JFG-046 | | | | | | | |
| 15-JFG-047 | | | | | | | |
| 15-JFG-048 | | | | | | | |
| 15-JFG-049 | | | | | | | |
| 15-JFG-050 | | | | | | | |

| # affleurement | Corps géo20 | Minéraux (%)21 | texture/structure22 | Altération #1 | Intensité | Qualificatif | # litho23 |
|----------------|-------------|----------------|---------------------|--------------------|------------|--------------|-----------|
| 15-JFG-051 | | | | Si | ++' | pervasif | A |
| 15-JFG-052 | | | | | | | |
| 15-JFG-053 | | | | | | | |
| 15-JV-001 | | | | | | | |
| 15-JV-002 | | | | | | | |
| 15-JV-003 | | | | Silicification | + | pervasif | A |
| 15-JV-004 | | | | | | | |
| 15-JV-005 | | | | | | | |
| 15-JV-006 | | | | | | | |
| 15-JV-007 | | | | mineral vert (AM?) | 0.3 | pervasif | B |
| 15-JV-008 | | | | | | | |
| 15-JV-009 | | | | | | | |
| 15-JV-010 | | | | | | | |
| 15-JV-011 | | | | | | | |
| 15-JV-012 | | | | | | | |
| 15-JV-013 | | | | | | | |
| 15-JV-014 | | | | | | | |
| 15-JV-015 | | | | | | | |
| 15-JV-016 | | | | | | | |
| 15-JV-017 | | | | | | | |
| 15-JV-018 | | | | | | | |
| 15-MA-001 | | | | | | | |
| 15-MA-002 | | | | | | | |
| 15-MA-003 | | | | | | | |
| 15-MA-004 | | | | (HM) Hématisation | Moyen-Fort | Veine | A |
| 15-MA-005 | | | | (HM) Hématisation | Moyen-Fort | Veine | A |
| 15-MA-006 | | | | (HM) Hématisation | Moyen-Fort | Veine | A |
| 15-MA-007 | | | | (HM) Hématisation | Moyen-Fort | Veine | A |
| 15-MA-008 | | | | (HM) Hématisation | Moyen-Fort | Veine | A |
| 15-MA-009 | | | | (HM) Hématisation | | Pervasive | A |
| 15-MA-010 | | | | | | | |
| 15-MA-011 | | | | | | | |
| 15-MA-012 | | | | | | | |
| 15-MA-013 | | | | HEM | 0.2 | PER | A |
| 15-MA-014 | | | | HEM | 0.2 | PER | A |
| 15-MA-015 | | | | | | | |
| 15-MA-016 | | | | | | | |
| 15-MA-017 | | | | | | | |
| 15-MA-018 | | | | | | | |
| 15-MA-019 | | | | | | | |
| 15-MA-020 | | | | | | | |
| 15-MA-021 | | | | | | | |

| # affleurement | Corps géo20 | Minéraux (%)21 | texture/structure22 | Altération #1 | Intensité | Qualificatif | # litho23 |
|----------------|-------------|----------------|---------------------|---------------------|------------------|-----------------------------|-----------|
| 15-MA-022 | | | | | | | |
| 15-MA-023 | | | | | | | |
| 15-MA-024 | | | | | | | |
| 15-MA-025 | | | | | | | |
| 15-MA-026 | | | | | | | |
| 15-MA-027 | | | | | | | |
| 15-MA-028 | | | | | | | |
| 15-MA-029 | | | | CHL | ++ | de la biotite ; pervasif GF | A |
| 15-MA-030 | | | | | | | |
| 15-MA-031 | | | | | | | |
| 15-MA-032 | | | | | | | |
| 15-MA-033 | | | | | | | |
| 15-MA-034 | | | | | | | |
| 15-MA-035 | | | | | | | |
| 15-MA-036 | | | | | | | |
| 15-MA-037 | | | | | | | |
| 15-MA-038 | | | | | | | |
| 15-MA-039 | | | | | | | |
| 15-MA-040 | | | | (SI) Silicification | faible à moyenne | pervasive | A |
| 15-MA-041 | | | | (SI) Silicification | Faible | pervasive | A |
| 15-MA-042 | | | | | | | |
| 15-MA-043 | | | | | | | |
| 15-MA-044 | | | | | | | |
| 15-MA-045 | | | | | | | |
| 15-MA-046 | | | | | | | |
| 15-MA-047 | | | | | | | |
| 15-MA-048 | | | | SIL | 1 | PER | A |
| 15-MA-050 | | | | | | | |
| 15-MA-051 | | | | | | | |
| 15-VR-201 | | | | | | | |
| 15-VR-202 | | | | (HM) Hématisation | Faible | dans fracture | A |
| 15-VR-203 | | | | | | | |
| 15-VR-204 | | | | (HM) Hématisation | Faible | dans fracture | A |
| 15-VR-205 | | | | | | | |
| 15-VR-206 | | | | AM | 2-5% | amas | B |
| 15-VR-207 | | | | | | | |
| 15-VR-208 | | | | | | | |
| 15-VR-209 | | | | (HM) Hématisation | Faible | Pervasive | A |
| 15-VR-210 | | | | | | | |

| # affleurement | Corps géo20 | Minéraux (%)21 | texture/structure22 | Altération #1 | Intensité | Qualificatif | # litho23 |
|----------------|-------------|----------------|---------------------|---------------|-----------|----------------|-----------|
| 15-VR-211 | | | | HM | legere | dans leucosome | B |
| 15-VR-212A | | | | | | | |
| 15-VR-212B | | | | | | | |
| 15-VR-213A | | | | | | | |
| 15-VR-213B | | | | | | | |
| 15-VR-214 | | | | HM | 2-5% | dans fracture | A |
| 15-VR-215 | | | | | | | |
| 15-VR-216 | | | | | | | |
| 15-VR-217 | | | | | | | |
| 15-VR-218 | | | | | | | |
| 15-VR-219 | | | | | | | |
| 15-VR-220 | | | | | | | |
| 15-VR-221 | | | | | | | |
| 15-VR-222 | | | | | | | |
| 15-VR-223 | | | | | | | |
| 15-VR-224 | | | | | | | |
| 15-VR-225 | | | | | | | |
| 15-VR-226 | | | | | | | |
| 15-VR-227 | | | | HM | tr | rare; | A |
| 15-VR-228 | | | | | | | |
| 15-VR-229 | | | | | | | |
| 15-VR-230 | | | | | | | |
| 15-VR-231 | | | | | | | |

ation

| # affleurement | Minéral | Ratio (%) | Texture/Structure33 | épaisseur | # Litho34 |
|----------------|--------------------|-----------|---------------------|------------|---------------|
| 15-JFG-051 | PO | 0.05 | DISS, en amas | | A |
| 15-JFG-052 | | | | | |
| 15-JFG-053 | | | | | |
| 15-JV-001 | | | | | |
| 15-JV-002 | | | | | |
| 15-JV-003 | PY | 1 | DI | | A |
| 15-JV-004 | | | | | |
| 15-JV-005 | | | | | |
| 15-JV-006 | | | | | |
| 15-JV-007 | | | | | |
| 15-JV-008 | | | | | |
| 15-JV-009 | | | | | |
| 15-JV-010 | | | | | |
| 15-JV-011 | PY | tr | GF, DI | | B (dans les m |
| 15-JV-012 | PY | tr | GF, DI | | A |
| 15-JV-013 | | | | | |
| 15-JV-014 | | | | | |
| 15-JV-015 | | | | | |
| 15-JV-016 | | | | | |
| 15-JV-017 | | | | | |
| 15-JV-018 | | | | | |
| 15-MA-001 | | | | | |
| 15-MA-002 | | | | | |
| 15-MA-003 | (PY) Pyrite (FeS2) | 0.05 | (DI) Disséminé | | A |
| 15-MA-004 | (HM) Hématisation | Faible | Pervasive | | A |
| 15-MA-005 | (HM) Hématisation | Faible | Pervasive | | A |
| 15-MA-006 | (HM) Hématisation | Faible | Pervasive | | A |
| 15-MA-007 | (HM) Hématisation | Faible | Pervasive | | A |
| 15-MA-008 | (HM) Hématisation | Faible | Pervasive | | A |
| 15-MA-009 | | | | | |
| 15-MA-010 | | | | | |
| 15-MA-011 | | | | | |
| 15-MA-012 | | | | | |
| 15-MA-013 | | | | | |
| 15-MA-014 | | | | | |
| 15-MA-015 | PY | tr | disseminee | | B |
| 15-MA-016 | | | | | |
| 15-MA-017 | | | | | |
| 15-MA-018 | | | | | |
| 15-MA-019 | | | | | |
| 15-MA-020 | PY | Tr | GF | Disséminée | A |
| 15-MA-021 | PY | Tr | GF | Disséminée | A |

ation

| # affleurement | Minéral | Ratio (%) | Texture/Structure33 | épaisseur | # Litho34 |
|----------------|--------------------|-----------|---|-----------|-----------|
| 15-MA-022 | | | | | |
| 15-MA-023 | PY | 1 | Disseminee, GF | | A |
| 15-MA-024 | MO | tr | amas | | A |
| 15-MA-025 | PY | Tr | GF | DI | A |
| 15-MA-026 | | | | | |
| 15-MA-027 | | | | | |
| 15-MA-028 | | | | | |
| 15-MA-029 | | | | | |
| 15-MA-030 | PY | tr-1% | GF, DI | | A |
| 15-MA-031 | | | | | |
| 15-MA-032 | | | | | |
| 15-MA-033 | | | | | |
| 15-MA-034 | | | | | |
| 15-MA-035 | | | | | |
| 15-MA-036 | | | | | |
| 15-MA-037 | | | | | |
| 15-MA-038 | | | | | |
| 15-MA-039 | | | | | |
| 15-MA-040 | (GP) Graphite | 0.01 | amas | | A |
| 15-MA-041 | (PY) Pyrite | 0.02 | amas | | A |
| 15-MA-042 | | | | | |
| 15-MA-043 | PO | 10 | amas, GF | | B |
| 15-MA-044 | | | | | |
| 15-MA-045 | | | | | |
| 15-MA-046 | | | | | |
| 15-MA-047 | PY | Tr | GF | DI | A |
| 15-MA-048 | PO | 8% | GF | DI | A |
| 15-MA-050 | PY | tr-0.5 % | GF,DI | | A |
| 15-MA-051 | | | | | |
| 15-VR-201 | | | | | |
| 15-VR-202 | (PY) Pyrite (FeS2) | Tr-5% | iné dans litho B, associé au leucosome dans litho A | | A et B |
| 15-VR-203 | | | | | |
| 15-VR-204 | (MG) Magnétite | 0.01 | en amas dans litho A | | A |
| 15-VR-205 | | | | | |
| 15-VR-206 | PY | 5 | GF a GM, disseminee | | B |
| 15-VR-207 | | | | | |
| 15-VR-208 | | | | | |
| 15-VR-209 | (PY) Pyrite (FeS2) | 2-5% | en amas | | A |
| 15-VR-210 | | | | | |

| # affleurement | épaisseur43 | # Litho44 | Minéral45 | Ratio (%)46 | Texture/Structure47 | épaisseur48 | # Litho49 | Type | Direction | Pend/Plong. | Qualité de mesure |
|----------------|-------------|-----------|-----------|-------------|---------------------|-------------|-----------|----------|-----------|-------------|-------------------|
| 15-AM-001 | | A | | | | | | Dyke | 330 | | Bonne |
| 15-AM-002 | | | | | | | | | | | |
| 15-AM-003 | | B | | | | | | | | | |
| 15-AM-004 | | | | | | | | FO | 290 | 65 | Moyenne |
| 15-AM-005 | | | | | | | | | | | |
| 15-AM-006 | | | | | | | | | | | |
| 15-AM-007 | | | | | | | | | | | |
| 15-AM-008 | | | | | | | | | | | |
| 15-AM-009 | | | | | | | | | | | |
| 15-AM-010 | | | | | | | | V | 0 | 90 | Moyenne |
| 15-AM-011 | | | | | | | | | | | |
| 15-AM-012 | | | | | | | | | | | |
| 15-AM-013 | | | | | | | | | | | |
| 15-AM-014 | | | | | | | | | | | |
| 15-AM-015 | | | | | | | | | | | |
| 15-AM-016 | | | | | | | | SC | 200 | 80 | Moyenne |
| 15-AM-017 | | A | | | | | | | | | |
| 15-AM-018 | | | | | | | | | | | |
| 15-AM-019 | | | | | | | | Fracture | 75 | 90 | Bonne |
| 15-AM-020 | | | | | | | | | | | |
| 15-AM-021 | | | | | | | | | | | |
| 15-AM-022 | | | | | | | | | | | |
| 15-AM-023 | | | | | | | | | | | |
| 15-AM-024 | | | | | | | | | | | |
| 15-AM-025 | | | | | | | | | | | |
| 15-AM-026 | | | | | | | | | | | |
| 15-AM-027 | | | | | | | | | | | |
| 15-AM-028 | | | | | | | | | | | |
| 15-JFG-001 | | | | | | | | | | | |
| 15-JFG-002 | | | | | | | | GN | 260 | 10 | Bonne |
| 15-JFG-003 | | | | | | | | | | | |
| 15-JFG-004 | | | | | | | | FA | 169 | 85 | Bonne |
| 15-JFG-005 | | | | | | | | | | | |
| 15-JFG-006 | | | | | | | | RU | 282 | 83 | Moyenne |
| 15-JFG-007 | | | | | | | | | | | |
| 15-JFG-008 | | | | | | | | | | | |
| 15-JFG-009 | | | | | | | | | | | |
| 15-JFG-010 | | | | | | | | | | | |
| 15-JFG-011 | | | | | | | | | | | |
| 15-JFG-012 | | | | | | | | FA | 226 | 80 | Bonne |

Structure

| # affleurement | # Litho50 | Type51 | Direction52 | Pend/Plong.53 | Qualité de mesure54 | # Litho55 | Type56 | Direction57 | Pend/Plong.58 | Qualité de mesure59 | # Litho60 | Numéro | Type66 | Estant67 |
|----------------|-----------|--------|-------------|---------------|---------------------|-----------|--------|-------------|---------------|---------------------|-----------|----------|-----------|----------|
| 15-JFG-013 | A | | | | | | | | | | | E6705167 | Fragments | 418486 |
| 15-JFG-014 | | | | | | | | | | | | E6705168 | Fragments | 419442 |
| 15-JFG-015 | | | | | | | | | | | | E6705171 | Choisi | ID |
| 15-JFG-016 | A | | | | | | | | | | | | | |
| 15-JFG-017 | | | | | | | | | | | | E6705172 | Choisi | ID |
| 15-JFG-018 | A | | | | | | | | | | | E6705173 | Choisi | ID |
| 15-JFG-019 | A | | | | | | | | | | | | | |
| 15-JFG-020 | A | | | | | | | | | | | E6705178 | Choisi | 422260 |
| 15-JFG-021 | A | | | | | | | | | | | E6705207 | Choisi | id |
| 15-JFG-022 | | | | | | | | | | | | E6705209 | Choisi | id |
| 15-JFG-023 | | | | | | | | | | | | | | |
| 15-JFG-024 | B | SC | 145 | 8 | Moyenne | B | | | | | | E6705210 | Choisi | id |
| 15-JFG-025 | | | | | | | | | | | | | | |
| 15-JFG-026 | | | | | | | | | | | | E6705116 | Choisi | ID |
| 15-JFG-027 | | | | | | | | | | | | E6705182 | Choisi | ID |
| 15-JFG-028 | | | | | | | | | | | | | | |
| 15-JFG-029 | A | | | | | | | | | | | E6705186 | Choisi | ID |
| 15-JFG-030 | | | | | | | | | | | | E6705187 | Choisi | ID |
| 15-JFG-031 | | | | | | | | | | | | | | |
| 15-JFG-032 | | | | | | | | | | | | | | |
| 15-JFG-033 | A | | | | | | | | | | | | | |
| 15-JFG-034 | A | | | | | | | | | | | E6705189 | Choisi | 423566 |
| 15-JFG-035 | A | | | | | | | | | | | E6705190 | Choisi | 423536 |
| 15-JFG-036 | | | | | | | | | | | | | | |
| 15-JFG-037 | A | | | | | | | | | | | E6705191 | Fragments | 423538 |
| 15-JFG-038 | A | | | | | | | | | | | | | |
| 15-JFG-039 | | | | | | | | | | | | | | |
| 15-JFG-040 | | | | | | | | | | | | | | |
| 15-JFG-041 | | | | | | | | | | | | E6705192 | Choisi | 423498 |
| 15-JFG-042 | | | | | | | | | | | | E6705193 | Choisi | 423503 |
| 15-JFG-043 | A | | | | | | | | | | | E6705194 | Choisi | 423500 |
| 15-JFG-044 | A | | | | | | | | | | | E6705197 | Choisi | 423452 |
| 15-JFG-045 | A | | | | | | | | | | | E6705221 | Choisi | id |
| 15-JFG-046 | | | | | | | | | | | | | | |
| 15-JFG-047 | | | | | | | | | | | | E6705224 | Choisi | id |
| 15-JFG-048 | | | | | | | | | | | | | | |
| 15-JFG-049 | | | | | | | | | | | | | | |
| 15-JFG-050 | | | | | | | | | | | | E6705555 | Choisi | id |

Structure

| # affleurement | # Litho50 | Type51 | Direction52 | Pend/Plong.53 | Qualité de mesure54 | # Litho55 | Type56 | Direction57 | Pend/Plong.58 | Qualité de mesure59 | # Litho60 | Numéro | Type66 | Estant67 |
|----------------|-----------|--------|-------------|---------------|---------------------|-----------|--------|-------------|---------------|---------------------|-----------|----------|--------|----------|
| 15-JFG-051 | | | | | | | | | | | | E6705556 | Choisi | id |
| 15-JFG-052 | | | | | | | | | | | | | | |
| 15-JFG-053 | | | | | | | | | | | | E6705557 | Choisi | id |
| 15-JV-001 | | | | | | | | | | | | E6705151 | choisi | id |
| 15-JV-002 | | | | | | | | | | | | | | |
| 15-JV-003 | | | | | | | | | | | | E6705152 | choisi | id |
| 15-JV-004 | | | | | | | | | | | | | | |
| 15-JV-005 | | | | | | | | | | | | | | |
| 15-JV-006 | | | | | | | | | | | | | | |
| 15-JV-007 | | | | | | | | | | | | E6705175 | Choisi | id |
| 15-JV-008 | | | | | | | | | | | | E6705177 | Choisi | id |
| 15-JV-009 | A | | | | | | | | | | | | | |
| 15-JV-010 | | | | | | | | | | | | | | |
| 15-JV-011 | | | | | | | | | | | | E6705183 | Choisi | id |
| 15-JV-012 | | | | | | | | | | | | E6705184 | Choisi | id |
| 15-JV-013 | | | | | | | | | | | | E6705218 | Choisi | id |
| 15-JV-014 | | | | | | | | | | | | | | |
| 15-JV-015 | | | | | | | | | | | | | | |
| 15-JV-016 | | | | | | | | | | | | E6705220 | Choisi | id |
| 15-JV-017 | | | | | | | | | | | | | | |
| 15-JV-018 | | | | | | | | | | | | | | |
| 15-MA-001 | | | | | | | | | | | | E6705102 | Choisi | |
| 15-MA-002 | A | | | | | | | | | | | E6705101 | Choisi | |
| 15-MA-003 | | | | | | | | | | | | E6705103 | Choisi | |
| 15-MA-004 | | | | | | | | | | | | E6705501 | Choisi | id |
| 15-MA-005 | | | | | | | | | | | | | | |
| 15-MA-006 | | | | | | | | | | | | | | |
| 15-MA-007 | | | | | | | | | | | | E6705502 | Choisi | id |
| 15-MA-008 | | | | | | | | | | | | | | |
| 15-MA-009 | | | | | | | | | | | | E6705503 | Choisi | id |
| 15-MA-010 | | | | | | | | | | | | | | |
| 15-MA-011 | | | | | | | | | | | | | | |
| 15-MA-012 | | | | | | | | | | | | | | |
| 15-MA-013 | | | | | | | | | | | | E6705504 | Choisi | id |
| 15-MA-014 | | | | | | | | | | | | | | |
| 15-MA-015 | A | | | | | | | | | | | E6705506 | Choisi | id |
| 15-MA-016 | | | | | | | | | | | | E6705508 | Choisi | id |
| 15-MA-017 | | | | | | | | | | | | E6705510 | Choisi | id |
| 15-MA-018 | | | | | | | | | | | | E6705512 | choisi | 420464 |
| 15-MA-019 | | | | | | | | | | | | E6705513 | choisi | 420280 |
| 15-MA-020 | | | | | | | | | | | | E6705514 | choisi | 420208 |
| 15-MA-021 | | | | | | | | | | | | E6705516 | choisi | 420274 |

Commentaires généraux

| # affleurement | Commentaires général |
|----------------|---|
| 15-AM-001 | PY disséminé dans la PG en bordure de la I2J. La dimension des grains de biotite augmente jusqu'à 1 cm plus on se rapproche de la I2J . La minéralisation dans la I2Jsemble être plus abondante au contact de la PG. Shéma de l'affleurement dans le cahier de GÉOFICHE |
| 15-AM-002 | Les AM présentent dans la PG sont aux bordures des enclaves. Contact net, minéraux interdigité |
| 15-AM-003 | |
| 15-AM-004 | Zone de M20 dans le I1B. Le mélanosome et le leucosome forme une lamination orienté. La direction des enclaves et la GS sont orientées vers l'ouest |
| 15-AM-005 | structure vers l'ouest à pendage sub horizontal. M6 avec mélanosome ressemblant à des Enclaves (Effet topo) composé de QZ, BO avec 30-40 % BO. Tandis que le leucosome inférieur à 1 % |
| 15-AM-006 | |
| 15-AM-007 | |
| 15-AM-008 | |
| 15-AM-009 | Quelques biotites en amas éparse. |
| 15-AM-010 | |
| 15-AM-011 | |
| 15-AM-012 | |
| 15-AM-013 | |
| 15-AM-014 | |
| 15-AM-015 | Enclave de M16 ou fusion ? |
| 15-AM-016 | surface 100 conducteur, sur AFF 2 pied de prprofond 50 000 conducteur. Sur la ligne 8875N L 64 E |
| 15-AM-017 | Trouver conjointement avec l'aide de MA, L67E 94+75, 15 000 LFR |
| 15-AM-018 | |
| 15-AM-019 | |
| 15-AM-020 | |
| 15-AM-021 | |
| 15-AM-022 | M16 très intrudé par des dyke granitique et pegmatitique |
| 15-AM-023 | |
| 15-AM-024 | |
| 15-AM-025 | Granite extrêmement altéré ne reste que le qz et plg, granite de texture M21A (recristalisé) |
| 15-AM-026 | |
| 15-AM-027 | |
| 15-AM-028 | |
| 15-JFG-001 | Dans un chablis, fesse de granite, le trou se remplit d'eau, impossible d'échantillonner, près d'une anomalie de chargeabilité |
| 15-JFG-002 | Petit bloc de 10cm trouvé sur l'affleurement, 80% MG, 20% QZ |
| 15-JFG-003 | |
| 15-JFG-004 | Rouille localement |
| 15-JFG-005 | Plissotté, 20% mobilisat |
| 15-JFG-006 | Enclaves partiellement digérées dans le mobilisat |
| 15-JFG-007 | Les enclaves de M16 ont les bordures en relief négatif p/r au granite |
| 15-JFG-008 | |
| 15-JFG-009 | |
| 15-JFG-010 | |
| 15-JFG-011 | |
| 15-JFG-012 | |

Commentaires généraux

| # affleurement | Commentaires général |
|----------------|---|
| 15-JFG-013 | Rouille dans les mobilisats, plusieurs gros blocs sub-en-place |
| 15-JFG-014 | Forte rouille de certaines enclaves très foncées et aux contacts nets. Autres enclaves noires, A déjà été échantillonné en 2014 (#281853) |
| 15-JFG-015 | |
| 15-JFG-016 | |
| 15-JFG-017 | |
| 15-JFG-018 | |
| 15-JFG-019 | |
| 15-JFG-020 | |
| 15-JFG-021 | leucosome de la pegmatite avec enclave de M4, très rubanné |
| 15-JFG-022 | sous 5 cm de mousse |
| 15-JFG-023 | idem à 15-jfg-023 |
| 15-JFG-024 | 2 spots ponctuel active le beep mat BM8 L1 de 80 et 300 HFR |
| 15-JFG-025 | près d'horizon PO Massif, cristaux pluri-cm, localement avec petites enclaves riche en BO |
| 15-JFG-026 | RU subhorizontal très plissé |
| 15-JFG-027 | |
| 15-JFG-028 | |
| 15-JFG-029 | |
| 15-JFG-030 | Zone rouillée 1X1 et limité par le bord du trou, Si ++, quelques aiguilles d'un minéral blanc, 2-10% PY grossière en amas et fine disséminée, la biotite devient grise près de la zone minéralisée, 1000 HFR au beep mat |
| 15-JFG-031 | |
| 15-JFG-032 | |
| 15-JFG-033 | |
| 15-JFG-034 | Dans une zone affleurante de 140x50m |
| 15-JFG-035 | Dans une zone affleurante de 140x50m |
| 15-JFG-036 | Partie nord de la zone affleurante près de l'anomalie Max-Min, incluant les descriptions 15-JFG-34,35 et 37. Succession de petits affleurements d'une dizaine de mètres espacés de 15 m en moyenne. Les affleurements sont surtout composés de matériel granitique, possiblement des leucosomes. Les creux entre les affleurements sont composés de M4 et réagissent souvent au Beep Mat. Les 2 trous creusés ont révélé des sulfures (PY, PO). La falaise montre que le pendage de la structure principale est généralement subhorizontal et que la zone minéralisée est de faible épaisseur. 20% leucosomes dans le M4. |
| 15-JFG-037 | |
| 15-JFG-038 | Falaise de 10m montrant en coupe tout le plissement du paragneiss avec le granite. Près du ruisseau. |
| 15-JFG-039 | |
| 15-JFG-040 | Plissé, 20% leucosomes |
| 15-JFG-041 | |
| 15-JFG-042 | 3 petits affleurements de 3x5m dans une superficie de 25x10m |
| 15-JFG-043 | |
| 15-JFG-044 | |
| 15-JFG-045 | 10% mélano minéralisé en PO disséminé, 20% BO, un niveau mm de CP observé, affleurement 14-GC-513 |
| 15-JFG-046 | 5% enclaves ou mélanosome, riche en BO |
| 15-JFG-047 | Bloc sub-arrondi fortement magnétique, trouvé avec BM |
| 15-JFG-048 | |
| 15-JFG-049 | |
| 15-JFG-050 | Rouille localement. Contacts flous, tres plissé. Le contact d'une enclave (faiblement rouillée) donne 400 HFR. |

Commentaires généraux

| # affleurement | Commentaires général |
|----------------|--|
| 15-JFG-051 | Beepmat 25000 HFR |
| 15-JFG-052 | |
| 15-JFG-053 | |
| 15-JV-001 | BL 200+100, ligne 77+35 |
| 15-JV-002 | |
| 15-JV-003 | |
| 15-JV-004 | Haut Mag pas explique |
| 15-JV-005 | |
| 15-JV-006 | Roche heterogene : Gneiss coupé et recoupé par mobilisat |
| 15-JV-007 | |
| 15-JV-008 | |
| 15-JV-009 | |
| 15-JV-010 | |
| 15-JV-011 | enclaves (environ 20x 40cm) de M4 (alternance cm des melanosomes et leucosomes), |
| 15-JV-012 | |
| 15-JV-013 | |
| 15-JV-014 | |
| 15-JV-015 | |
| 15-JV-016 | |
| 15-JV-017 | |
| 15-JV-018 | |
| 15-MA-001 | |
| 15-MA-002 | |
| 15-MA-003 | Petit Bloc de bord de route minéralisé |
| 15-MA-004 | Certaines zones sont à GF et plus riches en BO. |
| 15-MA-005 | Certaines zones sont à GF et plus riches en BO, idem à 15-MA-004 |
| 15-MA-006 | Idem 15-MA-005 |
| 15-MA-007 | Quelques enclaves décimétrique de M4 dans le l1B |
| 15-MA-008 | Idem 15-MA-006 |
| 15-MA-009 | le granite a une granulométrie qui varie de fin à grossier par endroits. Enclaves de M4 dm à m allongés et arrondis. Non-minéralisés |
| 15-MA-010 | Il n'y a très peu ou pas d'altération HEM |
| 15-MA-011 | Idem 15-MA-010 |
| 15-MA-012 | Idem 15-MA-010 |
| 15-MA-013 | |
| 15-MA-014 | Idem à 15-MA-013 mais SANS enclaves de M4 observes |
| 15-MA-015 | Les fractures sonnaient magnétique entre 1000 et 4000 au BeepMat |
| 15-MA-016 | Non-mag, Blocs dm a m aux alentours qui semblent etre du gneiss |
| 15-MA-017 | |
| 15-MA-018 | |
| 15-MA-019 | Granite hétérogène au niveau du % des BO. Présence d'une enclave "dm" de M4. |
| 15-MA-020 | Le contact entre le l1B et le M1 est graduel et sous la mousse. La fracture est un peu rouillée. |
| 15-MA-021 | |

Commentaires généraux

| # affleurement | Commentaires général |
|----------------|---|
| 15-MA-022 | |
| 15-MA-023 | |
| 15-MA-024 | Les contours des enclaves de M4 semblent avoir été fondu. |
| 15-MA-025 | |
| 15-MA-026 | |
| 15-MA-027 | Le granite est très rose....dù soit à l'hématisation des FP ou bien aux FK. Il y a quelques veinules de QZ "mm" qui recoupent le granite. |
| 15-MA-028 | Affleurement déjà échantillonné, mais # échantillon effacer |
| 15-MA-029 | |
| 15-MA-030 | Présence d'une VN de QZ d'environ 20 cm de large x 2m de long. La veine est discontinue (difficile à suivre) mais semble avoir une orientation N60 ou N240 (pendage non visible) |
| 15-MA-031 | |
| 15-MA-032 | |
| 15-MA-033 | |
| 15-MA-034 | |
| 15-MA-035 | M20 de sédimentaire (M4) |
| 15-MA-036 | Affleurement de bloc gigantesque semi en place |
| 15-MA-037 | |
| 15-MA-038 | |
| 15-MA-039 | |
| 15-MA-040 | Voir Photo, BM8 10000 |
| 15-MA-041 | Trouvé avec BM8 (160) |
| 15-MA-042 | Legere FO difficile à mesurer sur l'affleurement |
| 15-MA-043 | La minéralisation semble suivre une orientation N040-050 |
| 15-MA-044 | |
| 15-MA-045 | Les enclaves de M16 sont étirées dans la foliation du M4. Le M4 est folié et plissé. Les structures sont donc très difficiles à mesurer. |
| 15-MA-046 | Présence d'une veine de QZ de 5 à 10cm de largeur orientée N265/70 (Qualité bonne) dans la pegmatite. |
| 15-MA-047 | |
| 15-MA-048 | Minéralisation présente sur 10 cm d'épaisseur, la zone qui sonne au beepmat est orientée N-S, la zone la plus minéralisée a sonnée à 3500, la SIL+ est présente là où il y a la minéralisation. |
| 15-MA-050 | BeepMat sonnait 10 en surface et 400 au fond du trou. Aucune structures visibles en patine altère. |
| 15-MA-051 | La VN QZ est visible sur 1m de long et 20 cm large |
| 15-VR-201 | Litho A très légèrement magnétique, litho B avec leucosome plissé sub-horizontale et cisailés, grains de BO orienté selon la gneissité |
| 15-VR-202 | Granite sain sur les bordures de l'affleurement, 70 leuco 30 melano, BO surtout dans les contact et bordure de l'enclave, PY associé aux leucosome (GM, GF), enclave 30 cm x 60 cm, plis en Z |
| 15-VR-203 | |
| 15-VR-204 | MG en amas, localement magnétique |
| 15-VR-205 | Semblable à 203 litho A, fait rapidement |
| 15-VR-206 | |
| 15-VR-207 | Certaines zones riche en BO en amas |
| 15-VR-208 | |
| 15-VR-209 | litho A : Quelques amas cm d'AM et BO avec sulfure, possible restite de B, Structure semble sub-horizontale, avec 2 témoins |
| 15-VR-210 | |

Commentaires généraux

| # affleurement | Commentaires général |
|----------------|--|
| 15-VR-211 | |
| 15-VR-212A | Enclaves décimétriques à métriques allongées orientées est-ouest avec faible pendage vers le sud |
| 15-VR-212B | Zones enrichies en BO |
| 15-VR-213A | |
| 15-VR-213B | BO en bandes 'melanosome', avec bandes sans mx mafiques (leucosomes) |
| 15-VR-214 | |
| 15-VR-215 | |
| 15-VR-216 | |
| 15-VR-217 | petites bandes de GN (voir photo) |
| 15-VR-218 | petites bandes de GN (voir photo) |
| 15-VR-219 | |
| 15-VR-220 | Trouvé avec BM8 L1 sous 1m de terre, QZ bleuté sous forme de veinules plissés qui font voir un pli |
| 15-VR-221 | |
| 15-VR-222 | |
| 15-VR-223 | Rares horizons pegmatitiques. Rares bandes enrichies en BO |
| 15-VR-224 | Amphibolite recoupé par veines de l1B. BO dans granite (litho B) parfois avec rouille en surface |
| 15-VR-225 | |
| 15-VR-226 | |
| 15-VR-227 | M4 plissé. Alternance cm des melanosomes et leucosomes |
| 15-VR-228 | |
| 15-VR-229 | |
| 15-VR-230 | Les plus gros grains de Pyrite sont dans les leucosomes |
| 15-VR-231 | |

ANNEXE 4 ÉCHANTILLONS

| Échantillon | Estant UTM NAD83 U18 (m) | Nordant UTM NAD83 U18 (m) | Poids (kg) | Au (ppm) | Pd (ppm) | Pt (ppm) |
|-------------|-----------------------------|------------------------------|---------------|-------------|-------------|-------------|
| E6705101 | 421046 | 5599256 | 1.15 | 0.002 | | |
| E6705102 | 421191 | 5599892 | 1.5 | 0.005 | | |
| E6705103 | 420519 | 5600130 | 1.09 | 0.005 | | |
| E6705104 | 420671 | 5598622 | 0.94 | 0.002 | | |
| E6705105 | 420671 | 5598622 | 1.76 | 0.001 | | |
| E6705106 | 424627 | 5600364 | 1.89 | <0.001 | | |
| E6705107 | 424880 | 5600652 | 0.91 | 0.002 | | |
| E6705108 | 426270 | 5601337 | 1.06 | 0.002 | | |
| E6705110 | 426364 | 5601439 | 1.51 | 0.001 | | |
| E6705111 | 426364 | 5601439 | 1.96 | 0.001 | | |
| E6705113 | 426332 | 5601497 | 1.68 | 0.002 | | |
| E6705114 | 425317 | 5601780 | 0.87 | 0.004 | | |
| E6705116 | 425243 | 5602066 | 1.08 | 0.004 | | |
| E6705117 | 435248 | 5602076 | 2.11 | 0.003 | | |
| E6705118 | 425238 | 5602076 | 2.03 | 0.002 | | |
| E6705119 | 425241 | 5602079 | 1.04 | <0.001 | | |
| E6705120 | 426064 | 5602005 | 1.84 | 0.002 | | |
| E6705121 | 425950 | 5601997 | 2.22 | 0.002 | | |
| E6705122 | 418057 | 5599266 | 1.25 | 0.003 | | |
| E6705123 | 417628 | 5599100 | 0.88 | 0.002 | | |
| E6705124 | 418399 | 5599465 | 1.23 | 0.003 | 0.013 | 0.011 |
| E6705125 | 427587 | 5601332 | 1.36 | 0.001 | | |
| E6705126 | 427243 | 5601496 | 1.6 | 0.003 | | |
| E6705127 | 427243 | 5601496 | 1.96 | 0.002 | | |
| E6705151 | 420015 | 5597743 | 0.7 | 0.002 | | |
| E6705152 | 419856 | 5597337 | 1.14 | 0.002 | | |
| E6705153 | 420598 | 5599168 | 1.85 | <0.001 | | |
| E6705154 | 420051 | 5599102 | 1.37 | <0.001 | | |
| E6705156 | 426940 | 5600571 | 1.15 | <0.001 | | |
| E6705157 | 427086 | 5600670 | 1.4 | <0.001 | | |
| E6705158 | 426989 | 5600787 | 1.1 | 0.001 | | |
| E6705159 | 426939 | 5600800 | 0.91 | <0.001 | | |
| E6705160 | 420619 | 5598997 | 1.07 | 0.001 | | |
| E6705162 | 420612 | 5599003 | 1.58 | 0.001 | | |
| E6705163 | 420593 | 5599011 | 1.29 | 0.001 | | |
| E6705164 | 420487 | 5598870 | 1.36 | 0.001 | | |
| E6705165 | 420508 | 5598766 | 0.91 | <0.001 | | |
| E6705166 | 420509 | 5598762 | 1.02 | 0.001 | | |
| E6705167 | 418486 | 5599228 | 1.76 | 0.002 | | |
| E6705168 | 419442 | 5599073 | 1.28 | 0.001 | | |
| E6705169 | 419442 | 5599074 | 1.6 | 0.001 | | |
| E6705170 | 419440 | 5599075 | 1.96 | 0.001 | | |
| E6705171 | 423008 | 5598476 | 1.45 | 0.001 | 0.016 | 0.009 |
| E6705172 | 423609 | 5599541 | 2.02 | <0.001 | | |

| Échantillon | Estant UTM NAD83 U18 (m) | Nordant UTM NAD83 U18 (m) | Poids (kg) | Au (ppm) | Pd (ppm) | Pt (ppm) |
|-------------|-----------------------------|------------------------------|---------------|-------------|-------------|-------------|
| E6705173 | 426584 | 5545790 | 1.24 | <0.001 | | |
| E6705174 | 426582 | 5595792 | 2.26 | 0.002 | | |
| E6705175 | 423069 | 5597656 | 0.7 | 0.001 | | |
| E6705177 | 422056 | 5597308 | 1.38 | 0.005 | | |
| E6705178 | 422260 | 5596994 | 0.85 | 0.003 | | |
| E6705179 | 420416 | 5596041 | 0.77 | 0.001 | | |
| E6705180 | 420177 | 5595600 | 1.61 | 0.001 | | |
| E6705181 | 420086 | 5595593 | 1.15 | 0.002 | | |
| E6705182 | 425237 | 5594683 | 1.9 | 0.002 | | |
| E6705183 | 425387 | 5602128 | 1.2 | 0.027 | | |
| E6705184 | 425773 | 5602052 | 1.16 | 0.048 | | |
| E6705185 | 425773 | 5602052 | 1.39 | 0.128 | | |
| E6705186 | 423617 | 5602373 | 1.7 | <0.001 | | |
| E6705187 | 423562 | 5602382 | 1.21 | 0.464 | | |
| E6705189 | 423566 | 5602463 | 1.77 | 0.223 | | |
| E6705190 | 423536 | 5602472 | 1.77 | 0.343 | | |
| E6705191 | 423538 | 5602454 | 0.65 | 0.004 | | |
| E6705192 | 423498 | 5602457 | 0.63 | 0.015 | | |
| E6705193 | 423503 | 5602436 | 1.18 | 0.002 | | |
| E6705194 | 423500 | 5602330 | 1.35 | 0.002 | | |
| E6705195 | 423498 | 5602332 | 1.05 | <0.001 | | |
| E6705196 | 423498 | 5602335 | 1.64 | 0.004 | | |
| E6705197 | 423452 | 5602377 | 1.35 | 0.003 | | |
| E6705198 | 423474 | 5602350 | 1.82 | 0.002 | | |
| E6705199 | 423468 | 5602345 | 2.52 | 0.002 | | |
| E6705200 | 417962 | 5599308 | 0.77 | <0.001 | | |
| E6705201 | 420695 | 5599009 | 0.69 | 0.001 | | |
| E6705202 | 420780 | 5598897 | 0.92 | 0.003 | | |
| E6705203 | 420876 | 5598793 | 1.89 | 0.001 | | |
| E6705204 | 420876 | 5598793 | 1.77 | 0.007 | | |
| E6705205 | 420808 | 5598699 | 0.89 | <0.001 | | |
| E6705206 | 419887 | 5598406 | 0.65 | 0.001 | | |
| E6705207 | 425055 | 5601658 | 1.85 | 0.001 | | |
| E6705209 | 425042 | 5601955 | 0.91 | 0.001 | | |
| E6705210 | 425179 | 5601936 | 1.29 | <0.001 | | |
| E6705211 | 425183 | 5601939 | 1.58 | 0.002 | | |
| E6705213 | 425275 | 5602014 | 1.29 | 0.004 | | |
| E6705214 | 425915 | 5601525 | 1.48 | 0.002 | | |
| E6705215 | 426002 | 5601626 | 1.25 | 0.002 | | |
| E6705216 | 426250 | 5601906 | 0.9 | 0.002 | | |
| E6705217 | 426104 | 5601811 | 1.65 | 0.012 | | |
| E6705218 | 423381 | 5602240 | 1.03 | 0.001 | | |
| E6705219 | 423405 | 5602297 | 1.84 | 0.004 | | |
| E6705220 | 423400 | 5602494 | 0.97 | 0.002 | | |

| Échantillon | Estant UTM NAD83 U18 (m) | Nordant UTM NAD83 U18 (m) | Poids (kg) | Au (ppm) | Pd (ppm) | Pt (ppm) |
|-------------|-----------------------------|------------------------------|---------------|-------------|-------------|-------------|
| E6705221 | 417492 | 5598843 | 1.59 | 0.002 | | |
| E6705223 | 417493 | 5598855 | 1.99 | <0.001 | | |
| E6705224 | 417213 | 5598566 | 0.91 | 0.002 | <0.001 | <0.005 |
| E6705501 | 420910 | 5599400 | 1.73 | 0.002 | | |
| E6705502 | 421185 | 5599402 | 1.29 | <0.001 | | |
| E6705503 | 421198 | 5599241 | 1.17 | 0.001 | | |
| E6705504 | 427529 | 5602908 | 1.05 | <0.001 | | |
| E6705505 | 427529 | 5602908 | 0.78 | 0.006 | | |
| E6705506 | 427729 | 5602765 | 1.09 | <0.001 | | |
| E6705507 | 427729 | 5602765 | 0.77 | 0.002 | | |
| E6705508 | 427654 | 5602613 | 0.91 | <0.001 | | |
| E6705509 | 427654 | 5602613 | 0.98 | <0.001 | | |
| E6705510 | 427230 | 5602283 | 0.8 | 0.003 | | |
| E6705512 | 420464 | 5598704 | 0.85 | 0.002 | | |
| E6705513 | 420280 | 5598606 | 0.8 | <0.001 | | |
| E6705514 | 420208 | 5598484 | 1 | <0.001 | | |
| E6705516 | 420274 | 5598504 | 0.65 | <0.001 | | |
| E6705517 | 420338 | 5598504 | 0.92 | 0.001 | | |
| E6705518 | 420338 | 5598484 | 1.33 | 0.001 | | |
| E6705519 | 418743 | 5598709 | 1.16 | 0.001 | | |
| E6705520 | 419244 | 5598809 | 1.18 | <0.001 | | |
| E6705521 | 419244 | 5598811 | 1.04 | <0.001 | | |
| E6705522 | 425947 | 5601360 | 1.18 | 0.002 | | |
| E6705523 | 426173 | 5601520 | 1.37 | <0.001 | | |
| E6705524 | 426239 | 5601567 | 1.24 | <0.001 | | |
| E6705525 | 426239 | 5601567 | 1.2 | <0.001 | | |
| E6705526 | 426239 | 5601567 | 0.76 | 0.001 | | |
| E6705527 | 426439 | 5601739 | 1.13 | 0.003 | | |
| E6705528 | 425344 | 5601548 | 0.87 | <0.001 | | |
| E6705529 | 425848 | 5602028 | 1.02 | 0.001 | | |
| E6705530 | 425849 | 5602028 | 1.5 | <0.001 | | |
| E6705532 | 425858 | 5602024 | 1.93 | 0.003 | | |
| E6705533 | 425831 | 5602019 | 1.87 | <0.001 | | |
| E6705534 | 425388 | 5601705 | 2.28 | 0.003 | | |
| E6705535 | 423334 | 5602234 | 1.36 | 0.002 | | |
| E6705536 | 423302 | 5602308 | 1.19 | 0.002 | | |
| E6705537 | 417924 | 5599201 | 1.04 | 0.001 | | |
| E6705538 | 417501 | 5598887 | 1 | <0.001 | | |
| E6705542 | 419897 | 5598902 | 1.09 | 0.003 | | |
| E6705543 | 419149 | 5598886 | 1.35 | 0.002 | | |
| E6705551 | 425217 | 5599068 | 1.72 | 0.002 | | |
| E6705552 | 425131 | 5598977 | 0.78 | 0.002 | | |
| E6705553 | 424667 | 5598650 | 1.25 | <0.001 | | |
| E6705555 | 418386 | 5599288 | 0.6 | 0.001 | | |

| Échantillon | Estant UTM NAD83 U18 (m) | Nordant UTM NAD83 U18 (m) | Poids (kg) | Au (ppm) | Pd (ppm) | Pt (ppm) |
|--------------------|-------------------------------------|--------------------------------------|-----------------------|---------------------|---------------------|---------------------|
| E6705556 | 418019 | 5599933 | 1.26 | 0.002 | | |
| E6705557 | 417978 | 5599470 | 1.32 | 0.002 | | |

| Échantillon | Ag (ppm) | Al % | As (ppm) | Ba (ppm) | Be (ppm) | Bi (ppm) | Ca % |
|-------------|-------------|---------|-------------|-------------|-------------|-------------|---------|
| E6705101 | <0.5 | 5.62 | <1 | 792 | 1 | 2 | 0.52 |
| E6705102 | <0.5 | 5.51 | <1 | 472 | 1.2 | <1 | 1.1 |
| E6705103 | 2.3 | 4.25 | 7 | 40 | 0.8 | 3 | 7.31 |
| E6705104 | <0.5 | 7.45 | 2 | 189 | 1.3 | <1 | 2.1 |
| E6705105 | <0.5 | 4.51 | <1 | 81 | <0.5 | <1 | 9.02 |
| E6705106 | <0.5 | 8.4 | <1 | 355 | 1.5 | <1 | 4.29 |
| E6705107 | <0.5 | 8.67 | <1 | 661 | 1.1 | <1 | 2.31 |
| E6705108 | <0.5 | 7.06 | <1 | 1620 | 1.3 | <1 | 0.84 |
| E6705110 | <0.5 | 5.02 | 3 | 346 | 1.3 | <1 | 0.05 |
| E6705111 | <0.5 | 1.92 | <1 | 146 | 0.8 | 2 | 0.02 |
| E6705113 | <0.5 | 8.14 | <1 | 160 | 3.2 | 3 | 2.16 |
| E6705114 | 2.9 | 4.2 | <1 | 24 | 2.7 | 7 | 1.18 |
| E6705116 | <0.5 | 8.57 | <1 | 1300 | 1.2 | <1 | 1.29 |
| E6705117 | <0.5 | 7.98 | <1 | 278 | 2.1 | <1 | 0.75 |
| E6705118 | 0.6 | 8.37 | <1 | 156 | 1.5 | <1 | 1.15 |
| E6705119 | 0.9 | 6.27 | <1 | 190 | 1.4 | <1 | 0.77 |
| E6705120 | <0.5 | 8.73 | 4 | 1180 | 1.6 | <1 | 1.81 |
| E6705121 | <0.5 | 8.85 | <1 | 292 | 1.1 | <1 | 1.39 |
| E6705122 | <0.5 | 5.57 | <1 | 1150 | 1.1 | 1 | 1.21 |
| E6705123 | <0.5 | 5.25 | <1 | 632 | 1.3 | <1 | 1.07 |
| E6705124 | <0.5 | 7.35 | <1 | 108 | <0.5 | <1 | 6.76 |
| E6705125 | <0.5 | 4.98 | <1 | 208 | 2.7 | <1 | 7.48 |
| E6705126 | <0.5 | 6.02 | 6 | 547 | 1.9 | 2 | 1.22 |
| E6705127 | <0.5 | 4.33 | <1 | 1100 | 0.9 | 1 | 0.26 |
| E6705151 | <0.5 | 6.16 | <1 | 158 | 1.7 | <1 | 1.18 |
| E6705152 | <0.5 | 5.83 | 1 | 535 | 1.3 | <1 | 1.84 |
| E6705153 | <0.5 | 6.46 | <1 | 375 | 1.4 | <1 | 1.68 |
| E6705154 | 1.4 | 4.44 | <1 | 66 | 0.7 | <1 | 9.69 |
| E6705156 | <0.5 | 5.39 | <1 | 575 | 1.3 | <1 | 0.3 |
| E6705157 | <0.5 | 6.27 | <1 | 134 | 2.9 | <1 | 4.32 |
| E6705158 | <0.5 | 5.62 | <1 | 293 | 2 | 3 | 1.51 |
| E6705159 | <0.5 | 7.04 | <1 | 121 | 1.2 | <1 | 5.42 |
| E6705160 | <0.5 | 7.55 | <1 | 312 | 0.9 | <1 | 6.27 |
| E6705162 | <0.5 | 7.9 | <1 | 277 | 0.6 | <1 | 5.87 |
| E6705163 | <0.5 | 5.08 | <1 | 101 | 0.5 | <1 | 8.68 |
| E6705164 | 1.5 | 4.43 | <1 | 107 | 1 | 1 | 1.51 |
| E6705165 | <0.5 | 7.19 | <1 | 268 | 1.1 | <1 | 1.74 |
| E6705166 | <0.5 | 7.12 | <1 | 370 | 2.3 | <1 | 8.4 |
| E6705167 | <0.5 | 8.74 | <1 | 956 | 0.6 | <1 | 1.92 |
| E6705168 | <0.5 | 6.13 | <1 | 137 | 1 | <1 | 3.29 |
| E6705169 | 0.8 | 7.71 | <1 | 70 | <0.5 | <1 | 6.35 |
| E6705170 | 1.7 | 6.72 | <1 | 122 | <0.5 | 2 | 6.79 |
| E6705171 | <0.5 | 3.73 | <1 | 8 | <0.5 | 3 | 5.11 |
| E6705172 | 1.4 | 0.14 | 18 | 38 | <0.5 | 2 | 0.2 |

| Échantillon | Ag (ppm) | Al % | As (ppm) | Ba (ppm) | Be (ppm) | Bi (ppm) | Ca % |
|-------------|-------------|---------|-------------|-------------|-------------|-------------|---------|
| E6705173 | <0.5 | 9.17 | <1 | 700 | 2.5 | <1 | 0.43 |
| E6705174 | <0.5 | 9 | <1 | 584 | 2.4 | <1 | 0.38 |
| E6705175 | <0.5 | 5.39 | <1 | 366 | 0.9 | <1 | 9.32 |
| E6705177 | <0.5 | 6.62 | <1 | 760 | 1.7 | <1 | 3.1 |
| E6705178 | <0.5 | 8.06 | <1 | 899 | 1.1 | 2 | 1.93 |
| E6705179 | <0.5 | 6.58 | <1 | 77 | <0.5 | <1 | 7.07 |
| E6705180 | <0.5 | 8.53 | <1 | 267 | 2.8 | <1 | 2.59 |
| E6705181 | <0.5 | 7.25 | <1 | 165 | <0.5 | 2 | 0.66 |
| E6705182 | <0.5 | 8.79 | <1 | 415 | 1.5 | <1 | 0.21 |
| E6705183 | <0.5 | 7.82 | <1 | 654 | 1.5 | <1 | 1.74 |
| E6705184 | <0.5 | 4.61 | <1 | 292 | 1.5 | <1 | 7.08 |
| E6705185 | <0.5 | 3.53 | <1 | 295 | 0.6 | <1 | 9.04 |
| E6705186 | <0.5 | 7.55 | <1 | 575 | 1.4 | <1 | 1.9 |
| E6705187 | 1 | 7.24 | <1 | 210 | 1.4 | <1 | 1.5 |
| E6705189 | 1.1 | 6.24 | <1 | 165 | 0.9 | <1 | 1.81 |
| E6705190 | 0.9 | 8.16 | <1 | 205 | 1.1 | <1 | 2.33 |
| E6705191 | <0.5 | 1.62 | <1 | 284 | <0.5 | <1 | 0.17 |
| E6705192 | 0.6 | 8.18 | <1 | 280 | 1.7 | <1 | 2.87 |
| E6705193 | 1 | 8.73 | <1 | 335 | 1.1 | <1 | 1.79 |
| E6705194 | 0.6 | 4.79 | <1 | 233 | 2.8 | 2 | 1.43 |
| E6705195 | <0.5 | 4.23 | <1 | 626 | 1.1 | 1 | 0.62 |
| E6705196 | 0.8 | 4.44 | <1 | 238 | 1.1 | <1 | 1.35 |
| E6705197 | 2.4 | 3.98 | 5 | 115 | 1.6 | 5 | 1.4 |
| E6705198 | <0.5 | 4.66 | <1 | 409 | 2.5 | <1 | 0.94 |
| E6705199 | 0.5 | 3.76 | <1 | 482 | 1.2 | 4 | 0.69 |
| E6705200 | <0.5 | 1.89 | <1 | 119 | 0.9 | 2 | 0.83 |
| E6705201 | <0.5 | 5.32 | <1 | 173 | 1.4 | 2 | 2.12 |
| E6705202 | <0.5 | 8.59 | <1 | 591 | 1.1 | <1 | 1.97 |
| E6705203 | <0.5 | 5.35 | 4 | 409 | 1.5 | <1 | 0.82 |
| E6705204 | <0.5 | 6.78 | 7 | 191 | 0.9 | 2 | 0.42 |
| E6705205 | <0.5 | 6.91 | <1 | 475 | 1.3 | <1 | 2.49 |
| E6705206 | <0.5 | 4.94 | <1 | 117 | 0.9 | 1 | 7.34 |
| E6705207 | <0.5 | 7.66 | <1 | 799 | 1.2 | <1 | 1.8 |
| E6705209 | <0.5 | 5.97 | <1 | 320 | 0.6 | <1 | 0.5 |
| E6705210 | <0.5 | 7.99 | <1 | 545 | 1.3 | <1 | 2.46 |
| E6705211 | <0.5 | 9.96 | <1 | 774 | 1.5 | <1 | 2.53 |
| E6705213 | <0.5 | 6.35 | <1 | 181 | 1.1 | <1 | 1.63 |
| E6705214 | <0.5 | 6.52 | <1 | 282 | 2.4 | <1 | 4.41 |
| E6705215 | <0.5 | 6.66 | <1 | 75 | 2.3 | <1 | 6.22 |
| E6705216 | <0.5 | 3.86 | <1 | 340 | 3 | <1 | 9.01 |
| E6705217 | <0.5 | 8.03 | <1 | 1060 | 1.8 | <1 | 3.37 |
| E6705218 | <0.5 | 5.32 | <1 | 1110 | 1.2 | 2 | 1.14 |
| E6705219 | 0.5 | 5.92 | 9 | 338 | 1.1 | <1 | 1.71 |
| E6705220 | <0.5 | 6.97 | 9 | 462 | 1.7 | <1 | 5.96 |

| Échantillon | Ag (ppm) | Al % | As (ppm) | Ba (ppm) | Be (ppm) | Bi (ppm) | Ca % |
|-------------|-------------|---------|-------------|-------------|-------------|-------------|---------|
| E6705221 | 0.7 | 5.08 | <1 | 201 | 0.9 | <1 | 1.62 |
| E6705223 | <0.5 | 3.37 | 6 | 723 | 0.6 | 1 | 0.21 |
| E6705224 | <0.5 | 1.32 | <1 | 4 | <0.5 | 2 | 4.6 |
| E6705501 | <0.5 | 7.27 | <1 | 1040 | 0.6 | <1 | 0.14 |
| E6705502 | <0.5 | 5.97 | 1 | 661 | 1 | <1 | 0.18 |
| E6705503 | <0.5 | 7.14 | 1 | 193 | 1.4 | 2 | 1.78 |
| E6705504 | <0.5 | 7.31 | <1 | 336 | 1.6 | 1 | 1.23 |
| E6705505 | <0.5 | 5.59 | <1 | 1220 | 2 | <1 | 1.26 |
| E6705506 | <0.5 | 5.57 | <1 | 608 | 2 | 3 | 1.27 |
| E6705507 | <0.5 | 7.29 | <1 | 184 | 2.5 | <1 | 6.53 |
| E6705508 | <0.5 | 5.66 | 5 | 371 | 1.8 | <1 | 0.39 |
| E6705509 | <0.5 | 6.3 | <1 | 260 | 1.7 | <1 | 1.63 |
| E6705510 | <0.5 | 7.73 | <1 | 955 | 1.8 | <1 | 3.92 |
| E6705512 | <0.5 | 5.35 | <1 | 883 | <0.5 | <1 | 0.36 |
| E6705513 | <0.5 | 6.58 | <1 | 669 | 1.3 | <1 | 1.25 |
| E6705514 | <0.5 | 8.67 | <1 | 455 | 2.5 | <1 | 1.78 |
| E6705516 | <0.5 | 5.16 | 4 | 222 | 1.3 | <1 | 1.18 |
| E6705517 | <0.5 | 6.77 | <1 | 848 | 1 | <1 | 1.25 |
| E6705518 | <0.5 | 5.99 | <1 | 479 | 1.1 | 1 | 1.09 |
| E6705519 | <0.5 | 8.46 | <1 | 212 | <0.5 | <1 | 7.57 |
| E6705520 | <0.5 | 5.07 | <1 | 1050 | 0.7 | <1 | 0.35 |
| E6705521 | <0.5 | 6.92 | 2 | 900 | 0.9 | <1 | 1.44 |
| E6705522 | <0.5 | 6.87 | <1 | 674 | 1.2 | 2 | 0.63 |
| E6705523 | <0.5 | 8.12 | 2 | 669 | 1.4 | <1 | 0.59 |
| E6705524 | <0.5 | 7.41 | <1 | 170 | 2.8 | <1 | 3.12 |
| E6705525 | <0.5 | 7.49 | <1 | 1350 | 1.6 | <1 | 0.86 |
| E6705526 | <0.5 | 0.06 | <1 | 7 | <0.5 | <1 | 0.01 |
| E6705527 | <0.5 | 8.01 | <1 | 1600 | 1.1 | 2 | 1.26 |
| E6705528 | <0.5 | 7.78 | <1 | 636 | 1.1 | <1 | 1.69 |
| E6705529 | 0.8 | 6.18 | <1 | 165 | 0.6 | 2 | 0.31 |
| E6705530 | <0.5 | 8.81 | <1 | 259 | 1.8 | <1 | 0.64 |
| E6705532 | <0.5 | 9.41 | <1 | 343 | 1.8 | <1 | 2.3 |
| E6705533 | <0.5 | 4.43 | <1 | 16 | 0.9 | <1 | 0.92 |
| E6705534 | 1.8 | 8.25 | <1 | 147 | 1.4 | 2 | 0.67 |
| E6705535 | <0.5 | 8 | <1 | 741 | 2.4 | <1 | 2.39 |
| E6705536 | <0.5 | 11.2 | 2 | 707 | 2.1 | <1 | 1.49 |
| E6705537 | <0.5 | 6.07 | <1 | 1980 | 1 | <1 | 1.29 |
| E6705538 | 0.8 | 4.13 | 17 | 294 | 0.7 | 3 | 1.28 |
| E6705542 | <0.5 | 7.72 | <1 | 69 | <0.5 | <1 | 7.67 |
| E6705543 | <0.5 | 5.35 | <1 | 175 | 3.1 | 3 | 0.29 |
| E6705551 | <0.5 | 7.34 | <1 | 979 | 1.9 | 1 | 0.64 |
| E6705552 | <0.5 | 6.97 | <1 | 440 | 1.7 | 2 | 1.13 |
| E6705553 | <0.5 | 8.45 | <1 | 962 | 1.4 | <1 | 5.23 |
| E6705555 | <0.5 | 5.52 | <1 | 1370 | 0.8 | <1 | 0.72 |

| Échantillon | Ag (ppm) | Al % | As (ppm) | Ba (ppm) | Be (ppm) | Bi (ppm) | Ca % |
|--------------------|---------------------|-----------------|---------------------|---------------------|---------------------|---------------------|-----------------|
| E6705556 | 0.5 | 5.42 | <1 | 364 | 1.2 | <1 | 1.74 |
| E6705557 | <0.5 | 7.28 | <1 | 655 | 1.5 | <1 | 6.36 |

| Échantillon | Cd (ppm) | Ce (ppm) | Co (ppm) | Cr (ppm) | Cu (ppm) | Fe % | Ga (ppm) |
|-------------|-------------|-------------|-------------|-------------|-------------|---------|-------------|
| E6705101 | <0.5 | 168 | <0.5 | 54.2 | 9.2 | 0.72 | 15 |
| E6705102 | <0.5 | 24 | 7.8 | 178 | 13.8 | 2.88 | 18 |
| E6705103 | 1.7 | 18 | 61.7 | 732 | 555 | 15.7 | 11 |
| E6705104 | <0.5 | 12 | 12.8 | 246 | 16.9 | 4.01 | 17 |
| E6705105 | 0.8 | 94 | 48.7 | 1400 | 3 | 6.33 | 15 |
| E6705106 | <0.5 | 71 | 19.7 | 28.3 | 48.8 | 6.45 | 23 |
| E6705107 | <0.5 | 79 | 16.5 | 176 | 46.2 | 5.42 | 22 |
| E6705108 | <0.5 | 20 | <0.5 | 17.2 | 3.6 | 0.54 | 15 |
| E6705110 | <0.5 | 42 | 1.1 | 16.8 | 50.4 | 1.02 | 14 |
| E6705111 | <0.5 | 13 | 0.6 | 83.7 | 6.5 | 0.65 | 5 |
| E6705113 | <0.5 | 5 | <0.5 | 26.3 | 12.2 | 1.36 | 23 |
| E6705114 | 5.3 | 25 | 116 | 74.5 | 528 | 21.4 | 6 |
| E6705116 | <0.5 | 127 | 4.9 | 90.4 | 26.2 | 2.61 | 23 |
| E6705117 | <0.5 | 177 | 15.3 | 105 | 117 | 4.29 | 19 |
| E6705118 | 1 | 52 | 31.5 | 243 | 151 | 8.64 | 21 |
| E6705119 | <0.5 | 43 | 20.5 | 124 | 162 | 13.9 | 13 |
| E6705120 | <0.5 | 48 | 8.4 | 159 | 20.5 | 3.94 | 24 |
| E6705121 | 0.7 | 56 | 25.1 | 230 | 173 | 7.1 | 22 |
| E6705122 | <0.5 | 170 | 2.8 | 15.2 | 10.4 | 2.84 | 19 |
| E6705123 | <0.5 | 26 | <0.5 | 65 | 3.2 | 0.78 | 15 |
| E6705124 | <0.5 | 18 | 39.4 | 452 | 28.3 | 6.76 | 16 |
| E6705125 | 0.5 | 294 | 39.3 | 210 | 1.3 | 5.29 | 14 |
| E6705126 | <0.5 | 33 | 10.1 | 96.9 | 53.1 | 3.5 | 19 |
| E6705127 | <0.5 | 27 | <0.5 | 62 | 5.2 | 0.74 | 13 |
| E6705151 | <0.5 | 45 | 11.2 | 158 | 5.5 | 2.85 | 18 |
| E6705152 | 0.6 | 53 | 17.6 | 141 | 190 | 4.9 | 19 |
| E6705153 | <0.5 | 18 | 9.9 | 157 | 13 | 3.23 | 17 |
| E6705154 | 1.5 | 15 | 51.5 | 673 | 325 | 12.3 | 10 |
| E6705156 | <0.5 | 18 | <0.5 | 58.9 | 2.3 | 1.13 | 17 |
| E6705157 | 0.5 | 66 | 23.8 | 288 | 2 | 3.84 | 17 |
| E6705158 | <0.5 | 24 | 2.7 | 63.8 | 6.6 | 1.33 | 18 |
| E6705159 | 0.7 | 36 | 36.1 | 559 | 28.3 | 6.06 | 18 |
| E6705160 | <0.5 | 116 | 24.1 | 194 | 30.8 | 6.84 | 20 |
| E6705162 | 0.8 | 128 | 34.1 | 206 | 93.5 | 8.26 | 21 |
| E6705163 | 0.8 | 43 | 86.4 | 654 | 1.8 | 7.03 | 18 |
| E6705164 | <0.5 | 30 | 25.3 | 296 | 404 | 10.9 | 14 |
| E6705165 | <0.5 | 42 | 11.2 | 169 | 15 | 3.71 | 19 |
| E6705166 | 0.7 | 208 | 36.8 | 353 | 3.9 | 7.45 | 18 |
| E6705167 | <0.5 | 48 | 12.4 | 203 | 43.4 | 6.34 | 26 |
| E6705168 | <0.5 | 25 | 13.4 | 199 | 289 | 5.14 | 14 |
| E6705169 | 0.9 | 16 | 41.3 | 335 | 469 | 9.64 | 16 |
| E6705170 | 1 | 12 | 29.4 | 318 | 412 | 14.7 | 13 |
| E6705171 | 0.6 | 5 | 96.2 | 2210 | 94.3 | 9.52 | 13 |
| E6705172 | 0.6 | 2 | 4.3 | 88.2 | 3.6 | 32 | <5 |

| Échantillon | Cd (ppm) | Ce (ppm) | Co (ppm) | Cr (ppm) | Cu (ppm) | Fe % | Ga (ppm) |
|-------------|-------------|-------------|-------------|-------------|-------------|---------|-------------|
| E6705173 | <0.5 | 292 | 3 | 30.6 | 12 | 2.16 | 28 |
| E6705174 | <0.5 | 237 | 1.6 | 71 | 9.1 | 1.47 | 26 |
| E6705175 | 0.5 | 44 | 56.6 | 60.7 | 24.6 | 6.46 | 18 |
| E6705177 | <0.5 | 33 | 17.7 | 337 | 13.7 | 3.23 | 18 |
| E6705178 | <0.5 | 57 | 12.3 | 311 | 19 | 4.31 | 20 |
| E6705179 | <0.5 | 16 | 46.4 | 116 | 36.7 | 10.4 | 20 |
| E6705180 | <0.5 | 53 | 4.4 | 165 | 9.7 | 2.43 | 23 |
| E6705181 | <0.5 | 49 | <0.5 | 32.5 | 1.9 | 0.92 | 19 |
| E6705182 | <0.5 | 110 | 1.8 | 70.4 | 2.3 | 1.53 | 20 |
| E6705183 | <0.5 | 21 | 1.1 | 87.9 | 10.8 | 2.15 | 19 |
| E6705184 | 0.8 | 68 | 50.5 | 767 | 30.4 | 5.32 | 14 |
| E6705185 | 0.5 | 41 | 46.8 | 1460 | 2.3 | 4.75 | 12 |
| E6705186 | <0.5 | 32 | 5.4 | 166 | 11.5 | 2.59 | 21 |
| E6705187 | 1.6 | 44 | 31.4 | 174 | 94.8 | 6.16 | 19 |
| E6705189 | 1.8 | 36 | 34.7 | 270 | 261 | 5.62 | 16 |
| E6705190 | 0.9 | 46 | 30.4 | 370 | 171 | 5.56 | 20 |
| E6705191 | <0.5 | 9 | 1.9 | 337 | 13.7 | 0.71 | <5 |
| E6705192 | 0.9 | 41 | 23.8 | 386 | 166 | 5.7 | 19 |
| E6705193 | 0.5 | 79 | 35.7 | 266 | 327 | 6.53 | 22 |
| E6705194 | 0.9 | 48 | 20.3 | 128 | 117 | 4.65 | 19 |
| E6705195 | <0.5 | 72 | <0.5 | 67.4 | 2.8 | 0.46 | 14 |
| E6705196 | 2.5 | 27 | 37.1 | 135 | 180 | 5.03 | 18 |
| E6705197 | 1.4 | 24 | 80.2 | 159 | 507 | 20.6 | 10 |
| E6705198 | <0.5 | 25 | 0.8 | 17 | 10.5 | 0.96 | 20 |
| E6705199 | 1.7 | 35 | 24.8 | 134 | 133 | 3.13 | 13 |
| E6705200 | <0.5 | 8 | 2 | 45.1 | 15.7 | 0.91 | 5 |
| E6705201 | <0.5 | 25 | 6.7 | 120 | 45.2 | 3.21 | 24 |
| E6705202 | <0.5 | 58 | 19.4 | 239 | 23.6 | 5.26 | 22 |
| E6705203 | <0.5 | 25 | 17.3 | 99.1 | 112 | 4.52 | 16 |
| E6705204 | <0.5 | 42 | 57.3 | 174 | 247 | 8.44 | 21 |
| E6705205 | <0.5 | 29 | 18.2 | 184 | 84.2 | 3.67 | 20 |
| E6705206 | 1 | 101 | 55.1 | 1850 | 3.3 | 7.24 | 14 |
| E6705207 | <0.5 | 30 | 3.4 | 45.7 | 14.7 | 1.96 | 16 |
| E6705209 | 1 | 22 | <0.5 | 20.1 | 54 | 0.76 | 13 |
| E6705210 | <0.5 | 65 | 16.1 | 179 | 14.8 | 4.37 | 20 |
| E6705211 | <0.5 | 72 | 17.4 | 149 | 104 | 5.16 | 25 |
| E6705213 | 1 | 40 | 37.4 | 116 | 153 | 4.21 | 18 |
| E6705214 | <0.5 | 53 | 15.1 | 118 | 18.4 | 4.11 | 19 |
| E6705215 | 0.5 | 89 | 27.3 | 356 | 15.9 | 5.47 | 20 |
| E6705216 | 0.8 | 52 | 40.7 | 2060 | 3.4 | 4.9 | 16 |
| E6705217 | <0.5 | 53 | 9.5 | 154 | 11.1 | 4.29 | 20 |
| E6705218 | <0.5 | 52 | <0.5 | 71.7 | 6.8 | 1.25 | 16 |
| E6705219 | 0.8 | 40 | 26.3 | 189 | 144 | 5.39 | 18 |
| E6705220 | 0.5 | 58 | 22.3 | 263 | 22.8 | 5.72 | 19 |

| Échantillon | Cd (ppm) | Ce (ppm) | Co (ppm) | Cr (ppm) | Cu (ppm) | Fe % | Ga (ppm) |
|-------------|-------------|-------------|-------------|-------------|-------------|---------|-------------|
| E6705221 | 0.8 | 29 | 80.8 | 53.8 | 288 | 9.62 | 16 |
| E6705223 | <0.5 | 45 | 0.5 | 84.6 | 39.6 | 2.17 | 10 |
| E6705224 | <0.5 | 4 | 51.1 | 2250 | 15.9 | 9.61 | 9 |
| E6705501 | <0.5 | 20 | <0.5 | 82 | 3.9 | 0.88 | 13 |
| E6705502 | <0.5 | 33 | 1.1 | 77.6 | 12.2 | 1.22 | 16 |
| E6705503 | <0.5 | 43 | 13.5 | 167 | 19.4 | 3.44 | 19 |
| E6705504 | <0.5 | 66 | <0.5 | 74.3 | <0.5 | 0.48 | 18 |
| E6705505 | <0.5 | 18 | <0.5 | 44.9 | 4.5 | 1.14 | 19 |
| E6705506 | <0.5 | 12 | <0.5 | 82.4 | 2.3 | 1.45 | 19 |
| E6705507 | <0.5 | 121 | 24.1 | 378 | 23.1 | 5.16 | 20 |
| E6705508 | <0.5 | 68 | <0.5 | 86.7 | <0.5 | 0.61 | 15 |
| E6705509 | <0.5 | 34 | 2.1 | 40.3 | 1.4 | 1.38 | 20 |
| E6705510 | <0.5 | 112 | 22.3 | 359 | 23.9 | 3.86 | 17 |
| E6705512 | <0.5 | 40 | <0.5 | 56.4 | 17.2 | 0.93 | 14 |
| E6705513 | <0.5 | 54 | 3.3 | 135 | 13 | 1.62 | 16 |
| E6705514 | <0.5 | 87 | 6.8 | 34.3 | 167 | 4.13 | 19 |
| E6705516 | <0.5 | 13 | 3.5 | 85.4 | 8.8 | 1.37 | 17 |
| E6705517 | <0.5 | 35 | 12.3 | 220 | 22.6 | 3.78 | 17 |
| E6705518 | <0.5 | 25 | 9.1 | 161 | 16.7 | 3.42 | 19 |
| E6705519 | <0.5 | 20 | 45.6 | 175 | 89.3 | 8.3 | 19 |
| E6705520 | <0.5 | 23 | <0.5 | 55.6 | 3 | 1.13 | 12 |
| E6705521 | <0.5 | 19 | 13.8 | 222 | 17.4 | 3.96 | 18 |
| E6705522 | <0.5 | 33 | <0.5 | 68 | 5.8 | 1.13 | 16 |
| E6705523 | <0.5 | 38 | 4.5 | 172 | 6 | 3.21 | 21 |
| E6705524 | 0.6 | 20 | 18.9 | 161 | 67.7 | 4.37 | 21 |
| E6705525 | <0.5 | 24 | <0.5 | 73.6 | 4.3 | 0.65 | 18 |
| E6705526 | <0.5 | <1 | 0.7 | 106 | 2.6 | 0.48 | <5 |
| E6705527 | <0.5 | 20 | <0.5 | 69.7 | 2.4 | 1.06 | 18 |
| E6705528 | <0.5 | 46 | 4.9 | 74 | 5.7 | 2.44 | 19 |
| E6705529 | <0.5 | 34 | 24 | 235 | 164 | 9.82 | 15 |
| E6705530 | 0.6 | 58 | 26.5 | 131 | 195 | 6.68 | 20 |
| E6705532 | <0.5 | 55 | 22.9 | 226 | 104 | 5.43 | 24 |
| E6705533 | <0.5 | 89 | 33.2 | 2470 | 3.9 | 5.9 | 27 |
| E6705534 | 1.8 | 43 | 50.3 | 139 | 177 | 10.8 | 19 |
| E6705535 | <0.5 | 29 | 10.7 | 185 | 16.9 | 3.78 | 22 |
| E6705536 | <0.5 | 93 | 2 | 192 | 33.3 | 2.46 | 26 |
| E6705537 | <0.5 | 196 | 1.6 | 46.9 | 24.5 | 3.91 | 20 |
| E6705538 | <0.5 | 27 | 30.5 | 49.6 | 304 | 5.19 | 14 |
| E6705542 | 0.6 | 8 | 43 | 439 | 24.4 | 7.27 | 15 |
| E6705543 | <0.5 | 29 | 0.8 | 16.1 | 1.9 | 1.02 | 24 |
| E6705551 | <0.5 | 23 | <0.5 | 65.8 | 3.1 | 0.67 | 21 |
| E6705552 | <0.5 | 33 | 3.7 | 79.6 | 11.4 | 1.97 | 17 |
| E6705553 | 0.5 | 45 | 29.6 | 320 | 15.7 | 6.02 | 24 |
| E6705555 | <0.5 | 24 | 0.9 | 46.8 | 23.7 | 2.38 | 16 |

| Échantillon | Cd (ppm) | Ce (ppm) | Co (ppm) | Cr (ppm) | Cu (ppm) | Fe % | Ga (ppm) |
|--------------------|---------------------|---------------------|---------------------|---------------------|---------------------|-----------------|---------------------|
| E6705556 | 0.5 | 37 | 21.3 | 149 | 101 | 4.24 | 18 |
| E6705557 | 0.6 | 92 | 29.4 | 271 | 31.7 | 5.9 | 20 |

| Échantillon | In (ppm) | K % | La (ppm) | Li (ppm) | Mg % | Mn (ppm) | Mo (ppm) |
|-------------|-------------|--------|-------------|-------------|---------|-------------|-------------|
| E6705101 | 3 | 4.31 | 81 | 9 | 0.17 | 87 | 1.1 |
| E6705102 | 10 | 3.26 | 10 | 32 | 0.86 | 406 | 2.5 |
| E6705103 | 10 | 0.62 | 9 | 8 | 4.66 | 4940 | 5.6 |
| E6705104 | 3 | 1.79 | 6 | 35 | 1.32 | 557 | 7.1 |
| E6705105 | 6 | 0.62 | 28 | 18 | 8.98 | 1900 | <0.5 |
| E6705106 | 6 | 1.26 | 31 | 59 | 1.67 | 1150 | <0.5 |
| E6705107 | 3 | 2.39 | 41 | 66 | 1.71 | 784 | <0.5 |
| E6705108 | <1 | 4.98 | 9 | 3 | 0.05 | 47 | <0.5 |
| E6705110 | 2 | 2.96 | 29 | 14 | 0.59 | 70 | 2.5 |
| E6705111 | <1 | 1.1 | 6 | 6 | 0.14 | 40 | 5.2 |
| E6705113 | <1 | 1.06 | 3 | 3 | 0.05 | 57 | 27.2 |
| E6705114 | 3 | 0.85 | 12 | 19 | 0.64 | 417 | 7.9 |
| E6705116 | 1 | 3.78 | 65 | 14 | 0.75 | 296 | 6.4 |
| E6705117 | <1 | 2.18 | 82 | 10 | 0.44 | 199 | 3.4 |
| E6705118 | <1 | 2.24 | 24 | 29 | 2.24 | 812 | 2.7 |
| E6705119 | <1 | 1.44 | 21 | 12 | 0.65 | 304 | 4.3 |
| E6705120 | <1 | 3.39 | 24 | 54 | 1.35 | 532 | <0.5 |
| E6705121 | 5 | 3.28 | 27 | 20 | 1.21 | 476 | 4.6 |
| E6705122 | 10 | 4.78 | 89 | 37 | 0.63 | 318 | <0.5 |
| E6705123 | <1 | 2.85 | 15 | 9 | 0.15 | 99 | 3.8 |
| E6705124 | 1 | 0.92 | 9 | 19 | 5.78 | 1210 | <0.5 |
| E6705125 | 3 | 0.49 | 104 | 15 | 7.54 | 1090 | <0.5 |
| E6705126 | 3 | 3.38 | 18 | 20 | 0.44 | 221 | 74.5 |
| E6705127 | 4 | 5.54 | 15 | 2 | 0.05 | 26 | 1.3 |
| E6705151 | 3 | 0.79 | 22 | 30 | 1.91 | 336 | <0.5 |
| E6705152 | 7 | 2.38 | 24 | 24 | 1.11 | 344 | 7.5 |
| E6705153 | <1 | 2.19 | 7 | 37 | 1.19 | 411 | 3.9 |
| E6705154 | 6 | 0.56 | 8 | 14 | 4.31 | 4590 | <0.5 |
| E6705156 | 2 | 4.46 | 7 | 18 | 0.14 | 162 | 1.3 |
| E6705157 | 4 | 0.96 | 25 | 11 | 3.25 | 1280 | <0.5 |
| E6705158 | <1 | 1.69 | 9 | 27 | 0.43 | 200 | 0.5 |
| E6705159 | 2 | 1.3 | 12 | 30 | 4.38 | 1330 | <0.5 |
| E6705160 | 2 | 2.16 | 41 | 12 | 4.03 | 1200 | <0.5 |
| E6705162 | 7 | 1.67 | 58 | 32 | 4.39 | 1650 | <0.5 |
| E6705163 | 6 | 0.82 | 17 | 22 | 8.59 | 1510 | <0.5 |
| E6705164 | 5 | 0.88 | 13 | 41 | 0.69 | 687 | 5.6 |
| E6705165 | 3 | 2.2 | 20 | 37 | 1.16 | 402 | 0.7 |
| E6705166 | 4 | 1.32 | 75 | 23 | 5.82 | 1780 | <0.5 |
| E6705167 | 7 | 3.75 | 27 | 77 | 1.66 | 776 | 1.5 |
| E6705168 | 4 | 0.88 | 12 | 32 | 1.44 | 1510 | 1.6 |
| E6705169 | 7 | 0.67 | 8 | 22 | 3.03 | 3270 | <0.5 |
| E6705170 | 9 | 0.88 | 6 | 19 | 3.6 | 7720 | <0.5 |
| E6705171 | 3 | 1.3 | 3 | 13 | 13.9 | 1570 | <0.5 |
| E6705172 | 9 | 0.04 | 3 | 2 | 2.25 | 5300 | <0.5 |

| Échantillon | In (ppm) | K % | La (ppm) | Li (ppm) | Mg % | Mn (ppm) | Mo (ppm) |
|-------------|-------------|--------|-------------|-------------|---------|-------------|-------------|
| E6705173 | <1 | 7.06 | 135 | 5 | 0.29 | 449 | 1.5 |
| E6705174 | <1 | 6.6 | 138 | 9 | 0.22 | 362 | 1.5 |
| E6705175 | <1 | 2.68 | 14 | 76 | 7.83 | 1070 | <0.5 |
| E6705177 | <1 | 2.36 | 18 | 40 | 2.81 | 560 | <0.5 |
| E6705178 | 2 | 2.87 | 30 | 29 | 1.78 | 542 | 2.3 |
| E6705179 | 3 | 0.4 | 5 | 12 | 3.61 | 2340 | <0.5 |
| E6705180 | <1 | 1.09 | 29 | 28 | 0.41 | 443 | 1.6 |
| E6705181 | <1 | 4.93 | 23 | 11 | 0.09 | 351 | <0.5 |
| E6705182 | <1 | 5.79 | 57 | 7 | 0.49 | 68 | <0.5 |
| E6705183 | <1 | 2.63 | 11 | 14 | 0.62 | 251 | <0.5 |
| E6705184 | <1 | 0.67 | 26 | 12 | 6.96 | 1360 | <0.5 |
| E6705185 | 2 | 0.77 | 14 | 17 | 10.5 | 999 | <0.5 |
| E6705186 | <1 | 2.73 | 18 | 20 | 0.88 | 396 | 5.2 |
| E6705187 | <1 | 1.37 | 21 | 25 | 1.04 | 560 | 1.5 |
| E6705189 | <1 | 1.26 | 17 | 23 | 1.23 | 597 | 28.1 |
| E6705190 | <1 | 1.71 | 23 | 21 | 1.78 | 961 | 3.1 |
| E6705191 | <1 | 1.34 | 4 | 2 | 0.06 | 52 | 3.3 |
| E6705192 | 2 | 1.97 | 17 | 29 | 1.85 | 1010 | <0.5 |
| E6705193 | <1 | 3.68 | 40 | 32 | 0.99 | 585 | 3.9 |
| E6705194 | 4 | 1.22 | 25 | 27 | 0.78 | 493 | 5 |
| E6705195 | 4 | 3.77 | 39 | 5 | 0.11 | 69 | 2 |
| E6705196 | 2 | 1.59 | 15 | 22 | 1.06 | 594 | 1.8 |
| E6705197 | 6 | 0.82 | 13 | 16 | 0.99 | 694 | 6.2 |
| E6705198 | 6 | 2.93 | 13 | 7 | 0.25 | 124 | <0.5 |
| E6705199 | 4 | 3.07 | 17 | 8 | 0.37 | 209 | 7.5 |
| E6705200 | <1 | 0.43 | 3 | 7 | 0.22 | 114 | 0.7 |
| E6705201 | 5 | 1.94 | 11 | 21 | 0.38 | 185 | 4.1 |
| E6705202 | 9 | 2.47 | 27 | 63 | 2.03 | 634 | 6.6 |
| E6705203 | 2 | 2.19 | 11 | 32 | 0.73 | 292 | 2.9 |
| E6705204 | 5 | 3.94 | 19 | 46 | 1.1 | 397 | 9.4 |
| E6705205 | 1 | 1.34 | 14 | 33 | 0.88 | 413 | 5.6 |
| E6705206 | 4 | 1.38 | 37 | 60 | 8.39 | 1900 | <0.5 |
| E6705207 | <1 | 2.07 | 15 | 13 | 0.57 | 204 | 0.7 |
| E6705209 | <1 | 4.84 | 9 | 2 | 0.06 | 67 | 1.7 |
| E6705210 | <1 | 2.19 | 31 | 34 | 1.94 | 655 | 1.7 |
| E6705211 | 5 | 2.73 | 37 | 20 | 1.15 | 500 | 3.9 |
| E6705213 | 1 | 0.92 | 19 | 17 | 0.78 | 399 | 5.5 |
| E6705214 | <1 | 0.56 | 16 | 10 | 2.63 | 1100 | <0.5 |
| E6705215 | 4 | 0.47 | 35 | 11 | 4.91 | 1350 | <0.5 |
| E6705216 | <1 | 1.03 | 19 | 15 | 9.77 | 1250 | <0.5 |
| E6705217 | <1 | 1.78 | 18 | 31 | 2.11 | 728 | <0.5 |
| E6705218 | 2 | 3.12 | 28 | 13 | 0.38 | 169 | <0.5 |
| E6705219 | 4 | 2.71 | 20 | 30 | 1.02 | 493 | 1.2 |
| E6705220 | 5 | 0.92 | 19 | 11 | 4.72 | 1190 | <0.5 |

| Échantillon | In (ppm) | K % | La (ppm) | Li (ppm) | Mg % | Mn (ppm) | Mo (ppm) |
|-------------|-------------|--------|-------------|-------------|---------|-------------|-------------|
| E6705221 | 5 | 1.17 | 16 | 31 | 0.71 | 383 | 4 |
| E6705223 | 2 | 3.3 | 24 | 4 | 0.15 | 87 | 17.8 |
| E6705224 | 3 | 0.06 | 2 | <1 | 16.4 | 1590 | <0.5 |
| E6705501 | <1 | 5.08 | 10 | 8 | 0.33 | 103 | 0.7 |
| E6705502 | <1 | 3.48 | 15 | 20 | 0.73 | 173 | 0.6 |
| E6705503 | 2 | 1.72 | 19 | 49 | 1.31 | 467 | <0.5 |
| E6705504 | 2 | 2.8 | 29 | 9 | 0.09 | 80 | 0.8 |
| E6705505 | 4 | 2.38 | 5 | 25 | 0.33 | 177 | <0.5 |
| E6705506 | 3 | 2.64 | 5 | 9 | 0.12 | 174 | 1 |
| E6705507 | 5 | 0.95 | 44 | 28 | 4.55 | 1800 | <0.5 |
| E6705508 | 3 | 4.79 | 31 | 14 | 0.1 | 130 | 0.6 |
| E6705509 | 2 | 1.33 | 14 | 45 | 0.35 | 272 | 0.5 |
| E6705510 | <1 | 2.71 | 39 | 47 | 3.27 | 689 | <0.5 |
| E6705512 | 2 | 5.43 | 19 | 8 | 0.19 | 82 | 4 |
| E6705513 | <1 | 2.75 | 24 | 16 | 0.51 | 178 | 10.7 |
| E6705514 | 7 | 1.73 | 40 | 17 | 0.97 | 396 | <0.5 |
| E6705516 | 4 | 1.42 | 5 | 9 | 0.33 | 148 | 3.2 |
| E6705517 | 2 | 2.57 | 14 | 36 | 1.57 | 455 | 2 |
| E6705518 | 2 | 2.91 | 10 | 34 | 1.04 | 333 | 1.2 |
| E6705519 | 2 | 0.83 | 8 | 19 | 4.16 | 1420 | <0.5 |
| E6705520 | 3 | 5.1 | 10 | 6 | 0.24 | 164 | 1.6 |
| E6705521 | 4 | 3.11 | 9 | 36 | 1.7 | 534 | 2.7 |
| E6705522 | <1 | 4.25 | 17 | 7 | 0.25 | 159 | 2.9 |
| E6705523 | 4 | 2.41 | 19 | 36 | 2.33 | 220 | <0.5 |
| E6705524 | <1 | 1.17 | 5 | 13 | 1.89 | 1140 | 0.7 |
| E6705525 | <1 | 5.38 | 9 | 7 | 0.16 | 96 | 0.6 |
| E6705526 | <1 | 0.04 | <2 | 1 | <0.01 | 31 | 2.3 |
| E6705527 | 2 | 3.91 | 8 | 11 | 0.29 | 137 | <0.5 |
| E6705528 | <1 | 2.65 | 23 | 25 | 0.64 | 304 | <0.5 |
| E6705529 | 4 | 1.64 | 16 | 26 | 1.15 | 431 | 3.1 |
| E6705530 | 3 | 3.05 | 29 | 20 | 0.69 | 331 | 6.9 |
| E6705532 | <1 | 2.13 | 26 | 18 | 1.04 | 392 | 9.7 |
| E6705533 | <1 | 0.03 | 41 | 118 | 7.03 | 899 | <0.5 |
| E6705534 | 3 | 4.21 | 19 | 13 | 0.49 | 270 | 2.6 |
| E6705535 | 3 | 2.02 | 13 | 40 | 1.79 | 554 | <0.5 |
| E6705536 | <1 | 3.97 | 46 | 21 | 0.5 | 352 | <0.5 |
| E6705537 | 6 | 3.63 | 74 | 40 | 0.85 | 354 | <0.5 |
| E6705538 | 3 | 1.96 | 14 | 23 | 0.59 | 243 | 6.1 |
| E6705542 | 2 | 0.53 | 4 | 17 | 4.89 | 1550 | 1.3 |
| E6705543 | 1 | 4.81 | 13 | 8 | 0.15 | 1190 | <0.5 |
| E6705551 | <1 | 4.89 | 11 | 6 | 0.11 | 233 | <0.5 |
| E6705552 | <1 | 1.89 | 15 | 17 | 0.49 | 231 | 0.6 |
| E6705553 | 2 | 1.86 | 20 | 57 | 4.59 | 1070 | <0.5 |
| E6705555 | 3 | 5.99 | 13 | 28 | 0.47 | 250 | 2 |

| Échantillon | In (ppm) | K % | La (ppm) | Li (ppm) | Mg % | Mn (ppm) | Mo (ppm) |
|--------------------|---------------------|----------------|---------------------|---------------------|-----------------|---------------------|---------------------|
| E6705556 | 2 | 2.26 | 18 | 31 | 0.95 | 586 | 1.3 |
| E6705557 | <1 | 2.12 | 44 | 31 | 5.91 | 1210 | <0.5 |

| Échantillon | Na % | Ni (ppm) | P (ppm) | Pb (ppm) | Rb (ppm) | S % | Sb (ppm) |
|-------------|---------|-------------|------------|-------------|-------------|--------|-------------|
| E6705101 | 2.4 | 2.8 | 268 | 38 | 344 | 0.01 | <1 |
| E6705102 | 2.48 | 42.5 | 336 | 16 | 412 | 0.052 | 1 |
| E6705103 | 0.79 | 274 | 92 | <1 | 37 | 2.91 | 2 |
| E6705104 | 2.87 | 38.3 | 658 | 10 | 335 | 0.06 | 6 |
| E6705105 | 0.81 | 333 | 1530 | <1 | 109 | 0.014 | 7 |
| E6705106 | 3.34 | 19.5 | 1270 | 10 | 206 | 0.062 | 1 |
| E6705107 | 3.08 | 55.2 | 489 | 12 | 358 | 0.461 | 4 |
| E6705108 | 2.39 | 3.7 | 137 | 29 | 291 | 0.015 | 4 |
| E6705110 | 0.27 | 3.7 | 123 | 6 | 417 | 0.023 | 2 |
| E6705111 | 0.03 | 2.4 | <10 | 5 | 124 | 0.014 | <1 |
| E6705113 | 4.29 | 2 | 47 | 53 | 67 | 0.049 | 5 |
| E6705114 | 1.58 | 283 | 272 | 6 | 119 | >10 | <1 |
| E6705116 | 3.37 | 19.4 | 728 | 47 | 291 | 0.324 | 3 |
| E6705117 | 3.98 | 37.6 | 390 | 30 | 220 | 1.71 | 1 |
| E6705118 | 2.76 | 86.1 | 263 | 24 | 235 | 3.2 | <1 |
| E6705119 | 2.37 | 33 | 633 | 14 | 203 | 2.72 | <1 |
| E6705120 | 3.23 | 39.5 | 605 | 26 | 426 | 0.054 | 2 |
| E6705121 | 3.17 | 55.5 | 272 | 18 | 383 | 1.86 | 4 |
| E6705122 | 2.73 | 5.9 | 1570 | 23 | 409 | 0.023 | 4 |
| E6705123 | 2.9 | 5.2 | 106 | 25 | 199 | 0.025 | 3 |
| E6705124 | 1.81 | 168 | 258 | 1 | 88 | 0.098 | 8 |
| E6705125 | 1.66 | 326 | 774 | 11 | 46 | 0.005 | 3 |
| E6705126 | 3.46 | 27.2 | 138 | 41 | 219 | 0.583 | <1 |
| E6705127 | 1.99 | 3.3 | 76 | 66 | 346 | 0.036 | 5 |
| E6705151 | 3.2 | 44.6 | 598 | 3 | 64 | 0.008 | 5 |
| E6705152 | 2.79 | 41.2 | 1110 | 16 | 232 | 1.03 | <1 |
| E6705153 | 2.82 | 43.4 | 625 | 9 | 302 | 0.052 | 8 |
| E6705154 | 1.15 | 226 | 140 | 1 | 62 | 1.82 | 2 |
| E6705156 | 2.08 | 4.1 | 168 | 20 | 636 | 0.013 | 3 |
| E6705157 | 2.24 | 153 | 932 | 4 | 144 | <0.005 | 3 |
| E6705158 | 3.33 | 8.9 | 358 | 27 | 143 | 0.01 | <1 |
| E6705159 | 2.11 | 179 | 590 | 6 | 192 | 0.165 | 2 |
| E6705160 | 2.27 | 113 | 2100 | 5 | 359 | 0.228 | 4 |
| E6705162 | 2.08 | 138 | 971 | 25 | 298 | 0.735 | 1 |
| E6705163 | 0.77 | 531 | 263 | 2 | 174 | 0.015 | 2 |
| E6705164 | 1.35 | 83.2 | 327 | 11 | 144 | 6.38 | 5 |
| E6705165 | 2.92 | 48.4 | 644 | 11 | 371 | 0.076 | 2 |
| E6705166 | 1.2 | 87.6 | 4140 | 1 | 260 | 0.049 | 5 |
| E6705167 | 2.97 | 36.3 | 856 | 13 | 669 | 0.179 | 3 |
| E6705168 | 2.29 | 35.1 | 165 | 7 | 132 | 0.144 | 5 |
| E6705169 | 1.92 | 96.3 | 153 | 1 | 81 | 0.985 | <1 |
| E6705170 | 1.36 | 56.5 | 114 | <1 | 81 | 0.812 | 5 |
| E6705171 | 0.63 | 777 | 124 | <1 | 216 | 0.27 | 3 |
| E6705172 | 0.01 | 5.6 | 54 | <1 | 11 | 0.027 | <1 |

| Échantillon | Na % | Ni (ppm) | P (ppm) | Pb (ppm) | Rb (ppm) | S % | Sb (ppm) |
|-------------|---------|-------------|------------|-------------|-------------|--------|-------------|
| E6705173 | 3.68 | 9.1 | 778 | 9 | 828 | 0.376 | 2 |
| E6705174 | 3.73 | 3.1 | 465 | 10 | 752 | 0.189 | 5 |
| E6705175 | 1.22 | 126 | 238 | 4 | 580 | 0.02 | <1 |
| E6705177 | 2.92 | 42 | 1450 | 11 | 305 | 0.043 | <1 |
| E6705178 | 3.05 | 47.4 | 715 | 19 | 250 | 0.069 | 4 |
| E6705179 | 2 | 59.3 | 468 | <1 | 35 | 0.076 | 4 |
| E6705180 | 4.11 | 7.6 | 362 | 15 | 165 | 0.021 | 2 |
| E6705181 | 2.7 | 6.6 | 126 | 45 | 398 | 0.008 | 2 |
| E6705182 | 4.18 | 3.3 | 491 | 6 | 516 | 0.031 | 2 |
| E6705183 | 3.33 | 10.3 | 559 | 23 | 216 | 0.04 | <1 |
| E6705184 | 1.34 | 481 | 881 | 3 | 97 | 0.074 | 4 |
| E6705185 | 0.46 | 730 | 316 | <1 | 112 | <0.005 | <1 |
| E6705186 | 3.12 | 15.2 | 824 | 24 | 270 | 0.025 | <1 |
| E6705187 | 3.34 | 75.7 | 196 | 18 | 191 | 2.8 | 1 |
| E6705189 | 2.66 | 94 | 534 | 63 | 159 | 2.95 | <1 |
| E6705190 | 3.1 | 95.3 | 496 | 13 | 176 | 2.6 | 1 |
| E6705191 | 0.43 | 12.6 | 56 | 12 | 63 | 0.173 | <1 |
| E6705192 | 2.45 | 71.6 | 294 | 13 | 364 | 2.06 | 5 |
| E6705193 | 3.31 | 82.9 | 220 | 20 | 456 | 1.98 | 4 |
| E6705194 | 3.54 | 56.9 | 372 | 32 | 153 | 2.44 | 6 |
| E6705195 | 2.32 | 2.9 | 98 | 45 | 208 | 0.035 | 2 |
| E6705196 | 2.83 | 94.3 | 165 | 15 | 167 | 3.66 | 2 |
| E6705197 | 1.6 | 210 | 365 | 6 | 113 | >10 | <1 |
| E6705198 | 3.25 | 2.9 | 264 | 27 | 151 | 0.098 | <1 |
| E6705199 | 2.49 | 64.3 | 50 | 26 | 187 | 1.44 | 4 |
| E6705200 | 0.86 | 7.2 | 618 | 9 | 61 | 0.089 | 1 |
| E6705201 | 2.15 | 23.7 | 1520 | 8 | 324 | 0.298 | 4 |
| E6705202 | 3.27 | 95 | 617 | 15 | 505 | 0.101 | 5 |
| E6705203 | 2.59 | 41.5 | 866 | 4 | 287 | 1.23 | 5 |
| E6705204 | 1.66 | 69.6 | 593 | 13 | 416 | 3.12 | 3 |
| E6705205 | 3.14 | 45.4 | 706 | 7 | 205 | 0.532 | 8 |
| E6705206 | 0.78 | 293 | 1800 | 15 | 283 | 0.053 | 5 |
| E6705207 | 3.51 | 17.4 | 365 | 28 | 199 | 0.011 | <1 |
| E6705209 | 1.81 | 2 | 66 | 120 | 340 | 0.099 | 3 |
| E6705210 | 2.69 | 60.1 | 900 | 14 | 363 | 0.171 | 8 |
| E6705211 | 3.75 | 33 | 310 | 25 | 300 | 0.891 | 4 |
| E6705213 | 2.97 | 84.9 | 415 | 14 | 109 | 1.73 | 2 |
| E6705214 | 3.21 | 75.3 | 1200 | 18 | 58 | 0.045 | <1 |
| E6705215 | 3.11 | 178 | 1190 | 11 | 31 | 0.052 | <1 |
| E6705216 | 0.56 | 695 | 360 | 2 | 180 | <0.005 | <1 |
| E6705217 | 3.31 | 42.2 | 1780 | 14 | 250 | 0.011 | 2 |
| E6705218 | 3.07 | 9.2 | 330 | 31 | 205 | 0.015 | 3 |
| E6705219 | 3.04 | 71 | 370 | 22 | 244 | 2.58 | <1 |
| E6705220 | 2.57 | 131 | 1410 | 14 | 107 | 0.119 | 6 |

| Échantillon | Na % | Ni (ppm) | P (ppm) | Pb (ppm) | Rb (ppm) | S % | Sb (ppm) |
|-------------|---------|-------------|------------|-------------|-------------|--------|-------------|
| E6705221 | 2.8 | 96.2 | 282 | 9 | 223 | 4.52 | 3 |
| E6705223 | 1.73 | 7 | 67 | 41 | 233 | 0.259 | 1 |
| E6705224 | 0.17 | 824 | 25 | 2 | <10 | 0.071 | <1 |
| E6705501 | 2.11 | 8.3 | 34 | 23 | 386 | <0.005 | 2 |
| E6705502 | 3.17 | 7.3 | 276 | 18 | 292 | 0.031 | 6 |
| E6705503 | 2.92 | 50 | 651 | 9 | 288 | 0.095 | 2 |
| E6705504 | 3.65 | 2.4 | 88 | 30 | 187 | 0.007 | 2 |
| E6705505 | 3.55 | 6 | 409 | 13 | 163 | <0.005 | 2 |
| E6705506 | 3.09 | 3.7 | 653 | 16 | 163 | <0.005 | 3 |
| E6705507 | 2.3 | 132 | 2060 | 5 | 172 | 0.041 | 3 |
| E6705508 | 2.28 | 3.1 | 127 | 34 | 454 | 0.019 | <1 |
| E6705509 | 3.83 | 3.4 | 469 | 20 | 156 | <0.005 | 3 |
| E6705510 | 2.72 | 133 | 1570 | 19 | 233 | 0.009 | 5 |
| E6705512 | 1.58 | 6.1 | 104 | 32 | 416 | 0.008 | 4 |
| E6705513 | 2.96 | 20.3 | 262 | 20 | 271 | 0.028 | 4 |
| E6705514 | 3.67 | 7.2 | 2240 | 4 | 283 | 0.801 | 4 |
| E6705516 | 2.87 | 20.6 | 87 | 13 | 177 | 0.043 | 3 |
| E6705517 | 2.58 | 53.7 | 691 | 14 | 322 | 0.061 | 4 |
| E6705518 | 2.48 | 40 | 630 | 14 | 374 | 0.038 | <1 |
| E6705519 | 1.64 | 91.9 | 373 | <1 | 128 | 0.097 | 6 |
| E6705520 | 1.75 | 6.1 | 331 | 32 | 389 | 0.005 | <1 |
| E6705521 | 2.51 | 64.9 | 794 | 19 | 414 | 0.009 | 1 |
| E6705522 | 2.85 | 9.8 | 104 | 33 | 366 | 0.026 | 1 |
| E6705523 | 3.06 | 47.4 | 724 | 9 | 234 | 0.095 | 2 |
| E6705524 | 3.86 | 49.3 | 245 | 30 | 125 | 0.155 | <1 |
| E6705525 | 2.53 | 4.4 | 242 | 31 | 414 | 0.022 | <1 |
| E6705526 | 0.02 | 3.2 | 14 | 3 | <10 | 0.015 | <1 |
| E6705527 | 3.33 | 4.2 | 355 | 31 | 245 | 0.016 | 2 |
| E6705528 | 3.36 | 15 | 607 | 23 | 293 | 0.01 | 4 |
| E6705529 | 2.46 | 54.9 | 417 | 7 | 234 | 3.14 | 3 |
| E6705530 | 4.07 | 53.4 | 177 | 26 | 340 | 3.23 | 1 |
| E6705532 | 3.87 | 51.4 | 708 | 27 | 299 | 1.63 | 6 |
| E6705533 | 0.02 | 755 | 777 | 5 | <10 | 0.055 | 4 |
| E6705534 | 3.18 | 96.7 | 149 | 32 | 311 | 3.43 | <1 |
| E6705535 | 3.39 | 47.4 | 970 | 15 | 428 | 0.043 | 6 |
| E6705536 | 5 | 9.6 | 328 | 42 | 276 | 0.326 | 1 |
| E6705537 | 2.76 | 10.4 | 1510 | 8 | 324 | 0.056 | 4 |
| E6705538 | 2.72 | 51.1 | 280 | 14 | 175 | 2.48 | 2 |
| E6705542 | 1.87 | 143 | 146 | 3 | 41 | 0.076 | 2 |
| E6705543 | 2.98 | 3 | 103 | 17 | 1060 | 0.014 | <1 |
| E6705551 | 2.76 | 3.6 | 161 | 20 | 680 | 0.016 | 3 |
| E6705552 | 3.51 | 16.7 | 397 | 19 | 188 | 0.052 | <1 |
| E6705553 | 3.3 | 192 | 694 | 14 | 318 | 0.12 | 2 |
| E6705555 | 2.32 | 10.2 | 519 | 30 | 507 | 0.08 | 6 |

| Échantillon | Na % | Ni (ppm) | P (ppm) | Pb (ppm) | Rb (ppm) | S % | Sb (ppm) |
|--------------------|-----------------|---------------------|--------------------|---------------------|---------------------|----------------|---------------------|
| E6705556 | 2.87 | 56.7 | 416 | 21 | 185 | 2.12 | <1 |
| E6705557 | 2.05 | 182 | 1610 | <1 | 301 | 0.091 | 7 |

| Échantillon | Sc (ppm) | Se (ppm) | Sn (ppm) | Sr (ppm) | Ta (ppm) | Te (ppm) | Th (ppm) |
|-------------|-------------|-------------|-------------|-------------|-------------|-------------|-------------|
| E6705101 | 1 | 17 | <5 | 207 | <10 | <10 | 87 |
| E6705102 | 7 | 18 | <5 | 192 | <10 | <10 | 8 |
| E6705103 | 80 | <10 | 17 | 34 | <10 | 24 | <5 |
| E6705104 | 12 | <10 | <5 | 281 | <10 | <10 | 7 |
| E6705105 | 27 | 17 | <5 | 74 | <10 | 18 | 8 |
| E6705106 | 14 | 21 | <5 | 716 | <10 | 11 | <5 |
| E6705107 | 16 | 16 | <5 | 538 | <10 | 13 | <5 |
| E6705108 | <1 | <10 | <5 | 627 | <10 | <10 | 6 |
| E6705110 | 1 | <10 | <5 | 43 | <10 | <10 | 15 |
| E6705111 | <1 | <10 | <5 | 16 | <10 | <10 | <5 |
| E6705113 | <1 | <10 | <5 | 508 | <10 | <10 | 36 |
| E6705114 | 7 | 21 | <5 | 191 | <10 | 19 | <5 |
| E6705116 | 5 | 16 | <5 | 746 | <10 | <10 | 22 |
| E6705117 | 3 | 18 | <5 | 319 | <10 | 11 | 112 |
| E6705118 | 14 | 18 | <5 | 326 | <10 | 12 | 9 |
| E6705119 | 14 | 17 | <5 | 230 | <10 | 17 | <5 |
| E6705120 | 12 | 18 | <5 | 628 | <10 | 10 | <5 |
| E6705121 | 16 | 26 | <5 | 370 | <10 | <10 | 6 |
| E6705122 | 5 | <10 | <5 | 275 | <10 | <10 | 19 |
| E6705123 | 2 | <10 | <5 | 247 | <10 | <10 | 8 |
| E6705124 | 39 | 16 | <5 | 162 | <10 | 15 | <5 |
| E6705125 | 21 | 20 | <5 | 1100 | <10 | 13 | 26 |
| E6705126 | 5 | 11 | <5 | 439 | <10 | <10 | <5 |
| E6705127 | <1 | <10 | <5 | 344 | <10 | <10 | 9 |
| E6705151 | 8 | 16 | <5 | 329 | <10 | 10 | <5 |
| E6705152 | 7 | 20 | <5 | 454 | <10 | <10 | <5 |
| E6705153 | 9 | 12 | <5 | 291 | <10 | <10 | 6 |
| E6705154 | 46 | 24 | <5 | 128 | <10 | 17 | <5 |
| E6705156 | 2 | <10 | <5 | 100 | <10 | <10 | 23 |
| E6705157 | 17 | 11 | <5 | 370 | <10 | <10 | 9 |
| E6705158 | 3 | <10 | <5 | 460 | <10 | <10 | 10 |
| E6705159 | 28 | 17 | <5 | 422 | <10 | 15 | <5 |
| E6705160 | 22 | 14 | <5 | 640 | <10 | 15 | 7 |
| E6705162 | 29 | 15 | <5 | 467 | <10 | 18 | <5 |
| E6705163 | 69 | <10 | <5 | 147 | <10 | 25 | 6 |
| E6705164 | 14 | 20 | <5 | 187 | <10 | 12 | <5 |
| E6705165 | 10 | 24 | <5 | 210 | <10 | <10 | 8 |
| E6705166 | 28 | <10 | <5 | 453 | <10 | 19 | <5 |
| E6705167 | 17 | 22 | <5 | 366 | <10 | <10 | <5 |
| E6705168 | 15 | <10 | <5 | 175 | <10 | <10 | 10 |
| E6705169 | 33 | 23 | <5 | 139 | <10 | 18 | <5 |
| E6705170 | 33 | 24 | <5 | 93 | <10 | 16 | <5 |
| E6705171 | 26 | <10 | <5 | 48 | <10 | 16 | <5 |
| E6705172 | <1 | 22 | <5 | 21 | <10 | 23 | <5 |

| Échantillon | Sc (ppm) | Se (ppm) | Sn (ppm) | Sr (ppm) | Ta (ppm) | Te (ppm) | Th (ppm) |
|-------------|-------------|-------------|-------------|-------------|-------------|-------------|-------------|
| E6705173 | 3 | <10 | <5 | 305 | <10 | 11 | 17 |
| E6705174 | 2 | <10 | <5 | 277 | <10 | <10 | 16 |
| E6705175 | 33 | <10 | <5 | 507 | <10 | 13 | <5 |
| E6705177 | 13 | <10 | <5 | 560 | <10 | 13 | <5 |
| E6705178 | 14 | 19 | <5 | 494 | <10 | <10 | <5 |
| E6705179 | 38 | 26 | <5 | 168 | <10 | 15 | <5 |
| E6705180 | 5 | <10 | <5 | 278 | <10 | <10 | 6 |
| E6705181 | 3 | <10 | <5 | 57 | <10 | <10 | 19 |
| E6705182 | 2 | <10 | <5 | 351 | <10 | <10 | 12 |
| E6705183 | 5 | 16 | <5 | 565 | <10 | <10 | <5 |
| E6705184 | 27 | 16 | <5 | 665 | <10 | <10 | <5 |
| E6705185 | 28 | <10 | <5 | 278 | <10 | 13 | <5 |
| E6705186 | 6 | 19 | <5 | 472 | <10 | <10 | 10 |
| E6705187 | 12 | 34 | <5 | 381 | <10 | <10 | <5 |
| E6705189 | 13 | 29 | <5 | 399 | <10 | 16 | <5 |
| E6705190 | 19 | <10 | <5 | 419 | <10 | <10 | <5 |
| E6705191 | <1 | <10 | <5 | 84 | <10 | <10 | 7 |
| E6705192 | 18 | 29 | <5 | 367 | <10 | 12 | <5 |
| E6705193 | 16 | <10 | <5 | 436 | <10 | <10 | 16 |
| E6705194 | 13 | 20 | <5 | 286 | <10 | <10 | 7 |
| E6705195 | 1 | <10 | <5 | 232 | <10 | <10 | 36 |
| E6705196 | 11 | 19 | <5 | 309 | <10 | <10 | <5 |
| E6705197 | 11 | 19 | <5 | 214 | <10 | 15 | <5 |
| E6705198 | 4 | <10 | <5 | 316 | <10 | <10 | <5 |
| E6705199 | 6 | 10 | <5 | 296 | <10 | <10 | 8 |
| E6705200 | 2 | 15 | <5 | 124 | <10 | <10 | <5 |
| E6705201 | 5 | <10 | <5 | 208 | <10 | <10 | <5 |
| E6705202 | 18 | 13 | <5 | 309 | <10 | 18 | 7 |
| E6705203 | 7 | 23 | <5 | 208 | <10 | 11 | <5 |
| E6705204 | 9 | 19 | <5 | 173 | <10 | 13 | 9 |
| E6705205 | 12 | <10 | <5 | 485 | <10 | <10 | 6 |
| E6705206 | 34 | 21 | <5 | 82 | <10 | 12 | <5 |
| E6705207 | 4 | <10 | <5 | 533 | <10 | 11 | 7 |
| E6705209 | <1 | <10 | <5 | 189 | <10 | <10 | 10 |
| E6705210 | 14 | 20 | <5 | 508 | <10 | <10 | 7 |
| E6705211 | 14 | 35 | <5 | 675 | <10 | <10 | 13 |
| E6705213 | 13 | 25 | <5 | 391 | <10 | <10 | <5 |
| E6705214 | 35 | 24 | <5 | 975 | <10 | 11 | <5 |
| E6705215 | 16 | <10 | <5 | 879 | <10 | 10 | 6 |
| E6705216 | 28 | <10 | <5 | 201 | <10 | 11 | <5 |
| E6705217 | 9 | 26 | <5 | 975 | <10 | 13 | <5 |
| E6705218 | 3 | 12 | <5 | 429 | <10 | <10 | 18 |
| E6705219 | 12 | 31 | <5 | 398 | <10 | <10 | <5 |
| E6705220 | 23 | 16 | <5 | 1070 | <10 | <10 | 6 |

| Échantillon | Sc (ppm) | Se (ppm) | Sn (ppm) | Sr (ppm) | Ta (ppm) | Te (ppm) | Th (ppm) |
|-------------|-------------|-------------|-------------|-------------|-------------|-------------|-------------|
| E6705221 | 6 | 19 | <5 | 331 | <10 | <10 | <5 |
| E6705223 | 1 | <10 | <5 | 165 | <10 | <10 | 18 |
| E6705224 | 24 | <10 | <5 | 17 | <10 | 19 | <5 |
| E6705501 | 2 | <10 | <5 | 225 | <10 | <10 | 6 |
| E6705502 | 3 | 12 | <5 | 192 | <10 | <10 | 8 |
| E6705503 | 11 | 21 | <5 | 369 | <10 | 12 | 8 |
| E6705504 | 1 | 16 | <5 | 267 | <10 | <10 | 37 |
| E6705505 | 2 | <10 | <5 | 898 | <10 | <10 | <5 |
| E6705506 | 1 | 18 | <5 | 272 | <10 | <10 | <5 |
| E6705507 | 16 | <10 | 5 | 788 | <10 | 15 | <5 |
| E6705508 | 2 | <10 | <5 | 158 | <10 | <10 | 29 |
| E6705509 | 3 | 12 | <5 | 400 | <10 | <10 | <5 |
| E6705510 | 15 | 15 | <5 | 712 | <10 | 13 | 8 |
| E6705512 | 2 | <10 | <5 | 190 | <10 | <10 | 15 |
| E6705513 | 4 | <10 | <5 | 250 | <10 | <10 | 15 |
| E6705514 | 8 | 16 | <5 | 589 | <10 | 11 | 10 |
| E6705516 | 3 | 13 | <5 | 248 | <10 | <10 | <5 |
| E6705517 | 10 | 31 | <5 | 333 | <10 | 12 | <5 |
| E6705518 | 9 | <10 | <5 | 224 | <10 | <10 | 10 |
| E6705519 | 33 | <10 | <5 | 316 | <10 | 11 | <5 |
| E6705520 | 2 | <10 | <5 | 182 | <10 | <10 | 24 |
| E6705521 | 12 | 25 | <5 | 367 | <10 | <10 | 5 |
| E6705522 | 2 | <10 | <5 | 315 | <10 | <10 | 34 |
| E6705523 | 9 | 21 | <5 | 314 | <10 | <10 | <5 |
| E6705524 | 26 | <10 | <5 | 374 | <10 | <10 | <5 |
| E6705525 | 1 | <10 | <5 | 418 | <10 | <10 | 11 |
| E6705526 | <1 | <10 | <5 | 1 | <10 | <10 | <5 |
| E6705527 | 2 | <10 | <5 | 1450 | <10 | <10 | <5 |
| E6705528 | 5 | <10 | <5 | 471 | <10 | <10 | <5 |
| E6705529 | 13 | <10 | <5 | 134 | <10 | <10 | <5 |
| E6705530 | 6 | 18 | <5 | 357 | <10 | 11 | 12 |
| E6705532 | 8 | 11 | <5 | 560 | <10 | <10 | 12 |
| E6705533 | 28 | 11 | <5 | 28 | <10 | 14 | <5 |
| E6705534 | 5 | <10 | <5 | 531 | <10 | 15 | <5 |
| E6705535 | 12 | <10 | <5 | 770 | <10 | 10 | <5 |
| E6705536 | 10 | <10 | <5 | 551 | <10 | <10 | 5 |
| E6705537 | 4 | <10 | <5 | 369 | <10 | <10 | <5 |
| E6705538 | 4 | 22 | <5 | 240 | <10 | <10 | <5 |
| E6705542 | 41 | 14 | <5 | 135 | <10 | <10 | <5 |
| E6705543 | 11 | <10 | <5 | 82 | <10 | <10 | 34 |
| E6705551 | 4 | <10 | <5 | 474 | <10 | <10 | 7 |
| E6705552 | 3 | 16 | <5 | 436 | <10 | 10 | 39 |
| E6705553 | 18 | 15 | <5 | 1120 | <10 | 16 | <5 |
| E6705555 | 4 | 11 | <5 | 256 | <10 | <10 | 9 |

| Échantillon | Sc (ppm) | Se (ppm) | Sn (ppm) | Sr (ppm) | Ta (ppm) | Te (ppm) | Th (ppm) |
|--------------------|---------------------|---------------------|---------------------|---------------------|---------------------|---------------------|---------------------|
| E6705556 | 12 | 27 | <5 | 286 | <10 | <10 | <5 |
| E6705557 | 24 | 23 | <5 | 1160 | <10 | 10 | <5 |

| Échantillon | Ti % | Tl (ppm) | U (ppm) | V (ppm) | W (ppm) | Y (ppm) | Zn (ppm) |
|-------------|---------|-------------|------------|------------|------------|------------|-------------|
| E6705101 | 0.05 | <5 | <5 | 5.3 | <1 | 6 | 22.9 |
| E6705102 | 0.24 | 6 | <5 | 57.1 | <1 | 4 | 88.5 |
| E6705103 | 0.2 | <5 | <5 | 251 | 9 | 34 | 312 |
| E6705104 | 0.33 | <5 | <5 | 88 | <1 | 6 | 81.1 |
| E6705105 | 0.31 | 5 | <5 | 150 | 1 | 16 | 117 |
| E6705106 | 0.86 | <5 | <5 | 118 | <1 | 17 | 123 |
| E6705107 | 0.45 | <5 | <5 | 118 | <1 | 5 | 104 |
| E6705108 | 0.02 | <5 | <5 | 2.9 | <1 | 2 | 9.3 |
| E6705110 | 0.04 | <5 | <5 | 14.1 | <1 | 4 | 12.4 |
| E6705111 | 0.01 | <5 | <5 | 10.8 | <1 | <1 | 2.4 |
| E6705113 | 0.03 | <5 | <5 | 8.1 | <1 | 1 | 12 |
| E6705114 | 0.15 | <5 | <5 | 46.1 | <1 | 7 | 476 |
| E6705116 | 0.28 | <5 | <5 | 48.1 | <1 | 6 | 65.5 |
| E6705117 | 0.1 | <5 | 12 | 37.8 | <1 | 11 | 44.4 |
| E6705118 | 0.36 | 6 | <5 | 117 | <1 | 6 | 198 |
| E6705119 | 0.25 | <5 | <5 | 92.7 | <1 | 7 | 56.7 |
| E6705120 | 0.35 | <5 | <5 | 82.7 | <1 | 7 | 79.2 |
| E6705121 | 0.48 | <5 | <5 | 160 | <1 | 9 | 84.3 |
| E6705122 | 0.33 | <5 | <5 | 43.9 | <1 | 19 | 66 |
| E6705123 | 0.06 | 9 | <5 | 9.9 | <1 | 2 | 19.3 |
| E6705124 | 0.35 | <5 | <5 | 229 | <1 | 16 | 55.2 |
| E6705125 | 0.37 | <5 | <5 | 144 | <1 | 16 | 92.2 |
| E6705126 | 0.21 | 5 | <5 | 77.7 | <1 | 2 | 50.3 |
| E6705127 | 0.02 | <5 | <5 | 8.8 | 2 | 2 | 17 |
| E6705151 | 0.24 | <5 | <5 | 61.7 | 2 | 7 | 63.1 |
| E6705152 | 0.37 | <5 | <5 | 56.1 | 3 | 10 | 89.2 |
| E6705153 | 0.26 | <5 | <5 | 61.4 | 2 | 6 | 78.5 |
| E6705154 | 0.19 | <5 | <5 | 164 | <1 | 22 | 178 |
| E6705156 | 0.12 | <5 | <5 | 9 | <1 | 5 | 23.6 |
| E6705157 | 0.27 | <5 | <5 | 96.9 | <1 | 18 | 112 |
| E6705158 | 0.16 | <5 | <5 | 19.4 | <1 | 3 | 69 |
| E6705159 | 0.39 | 11 | <5 | 177 | <1 | 14 | 108 |
| E6705160 | 0.63 | 5 | <5 | 174 | <1 | 20 | 115 |
| E6705162 | 0.8 | 10 | <5 | 247 | 3 | 20 | 188 |
| E6705163 | 0.49 | <5 | <5 | 364 | <1 | 20 | 95 |
| E6705164 | 0.3 | <5 | <5 | 91.1 | 9 | 14 | 86.9 |
| E6705165 | 0.31 | <5 | <5 | 68.7 | 2 | 6 | 105 |
| E6705166 | 0.73 | 5 | <5 | 208 | <1 | 34 | 131 |
| E6705167 | 0.57 | <5 | <5 | 153 | <1 | 5 | 106 |
| E6705168 | 0.19 | <5 | <5 | 77.6 | <1 | 7 | 89.5 |
| E6705169 | 0.39 | <5 | <5 | 197 | <1 | 13 | 156 |
| E6705170 | 0.36 | <5 | <5 | 201 | 10 | 14 | 176 |
| E6705171 | 0.25 | <5 | <5 | 156 | <1 | 7 | 102 |
| E6705172 | <0.01 | <5 | <5 | 4.3 | <1 | 2 | 14.9 |

| Échantillon | Ti % | Tl (ppm) | U (ppm) | V (ppm) | W (ppm) | Y (ppm) | Zn (ppm) |
|-------------|---------|-------------|------------|------------|------------|------------|-------------|
| E6705173 | 0.24 | 5 | <5 | 26 | <1 | 25 | 33.1 |
| E6705174 | 0.17 | 6 | <5 | 17.4 | <1 | 24 | 32.8 |
| E6705175 | 0.58 | 10 | <5 | 225 | <1 | 11 | 92.7 |
| E6705177 | 0.26 | <5 | <5 | 66.3 | <1 | 7 | 72 |
| E6705178 | 0.36 | <5 | <5 | 103 | <1 | 7 | 79.2 |
| E6705179 | 0.72 | <5 | <5 | 327 | <1 | 24 | 108 |
| E6705180 | 0.2 | <5 | <5 | 26.1 | <1 | 8 | 58 |
| E6705181 | 0.05 | <5 | 9 | 4.2 | <1 | 11 | 9.5 |
| E6705182 | 0.13 | <5 | <5 | 16.9 | <1 | 7 | 14.2 |
| E6705183 | 0.15 | <5 | <5 | 33.7 | <1 | 5 | 32.4 |
| E6705184 | 0.22 | <5 | <5 | 137 | <1 | 10 | 94.6 |
| E6705185 | 0.21 | <5 | <5 | 120 | <1 | 7 | 66.2 |
| E6705186 | 0.27 | <5 | <5 | 48.1 | <1 | 7 | 68.3 |
| E6705187 | 0.24 | <5 | <5 | 77 | <1 | 7 | 219 |
| E6705189 | 0.25 | <5 | <5 | 78.8 | <1 | 8 | 562 |
| E6705190 | 0.28 | <5 | <5 | 126 | <1 | 8 | 272 |
| E6705191 | 0.02 | <5 | <5 | 5.6 | <1 | <1 | 12.6 |
| E6705192 | 0.41 | <5 | <5 | 133 | <1 | 18 | 197 |
| E6705193 | 0.4 | <5 | <5 | 127 | <1 | 5 | 98 |
| E6705194 | 0.24 | 7 | <5 | 85.9 | <1 | 7 | 261 |
| E6705195 | 0.03 | <5 | 7 | 8.6 | <1 | 5 | 22 |
| E6705196 | 0.25 | <5 | <5 | 80.3 | <1 | 5 | 359 |
| E6705197 | 0.19 | <5 | <5 | 65.5 | <1 | 7 | 292 |
| E6705198 | 0.07 | <5 | <5 | 19.8 | <1 | 3 | 24.7 |
| E6705199 | 0.17 | <5 | <5 | 44.9 | <1 | 4 | 191 |
| E6705200 | 0.04 | <5 | <5 | 12 | <1 | 5 | 33.4 |
| E6705201 | 0.17 | 8 | <5 | 51.9 | <1 | 9 | 40.5 |
| E6705202 | 0.41 | <5 | <5 | 129 | 2 | 9 | 125 |
| E6705203 | 0.28 | <5 | <5 | 66.5 | 3 | 7 | 65.4 |
| E6705204 | 0.34 | <5 | <5 | 92.7 | 9 | 5 | 87.8 |
| E6705205 | 0.38 | <5 | <5 | 99.5 | <1 | 6 | 87.7 |
| E6705206 | 0.26 | <5 | <5 | 160 | 2 | 17 | 141 |
| E6705207 | 0.12 | <5 | <5 | 28.6 | <1 | 5 | 38.2 |
| E6705209 | 0.02 | <5 | <5 | 3.5 | <1 | 3 | 408 |
| E6705210 | 0.34 | <5 | <5 | 96 | <1 | 9 | 107 |
| E6705211 | 0.42 | <5 | <5 | 134 | <1 | 6 | 81.9 |
| E6705213 | 0.22 | <5 | <5 | 80.5 | <1 | 8 | 266 |
| E6705214 | 0.2 | <5 | <5 | 91 | <1 | 35 | 83.4 |
| E6705215 | 0.37 | <5 | <5 | 113 | <1 | 13 | 114 |
| E6705216 | 0.48 | <5 | <5 | 139 | <1 | 10 | 140 |
| E6705217 | 0.35 | <5 | <5 | 76.5 | <1 | 12 | 83.5 |
| E6705218 | 0.12 | <5 | <5 | 17.4 | <1 | 4 | 49.7 |
| E6705219 | 0.38 | <5 | <5 | 104 | <1 | 6 | 145 |
| E6705220 | 0.41 | <5 | <5 | 146 | <1 | 15 | 102 |

| Échantillon | Ti % | Tl (ppm) | U (ppm) | V (ppm) | W (ppm) | Y (ppm) | Zn (ppm) |
|-------------|---------|-------------|------------|------------|------------|------------|-------------|
| E6705221 | 0.2 | <5 | <5 | 47.4 | <1 | 5 | 86.2 |
| E6705223 | 0.07 | <5 | <5 | 10.5 | <1 | 2 | 46.3 |
| E6705224 | 0.17 | 12 | <5 | 121 | <1 | 5 | 248 |
| E6705501 | 0.06 | <5 | <5 | 8.3 | <1 | 2 | 26.9 |
| E6705502 | 0.11 | <5 | <5 | 10.9 | <1 | 5 | 38.5 |
| E6705503 | 0.3 | <5 | <5 | 77.2 | <1 | 7 | 93.4 |
| E6705504 | 0.03 | <5 | <5 | 2.4 | <1 | 5 | 22.7 |
| E6705505 | 0.17 | <5 | <5 | 18.4 | <1 | 2 | 62.6 |
| E6705506 | 0.06 | <5 | <5 | 16.1 | <1 | 6 | 27.6 |
| E6705507 | 0.63 | <5 | <5 | 120 | <1 | 22 | 119 |
| E6705508 | 0.04 | <5 | <5 | 2.4 | <1 | 10 | 25.3 |
| E6705509 | 0.17 | <5 | <5 | 16.9 | <1 | 5 | 62.2 |
| E6705510 | 0.34 | <5 | <5 | 78.1 | 1 | 10 | 73 |
| E6705512 | 0.08 | <5 | <5 | 6.8 | <1 | 2 | 29.6 |
| E6705513 | 0.13 | <5 | <5 | 23.5 | <1 | 4 | 51.1 |
| E6705514 | 0.32 | <5 | <5 | 58.3 | 2 | 19 | 98.6 |
| E6705516 | 0.13 | <5 | <5 | 21.2 | <1 | 1 | 41.9 |
| E6705517 | 0.31 | <5 | <5 | 80.3 | 2 | 7 | 97.9 |
| E6705518 | 0.29 | <5 | <5 | 63.3 | 2 | 6 | 103 |
| E6705519 | 0.66 | 8 | <5 | 256 | <1 | 17 | 88 |
| E6705520 | 0.1 | <5 | <5 | 8.7 | <1 | 4 | 37 |
| E6705521 | 0.31 | <5 | <5 | 89.2 | <1 | 7 | 75.8 |
| E6705522 | 0.07 | <5 | 5 | 10 | <1 | 4 | 19.4 |
| E6705523 | 0.27 | <5 | <5 | 71.6 | <1 | 6 | 49.6 |
| E6705524 | 0.18 | <5 | <5 | 89.4 | <1 | 29 | 129 |
| E6705525 | 0.04 | <5 | <5 | 7.5 | <1 | 4 | 15.5 |
| E6705526 | <0.01 | <5 | <5 | <0.5 | <1 | <1 | <0.5 |
| E6705527 | 0.11 | <5 | <5 | 16.3 | <1 | 3 | 29.2 |
| E6705528 | 0.25 | <5 | <5 | 36.8 | <1 | 7 | 42.6 |
| E6705529 | 0.26 | <5 | <5 | 89 | <1 | 8 | 89 |
| E6705530 | 0.19 | <5 | 15 | 65.9 | <1 | 8 | 144 |
| E6705532 | 0.27 | <5 | <5 | 101 | <1 | 6 | 48.1 |
| E6705533 | 0.27 | <5 | <5 | 167 | <1 | 9 | 77.9 |
| E6705534 | 0.16 | <5 | <5 | 46.3 | <1 | 5 | 154 |
| E6705535 | 0.35 | <5 | <5 | 86.6 | <1 | 8 | 74.9 |
| E6705536 | 0.27 | <5 | <5 | 118 | <1 | 7 | 56.3 |
| E6705537 | 0.56 | <5 | <5 | 74 | <1 | 39 | 86.6 |
| E6705538 | 0.2 | 8 | <5 | 34.5 | <1 | 3 | 57.3 |
| E6705542 | 0.41 | <5 | <5 | 230 | <1 | 14 | 111 |
| E6705543 | 0.06 | 8 | <5 | 6 | <1 | 23 | 27.1 |
| E6705551 | 0.06 | <5 | <5 | 7 | <1 | 8 | 13.9 |
| E6705552 | 0.16 | <5 | 10 | 26.2 | <1 | 4 | 49 |
| E6705553 | 0.39 | <5 | <5 | 145 | <1 | 10 | 143 |
| E6705555 | 0.15 | 10 | <5 | 23.5 | <1 | 4 | 46.5 |

| Échantillon | Ti % | Tl (ppm) | U (ppm) | V (ppm) | W (ppm) | Y (ppm) | Zn (ppm) |
|--------------------|-----------------|---------------------|--------------------|--------------------|--------------------|--------------------|---------------------|
| E6705556 | 0.3 | 10 | <5 | 88 | <1 | 9 | 113 |
| E6705557 | 0.43 | <5 | <5 | 149 | <1 | 20 | 88 |

| Échantillon | Zr (ppm) |
|--------------------|---------------------|
| E6705101 | 175 |
| E6705102 | 138 |
| E6705103 | 38 |
| E6705104 | 123 |
| E6705105 | 112 |
| E6705106 | 66 |
| E6705107 | 96 |
| E6705108 | 43 |
| E6705110 | 120 |
| E6705111 | 32 |
| E6705113 | 271 |
| E6705114 | 75 |
| E6705116 | 155 |
| E6705117 | 138 |
| E6705118 | 138 |
| E6705119 | 100 |
| E6705120 | 91 |
| E6705121 | 177 |
| E6705122 | 436 |
| E6705123 | 211 |
| E6705124 | 58 |
| E6705125 | 115 |
| E6705126 | 195 |
| E6705127 | 106 |
| E6705151 | 93 |
| E6705152 | 125 |
| E6705153 | 107 |
| E6705154 | 28 |
| E6705156 | 203 |
| E6705157 | 70 |
| E6705158 | 112 |
| E6705159 | 59 |
| E6705160 | 74 |
| E6705162 | 61 |
| E6705163 | 37 |
| E6705164 | 71 |
| E6705165 | 133 |
| E6705166 | 91 |
| E6705167 | 168 |
| E6705168 | 54 |
| E6705169 | 67 |
| E6705170 | 39 |
| E6705171 | 21 |
| E6705172 | <5 |

| Échantillon | Zr (ppm) |
|--------------------|---------------------|
| E6705173 | 274 |
| E6705174 | 281 |
| E6705175 | 26 |
| E6705177 | 52 |
| E6705178 | 79 |
| E6705179 | 23 |
| E6705180 | 87 |
| E6705181 | 96 |
| E6705182 | 157 |
| E6705183 | 63 |
| E6705184 | 69 |
| E6705185 | 34 |
| E6705186 | 82 |
| E6705187 | 70 |
| E6705189 | 107 |
| E6705190 | 124 |
| E6705191 | 33 |
| E6705192 | 79 |
| E6705193 | 126 |
| E6705194 | 124 |
| E6705195 | 142 |
| E6705196 | 95 |
| E6705197 | 74 |
| E6705198 | 59 |
| E6705199 | 138 |
| E6705200 | 17 |
| E6705201 | 47 |
| E6705202 | 135 |
| E6705203 | 116 |
| E6705204 | 174 |
| E6705205 | 159 |
| E6705206 | 123 |
| E6705207 | 76 |
| E6705209 | 13 |
| E6705210 | 81 |
| E6705211 | 145 |
| E6705213 | 111 |
| E6705214 | 63 |
| E6705215 | 96 |
| E6705216 | 31 |
| E6705217 | 118 |
| E6705218 | 107 |
| E6705219 | 109 |
| E6705220 | 79 |

| Échantillon | Zr (ppm) |
|--------------------|---------------------|
| E6705221 | 95 |
| E6705223 | 89 |
| E6705224 | 12 |
| E6705501 | 159 |
| E6705502 | 79 |
| E6705503 | 89 |
| E6705504 | 118 |
| E6705505 | 105 |
| E6705506 | 54 |
| E6705507 | 132 |
| E6705508 | 61 |
| E6705509 | 40 |
| E6705510 | 123 |
| E6705512 | 66 |
| E6705513 | 158 |
| E6705514 | 371 |
| E6705516 | 62 |
| E6705517 | 126 |
| E6705518 | 131 |
| E6705519 | 58 |
| E6705520 | 168 |
| E6705521 | 121 |
| E6705522 | 134 |
| E6705523 | 109 |
| E6705524 | 22 |
| E6705525 | 37 |
| E6705526 | <5 |
| E6705527 | 109 |
| E6705528 | 101 |
| E6705529 | 95 |
| E6705530 | 121 |
| E6705532 | 251 |
| E6705533 | 30 |
| E6705534 | 95 |
| E6705535 | 80 |
| E6705536 | 181 |
| E6705537 | 16 |
| E6705538 | 80 |
| E6705542 | 22 |
| E6705543 | 75 |
| E6705551 | 100 |
| E6705552 | 229 |
| E6705553 | 43 |
| E6705555 | 68 |

| Échantillon | Zr (ppm) |
|--------------------|---------------------|
| E6705556 | 105 |
| E6705557 | 82 |

ANNEXE 5 CERTIFICATS D'ANALYSES



CLIENT NAME: SOQUEM
600 AVENUE CENTRALE
VAL D'OR, QC J9P1P8
(819) 874-3773

ATTENTION TO: JEAN-FRANCOIS GAGNON

PROJECT: 1388

AGAT WORK ORDER: 150004177

SOLID ANALYSIS REVIEWED BY: Kevin Motomura, Data Review Supervisor

DATE REPORTED: Aug 24, 2015

PAGES (INCLUDING COVER): 15

Should you require any information regarding this analysis please contact your client services representative at (905) 501-9998

*NOTES

All samples are stored at no charge for 90 days. Please contact the lab if you require additional sample storage time.



Certificate of Analysis

AGAT WORK ORDER: 150004177

PROJECT: 1388

5623 McADAM ROAD
MISSISSAUGA, ONTARIO
CANADA L4Z 1N9
TEL (905)501-9998
FAX (905)501-0589
<http://www.agatlabs.com>

CLIENT NAME: SOQUEM

ATTENTION TO: JEAN-FRANCOIS GAGNON

(201-070) 4 Acid Digest - Metals Package, ICP-OES finish

DATE SAMPLED: Aug 05, 2015

DATE RECEIVED: Aug 06, 2015

DATE REPORTED: Aug 24, 2015

SAMPLE TYPE: Rock

| Analyte: | Sample Login Weight | Ag | Al | As | Ba | Be | Bi | Ca | Cd | Ce | Co | Cr | Cu | Fe |
|--------------------|---------------------|------|------|-----|------|------|-----|------|------|-----|------|------|------|------|
| Unit: | kg | ppm | % | ppm | ppm | ppm | ppm | % | ppm | ppm | ppm | ppm | ppm | % |
| RDL: | 0.01 | 0.5 | 0.01 | 1 | 1 | 0.5 | 1 | 0.01 | 0.5 | 1 | 0.5 | 0.5 | 0.5 | 0.01 |
| E6705122 (6816896) | 1.25 | <0.5 | 5.57 | <1 | 1150 | 1.1 | 1 | 1.21 | <0.5 | 170 | 2.8 | 15.2 | 10.4 | 2.84 |
| E6705123 (6816897) | 0.88 | <0.5 | 5.25 | <1 | 632 | 1.3 | <1 | 1.07 | <0.5 | 26 | <0.5 | 65.0 | 3.2 | 0.78 |
| E6705124 (6816898) | 1.23 | <0.5 | 7.35 | <1 | 108 | <0.5 | <1 | 6.76 | <0.5 | 18 | 39.4 | 452 | 28.3 | 6.76 |
| E6705125 (6816899) | 1.36 | <0.5 | 4.98 | <1 | 208 | 2.7 | <1 | 7.48 | 0.5 | 294 | 39.3 | 210 | 1.3 | 5.29 |
| E6705126 (6816900) | 1.60 | <0.5 | 6.02 | 6 | 547 | 1.9 | 2 | 1.22 | <0.5 | 33 | 10.1 | 96.9 | 53.1 | 3.50 |
| E6705127 (6816901) | 1.96 | <0.5 | 4.33 | <1 | 1100 | 0.9 | 1 | 0.26 | <0.5 | 27 | <0.5 | 62.0 | 5.2 | 0.74 |
| E6705131 (6816902) | 0.15 | 96.7 | 2.98 | 203 | 128 | 0.5 | 15 | 1.66 | 172 | 12 | 21.6 | 71.1 | 3800 | 8.89 |
| E6705194 (6816903) | 1.35 | 0.6 | 4.79 | <1 | 233 | 2.8 | 2 | 1.43 | 0.9 | 48 | 20.3 | 128 | 117 | 4.65 |
| E6705195 (6816904) | 1.05 | <0.5 | 4.23 | <1 | 626 | 1.1 | 1 | 0.62 | <0.5 | 72 | <0.5 | 67.4 | 2.8 | 0.46 |
| E6705196 (6816905) | 1.64 | 0.8 | 4.44 | <1 | 238 | 1.1 | <1 | 1.35 | 2.5 | 27 | 37.1 | 135 | 180 | 5.03 |
| E6705197 (6816906) | 1.35 | 2.4 | 3.98 | 5 | 115 | 1.6 | 5 | 1.40 | 1.4 | 24 | 80.2 | 159 | 507 | 20.6 |
| E6705198 (6816907) | 1.82 | <0.5 | 4.66 | <1 | 409 | 2.5 | <1 | 0.94 | <0.5 | 25 | 0.8 | 17.0 | 10.5 | 0.96 |
| E6705199 (6816908) | 2.52 | 0.5 | 3.76 | <1 | 482 | 1.2 | 4 | 0.69 | 1.7 | 35 | 24.8 | 134 | 133 | 3.13 |
| E6705200 (6816909) | 0.77 | <0.5 | 1.89 | <1 | 119 | 0.9 | 2 | 0.83 | <0.5 | 8 | 2.0 | 45.1 | 15.7 | 0.91 |
| E6705218 (6816910) | 1.03 | <0.5 | 5.32 | <1 | 1110 | 1.2 | 2 | 1.14 | <0.5 | 52 | <0.5 | 71.7 | 6.8 | 1.25 |
| E6705219 (6816911) | 1.84 | 0.5 | 5.92 | 9 | 338 | 1.1 | <1 | 1.71 | 0.8 | 40 | 26.3 | 189 | 144 | 5.39 |
| E6705220 (6816912) | 0.97 | <0.5 | 6.97 | 9 | 462 | 1.7 | <1 | 5.96 | 0.5 | 58 | 22.3 | 263 | 22.8 | 5.72 |
| E6705221 (6816913) | 1.59 | 0.7 | 5.08 | <1 | 201 | 0.9 | <1 | 1.62 | 0.8 | 29 | 80.8 | 53.8 | 288 | 9.62 |
| E6705222 (6816914) | 0.15 | 96.7 | 2.95 | 158 | 121 | 0.5 | 20 | 1.68 | 190 | 13 | 22.3 | 69.8 | 3860 | 8.99 |
| E6705223 (6816915) | 1.99 | <0.5 | 3.37 | 6 | 723 | 0.6 | 1 | 0.21 | <0.5 | 45 | 0.5 | 84.6 | 39.6 | 2.17 |
| E6705224 (6816916) | 0.91 | <0.5 | 1.32 | <1 | 4 | <0.5 | 2 | 4.60 | <0.5 | 4 | 51.1 | 2250 | 15.9 | 9.61 |
| E6705537 (6816917) | 1.04 | <0.5 | 6.07 | <1 | 1980 | 1.0 | <1 | 1.29 | <0.5 | 196 | 1.6 | 46.9 | 24.5 | 3.91 |
| E6705538 (6816918) | 1.00 | 0.8 | 4.13 | 17 | 294 | 0.7 | 3 | 1.28 | <0.5 | 27 | 30.5 | 49.6 | 304 | 5.19 |
| E6705542 (6816919) | 1.09 | <0.5 | 7.72 | <1 | 69 | <0.5 | <1 | 7.67 | 0.6 | 8 | 43.0 | 439 | 24.4 | 7.27 |
| E6705543 (6816920) | 1.35 | <0.5 | 5.35 | <1 | 175 | 3.1 | 3 | 0.29 | <0.5 | 29 | 0.8 | 16.1 | 1.9 | 1.02 |
| E6705544 (6816921) | 0.15 | 99.1 | 3.04 | 162 | 197 | 0.5 | 18 | 1.71 | 193 | 15 | 21.7 | 73.1 | 3960 | 9.22 |
| E6705554 (6816922) | 0.99 | <0.5 | 0.27 | <1 | 9 | <0.5 | 1 | 0.03 | <0.5 | 39 | <0.5 | 95.1 | 7.2 | 0.28 |
| E6705555 (6816923) | 0.60 | <0.5 | 5.52 | <1 | 1370 | 0.8 | <1 | 0.72 | <0.5 | 24 | 0.9 | 46.8 | 23.7 | 2.38 |
| E6705556 (6816924) | 1.26 | 0.5 | 5.42 | <1 | 364 | 1.2 | <1 | 1.74 | 0.5 | 37 | 21.3 | 149 | 101 | 4.24 |
| E6705557 (6816925) | 1.32 | <0.5 | 7.28 | <1 | 655 | 1.5 | <1 | 6.36 | 0.6 | 92 | 29.4 | 271 | 31.7 | 5.90 |

Certified By:



Certificate of Analysis

AGAT WORK ORDER: 150004177

PROJECT: 1388

5623 McADAM ROAD
MISSISSAUGA, ONTARIO
CANADA L4Z 1N9
TEL (905)501-9998
FAX (905)501-0589
<http://www.agatlabs.com>

CLIENT NAME: SOQUEM

ATTENTION TO: JEAN-FRANCOIS GAGNON

(201-070) 4 Acid Digest - Metals Package, ICP-OES finish

DATE SAMPLED: Aug 05, 2015

DATE RECEIVED: Aug 06, 2015

DATE REPORTED: Aug 24, 2015

SAMPLE TYPE: Rock

| Analyte: | Ga | In | K | La | Li | Mg | Mn | Mo | Na | Ni | P | Pb | Rb | S |
|--------------------|-----|-----|------|-----|-----|------|------|------|------|------|------|--------|------|-------|
| Unit: | ppm | ppm | % | ppm | ppm | % | ppm | ppm | % | ppm | ppm | ppm | ppm | % |
| RDL: | 5 | 1 | 0.01 | 2 | 1 | 0.01 | 1 | 0.5 | 0.01 | 0.5 | 10 | 1 | 10 | 0.005 |
| E6705122 (6816896) | 19 | 10 | 4.78 | 89 | 37 | 0.63 | 318 | <0.5 | 2.73 | 5.9 | 1570 | 23 | 409 | 0.023 |
| E6705123 (6816897) | 15 | <1 | 2.85 | 15 | 9 | 0.15 | 99 | 3.8 | 2.90 | 5.2 | 106 | 25 | 199 | 0.025 |
| E6705124 (6816898) | 16 | 1 | 0.92 | 9 | 19 | 5.78 | 1210 | <0.5 | 1.81 | 168 | 258 | 1 | 88 | 0.098 |
| E6705125 (6816899) | 14 | 3 | 0.49 | 104 | 15 | 7.54 | 1090 | <0.5 | 1.66 | 326 | 774 | 11 | 46 | 0.005 |
| E6705126 (6816900) | 19 | 3 | 3.38 | 18 | 20 | 0.44 | 221 | 74.5 | 3.46 | 27.2 | 138 | 41 | 219 | 0.583 |
| E6705127 (6816901) | 13 | 4 | 5.54 | 15 | 2 | 0.05 | 26 | 1.3 | 1.99 | 3.3 | 76 | 66 | 346 | 0.036 |
| E6705131 (6816902) | 10 | 9 | 0.73 | 8 | 22 | 1.76 | 935 | 18.6 | 0.16 | 32.4 | 391 | >10000 | 44 | 7.95 |
| E6705194 (6816903) | 19 | 4 | 1.22 | 25 | 27 | 0.78 | 493 | 5.0 | 3.54 | 56.9 | 372 | 32 | 153 | 2.44 |
| E6705195 (6816904) | 14 | 4 | 3.77 | 39 | 5 | 0.11 | 69 | 2.0 | 2.32 | 2.9 | 98 | 45 | 208 | 0.035 |
| E6705196 (6816905) | 18 | 2 | 1.59 | 15 | 22 | 1.06 | 594 | 1.8 | 2.83 | 94.3 | 165 | 15 | 167 | 3.66 |
| E6705197 (6816906) | 10 | 6 | 0.82 | 13 | 16 | 0.99 | 694 | 6.2 | 1.60 | 210 | 365 | 6 | 113 | >10 |
| E6705198 (6816907) | 20 | 6 | 2.93 | 13 | 7 | 0.25 | 124 | <0.5 | 3.25 | 2.9 | 264 | 27 | 151 | 0.098 |
| E6705199 (6816908) | 13 | 4 | 3.07 | 17 | 8 | 0.37 | 209 | 7.5 | 2.49 | 64.3 | 50 | 26 | 187 | 1.44 |
| E6705200 (6816909) | 5 | <1 | 0.43 | 3 | 7 | 0.22 | 114 | 0.7 | 0.86 | 7.2 | 618 | 9 | 61 | 0.089 |
| E6705218 (6816910) | 16 | 2 | 3.12 | 28 | 13 | 0.38 | 169 | <0.5 | 3.07 | 9.2 | 330 | 31 | 205 | 0.015 |
| E6705219 (6816911) | 18 | 4 | 2.71 | 20 | 30 | 1.02 | 493 | 1.2 | 3.04 | 71.0 | 370 | 22 | 244 | 2.58 |
| E6705220 (6816912) | 19 | 5 | 0.92 | 19 | 11 | 4.72 | 1190 | <0.5 | 2.57 | 131 | 1410 | 14 | 107 | 0.119 |
| E6705221 (6816913) | 16 | 5 | 1.17 | 16 | 31 | 0.71 | 383 | 4.0 | 2.80 | 96.2 | 282 | 9 | 223 | 4.52 |
| E6705222 (6816914) | 10 | 9 | 0.73 | 9 | 22 | 1.74 | 939 | 16.7 | 0.16 | 33.1 | 469 | >10000 | 41 | 7.99 |
| E6705223 (6816915) | 10 | 2 | 3.30 | 24 | 4 | 0.15 | 87 | 17.8 | 1.73 | 7.0 | 67 | 41 | 233 | 0.259 |
| E6705224 (6816916) | 9 | 3 | 0.06 | 2 | <1 | 16.4 | 1590 | <0.5 | 0.17 | 824 | 25 | 2 | <10 | 0.071 |
| E6705537 (6816917) | 20 | 6 | 3.63 | 74 | 40 | 0.85 | 354 | <0.5 | 2.76 | 10.4 | 1510 | 8 | 324 | 0.056 |
| E6705538 (6816918) | 14 | 3 | 1.96 | 14 | 23 | 0.59 | 243 | 6.1 | 2.72 | 51.1 | 280 | 14 | 175 | 2.48 |
| E6705542 (6816919) | 15 | 2 | 0.53 | 4 | 17 | 4.89 | 1550 | 1.3 | 1.87 | 143 | 146 | 3 | 41 | 0.076 |
| E6705543 (6816920) | 24 | 1 | 4.81 | 13 | 8 | 0.15 | 1190 | <0.5 | 2.98 | 3.0 | 103 | 17 | 1060 | 0.014 |
| E6705544 (6816921) | 10 | 8 | 0.74 | 10 | 22 | 1.86 | 988 | 18.6 | 0.16 | 33.8 | 366 | >10000 | 46 | 8.46 |
| E6705554 (6816922) | <5 | <1 | 0.09 | 17 | 8 | 0.02 | 26 | 1.1 | 0.06 | 3.2 | 32 | 21 | 11 | 0.035 |
| E6705555 (6816923) | 16 | 3 | 5.99 | 13 | 28 | 0.47 | 250 | 2.0 | 2.32 | 10.2 | 519 | 30 | 507 | 0.080 |
| E6705556 (6816924) | 18 | 2 | 2.26 | 18 | 31 | 0.95 | 586 | 1.3 | 2.87 | 56.7 | 416 | 21 | 185 | 2.12 |
| E6705557 (6816925) | 20 | <1 | 2.12 | 44 | 31 | 5.91 | 1210 | <0.5 | 2.05 | 182 | 1610 | <1 | 301 | 0.091 |

Certified By:



Certificate of Analysis

AGAT WORK ORDER: 150004177

PROJECT: 1388

5623 McADAM ROAD
MISSISSAUGA, ONTARIO
CANADA L4Z 1N9
TEL (905)501-9998
FAX (905)501-0589
<http://www.agatlabs.com>

CLIENT NAME: SOQUEM

ATTENTION TO: JEAN-FRANCOIS GAGNON

(201-070) 4 Acid Digest - Metals Package, ICP-OES finish

DATE SAMPLED: Aug 05, 2015

DATE RECEIVED: Aug 06, 2015

DATE REPORTED: Aug 24, 2015

SAMPLE TYPE: Rock

| Analyte: | Sb | Sc | Se | Sn | Sr | Ta | Te | Th | Ti | Tl | U | V | W | Y |
|--------------------|-----|-----|-----|-----|------|-----|-----|-----|------|-----|-----|------|-----|-----|
| Unit: | ppm | ppm | ppm | ppm | ppm | ppm | ppm | ppm | % | ppm | ppm | ppm | ppm | ppm |
| RDL: | 1 | 1 | 10 | 5 | 1 | 10 | 10 | 5 | 0.01 | 5 | 5 | 0.5 | 1 | 1 |
| E6705122 (6816896) | 4 | 5 | <10 | <5 | 275 | <10 | <10 | 19 | 0.33 | <5 | <5 | 43.9 | <1 | 19 |
| E6705123 (6816897) | 3 | 2 | <10 | <5 | 247 | <10 | <10 | 8 | 0.06 | 9 | <5 | 9.9 | <1 | 2 |
| E6705124 (6816898) | 8 | 39 | 16 | <5 | 162 | <10 | 15 | <5 | 0.35 | <5 | <5 | 229 | <1 | 16 |
| E6705125 (6816899) | 3 | 21 | 20 | <5 | 1100 | <10 | 13 | 26 | 0.37 | <5 | <5 | 144 | <1 | 16 |
| E6705126 (6816900) | <1 | 5 | 11 | <5 | 439 | <10 | <10 | <5 | 0.21 | 5 | <5 | 77.7 | <1 | 2 |
| E6705127 (6816901) | 5 | <1 | <10 | <5 | 344 | <10 | <10 | 9 | 0.02 | <5 | <5 | 8.8 | 2 | 2 |
| E6705131 (6816902) | 133 | 7 | 53 | 17 | 62 | <10 | 27 | <5 | 0.09 | 23 | <5 | 68.0 | <1 | 7 |
| E6705194 (6816903) | 6 | 13 | 20 | <5 | 286 | <10 | <10 | 7 | 0.24 | 7 | <5 | 85.9 | <1 | 7 |
| E6705195 (6816904) | 2 | 1 | <10 | <5 | 232 | <10 | <10 | 36 | 0.03 | <5 | 7 | 8.6 | <1 | 5 |
| E6705196 (6816905) | 2 | 11 | 19 | <5 | 309 | <10 | <10 | <5 | 0.25 | <5 | <5 | 80.3 | <1 | 5 |
| E6705197 (6816906) | <1 | 11 | 19 | <5 | 214 | <10 | 15 | <5 | 0.19 | <5 | <5 | 65.5 | <1 | 7 |
| E6705198 (6816907) | <1 | 4 | <10 | <5 | 316 | <10 | <10 | <5 | 0.07 | <5 | <5 | 19.8 | <1 | 3 |
| E6705199 (6816908) | 4 | 6 | 10 | <5 | 296 | <10 | <10 | 8 | 0.17 | <5 | <5 | 44.9 | <1 | 4 |
| E6705200 (6816909) | 1 | 2 | 15 | <5 | 124 | <10 | <10 | <5 | 0.04 | <5 | <5 | 12.0 | <1 | 5 |
| E6705218 (6816910) | 3 | 3 | 12 | <5 | 429 | <10 | <10 | 18 | 0.12 | <5 | <5 | 17.4 | <1 | 4 |
| E6705219 (6816911) | <1 | 12 | 31 | <5 | 398 | <10 | <10 | <5 | 0.38 | <5 | <5 | 104 | <1 | 6 |
| E6705220 (6816912) | 6 | 23 | 16 | <5 | 1070 | <10 | <10 | 6 | 0.41 | <5 | <5 | 146 | <1 | 15 |
| E6705221 (6816913) | 3 | 6 | 19 | <5 | 331 | <10 | <10 | <5 | 0.20 | <5 | <5 | 47.4 | <1 | 5 |
| E6705222 (6816914) | 136 | 7 | 78 | 14 | 63 | <10 | 30 | <5 | 0.09 | 30 | <5 | 68.4 | <1 | 8 |
| E6705223 (6816915) | 1 | 1 | <10 | <5 | 165 | <10 | <10 | 18 | 0.07 | <5 | <5 | 10.5 | <1 | 2 |
| E6705224 (6816916) | <1 | 24 | <10 | <5 | 17 | <10 | 19 | <5 | 0.17 | 12 | <5 | 121 | <1 | 5 |
| E6705537 (6816917) | 4 | 4 | <10 | <5 | 369 | <10 | <10 | <5 | 0.56 | <5 | <5 | 74.0 | <1 | 39 |
| E6705538 (6816918) | 2 | 4 | 22 | <5 | 240 | <10 | <10 | <5 | 0.20 | 8 | <5 | 34.5 | <1 | 3 |
| E6705542 (6816919) | 2 | 41 | 14 | <5 | 135 | <10 | <10 | <5 | 0.41 | <5 | <5 | 230 | <1 | 14 |
| E6705543 (6816920) | <1 | 11 | <10 | <5 | 82 | <10 | <10 | 34 | 0.06 | 8 | <5 | 6.0 | <1 | 23 |
| E6705544 (6816921) | 127 | 7 | 48 | 16 | 68 | <10 | 24 | <5 | 0.09 | 28 | <5 | 71.3 | <1 | 9 |
| E6705554 (6816922) | 2 | <1 | <10 | <5 | 5 | <10 | <10 | <5 | 0.02 | 6 | <5 | 1.9 | <1 | 5 |
| E6705555 (6816923) | 6 | 4 | 11 | <5 | 256 | <10 | <10 | 9 | 0.15 | 10 | <5 | 23.5 | <1 | 4 |
| E6705556 (6816924) | <1 | 12 | 27 | <5 | 286 | <10 | <10 | <5 | 0.30 | 10 | <5 | 88.0 | <1 | 9 |
| E6705557 (6816925) | 7 | 24 | 23 | <5 | 1160 | <10 | 10 | <5 | 0.43 | <5 | <5 | 149 | <1 | 20 |

Certified By:



Certificate of Analysis

AGAT WORK ORDER: 15O004177

PROJECT: 1388

5623 McADAM ROAD
MISSISSAUGA, ONTARIO
CANADA L4Z 1N9
TEL (905)501-9998
FAX (905)501-0589
<http://www.agatlabs.com>

CLIENT NAME: SOQUEM

ATTENTION TO: JEAN-FRANCOIS GAGNON

(201-070) 4 Acid Digest - Metals Package, ICP-OES finish

DATE SAMPLED: Aug 05, 2015

DATE RECEIVED: Aug 06, 2015

DATE REPORTED: Aug 24, 2015

SAMPLE TYPE: Rock

| Sample ID (AGAT ID) | Analyte: Unit: RDL: | Zn ppm 0.5 | Zr ppm 5 |
|---------------------|---------------------------|------------------|----------------|
| E6705122 (6816896) | | 66.0 | 436 |
| E6705123 (6816897) | | 19.3 | 211 |
| E6705124 (6816898) | | 55.2 | 58 |
| E6705125 (6816899) | | 92.2 | 115 |
| E6705126 (6816900) | | 50.3 | 195 |
| E6705127 (6816901) | | 17.0 | 106 |
| E6705131 (6816902) | | >10000 | 31 |
| E6705194 (6816903) | | 261 | 124 |
| E6705195 (6816904) | | 22.0 | 142 |
| E6705196 (6816905) | | 359 | 95 |
| E6705197 (6816906) | | 292 | 74 |
| E6705198 (6816907) | | 24.7 | 59 |
| E6705199 (6816908) | | 191 | 138 |
| E6705200 (6816909) | | 33.4 | 17 |
| E6705218 (6816910) | | 49.7 | 107 |
| E6705219 (6816911) | | 145 | 109 |
| E6705220 (6816912) | | 102 | 79 |
| E6705221 (6816913) | | 86.2 | 95 |
| E6705222 (6816914) | | >10000 | 30 |
| E6705223 (6816915) | | 46.3 | 89 |
| E6705224 (6816916) | | 248 | 12 |
| E6705537 (6816917) | | 86.6 | 16 |
| E6705538 (6816918) | | 57.3 | 80 |
| E6705542 (6816919) | | 111 | 22 |
| E6705543 (6816920) | | 27.1 | 75 |
| E6705544 (6816921) | | >10000 | 36 |
| E6705554 (6816922) | | 42.1 | 16 |
| E6705555 (6816923) | | 46.5 | 68 |
| E6705556 (6816924) | | 113 | 105 |
| E6705557 (6816925) | | 88.0 | 82 |

Certified By:



AGAT Laboratories

Certificate of Analysis

AGAT WORK ORDER: 150004177

PROJECT: 1388

5623 McADAM ROAD
MISSISSAUGA, ONTARIO
CANADA L4Z 1N9
TEL (905)501-9998
FAX (905)501-0589
<http://www.agatlabs.com>

CLIENT NAME: SOQUEM

ATTENTION TO: JEAN-FRANCOIS GAGNON

(201-070) 4 Acid Digest - Metals Package, ICP-OES finish

DATE SAMPLED: Aug 05, 2015

DATE RECEIVED: Aug 06, 2015

DATE REPORTED: Aug 24, 2015

SAMPLE TYPE: Rock

Comments: RDL - Reported Detection Limit
6816896-6816925 As, Sb values may be low due to digestion losses.

Certified By:



Certificate of Analysis

AGAT WORK ORDER: 150004177

PROJECT: 1388

5623 McADAM ROAD
 MISSISSAUGA, ONTARIO
 CANADA L4Z 1N9
 TEL (905)501-9998
 FAX (905)501-0589
<http://www.agatlabs.com>

CLIENT NAME: SOQUEM

ATTENTION TO: JEAN-FRANCOIS GAGNON

(201-273) Aqua Regia Digest - Ore Grade Metals Package, ICP-OES finish

DATE SAMPLED: Aug 05, 2015

DATE RECEIVED: Aug 06, 2015

DATE REPORTED: Aug 24, 2015

SAMPLE TYPE: Rock

| Sample ID (AGAT ID) | Analyte: | Pb | Zn |
|---------------------|----------|-------|-------|
| | Unit: | ppm | ppm |
| | RDL: | 2.0 | 2.0 |
| E6705131 (6816902) | | 15700 | 31700 |
| E6705222 (6816914) | | 15300 | 31900 |
| E6705544 (6816921) | | 15900 | 31800 |

Comments: RDL - Reported Detection Limit

Certified By:



Certificate of Analysis

AGAT WORK ORDER: 150004177

PROJECT: 1388

5623 McADAM ROAD
 MISSISSAUGA, ONTARIO
 CANADA L4Z 1N9
 TEL (905)501-9998
 FAX (905)501-0589
<http://www.agatlabs.com>

CLIENT NAME: SOQUEM

ATTENTION TO: JEAN-FRANCOIS GAGNON

(202-052) Fire Assay - Trace Au, ICP-OES finish (ppm)

DATE SAMPLED: Aug 05, 2015 DATE RECEIVED: Aug 06, 2015 DATE REPORTED: Aug 24, 2015 SAMPLE TYPE: Rock

| Sample ID (AGAT ID) | Analyte: Unit: RDL: | Au ppm 0.001 | Au-check ppm 0.001 | Au-Average ppm 0.001 |
|---------------------|---------------------------|--------------------|--------------------------|----------------------------|
| E6705122 (6816896) | | 0.003 | | |
| E6705123 (6816897) | | 0.002 | | |
| E6705125 (6816899) | | 0.001 | | |
| E6705126 (6816900) | | 0.003 | | |
| E6705127 (6816901) | | 0.002 | | |
| E6705131 (6816902) | | 0.945 | 0.926 | 0.936 |
| E6705194 (6816903) | | 0.002 | | |
| E6705195 (6816904) | | <0.001 | | |
| E6705196 (6816905) | | 0.004 | | |
| E6705197 (6816906) | | 0.003 | | |
| E6705198 (6816907) | | 0.002 | | |
| E6705199 (6816908) | | 0.002 | | |
| E6705200 (6816909) | | <0.001 | | |
| E6705218 (6816910) | | 0.001 | | |
| E6705219 (6816911) | | 0.004 | | |
| E6705220 (6816912) | | 0.002 | | |
| E6705221 (6816913) | | 0.002 | | |
| E6705222 (6816914) | | 0.970 | 0.950 | 0.960 |
| E6705223 (6816915) | | <0.001 | | |
| E6705537 (6816917) | | 0.001 | | |
| E6705538 (6816918) | | <0.001 | | |
| E6705542 (6816919) | | 0.003 | | |
| E6705543 (6816920) | | 0.002 | | |
| E6705544 (6816921) | | 0.997 | 0.984 | 0.991 |
| E6705554 (6816922) | | 0.002 | | |
| E6705555 (6816923) | | 0.001 | | |
| E6705556 (6816924) | | 0.002 | | |
| E6705557 (6816925) | | 0.002 | | |

Comments: RDL - Reported Detection Limit

Certified By:



Certificate of Analysis

AGAT WORK ORDER: 150004177

PROJECT: 1388

5623 McADAM ROAD
MISSISSAUGA, ONTARIO
CANADA L4Z 1N9
TEL (905)501-9998
FAX (905)501-0589
<http://www.agatlabs.com>

CLIENT NAME: SOQUEM

ATTENTION TO: JEAN-FRANCOIS GAGNON

(202-055) Fire Assay - Au, Pt, Pd Trace Levels, ICP-OES finish

DATE SAMPLED: Aug 05, 2015

DATE RECEIVED: Aug 06, 2015

DATE REPORTED: Aug 24, 2015

SAMPLE TYPE: Rock

| Analyte: | Au | Pd | Pt |
|---------------------|-------|--------|--------|
| Unit: | ppm | ppm | ppm |
| Sample ID (AGAT ID) | RDL: | | |
| E6705124 (6816898) | 0.003 | 0.013 | 0.011 |
| E6705224 (6816916) | 0.002 | <0.001 | <0.005 |

Comments: RDL - Reported Detection Limit

Certified By:



CLIENT NAME: SOQUEM

ATTENTION TO: JEAN-FRANCOIS GAGNON

(201-070) 4 Acid Digest - Metals Package, ICP-OES finish

| Parameter | REPLICATE #1 | | | | REPLICATE #2 | | | | | | | |
|-----------|--------------|----------|-----------|-------|--------------|----------|-----------|------|--|--|--|--|
| | Sample ID | Original | Replicate | RPD | Sample ID | Original | Replicate | RPD | | | | |
| Ag | 6816896 | < 0.5 | < 0.5 | 0.0% | 6816912 | < 0.5 | < 0.5 | 0.0% | | | | |
| Al | 6816896 | 5.57 | 6.20 | 10.7% | 6816912 | 6.97 | 7.02 | 0.7% | | | | |
| As | 6816896 | < 1 | < 1 | 0.0% | 6816912 | 9 | < 1 | | | | | |
| Ba | 6816896 | 1150 | 1160 | 0.9% | 6816912 | 462 | 452 | 2.2% | | | | |
| Be | 6816896 | 1.1 | 1.1 | 0.0% | 6816912 | 1.7 | 1.7 | 0.0% | | | | |
| Bi | 6816896 | 1 | < 1 | | 6816912 | < 1 | < 1 | 0.0% | | | | |
| Ca | 6816896 | 1.21 | 1.28 | 5.6% | 6816912 | 5.96 | 5.99 | 0.5% | | | | |
| Cd | 6816896 | < 0.5 | < 0.5 | 0.0% | 6816912 | 0.51 | 0.56 | 9.3% | | | | |
| Ce | 6816896 | 170 | 166 | 2.4% | 6816912 | 58 | 58 | 0.0% | | | | |
| Co | 6816896 | 2.8 | 2.8 | 0.0% | 6816912 | 22.3 | 21.5 | 3.7% | | | | |
| Cr | 6816896 | 15.2 | 16.0 | 5.1% | 6816912 | 263 | 259 | 1.5% | | | | |
| Cu | 6816896 | 10.4 | 10.9 | 4.7% | 6816912 | 22.8 | 21.6 | 5.4% | | | | |
| Fe | 6816896 | 2.84 | 2.96 | 4.1% | 6816912 | 5.72 | 5.73 | 0.2% | | | | |
| Ga | 6816896 | 19 | 19 | 0.0% | 6816912 | 19 | 20 | 5.1% | | | | |
| In | 6816896 | 10 | 3 | | 6816912 | 5 | 3 | | | | | |
| K | 6816896 | 4.78 | 4.68 | 2.1% | 6816912 | 0.923 | 0.932 | 1.0% | | | | |
| La | 6816896 | 89 | 86 | 3.4% | 6816912 | 19 | 20 | 5.1% | | | | |
| Li | 6816896 | 37 | 38 | 2.7% | 6816912 | 11 | 11 | 0.0% | | | | |
| Mg | 6816896 | 0.632 | 0.646 | 2.2% | 6816912 | 4.72 | 4.74 | 0.4% | | | | |
| Mn | 6816896 | 318 | 330 | 3.7% | 6816912 | 1190 | 1180 | 0.8% | | | | |
| Mo | 6816896 | < 0.5 | < 0.5 | 0.0% | 6816912 | < 0.5 | < 0.5 | 0.0% | | | | |
| Na | 6816896 | 2.73 | 2.74 | 0.4% | 6816912 | 2.57 | 2.59 | 0.8% | | | | |
| Ni | 6816896 | 5.85 | 5.80 | 0.9% | 6816912 | 131 | 133 | 1.5% | | | | |
| P | 6816896 | 1570 | 1670 | 6.2% | 6816912 | 1410 | 1460 | 3.5% | | | | |
| Pb | 6816896 | 23 | 22 | 4.4% | 6816912 | 14 | 15 | 6.9% | | | | |
| Rb | 6816896 | 409 | 426 | 4.1% | 6816912 | 107 | 111 | 3.7% | | | | |
| S | 6816896 | 0.023 | 0.043 | | 6816912 | 0.119 | 0.120 | 0.8% | | | | |
| Sb | 6816896 | 4 | < 1 | | 6816912 | 6 | 4 | | | | | |
| Sc | 6816896 | 5 | 6 | 18.2% | 6816912 | 23 | 23 | 0.0% | | | | |
| Se | 6816896 | < 10 | 22 | | 6816912 | 16 | < 10 | | | | | |
| Sn | 6816896 | < 5 | < 5 | 0.0% | 6816912 | < 5 | < 5 | 0.0% | | | | |



CLIENT NAME: SOQUEM

ATTENTION TO: JEAN-FRANCOIS GAGNON

| | | | | | | | | | | | | | | | | | | | | |
|----|---------|------|------|-------|---------|------|------|-------|--|--|--|--|--|--|--|--|--|--|--|--|
| Sr | 6816896 | 275 | 286 | 3.9% | 6816912 | 1070 | 1070 | 0.0% | | | | | | | | | | | | |
| Ta | 6816896 | < 10 | < 10 | 0.0% | 6816912 | < 10 | < 10 | 0.0% | | | | | | | | | | | | |
| Te | 6816896 | < 10 | < 10 | 0.0% | 6816912 | < 10 | < 10 | 0.0% | | | | | | | | | | | | |
| Th | 6816896 | 19 | 17 | 11.1% | 6816912 | 6 | 7 | 15.4% | | | | | | | | | | | | |
| Ti | 6816896 | 0.33 | 0.33 | 0.0% | 6816912 | 0.41 | 0.41 | 0.0% | | | | | | | | | | | | |
| Tl | 6816896 | < 5 | 7 | | 6816912 | < 5 | < 5 | 0.0% | | | | | | | | | | | | |
| U | 6816896 | < 5 | < 5 | 0.0% | 6816912 | < 5 | < 5 | 0.0% | | | | | | | | | | | | |
| V | 6816896 | 43.9 | 44.9 | 2.3% | 6816912 | 146 | 148 | 1.4% | | | | | | | | | | | | |
| W | 6816896 | < 1 | < 1 | 0.0% | 6816912 | < 1 | < 1 | 0.0% | | | | | | | | | | | | |
| Y | 6816896 | 19 | 19 | 0.0% | 6816912 | 15 | 15 | 0.0% | | | | | | | | | | | | |
| Zn | 6816896 | 66.0 | 75.5 | 13.4% | 6816912 | 102 | 93.9 | 8.3% | | | | | | | | | | | | |
| Zr | 6816896 | 436 | 434 | 0.5% | 6816912 | 79 | 80 | 1.3% | | | | | | | | | | | | |

(202-052) Fire Assay - Trace Au, ICP-OES finish (ppm)

| REPLICATE #1 | | | | | | | | | | | | | | | | | | | | |
|--------------|-----------|----------|-----------|-----|--|--|--|--|--|--|--|--|--|--|--|--|--|--|--|--|
| Parameter | Sample ID | Original | Replicate | RPD | | | | | | | | | | | | | | | | |
| Au | 6816925 | 0.002 | 0.001 | | | | | | | | | | | | | | | | | |

(202-055) Fire Assay - Au, Pt, Pd Trace Levels, ICP-OES finish

| REPLICATE #1 | | | | | | | | | | | | | | | | | | | | |
|--------------|-----------|----------|-----------|------|--|--|--|--|--|--|--|--|--|--|--|--|--|--|--|--|
| Parameter | Sample ID | Original | Replicate | RPD | | | | | | | | | | | | | | | | |
| Au | | 0.003 | 0.001 | | | | | | | | | | | | | | | | | |
| Pd | | < 0.001 | < 0.001 | 0.0% | | | | | | | | | | | | | | | | |
| Pt | | < 0.005 | < 0.005 | 0.0% | | | | | | | | | | | | | | | | |



CLIENT NAME: SOQUEM

ATTENTION TO: JEAN-FRANCOIS GAGNON

(201-070) 4 Acid Digest - Metals Package, ICP-OES finish

| Parameter | CRM #1 (ref.GSP7J) | | | | CRM #2 (ref.CDN-ME-1304) | | | | | | | | | |
|-----------|--------------------|--------|----------|------------|--------------------------|--------|----------|------------|--|--|--|--|--|--|
| | Expect | Actual | Recovery | Limits | Expect | Actual | Recovery | Limits | | | | | | |
| Ag | | | | | 34 | 35 | 103% | 90% - 110% | | | | | | |
| Al | 6.96 | 7.08 | 102% | 90% - 110% | | | | | | | | | | |
| As | 124 | 119 | 96% | 90% - 110% | | | | | | | | | | |
| Ba | 186 | 192 | 103% | 90% - 110% | | | | | | | | | | |
| Ca | 4.01 | 4.24 | 106% | 90% - 110% | | | | | | | | | | |
| Ce | 24 | 22 | 93% | 90% - 110% | | | | | | | | | | |
| Co | 22.1 | 21.1 | 95% | 90% - 110% | | | | | | | | | | |
| Cu | 88.6 | 90.8 | 102% | 90% - 110% | 2680 | 2639 | 98% | 90% - 110% | | | | | | |
| Fe | 7.56 | 7.78 | 103% | 90% - 110% | | | | | | | | | | |
| K | 2.021 | 2.148 | 106% | 90% - 110% | | | | | | | | | | |
| Mg | 2.412 | 2.596 | 108% | 90% - 110% | | | | | | | | | | |
| Mn | 1510 | 1649 | 109% | 90% - 110% | | | | | | | | | | |
| Na | 0.617 | 0.673 | 109% | 90% - 110% | | | | | | | | | | |
| Ni | 77.1 | 80.4 | 104% | 90% - 110% | | | | | | | | | | |
| P | 892 | 965 | 108% | 90% - 110% | | | | | | | | | | |
| Pb | | | | | 2580 | 2666 | 103% | 90% - 110% | | | | | | |
| S | 0.348 | 0.363 | 104% | 90% - 110% | | | | | | | | | | |
| Sr | 92.8 | 98.6 | 106% | 90% - 110% | | | | | | | | | | |
| Zn | 208 | 211 | 101% | 90% - 110% | 2200 | 2258 | 103% | 90% - 110% | | | | | | |

(201-273) Aqua Regia Digest - Ore Grade Metals Package, ICP-OES finish

| Parameter | CRM #1 (CDN-ME-1206) | | | | CRM #2 (ref.GS6D) | | | | | | | | | |
|-----------|----------------------|--------|----------|------------|-------------------|--------|----------|--------|--|--|--|--|--|--|
| | Expect | Actual | Recovery | Limits | Expect | Actual | Recovery | Limits | | | | | | |
| Pb | 8010 | 8178 | 102% | 80% - 120% | | | | | | | | | | |
| Zn | 23800 | 23220 | 98% | 80% - 120% | | | | | | | | | | |

(202-052) Fire Assay - Trace Au, ICP-OES finish (ppm)

| Parameter | CRM #1 (ref.GSP7J) | | | | CRM #2 (ref.GS6D) | | | | | | | | | |
|-----------|--------------------|--------|----------|------------|-------------------|--------|----------|------------|--|--|--|--|--|--|
| | Expect | Actual | Recovery | Limits | Expect | Actual | Recovery | Limits | | | | | | |
| Au | 0.722 | 0.774 | 107% | 90% - 110% | 6.09 | 5.96 | 98% | 90% - 110% | | | | | | |

(202-055) Fire Assay - Au, Pt, Pd Trace Levels, ICP-OES finish



CLIENT NAME: SOQUEM

ATTENTION TO: JEAN-FRANCOIS GAGNON

| Parameter | CRM #1 (ref.GSP7J) | | | | CRM #2 (ref.GS6D) | | | | | | | | | | | |
|-----------|--------------------|--------|----------|------------|-------------------|--------|----------|------------|--|--|--|--|--|--|--|--|
| | Expect | Actual | Recovery | Limits | Expect | Actual | Recovery | Limits | | | | | | | | |
| Au | 0.722 | 0.774 | 107% | 90% - 110% | 6.09 | 5.96 | 98% | 90% - 110% | | | | | | | | |

Method Summary

 CLIENT NAME: SOQUEM
 PROJECT: 1388
 SAMPLING SITE:

 AGAT WORK ORDER: 150004177
 ATTENTION TO: JEAN-FRANCOIS GAGNON
 SAMPLED BY:

| PARAMETER | AGAT S.O.P | LITERATURE REFERENCE | ANALYTICAL TECHNIQUE |
|---------------------|---------------------|--|----------------------|
| Solid Analysis | | | |
| Sample Login Weight | MIN-12009 | | BALANCE |
| Ag | MIN-200-12002/12020 | | ICP/OES |
| Al | MIN-200-12002/12020 | | ICP/OES |
| As | MIN-200-12002/12020 | | ICP/OES |
| Ba | MIN-200-12002/12020 | | ICP/OES |
| Be | MIN-200-12002/12020 | | ICP/OES |
| Bi | MIN-200-12002/12020 | | ICP/OES |
| Ca | MIN-200-12002/12020 | | ICP/OES |
| Cd | MIN-200-12002/12020 | | ICP/OES |
| Ce | MIN-200-12002/12020 | | ICP/OES |
| Co | MIN-200-12002/12020 | | ICP/OES |
| Cr | MIN-200-12002/12020 | | ICP/OES |
| Cu | MIN-200-12002/12020 | | ICP/OES |
| Fe | MIN-200-12002/12020 | | ICP/OES |
| Ga | MIN-200-12002/12020 | | ICP/OES |
| In | MIN-200-12002/12020 | | ICP/OES |
| K | MIN-200-12002/12020 | | ICP/OES |
| La | MIN-200-12002/12020 | | ICP/OES |
| Li | MIN-200-12002/12020 | | ICP/OES |
| Mg | MIN-200-12002/12020 | | ICP/OES |
| Mn | MIN-200-12002/12020 | | ICP/OES |
| Mo | MIN-200-12002/12020 | | ICP/OES |
| Na | MIN-200-12002/12020 | | ICP/OES |
| Ni | MIN-200-12002/12020 | | ICP/OES |
| P | MIN-200-12002/12020 | | ICP/OES |
| Pb | MIN-200-12002/12020 | | ICP/OES |
| Rb | MIN-200-12002/12020 | | ICP/OES |
| S | MIN-200-12002/12020 | | ICP/OES |
| Sb | MIN-200-12002/12020 | | ICP/OES |
| Sc | MIN-200-12002/12020 | | ICP/OES |
| Se | MIN-200-12002/12020 | | ICP/OES |
| Sn | MIN-200-12002/12020 | | ICP/OES |
| Sr | MIN-200-12002/12020 | | ICP/OES |
| Ta | MIN-200-12002/12020 | | ICP/OES |
| Te | MIN-200-12002/12020 | | ICP/OES |
| Th | MIN-200-12002/12020 | | ICP/OES |
| Ti | MIN-200-12002/12020 | | ICP/OES |
| Tl | MIN-200-12002/12020 | | ICP/OES |
| U | MIN-200-12002/12020 | | ICP/OES |
| V | MIN-200-12002/12020 | | ICP/OES |
| W | MIN-200-12002/12020 | | ICP/OES |
| Y | MIN-200-12002/12020 | | ICP/OES |
| Zn | MIN-200-12002/12020 | | ICP/OES |
| Zr | MIN-200-12002/12020 | | ICP/OES |
| Pb | MIN-200-12020 | | ICP/OES |
| Zn | MIN-200-12020 | | ICP/OES |
| Au | MIN-200-12006 | BUGBEE, E: A Textbook of Fire Assaying | ICP-OES |
| Au-check | | | ICP/OES |

Method Summary

CLIENT NAME: SOQUEM
 PROJECT: 1388
 SAMPLING SITE:

AGAT WORK ORDER: 150004177
 ATTENTION TO: JEAN-FRANCOIS GAGNON
 SAMPLED BY:

| PARAMETER | AGAT S.O.P | LITERATURE REFERENCE | ANALYTICAL TECHNIQUE |
|------------|---------------|--|----------------------|
| Au-Average | | | ICP/OES |
| Au | MIN-200-12006 | BUGBEE, E: A Textbook of Fire Assaying | ICP/OES |
| Pd | MIN-200-12006 | BUGBEE, E: A Textbook of Fire Assaying | ICP/OES |
| Pt | MIN-200-12006 | BUGBEE, E: A Textbook of Fire Assaying | ICP/OES |



CLIENT NAME: SOQUEM
600 AVENUE CENTRALE
VAL D'OR, QC J9P1P8
(819) 874-3773

ATTENTION TO: JEAN-FRANCOIS GAGNON

PROJECT: 1388

AGAT WORK ORDER: 150994177

SOLID ANALYSIS REVIEWED BY: Kevin Motomura, Data Review Supervisor

DATE REPORTED: Aug 12, 2015

PAGES (INCLUDING COVER): 17

Should you require any information regarding this analysis please contact your client services representative at (905) 501-9998

*NOTES

All samples are stored at no charge for 90 days. Please contact the lab if you require additional sample storage time.



Certificate of Analysis

AGAT WORK ORDER: 150994177

PROJECT: 1388

5623 McADAM ROAD
MISSISSAUGA, ONTARIO
CANADA L4Z 1N9
TEL (905)501-9998
FAX (905)501-0589
<http://www.agatlabs.com>

CLIENT NAME: SOQUEM

ATTENTION TO: JEAN-FRANCOIS GAGNON

(201-070) 4 Acid Digest - Metals Package, ICP-OES finish

DATE SAMPLED: Jul 09, 2015

DATE RECEIVED: Jul 09, 2015

DATE REPORTED: Aug 12, 2015

SAMPLE TYPE: Drill Core

| Sample ID (AGAT ID) | Analyte: Unit: RDL: | Ag ppm | Al % | As ppm | Ba ppm | Be ppm | Bi ppm | Ca % | Cd ppm | Ce ppm | Co ppm | Cr ppm | Cu ppm | Fe % | Ga ppm |
|---------------------|---------------------------|-----------|---------|-----------|-----------|-----------|-----------|---------|-----------|-----------|-----------|-----------|-----------|---------|-----------|
| E6705501 (6724638) | | <0.5 | 7.27 | <1 | 1040 | 0.6 | <1 | 0.14 | <0.5 | 20 | <0.5 | 82.0 | 3.9 | 0.88 | 13 |
| E6705502 (6724639) | | <0.5 | 5.97 | 1 | 661 | 1.0 | <1 | 0.18 | <0.5 | 33 | 1.1 | 77.6 | 12.2 | 1.22 | 16 |
| E6705503 (6724640) | | <0.5 | 7.14 | 1 | 193 | 1.4 | 2 | 1.78 | <0.5 | 43 | 13.5 | 167 | 19.4 | 3.44 | 19 |
| E6705504 (6724641) | | <0.5 | 7.31 | <1 | 336 | 1.6 | 1 | 1.23 | <0.5 | 66 | <0.5 | 74.3 | <0.5 | 0.48 | 18 |
| E6705505 (6724642) | | <0.5 | 5.59 | <1 | 1220 | 2.0 | <1 | 1.26 | <0.5 | 18 | <0.5 | 44.9 | 4.5 | 1.14 | 19 |
| E6705506 (6724643) | | <0.5 | 5.57 | <1 | 608 | 2.0 | 3 | 1.27 | <0.5 | 12 | <0.5 | 82.4 | 2.3 | 1.45 | 19 |
| E6705507 (6724644) | | <0.5 | 7.29 | <1 | 184 | 2.5 | <1 | 6.53 | <0.5 | 121 | 24.1 | 378 | 23.1 | 5.16 | 20 |
| E6705508 (6724645) | | <0.5 | 5.66 | 5 | 371 | 1.8 | <1 | 0.39 | <0.5 | 68 | <0.5 | 86.7 | <0.5 | 0.61 | 15 |
| E6705509 (6724646) | | <0.5 | 6.30 | <1 | 260 | 1.7 | <1 | 1.63 | <0.5 | 34 | 2.1 | 40.3 | 1.4 | 1.38 | 20 |
| E6705510 (6724647) | | <0.5 | 7.73 | <1 | 955 | 1.8 | <1 | 3.92 | <0.5 | 112 | 22.3 | 359 | 23.9 | 3.86 | 17 |
| E6705511 (6724648) | | 2.5 | 5.71 | <1 | 288 | 0.6 | 6 | 2.27 | 0.6 | 23 | 19.9 | 42.4 | >10000 | 5.43 | 13 |
| E6705512 (6724649) | | <0.5 | 5.35 | <1 | 883 | <0.5 | <1 | 0.36 | <0.5 | 40 | <0.5 | 56.4 | 17.2 | 0.93 | 14 |
| E6705513 (6724650) | | <0.5 | 6.58 | <1 | 669 | 1.3 | <1 | 1.25 | <0.5 | 54 | 3.3 | 135 | 13.0 | 1.62 | 16 |
| E6705514 (6724651) | | <0.5 | 8.67 | <1 | 455 | 2.5 | <1 | 1.78 | <0.5 | 87 | 6.8 | 34.3 | 167 | 4.13 | 19 |
| E6705515 (6724652) | | <0.5 | 0.13 | 1 | 5 | <0.5 | 2 | 0.01 | <0.5 | 32 | <0.5 | 153 | 1.6 | 0.25 | <5 |
| E6705516 (6724653) | | <0.5 | 5.16 | 4 | 222 | 1.3 | <1 | 1.18 | <0.5 | 13 | 3.5 | 85.4 | 8.8 | 1.37 | 17 |
| E6705517 (6724654) | | <0.5 | 6.77 | <1 | 848 | 1.0 | <1 | 1.25 | <0.5 | 35 | 12.3 | 220 | 22.6 | 3.78 | 17 |
| E6705518 (6724655) | | <0.5 | 5.99 | <1 | 479 | 1.1 | 1 | 1.09 | <0.5 | 25 | 9.1 | 161 | 16.7 | 3.42 | 19 |
| E6705519 (6724656) | | <0.5 | 8.46 | <1 | 212 | <0.5 | <1 | 7.57 | <0.5 | 20 | 45.6 | 175 | 89.3 | 8.30 | 19 |
| E6705520 (6724657) | | <0.5 | 5.07 | <1 | 1050 | 0.7 | <1 | 0.35 | <0.5 | 23 | <0.5 | 55.6 | 3.0 | 1.13 | 12 |
| E6705521 (6724658) | | <0.5 | 6.92 | 2 | 900 | 0.9 | <1 | 1.44 | <0.5 | 19 | 13.8 | 222 | 17.4 | 3.96 | 18 |
| E6705151 (6724659) | | <0.5 | 6.16 | <1 | 158 | 1.7 | <1 | 1.18 | <0.5 | 45 | 11.2 | 158 | 5.5 | 2.85 | 18 |
| E6705152 (6724660) | | <0.5 | 5.83 | 1 | 535 | 1.3 | <1 | 1.84 | 0.6 | 53 | 17.6 | 141 | 190 | 4.90 | 19 |
| E6705153 (6724661) | | <0.5 | 6.46 | <1 | 375 | 1.4 | <1 | 1.68 | <0.5 | 18 | 9.9 | 157 | 13.0 | 3.23 | 17 |
| E6705154 (6724662) | | 1.4 | 4.44 | <1 | 66 | 0.7 | <1 | 9.69 | 1.5 | 15 | 51.5 | 673 | 325 | 12.3 | 10 |
| E6705155 (6724663) | | <0.5 | 0.20 | <1 | 4 | <0.5 | <1 | 0.11 | <0.5 | 29 | 0.8 | 172 | 5.8 | 0.42 | <5 |
| E6705156 (6724664) | | <0.5 | 5.39 | <1 | 575 | 1.3 | <1 | 0.30 | <0.5 | 18 | <0.5 | 58.9 | 2.3 | 1.13 | 17 |
| E6705157 (6724665) | | <0.5 | 6.27 | <1 | 134 | 2.9 | <1 | 4.32 | 0.5 | 66 | 23.8 | 288 | 2.0 | 3.84 | 17 |
| E6705158 (6724666) | | <0.5 | 5.62 | <1 | 293 | 2.0 | 3 | 1.51 | <0.5 | 24 | 2.7 | 63.8 | 6.6 | 1.33 | 18 |
| E6705159 (6724667) | | <0.5 | 7.04 | <1 | 121 | 1.2 | <1 | 5.42 | 0.7 | 36 | 36.1 | 559 | 28.3 | 6.06 | 18 |
| E6705160 (6724668) | | <0.5 | 7.55 | <1 | 312 | 0.9 | <1 | 6.27 | <0.5 | 116 | 24.1 | 194 | 30.8 | 6.84 | 20 |
| E6705161 (6724669) | | 97.4 | 3.18 | 125 | 148 | <0.5 | 20 | 1.76 | 192 | 15 | 22.6 | 74.1 | 3940 | 9.01 | 9 |

Certified By:



Certificate of Analysis

AGAT WORK ORDER: 150994177

PROJECT: 1388

5623 McADAM ROAD
MISSISSAUGA, ONTARIO
CANADA L4Z 1N9
TEL (905)501-9998
FAX (905)501-0589
<http://www.agatlabs.com>

CLIENT NAME: SOQUEM

ATTENTION TO: JEAN-FRANCOIS GAGNON

(201-070) 4 Acid Digest - Metals Package, ICP-OES finish

DATE SAMPLED: Jul 09, 2015

DATE RECEIVED: Jul 09, 2015

DATE REPORTED: Aug 12, 2015

SAMPLE TYPE: Drill Core

| Sample ID (AGAT ID) | Analyte: Unit: RDL: | Ag ppm | Al % | As ppm | Ba ppm | Be ppm | Bi ppm | Ca % | Cd ppm | Ce ppm | Co ppm | Cr ppm | Cu ppm | Fe % | Ga ppm |
|---------------------|---------------------------|-----------|---------|-----------|-----------|-----------|-----------|---------|-----------|-----------|-----------|-----------|-----------|---------|-----------|
| E6705162 (6724670) | | <0.5 | 7.90 | <1 | 277 | 0.6 | <1 | 5.87 | 0.8 | 128 | 34.1 | 206 | 93.5 | 8.26 | 21 |
| E6705163 (6724671) | | <0.5 | 5.08 | <1 | 101 | 0.5 | <1 | 8.68 | 0.8 | 43 | 86.4 | 654 | 1.8 | 7.03 | 18 |
| E6705164 (6724672) | | 1.5 | 4.43 | <1 | 107 | 1.0 | 1 | 1.51 | <0.5 | 30 | 25.3 | 296 | 404 | 10.9 | 14 |
| E6705165 (6724673) | | <0.5 | 7.19 | <1 | 268 | 1.1 | <1 | 1.74 | <0.5 | 42 | 11.2 | 169 | 15.0 | 3.71 | 19 |
| E6705166 (6724674) | | <0.5 | 7.12 | <1 | 370 | 2.3 | <1 | 8.40 | 0.7 | 208 | 36.8 | 353 | 3.9 | 7.45 | 18 |
| E6705167 (6724675) | | <0.5 | 8.74 | <1 | 956 | 0.6 | <1 | 1.92 | <0.5 | 48 | 12.4 | 203 | 43.4 | 6.34 | 26 |
| E6705168 (6724676) | | <0.5 | 6.13 | <1 | 137 | 1.0 | <1 | 3.29 | <0.5 | 25 | 13.4 | 199 | 289 | 5.14 | 14 |
| E6705169 (6724677) | | 0.8 | 7.71 | <1 | 70 | <0.5 | <1 | 6.35 | 0.9 | 16 | 41.3 | 335 | 469 | 9.64 | 16 |
| E6705170 (6724678) | | 1.7 | 6.72 | <1 | 122 | <0.5 | 2 | 6.79 | 1.0 | 12 | 29.4 | 318 | 412 | 14.7 | 13 |
| E6705101 (6724679) | | <0.5 | 5.62 | <1 | 792 | 1.0 | 2 | 0.52 | <0.5 | 168 | <0.5 | 54.2 | 9.2 | 0.72 | 15 |
| E6705102 (6724680) | | <0.5 | 5.51 | <1 | 472 | 1.2 | <1 | 1.10 | <0.5 | 24 | 7.8 | 178 | 13.8 | 2.88 | 18 |
| E6705103 (6724681) | | 2.3 | 4.25 | 7 | 40 | 0.8 | 3 | 7.31 | 1.7 | 18 | 61.7 | 732 | 555 | 15.7 | 11 |
| E6705104 (6724682) | | <0.5 | 7.45 | 2 | 189 | 1.3 | <1 | 2.10 | <0.5 | 12 | 12.8 | 246 | 16.9 | 4.01 | 17 |
| E6705105 (6724683) | | <0.5 | 4.51 | <1 | 81 | <0.5 | <1 | 9.02 | 0.8 | 94 | 48.7 | 1400 | 3.0 | 6.33 | 15 |
| E6705201 (6724684) | | <0.5 | 5.32 | <1 | 173 | 1.4 | 2 | 2.12 | <0.5 | 25 | 6.7 | 120 | 45.2 | 3.21 | 24 |
| E6705202 (6724685) | | <0.5 | 8.59 | <1 | 591 | 1.1 | <1 | 1.97 | <0.5 | 58 | 19.4 | 239 | 23.6 | 5.26 | 22 |
| E6705203 (6724686) | | <0.5 | 5.35 | 4 | 409 | 1.5 | <1 | 0.82 | <0.5 | 25 | 17.3 | 99.1 | 112 | 4.52 | 16 |
| E6705204 (6724687) | | <0.5 | 6.78 | 7 | 191 | 0.9 | 2 | 0.42 | <0.5 | 42 | 57.3 | 174 | 247 | 8.44 | 21 |
| E6705205 (6724688) | | <0.5 | 6.91 | <1 | 475 | 1.3 | <1 | 2.49 | <0.5 | 29 | 18.2 | 184 | 84.2 | 3.67 | 20 |
| E6705206 (6724689) | | <0.5 | 4.94 | <1 | 117 | 0.9 | 1 | 7.34 | 1.0 | 101 | 55.1 | 1850 | 3.3 | 7.24 | 14 |

Certified By:



Certificate of Analysis

AGAT WORK ORDER: 150994177

PROJECT: 1388

5623 McADAM ROAD
MISSISSAUGA, ONTARIO
CANADA L4Z 1N9
TEL (905)501-9998
FAX (905)501-0589
<http://www.agatlabs.com>

CLIENT NAME: SOQUEM

ATTENTION TO: JEAN-FRANCOIS GAGNON

(201-070) 4 Acid Digest - Metals Package, ICP-OES finish

DATE SAMPLED: Jul 09, 2015

DATE RECEIVED: Jul 09, 2015

DATE REPORTED: Aug 12, 2015

SAMPLE TYPE: Drill Core

| Sample ID (AGAT ID) | Analyte: Unit: RDL: | In ppm 1 | K % 0.01 | La ppm 2 | Li ppm 1 | Mg % 0.01 | Mn ppm 1 | Mo ppm 0.5 | Na % 0.01 | Ni ppm 0.5 | P ppm 10 | Pb ppm 1 | Rb ppm 10 | S % 0.005 | Sb ppm 1 |
|---------------------|---------------------------|----------------|----------------|----------------|----------------|-----------------|----------------|------------------|-----------------|------------------|----------------|----------------|-----------------|-----------------|----------------|
| E6705501 (6724638) | | <1 | 5.08 | 10 | 8 | 0.33 | 103 | 0.7 | 2.11 | 8.3 | 34 | 23 | 386 | <0.005 | 2 |
| E6705502 (6724639) | | <1 | 3.48 | 15 | 20 | 0.73 | 173 | 0.6 | 3.17 | 7.3 | 276 | 18 | 292 | 0.031 | 6 |
| E6705503 (6724640) | | 2 | 1.72 | 19 | 49 | 1.31 | 467 | <0.5 | 2.92 | 50.0 | 651 | 9 | 288 | 0.095 | 2 |
| E6705504 (6724641) | | 2 | 2.80 | 29 | 9 | 0.09 | 80 | 0.8 | 3.65 | 2.4 | 88 | 30 | 187 | 0.007 | 2 |
| E6705505 (6724642) | | 4 | 2.38 | 5 | 25 | 0.33 | 177 | <0.5 | 3.55 | 6.0 | 409 | 13 | 163 | <0.005 | 2 |
| E6705506 (6724643) | | 3 | 2.64 | 5 | 9 | 0.12 | 174 | 1.0 | 3.09 | 3.7 | 653 | 16 | 163 | <0.005 | 3 |
| E6705507 (6724644) | | 5 | 0.95 | 44 | 28 | 4.55 | 1800 | <0.5 | 2.30 | 132 | 2060 | 5 | 172 | 0.041 | 3 |
| E6705508 (6724645) | | 3 | 4.79 | 31 | 14 | 0.10 | 130 | 0.6 | 2.28 | 3.1 | 127 | 34 | 454 | 0.019 | <1 |
| E6705509 (6724646) | | 2 | 1.33 | 14 | 45 | 0.35 | 272 | 0.5 | 3.83 | 3.4 | 469 | 20 | 156 | <0.005 | 3 |
| E6705510 (6724647) | | <1 | 2.71 | 39 | 47 | 3.27 | 689 | <0.5 | 2.72 | 133 | 1570 | 19 | 233 | 0.009 | 5 |
| E6705511 (6724648) | | 7 | 1.32 | 11 | 12 | 0.95 | 618 | 1140 | 2.16 | 23.2 | 686 | 21 | 73 | 2.58 | 4 |
| E6705512 (6724649) | | 2 | 5.43 | 19 | 8 | 0.19 | 82 | 4.0 | 1.58 | 6.1 | 104 | 32 | 416 | 0.008 | 4 |
| E6705513 (6724650) | | <1 | 2.75 | 24 | 16 | 0.51 | 178 | 10.7 | 2.96 | 20.3 | 262 | 20 | 271 | 0.028 | 4 |
| E6705514 (6724651) | | 7 | 1.73 | 40 | 17 | 0.97 | 396 | <0.5 | 3.67 | 7.2 | 2240 | 4 | 283 | 0.801 | 4 |
| E6705515 (6724652) | | <1 | 0.02 | 13 | 6 | <0.01 | 16 | 2.3 | 0.01 | 4.0 | <10 | 1 | <10 | 0.012 | 1 |
| E6705516 (6724653) | | 4 | 1.42 | 5 | 9 | 0.33 | 148 | 3.2 | 2.87 | 20.6 | 87 | 13 | 177 | 0.043 | 3 |
| E6705517 (6724654) | | 2 | 2.57 | 14 | 36 | 1.57 | 455 | 2.0 | 2.58 | 53.7 | 691 | 14 | 322 | 0.061 | 4 |
| E6705518 (6724655) | | 2 | 2.91 | 10 | 34 | 1.04 | 333 | 1.2 | 2.48 | 40.0 | 630 | 14 | 374 | 0.038 | <1 |
| E6705519 (6724656) | | 2 | 0.83 | 8 | 19 | 4.16 | 1420 | <0.5 | 1.64 | 91.9 | 373 | <1 | 128 | 0.097 | 6 |
| E6705520 (6724657) | | 3 | 5.10 | 10 | 6 | 0.24 | 164 | 1.6 | 1.75 | 6.1 | 331 | 32 | 389 | 0.005 | <1 |
| E6705521 (6724658) | | 4 | 3.11 | 9 | 36 | 1.70 | 534 | 2.7 | 2.51 | 64.9 | 794 | 19 | 414 | 0.009 | 1 |
| E6705151 (6724659) | | 3 | 0.79 | 22 | 30 | 1.91 | 336 | <0.5 | 3.20 | 44.6 | 598 | 3 | 64 | 0.008 | 5 |
| E6705152 (6724660) | | 7 | 2.38 | 24 | 24 | 1.11 | 344 | 7.5 | 2.79 | 41.2 | 1110 | 16 | 232 | 1.03 | <1 |
| E6705153 (6724661) | | <1 | 2.19 | 7 | 37 | 1.19 | 411 | 3.9 | 2.82 | 43.4 | 625 | 9 | 302 | 0.052 | 8 |
| E6705154 (6724662) | | 6 | 0.56 | 8 | 14 | 4.31 | 4590 | <0.5 | 1.15 | 226 | 140 | 1 | 62 | 1.82 | 2 |
| E6705155 (6724663) | | <1 | 0.02 | 12 | 7 | 0.05 | 59 | 2.5 | 0.02 | 7.1 | <10 | 1 | <10 | 0.018 | <1 |
| E6705156 (6724664) | | 2 | 4.46 | 7 | 18 | 0.14 | 162 | 1.3 | 2.08 | 4.1 | 168 | 20 | 636 | 0.013 | 3 |
| E6705157 (6724665) | | 4 | 0.96 | 25 | 11 | 3.25 | 1280 | <0.5 | 2.24 | 153 | 932 | 4 | 144 | <0.005 | 3 |
| E6705158 (6724666) | | <1 | 1.69 | 9 | 27 | 0.43 | 200 | 0.5 | 3.33 | 8.9 | 358 | 27 | 143 | 0.010 | <1 |
| E6705159 (6724667) | | 2 | 1.30 | 12 | 30 | 4.38 | 1330 | <0.5 | 2.11 | 179 | 590 | 6 | 192 | 0.165 | 2 |
| E6705160 (6724668) | | 2 | 2.16 | 41 | 12 | 4.03 | 1200 | <0.5 | 2.27 | 113 | 2100 | 5 | 359 | 0.228 | 4 |
| E6705161 (6724669) | | 11 | 0.69 | 10 | 21 | 1.69 | 929 | 20.6 | 0.16 | 32.8 | 425 | >10000 | 44 | 7.99 | 136 |

Certified By:



Certificate of Analysis

AGAT WORK ORDER: 150994177

PROJECT: 1388

5623 McADAM ROAD
MISSISSAUGA, ONTARIO
CANADA L4Z 1N9
TEL (905)501-9998
FAX (905)501-0589
<http://www.agatlabs.com>

CLIENT NAME: SOQUEM

ATTENTION TO: JEAN-FRANCOIS GAGNON

(201-070) 4 Acid Digest - Metals Package, ICP-OES finish

DATE SAMPLED: Jul 09, 2015

DATE RECEIVED: Jul 09, 2015

DATE REPORTED: Aug 12, 2015

SAMPLE TYPE: Drill Core

| Sample ID (AGAT ID) | Analyte: Unit: RDL: | In ppm | K % | La ppm | Li ppm | Mg % | Mn ppm | Mo ppm | Na % | Ni ppm | P ppm | Pb ppm | Rb ppm | S % | Sb ppm |
|---------------------|---------------------------|-----------|--------|-----------|-----------|---------|-----------|-----------|---------|-----------|----------|-----------|-----------|--------|-----------|
| E6705162 (6724670) | | 7 | 1.67 | 58 | 32 | 4.39 | 1650 | <0.5 | 2.08 | 138 | 971 | 25 | 298 | 0.735 | 1 |
| E6705163 (6724671) | | 6 | 0.82 | 17 | 22 | 8.59 | 1510 | <0.5 | 0.77 | 531 | 263 | 2 | 174 | 0.015 | 2 |
| E6705164 (6724672) | | 5 | 0.88 | 13 | 41 | 0.69 | 687 | 5.6 | 1.35 | 83.2 | 327 | 11 | 144 | 6.38 | 5 |
| E6705165 (6724673) | | 3 | 2.20 | 20 | 37 | 1.16 | 402 | 0.7 | 2.92 | 48.4 | 644 | 11 | 371 | 0.076 | 2 |
| E6705166 (6724674) | | 4 | 1.32 | 75 | 23 | 5.82 | 1780 | <0.5 | 1.20 | 87.6 | 4140 | 1 | 260 | 0.049 | 5 |
| E6705167 (6724675) | | 7 | 3.75 | 27 | 77 | 1.66 | 776 | 1.5 | 2.97 | 36.3 | 856 | 13 | 669 | 0.179 | 3 |
| E6705168 (6724676) | | 4 | 0.88 | 12 | 32 | 1.44 | 1510 | 1.6 | 2.29 | 35.1 | 165 | 7 | 132 | 0.144 | 5 |
| E6705169 (6724677) | | 7 | 0.67 | 8 | 22 | 3.03 | 3270 | <0.5 | 1.92 | 96.3 | 153 | 1 | 81 | 0.985 | <1 |
| E6705170 (6724678) | | 9 | 0.88 | 6 | 19 | 3.60 | 7720 | <0.5 | 1.36 | 56.5 | 114 | <1 | 81 | 0.812 | 5 |
| E6705101 (6724679) | | 3 | 4.31 | 81 | 9 | 0.17 | 87 | 1.1 | 2.40 | 2.8 | 268 | 38 | 344 | 0.010 | <1 |
| E6705102 (6724680) | | 10 | 3.26 | 10 | 32 | 0.86 | 406 | 2.5 | 2.48 | 42.5 | 336 | 16 | 412 | 0.052 | 1 |
| E6705103 (6724681) | | 10 | 0.62 | 9 | 8 | 4.66 | 4940 | 5.6 | 0.79 | 274 | 92 | <1 | 37 | 2.91 | 2 |
| E6705104 (6724682) | | 3 | 1.79 | 6 | 35 | 1.32 | 557 | 7.1 | 2.87 | 38.3 | 658 | 10 | 335 | 0.060 | 6 |
| E6705105 (6724683) | | 6 | 0.62 | 28 | 18 | 8.98 | 1900 | <0.5 | 0.81 | 333 | 1530 | <1 | 109 | 0.014 | 7 |
| E6705201 (6724684) | | 5 | 1.94 | 11 | 21 | 0.38 | 185 | 4.1 | 2.15 | 23.7 | 1520 | 8 | 324 | 0.298 | 4 |
| E6705202 (6724685) | | 9 | 2.47 | 27 | 63 | 2.03 | 634 | 6.6 | 3.27 | 95.0 | 617 | 15 | 505 | 0.101 | 5 |
| E6705203 (6724686) | | 2 | 2.19 | 11 | 32 | 0.73 | 292 | 2.9 | 2.59 | 41.5 | 866 | 4 | 287 | 1.23 | 5 |
| E6705204 (6724687) | | 5 | 3.94 | 19 | 46 | 1.10 | 397 | 9.4 | 1.66 | 69.6 | 593 | 13 | 416 | 3.12 | 3 |
| E6705205 (6724688) | | 1 | 1.34 | 14 | 33 | 0.88 | 413 | 5.6 | 3.14 | 45.4 | 706 | 7 | 205 | 0.532 | 8 |
| E6705206 (6724689) | | 4 | 1.38 | 37 | 60 | 8.39 | 1900 | <0.5 | 0.78 | 293 | 1800 | 15 | 283 | 0.053 | 5 |

Certified By:



Certificate of Analysis

AGAT WORK ORDER: 150994177

PROJECT: 1388

5623 McADAM ROAD
MISSISSAUGA, ONTARIO
CANADA L4Z 1N9
TEL (905)501-9998
FAX (905)501-0589
<http://www.agatlabs.com>

CLIENT NAME: SOQUEM

ATTENTION TO: JEAN-FRANCOIS GAGNON

(201-070) 4 Acid Digest - Metals Package, ICP-OES finish

DATE SAMPLED: Jul 09, 2015

DATE RECEIVED: Jul 09, 2015

DATE REPORTED: Aug 12, 2015

SAMPLE TYPE: Drill Core

| Analyte: | Sc | Se | Sn | Sr | Ta | Te | Th | Ti | Tl | U | V | W | Y | Zn |
|--------------------|-----|-----|-----|-----|-----|-----|-----|------|-----|-----|------|-----|-----|--------|
| Unit: | ppm | ppm | ppm | ppm | ppm | ppm | ppm | % | ppm | ppm | ppm | ppm | ppm | ppm |
| RDL: | 1 | 10 | 5 | 1 | 10 | 10 | 5 | 0.01 | 5 | 5 | 0.5 | 1 | 1 | 0.5 |
| E6705501 (6724638) | 2 | <10 | <5 | 225 | <10 | <10 | 6 | 0.06 | <5 | <5 | 8.3 | <1 | 2 | 26.9 |
| E6705502 (6724639) | 3 | 12 | <5 | 192 | <10 | <10 | 8 | 0.11 | <5 | <5 | 10.9 | <1 | 5 | 38.5 |
| E6705503 (6724640) | 11 | 21 | <5 | 369 | <10 | 12 | 8 | 0.30 | <5 | <5 | 77.2 | <1 | 7 | 93.4 |
| E6705504 (6724641) | 1 | 16 | <5 | 267 | <10 | <10 | 37 | 0.03 | <5 | <5 | 2.4 | <1 | 5 | 22.7 |
| E6705505 (6724642) | 2 | <10 | <5 | 898 | <10 | <10 | <5 | 0.17 | <5 | <5 | 18.4 | <1 | 2 | 62.6 |
| E6705506 (6724643) | 1 | 18 | <5 | 272 | <10 | <10 | <5 | 0.06 | <5 | <5 | 16.1 | <1 | 6 | 27.6 |
| E6705507 (6724644) | 16 | <10 | 5 | 788 | <10 | 15 | <5 | 0.63 | <5 | <5 | 120 | <1 | 22 | 119 |
| E6705508 (6724645) | 2 | <10 | <5 | 158 | <10 | <10 | 29 | 0.04 | <5 | <5 | 2.4 | <1 | 10 | 25.3 |
| E6705509 (6724646) | 3 | 12 | <5 | 400 | <10 | <10 | <5 | 0.17 | <5 | <5 | 16.9 | <1 | 5 | 62.2 |
| E6705510 (6724647) | 15 | 15 | <5 | 712 | <10 | 13 | 8 | 0.34 | <5 | <5 | 78.1 | 1 | 10 | 73.0 |
| E6705511 (6724648) | 11 | 20 | <5 | 336 | <10 | 12 | <5 | 0.28 | <5 | <5 | 91.6 | 25 | 12 | 82.4 |
| E6705512 (6724649) | 2 | <10 | <5 | 190 | <10 | <10 | 15 | 0.08 | <5 | <5 | 6.8 | <1 | 2 | 29.6 |
| E6705513 (6724650) | 4 | <10 | <5 | 250 | <10 | <10 | 15 | 0.13 | <5 | <5 | 23.5 | <1 | 4 | 51.1 |
| E6705514 (6724651) | 8 | 16 | <5 | 589 | <10 | 11 | 10 | 0.32 | <5 | <5 | 58.3 | 2 | 19 | 98.6 |
| E6705515 (6724652) | <1 | <10 | <5 | <1 | <10 | <10 | <5 | 0.01 | 5 | <5 | 0.7 | <1 | 4 | 6.1 |
| E6705516 (6724653) | 3 | 13 | <5 | 248 | <10 | <10 | <5 | 0.13 | <5 | <5 | 21.2 | <1 | 1 | 41.9 |
| E6705517 (6724654) | 10 | 31 | <5 | 333 | <10 | 12 | <5 | 0.31 | <5 | <5 | 80.3 | 2 | 7 | 97.9 |
| E6705518 (6724655) | 9 | <10 | <5 | 224 | <10 | <10 | 10 | 0.29 | <5 | <5 | 63.3 | 2 | 6 | 103 |
| E6705519 (6724656) | 33 | <10 | <5 | 316 | <10 | 11 | <5 | 0.66 | 8 | <5 | 256 | <1 | 17 | 88.0 |
| E6705520 (6724657) | 2 | <10 | <5 | 182 | <10 | <10 | 24 | 0.10 | <5 | <5 | 8.7 | <1 | 4 | 37.0 |
| E6705521 (6724658) | 12 | 25 | <5 | 367 | <10 | <10 | 5 | 0.31 | <5 | <5 | 89.2 | <1 | 7 | 75.8 |
| E6705151 (6724659) | 8 | 16 | <5 | 329 | <10 | 10 | <5 | 0.24 | <5 | <5 | 61.7 | 2 | 7 | 63.1 |
| E6705152 (6724660) | 7 | 20 | <5 | 454 | <10 | <10 | <5 | 0.37 | <5 | <5 | 56.1 | 3 | 10 | 89.2 |
| E6705153 (6724661) | 9 | 12 | <5 | 291 | <10 | <10 | 6 | 0.26 | <5 | <5 | 61.4 | 2 | 6 | 78.5 |
| E6705154 (6724662) | 46 | 24 | <5 | 128 | <10 | 17 | <5 | 0.19 | <5 | <5 | 164 | <1 | 22 | 178 |
| E6705155 (6724663) | <1 | <10 | <5 | 3 | <10 | <10 | <5 | 0.02 | <5 | <5 | 3.3 | <1 | 4 | 7.7 |
| E6705156 (6724664) | 2 | <10 | <5 | 100 | <10 | <10 | 23 | 0.12 | <5 | <5 | 9.0 | <1 | 5 | 23.6 |
| E6705157 (6724665) | 17 | 11 | <5 | 370 | <10 | <10 | 9 | 0.27 | <5 | <5 | 96.9 | <1 | 18 | 112 |
| E6705158 (6724666) | 3 | <10 | <5 | 460 | <10 | <10 | 10 | 0.16 | <5 | <5 | 19.4 | <1 | 3 | 69.0 |
| E6705159 (6724667) | 28 | 17 | <5 | 422 | <10 | 15 | <5 | 0.39 | 11 | <5 | 177 | <1 | 14 | 108 |
| E6705160 (6724668) | 22 | 14 | <5 | 640 | <10 | 15 | 7 | 0.63 | 5 | <5 | 174 | <1 | 20 | 115 |
| E6705161 (6724669) | 7 | 57 | 19 | 60 | <10 | 27 | <5 | 0.09 | 26 | <5 | 69.0 | 4 | 9 | >10000 |

Certified By:



Certificate of Analysis

AGAT WORK ORDER: 150994177

PROJECT: 1388

5623 McADAM ROAD
MISSISSAUGA, ONTARIO
CANADA L4Z 1N9
TEL (905)501-9998
FAX (905)501-0589
<http://www.agatlabs.com>

CLIENT NAME: SOQUEM

ATTENTION TO: JEAN-FRANCOIS GAGNON

(201-070) 4 Acid Digest - Metals Package, ICP-OES finish

DATE SAMPLED: Jul 09, 2015

DATE RECEIVED: Jul 09, 2015

DATE REPORTED: Aug 12, 2015

SAMPLE TYPE: Drill Core

| Analyte: | Sc | Se | Sn | Sr | Ta | Te | Th | Ti | Tl | U | V | W | Y | Zn |
|--------------------|-----|-----|-----|-----|-----|-----|-----|------|-----|-----|------|-----|-----|------|
| Unit: | ppm | ppm | ppm | ppm | ppm | ppm | ppm | % | ppm | ppm | ppm | ppm | ppm | ppm |
| RDL: | 1 | 10 | 5 | 1 | 10 | 10 | 5 | 0.01 | 5 | 5 | 0.5 | 1 | 1 | 0.5 |
| E6705162 (6724670) | 29 | 15 | <5 | 467 | <10 | 18 | <5 | 0.80 | 10 | <5 | 247 | 3 | 20 | 188 |
| E6705163 (6724671) | 69 | <10 | <5 | 147 | <10 | 25 | 6 | 0.49 | <5 | <5 | 364 | <1 | 20 | 95.0 |
| E6705164 (6724672) | 14 | 20 | <5 | 187 | <10 | 12 | <5 | 0.30 | <5 | <5 | 91.1 | 9 | 14 | 86.9 |
| E6705165 (6724673) | 10 | 24 | <5 | 210 | <10 | <10 | 8 | 0.31 | <5 | <5 | 68.7 | 2 | 6 | 105 |
| E6705166 (6724674) | 28 | <10 | <5 | 453 | <10 | 19 | <5 | 0.73 | 5 | <5 | 208 | <1 | 34 | 131 |
| E6705167 (6724675) | 17 | 22 | <5 | 366 | <10 | <10 | <5 | 0.57 | <5 | <5 | 153 | <1 | 5 | 106 |
| E6705168 (6724676) | 15 | <10 | <5 | 175 | <10 | <10 | 10 | 0.19 | <5 | <5 | 77.6 | <1 | 7 | 89.5 |
| E6705169 (6724677) | 33 | 23 | <5 | 139 | <10 | 18 | <5 | 0.39 | <5 | <5 | 197 | <1 | 13 | 156 |
| E6705170 (6724678) | 33 | 24 | <5 | 93 | <10 | 16 | <5 | 0.36 | <5 | <5 | 201 | 10 | 14 | 176 |
| E6705101 (6724679) | 1 | 17 | <5 | 207 | <10 | <10 | 87 | 0.05 | <5 | <5 | 5.3 | <1 | 6 | 22.9 |
| E6705102 (6724680) | 7 | 18 | <5 | 192 | <10 | <10 | 8 | 0.24 | 6 | <5 | 57.1 | <1 | 4 | 88.5 |
| E6705103 (6724681) | 80 | <10 | 17 | 34 | <10 | 24 | <5 | 0.20 | <5 | <5 | 251 | 9 | 34 | 312 |
| E6705104 (6724682) | 12 | <10 | <5 | 281 | <10 | <10 | 7 | 0.33 | <5 | <5 | 88.0 | <1 | 6 | 81.1 |
| E6705105 (6724683) | 27 | 17 | <5 | 74 | <10 | 18 | 8 | 0.31 | 5 | <5 | 150 | 1 | 16 | 117 |
| E6705201 (6724684) | 5 | <10 | <5 | 208 | <10 | <10 | <5 | 0.17 | 8 | <5 | 51.9 | <1 | 9 | 40.5 |
| E6705202 (6724685) | 18 | 13 | <5 | 309 | <10 | 18 | 7 | 0.41 | <5 | <5 | 129 | 2 | 9 | 125 |
| E6705203 (6724686) | 7 | 23 | <5 | 208 | <10 | 11 | <5 | 0.28 | <5 | <5 | 66.5 | 3 | 7 | 65.4 |
| E6705204 (6724687) | 9 | 19 | <5 | 173 | <10 | 13 | 9 | 0.34 | <5 | <5 | 92.7 | 9 | 5 | 87.8 |
| E6705205 (6724688) | 12 | <10 | <5 | 485 | <10 | <10 | 6 | 0.38 | <5 | <5 | 99.5 | <1 | 6 | 87.7 |
| E6705206 (6724689) | 34 | 21 | <5 | 82 | <10 | 12 | <5 | 0.26 | <5 | <5 | 160 | 2 | 17 | 141 |

Certified By:



Certificate of Analysis

AGAT WORK ORDER: 150994177

PROJECT: 1388

5623 McADAM ROAD
 MISSISSAUGA, ONTARIO
 CANADA L4Z 1N9
 TEL (905)501-9998
 FAX (905)501-0589
<http://www.agatlabs.com>

CLIENT NAME: SOQUEM

ATTENTION TO: JEAN-FRANCOIS GAGNON

(201-070) 4 Acid Digest - Metals Package, ICP-OES finish

DATE SAMPLED: Jul 09, 2015

DATE RECEIVED: Jul 09, 2015

DATE REPORTED: Aug 12, 2015

SAMPLE TYPE: Drill Core

| Sample ID (AGAT ID) | Analyte: | Unit: | RDL: |
|---------------------|----------|-------|------|
| | Zr | ppm | 5 |
| E6705501 (6724638) | | | 159 |
| E6705502 (6724639) | | | 79 |
| E6705503 (6724640) | | | 89 |
| E6705504 (6724641) | | | 118 |
| E6705505 (6724642) | | | 105 |
| E6705506 (6724643) | | | 54 |
| E6705507 (6724644) | | | 132 |
| E6705508 (6724645) | | | 61 |
| E6705509 (6724646) | | | 40 |
| E6705510 (6724647) | | | 123 |
| E6705511 (6724648) | | | 27 |
| E6705512 (6724649) | | | 66 |
| E6705513 (6724650) | | | 158 |
| E6705514 (6724651) | | | 371 |
| E6705515 (6724652) | | | 12 |
| E6705516 (6724653) | | | 62 |
| E6705517 (6724654) | | | 126 |
| E6705518 (6724655) | | | 131 |
| E6705519 (6724656) | | | 58 |
| E6705520 (6724657) | | | 168 |
| E6705521 (6724658) | | | 121 |
| E6705151 (6724659) | | | 93 |
| E6705152 (6724660) | | | 125 |
| E6705153 (6724661) | | | 107 |
| E6705154 (6724662) | | | 28 |
| E6705155 (6724663) | | | 16 |
| E6705156 (6724664) | | | 203 |
| E6705157 (6724665) | | | 70 |
| E6705158 (6724666) | | | 112 |
| E6705159 (6724667) | | | 59 |
| E6705160 (6724668) | | | 74 |
| E6705161 (6724669) | | | 35 |

Certified By:



Certificate of Analysis

AGAT WORK ORDER: 150994177

PROJECT: 1388

5623 McADAM ROAD
MISSISSAUGA, ONTARIO
CANADA L4Z 1N9
TEL (905)501-9998
FAX (905)501-0589
<http://www.agatlabs.com>

CLIENT NAME: SOQUEM

ATTENTION TO: JEAN-FRANCOIS GAGNON

(201-070) 4 Acid Digest - Metals Package, ICP-OES finish

DATE SAMPLED: Jul 09, 2015

DATE RECEIVED: Jul 09, 2015

DATE REPORTED: Aug 12, 2015

SAMPLE TYPE: Drill Core

| Sample ID (AGAT ID) | Analyte: | Unit: | RDL: | Value |
|---------------------|----------|-------|------|-------|
| | Zr | ppm | 5 | |
| E6705162 (6724670) | | | | 61 |
| E6705163 (6724671) | | | | 37 |
| E6705164 (6724672) | | | | 71 |
| E6705165 (6724673) | | | | 133 |
| E6705166 (6724674) | | | | 91 |
| E6705167 (6724675) | | | | 168 |
| E6705168 (6724676) | | | | 54 |
| E6705169 (6724677) | | | | 67 |
| E6705170 (6724678) | | | | 39 |
| E6705101 (6724679) | | | | 175 |
| E6705102 (6724680) | | | | 138 |
| E6705103 (6724681) | | | | 38 |
| E6705104 (6724682) | | | | 123 |
| E6705105 (6724683) | | | | 112 |
| E6705201 (6724684) | | | | 47 |
| E6705202 (6724685) | | | | 135 |
| E6705203 (6724686) | | | | 116 |
| E6705204 (6724687) | | | | 174 |
| E6705205 (6724688) | | | | 159 |
| E6705206 (6724689) | | | | 123 |

Comments: RDL - Reported Detection Limit

6724638-6724689 As, Sb values may be low due to digestion losses.

Certified By:



Certificate of Analysis

AGAT WORK ORDER: 150994177

PROJECT: 1388

5623 McADAM ROAD
 MISSISSAUGA, ONTARIO
 CANADA L4Z 1N9
 TEL (905)501-9998
 FAX (905)501-0589
<http://www.agatlabs.com>

CLIENT NAME: SOQUEM

ATTENTION TO: JEAN-FRANCOIS GAGNON

(201-273) Aqua Regia Digest - Ore Grade Metals Package, ICP-OES finish

DATE SAMPLED: Jul 09, 2015

DATE RECEIVED: Jul 09, 2015

DATE REPORTED: Aug 12, 2015

SAMPLE TYPE: Drill Core

| Analyte: | Cu | Pb | Zn |
|---------------------|-------|-------|-------|
| Unit: | ppm | ppm | ppm |
| Sample ID (AGAT ID) | RDL: | | |
| E6705511 (6724648) | 20570 | - | - |
| E6705161 (6724669) | - | 16980 | 37350 |

Comments: RDL - Reported Detection Limit

Certified By:



Certificate of Analysis

AGAT WORK ORDER: 150994177

PROJECT: 1388

5623 McADAM ROAD
 MISSISSAUGA, ONTARIO
 CANADA L4Z 1N9
 TEL (905)501-9998
 FAX (905)501-0589
<http://www.agatlabs.com>

CLIENT NAME: SOQUEM

ATTENTION TO: JEAN-FRANCOIS GAGNON

(202-052) Fire Assay - Trace Au, ICP-OES finish (ppm)

DATE SAMPLED: Jul 09, 2015

DATE RECEIVED: Jul 09, 2015

DATE REPORTED: Aug 12, 2015

SAMPLE TYPE: Drill Core

| Sample ID (AGAT ID) | Analyte: Unit: RDL: | Sample Login Weight kg | Au ppm | Au-Grav g/t | Au-Average g/t | Au-check- pulp ppm |
|---------------------|---------------------------|---------------------------------|-----------|----------------|-------------------|--------------------------|
| E6705501 (6724638) | | 1.73 | 0.002 | | | |
| E6705502 (6724639) | | 1.29 | <0.001 | | | |
| E6705503 (6724640) | | 1.17 | 0.001 | | | |
| E6705504 (6724641) | | 1.05 | <0.001 | | | |
| E6705505 (6724642) | | 0.78 | 0.006 | | | |
| E6705506 (6724643) | | 1.09 | <0.001 | | | |
| E6705507 (6724644) | | 0.77 | 0.002 | | | |
| E6705508 (6724645) | | 0.91 | <0.001 | | | |
| E6705509 (6724646) | | 0.98 | <0.001 | | | |
| E6705510 (6724647) | | 0.80 | 0.003 | | | |
| E6705511 (6724648) | | 0.14 | 2.15 | 2.13 | 2.14 | |
| E6705512 (6724649) | | 0.85 | 0.002 | | | |
| E6705513 (6724650) | | 0.80 | <0.001 | | | |
| E6705514 (6724651) | | 1.00 | <0.001 | | | |
| E6705515 (6724652) | | 0.81 | <0.001 | | | |
| E6705516 (6724653) | | 0.65 | <0.001 | | | |
| E6705517 (6724654) | | 0.92 | 0.001 | | | |
| E6705518 (6724655) | | 1.33 | 0.001 | | | |
| E6705519 (6724656) | | 1.16 | 0.001 | | | |
| E6705520 (6724657) | | 1.18 | <0.001 | | | |
| E6705521 (6724658) | | 1.04 | <0.001 | | | |
| E6705151 (6724659) | | 0.70 | 0.002 | | | |
| E6705152 (6724660) | | 1.14 | 0.002 | | | |
| E6705153 (6724661) | | 1.85 | <0.001 | | | |
| E6705154 (6724662) | | 1.37 | <0.001 | | | |
| E6705155 (6724663) | | 0.90 | 0.001 | | | |
| E6705156 (6724664) | | 1.15 | <0.001 | | | |
| E6705157 (6724665) | | 1.40 | <0.001 | | | |
| E6705158 (6724666) | | 1.10 | 0.001 | | | |
| E6705159 (6724667) | | 0.91 | <0.001 | | | |
| E6705160 (6724668) | | 1.07 | 0.001 | | | |

Certified By:



Certificate of Analysis

AGAT WORK ORDER: 150994177

PROJECT: 1388

5623 McADAM ROAD
 MISSISSAUGA, ONTARIO
 CANADA L4Z 1N9
 TEL (905)501-9998
 FAX (905)501-0589
<http://www.agatlabs.com>

CLIENT NAME: SOQUEM

ATTENTION TO: JEAN-FRANCOIS GAGNON

(202-052) Fire Assay - Trace Au, ICP-OES finish (ppm)

DATE SAMPLED: Jul 09, 2015

DATE RECEIVED: Jul 09, 2015

DATE REPORTED: Aug 12, 2015

SAMPLE TYPE: Drill Core

| Sample ID (AGAT ID) | Analyte: | Sample Login Weight | Au | Au-Grav | Au-Average | Au-check-pulp |
|---------------------|----------|---------------------|--------|---------|------------|---------------|
| | Unit: | kg | ppm | g/t | g/t | ppm |
| | RDL: | 0.01 | 0.001 | 0.5 | 0.5 | 0.001 |
| E6705161 (6724669) | | 0.15 | 0.891 | | 0.934 | 0.977 |
| E6705162 (6724670) | | 1.58 | 0.001 | | | |
| E6705163 (6724671) | | 1.29 | 0.001 | | | |
| E6705164 (6724672) | | 1.36 | 0.001 | | | |
| E6705165 (6724673) | | 0.91 | <0.001 | | | |
| E6705166 (6724674) | | 1.02 | 0.001 | | | |
| E6705167 (6724675) | | 1.76 | 0.002 | | | |
| E6705168 (6724676) | | 1.28 | 0.001 | | | |
| E6705169 (6724677) | | 1.60 | 0.001 | | | |
| E6705170 (6724678) | | 1.96 | 0.001 | | | |
| E6705101 (6724679) | | 1.15 | 0.002 | | | |
| E6705102 (6724680) | | 1.50 | 0.005 | | | |
| E6705103 (6724681) | | 1.09 | 0.005 | | | |
| E6705104 (6724682) | | 0.94 | 0.002 | | | |
| E6705105 (6724683) | | 1.76 | 0.001 | | | |
| E6705201 (6724684) | | 0.69 | 0.001 | | | |
| E6705202 (6724685) | | 0.92 | 0.003 | | | |
| E6705203 (6724686) | | 1.89 | 0.001 | | | |
| E6705204 (6724687) | | 1.77 | 0.007 | | | |
| E6705205 (6724688) | | 0.89 | <0.001 | | | |
| E6705206 (6724689) | | 0.65 | 0.001 | | | |

Comments: RDL - Reported Detection Limit

Certified By:



CLIENT NAME: SOQUEM

ATTENTION TO: JEAN-FRANCOIS GAGNON

(201-070) 4 Acid Digest - Metals Package, ICP-OES finish

| Parameter | REPLICATE #1 | | | | REPLICATE #2 | | | | REPLICATE #3 | | | | REPLICATE #4 | | | |
|-----------|--------------|----------|-----------|-------|--------------|----------|-----------|-------|--------------|----------|-----------|-------|--------------|----------|-----------|-------|
| | Sample ID | Original | Replicate | RPD | Sample ID | Original | Replicate | RPD | Sample ID | Original | Replicate | RPD | Sample ID | Original | Replicate | RPD |
| Ag | 6724638 | < 0.5 | < 0.5 | 0.0% | 6724654 | < 0.5 | < 0.5 | 0.0% | 6724670 | < 0.5 | < 0.5 | 0.0% | 6724687 | < 0.5 | < 0.5 | 0.0% |
| Al | 6724638 | 7.27 | 6.36 | 13.4% | 6724654 | 6.77 | 6.45 | 4.8% | 6724670 | 7.90 | 7.57 | 4.3% | 6724687 | 6.78 | 7.08 | 4.3% |
| As | 6724638 | < 1 | 5 | | 6724654 | < 1 | < 1 | 0.0% | 6724670 | < 1 | < 1 | 0.0% | 6724687 | 7 | 2 | |
| Ba | 6724638 | 1040 | 998 | 4.1% | 6724654 | 848 | 855 | 0.8% | 6724670 | 277 | 261 | 5.9% | 6724687 | 191 | 229 | 18.1% |
| Be | 6724638 | 0.6 | 0.6 | 0.0% | 6724654 | 0.99 | 0.93 | 6.3% | 6724670 | 0.64 | 0.73 | 13.1% | 6724687 | 0.9 | 0.9 | 0.0% |
| Bi | 6724638 | < 1 | < 1 | 0.0% | 6724654 | < 1 | < 1 | 0.0% | 6724670 | < 1 | < 1 | 0.0% | 6724687 | 2 | 4 | |
| Ca | 6724638 | 0.14 | 0.13 | 7.4% | 6724654 | 1.25 | 1.22 | 2.4% | 6724670 | 5.87 | 5.51 | 6.3% | 6724687 | 0.42 | 0.42 | 0.0% |
| Cd | 6724638 | < 0.5 | < 0.5 | 0.0% | 6724654 | < 0.5 | < 0.5 | 0.0% | 6724670 | 0.77 | 0.65 | 16.9% | 6724687 | < 0.5 | < 0.5 | 0.0% |
| Ce | 6724638 | 20 | 17 | 16.2% | 6724654 | 35 | 33 | 5.9% | 6724670 | 128 | 124 | 3.2% | 6724687 | 42 | 40 | 4.9% |
| Co | 6724638 | < 0.5 | < 0.5 | 0.0% | 6724654 | 12.3 | 12.5 | 1.6% | 6724670 | 34.1 | 35.6 | 4.3% | 6724687 | 57.3 | 54.9 | 4.3% |
| Cr | 6724638 | 82.0 | 82.7 | 0.9% | 6724654 | 220 | 217 | 1.4% | 6724670 | 206 | 205 | 0.5% | 6724687 | 174 | 170 | 2.3% |
| Cu | 6724638 | 3.9 | 4.1 | 5.0% | 6724654 | 22.6 | 23.4 | 3.5% | 6724670 | 93.5 | 86.6 | 7.7% | 6724687 | 247 | 243 | 1.6% |
| Fe | 6724638 | 0.88 | 0.79 | 10.8% | 6724654 | 3.78 | 3.84 | 1.6% | 6724670 | 8.26 | 7.91 | 4.3% | 6724687 | 8.44 | 8.53 | 1.1% |
| Ga | 6724638 | 13 | 12 | 8.0% | 6724654 | 17 | 17 | 0.0% | 6724670 | 21 | 20 | 4.9% | 6724687 | 21 | 19 | 10.0% |
| In | 6724638 | < 1 | 3 | | 6724654 | 2 | 4 | | 6724670 | 7 | 7 | 0.0% | 6724687 | 5 | 5 | 0.0% |
| K | 6724638 | 5.08 | 4.97 | 2.2% | 6724654 | 2.57 | 2.56 | 0.4% | 6724670 | 1.67 | 1.59 | 4.9% | 6724687 | 3.94 | 3.86 | 2.1% |
| La | 6724638 | 10 | 8 | 22.2% | 6724654 | 14 | 13 | 7.4% | 6724670 | 58 | 56 | 3.5% | 6724687 | 19 | 18 | 5.4% |
| Li | 6724638 | 8 | 8 | 0.0% | 6724654 | 36 | 36 | 0.0% | 6724670 | 32 | 30 | 6.5% | 6724687 | 46 | 47 | 2.2% |
| Mg | 6724638 | 0.33 | 0.32 | 3.1% | 6724654 | 1.57 | 1.62 | 3.1% | 6724670 | 4.39 | 4.19 | 4.7% | 6724687 | 1.10 | 1.09 | 0.9% |
| Mn | 6724638 | 103 | 91 | 12.4% | 6724654 | 455 | 466 | 2.4% | 6724670 | 1650 | 1560 | 5.6% | 6724687 | 397 | 402 | 1.3% |
| Mo | 6724638 | 0.7 | 0.9 | 25.0% | 6724654 | 2.0 | 0.6 | | 6724670 | < 0.5 | < 0.5 | 0.0% | 6724687 | 9.4 | 11.7 | |
| Na | 6724638 | 2.11 | 2.07 | 1.9% | 6724654 | 2.58 | 2.55 | 1.2% | 6724670 | 2.08 | 1.96 | 5.9% | 6724687 | 1.66 | 1.62 | 2.4% |
| Ni | 6724638 | 8.3 | 8.1 | 2.4% | 6724654 | 53.7 | 54.4 | 1.3% | 6724670 | 138 | 136 | 1.5% | 6724687 | 69.6 | 67.4 | 3.2% |
| P | 6724638 | 34 | 21 | | 6724654 | 691 | 639 | 7.8% | 6724670 | 971 | 949 | 2.3% | 6724687 | 593 | 519 | 13.3% |
| Pb | 6724638 | 23 | 26 | 12.2% | 6724654 | 14 | 12 | 15.4% | 6724670 | 25 | 20 | | 6724687 | 13 | 13 | 0.0% |
| Rb | 6724638 | 386 | 378 | 2.1% | 6724654 | 322 | 314 | 2.5% | 6724670 | 298 | 294 | 1.4% | 6724687 | 416 | 416 | 0.0% |
| S | 6724638 | < 0.005 | 0.009 | | 6724654 | 0.061 | 0.069 | 12.3% | 6724670 | 0.735 | 0.739 | 0.5% | 6724687 | 3.12 | 3.16 | 1.3% |
| Sb | 6724638 | 2 | < 1 | | 6724654 | 4 | < 1 | | 6724670 | 1 | 4 | | 6724687 | 3 | 4 | 28.6% |
| Sc | 6724638 | 2 | 2 | 0.0% | 6724654 | 10 | 10 | 0.0% | 6724670 | 29 | 28 | 3.5% | 6724687 | 9 | 9 | 0.0% |
| Se | 6724638 | < 10 | < 10 | 0.0% | 6724654 | 31 | 21 | | 6724670 | 15 | 27 | | 6724687 | 19 | 15 | 23.5% |
| Sn | 6724638 | < 5 | < 5 | 0.0% | 6724654 | < 5 | < 5 | 0.0% | 6724670 | < 5 | < 5 | 0.0% | 6724687 | < 5 | < 5 | 0.0% |



CLIENT NAME: SOQUEM

ATTENTION TO: JEAN-FRANCOIS GAGNON

| | | | | | | | | | | | | | | | | |
|----|---------|------|------|-------|---------|------|------|-------|---------|------|------|-------|---------|------|------|-------|
| Sr | 6724638 | 225 | 204 | 9.8% | 6724654 | 333 | 322 | 3.4% | 6724670 | 467 | 445 | 4.8% | 6724687 | 173 | 173 | 0.0% |
| Ta | 6724638 | < 10 | < 10 | 0.0% | 6724654 | < 10 | < 10 | 0.0% | 6724670 | < 10 | < 10 | 0.0% | 6724687 | < 10 | < 10 | 0.0% |
| Te | 6724638 | < 10 | < 10 | 0.0% | 6724654 | 12 | 10 | 18.2% | 6724670 | 18 | 14 | 25.0% | 6724687 | 13 | 13 | 0.0% |
| Th | 6724638 | 6 | 5 | 18.2% | 6724654 | < 5 | < 5 | 0.0% | 6724670 | < 5 | < 5 | 0.0% | 6724687 | 9 | 8 | 11.8% |
| Ti | 6724638 | 0.06 | 0.06 | 0.0% | 6724654 | 0.31 | 0.31 | 0.0% | 6724670 | 0.80 | 0.75 | 6.5% | 6724687 | 0.34 | 0.34 | 0.0% |
| Tl | 6724638 | < 5 | < 5 | 0.0% | 6724654 | < 5 | < 5 | 0.0% | 6724670 | 10 | 5 | | 6724687 | < 5 | 12 | |
| U | 6724638 | < 5 | < 5 | 0.0% | 6724654 | < 5 | < 5 | 0.0% | 6724670 | < 5 | < 5 | 0.0% | 6724687 | < 5 | < 5 | 0.0% |
| V | 6724638 | 8.27 | 8.15 | 1.5% | 6724654 | 80.3 | 80.5 | 0.2% | 6724670 | 247 | 243 | 1.6% | 6724687 | 92.7 | 89.9 | 3.1% |
| W | 6724638 | < 1 | < 1 | 0.0% | 6724654 | 2 | 2 | 0.0% | 6724670 | 3 | < 1 | | 6724687 | 9 | 6 | |
| Y | 6724638 | 2 | 2 | 0.0% | 6724654 | 7 | 7 | 0.0% | 6724670 | 20 | 19 | 5.1% | 6724687 | 5 | 5 | 0.0% |
| Zn | 6724638 | 26.9 | 25.0 | 7.3% | 6724654 | 97.9 | 99.2 | 1.3% | 6724670 | 188 | 156 | 18.6% | 6724687 | 87.8 | 80.1 | 9.2% |
| Zr | 6724638 | 159 | 149 | 6.5% | 6724654 | 126 | 121 | 4.0% | 6724670 | 61 | 62 | 1.6% | 6724687 | 174 | 164 | 5.9% |

(201-273) Aqua Regia Digest - Ore Grade Metals Package, ICP-OES finish

| REPLICATE #1 | | | | | | | | | | | | | | | | |
|--------------|-----------|----------|-----------|------|--|--|--|--|--|--|--|--|--|--|--|--|
| Parameter | Sample ID | Original | Replicate | RPD | | | | | | | | | | | | |
| Pb | 6724669 | 16980 | 16540 | 2.6% | | | | | | | | | | | | |
| Zn | 6724669 | 37350 | 35480 | 5.1% | | | | | | | | | | | | |

(202-052) Fire Assay - Trace Au, ICP-OES finish (ppm)

| REPLICATE #1 | | | | | REPLICATE #2 | | | | REPLICATE #3 | | | | REPLICATE #4 | | | |
|--------------|-----------|----------|-----------|------|--------------|----------|-----------|------|--------------|----------|-----------|------|--------------|----------|-----------|-----|
| Parameter | Sample ID | Original | Replicate | RPD | Sample ID | Original | Replicate | RPD | Sample ID | Original | Replicate | RPD | Sample ID | Original | Replicate | RPD |
| Au | | 0.0121 | 0.0127 | 4.8% | 6724654 | 0.001 | 0.001 | 0.0% | 6724670 | 0.001 | 0.001 | 0.0% | 6724687 | 0.007 | 0.003 | |



CLIENT NAME: SOQUEM

ATTENTION TO: JEAN-FRANCOIS GAGNON

(201-070) 4 Acid Digest - Metals Package, ICP-OES finish

| Parameter | CRM #1 (ref.GSP7J) | | | | CRM #2 (ref.CDN-ME-1304) | | | | CRM #3 (ref.1P5K) | | | | | | | | |
|-----------|--------------------|--------|----------|------------|--------------------------|--------|----------|------------|-------------------|--------|----------|------------|--|--|--|--|--|
| | Expect | Actual | Recovery | Limits | Expect | Actual | Recovery | Limits | Expect | Actual | Recovery | Limits | | | | | |
| Ag | | | | | 34 | 36 | 106% | 90% - 110% | | | | | | | | | |
| Al | 6.96 | 6.25 | 90% | 90% - 110% | | | | | 6.96 | 6.37 | 91% | 90% - 110% | | | | | |
| As | 124 | 116 | 93% | 90% - 110% | | | | | 124 | 113 | 91% | 90% - 110% | | | | | |
| Ba | 186 | 175 | 94% | 90% - 110% | | | | | 186 | 168 | 90% | 90% - 110% | | | | | |
| Ca | 4.01 | 4.15 | 103% | 90% - 110% | | | | | 4.01 | 3.94 | 98% | 90% - 110% | | | | | |
| Ce | 24 | 22 | 91% | 90% - 110% | | | | | 24 | 22 | 91% | 90% - 110% | | | | | |
| Co | 22.1 | 20.9 | 95% | 90% - 110% | | | | | 22.1 | 20.9 | 95% | 90% - 110% | | | | | |
| Cu | 88.6 | 90.1 | 102% | 90% - 110% | 2680 | 2652 | 99% | 90% - 110% | 88.6 | 85.3 | 96% | 90% - 110% | | | | | |
| Fe | 7.56 | 7.55 | 100% | 90% - 110% | | | | | 7.56 | 7.19 | 95% | 90% - 110% | | | | | |
| K | 2.021 | 1.962 | 97% | 90% - 110% | | | | | 2.021 | 1.865 | 92% | 90% - 110% | | | | | |
| Mg | 2.412 | 2.248 | 93% | 90% - 110% | | | | | 2.412 | 2.247 | 93% | 90% - 110% | | | | | |
| Mn | 1510 | 1530 | 101% | 90% - 110% | | | | | 1510 | 1430 | 95% | 90% - 110% | | | | | |
| Na | 0.617 | 0.608 | 99% | 90% - 110% | | | | | 0.617 | 0.575 | 93% | 90% - 110% | | | | | |
| Ni | 77.1 | 77.4 | 100% | 90% - 110% | | | | | 77.1 | 75 | 97% | 90% - 110% | | | | | |
| P | 892 | 943 | 106% | 90% - 110% | | | | | 892 | 941 | 106% | 90% - 110% | | | | | |
| Pb | | | | | 2580 | 2535 | 98% | 90% - 110% | | | | | | | | | |
| S | 0.348 | 0.335 | 96% | 90% - 110% | | | | | 0.348 | 0.35 | 101% | 90% - 110% | | | | | |
| Sr | 92.8 | 85.6 | 92% | 90% - 110% | | | | | 92.8 | 85 | 92% | 90% - 110% | | | | | |
| Zn | 208 | 226 | 109% | 90% - 110% | 2200 | 2033 | 92% | 90% - 110% | 208 | 202 | 97% | 90% - 110% | | | | | |

(201-273) Aqua Regia Digest - Ore Grade Metals Package, ICP-OES finish

| Parameter | CRM #1 (ref.CDN-ME-1304) | | | | CRM #2 (ref.GS6D) | | | | CRM #3 (ref.1P5K) | | | | | | | | |
|-----------|--------------------------|--------|----------|------------|-------------------|--------|----------|--------|-------------------|--------|----------|--------|--|--|--|--|--|
| | Expect | Actual | Recovery | Limits | Expect | Actual | Recovery | Limits | Expect | Actual | Recovery | Limits | | | | | |
| Pb | 2580 | 2607 | 101% | 80% - 120% | | | | | | | | | | | | | |
| Zn | 2200 | 2252 | 102% | 80% - 120% | | | | | | | | | | | | | |

(202-052) Fire Assay - Trace Au, ICP-OES finish (ppm)

| Parameter | CRM #1 (ref.GSP7J) | | | | CRM #2 (ref.GS6D) | | | | CRM #3 (ref.1P5K) | | | | | | | | |
|-----------|--------------------|--------|----------|------------|-------------------|--------|----------|------------|-------------------|--------|----------|------------|--|--|--|--|--|
| | Expect | Actual | Recovery | Limits | Expect | Actual | Recovery | Limits | Expect | Actual | Recovery | Limits | | | | | |
| Au | 0.722 | 0.76 | 105% | 90% - 110% | 6.09 | 6.15 | 101% | 90% - 110% | 1.44 | 1.56 | 109% | 90% - 110% | | | | | |

Method Summary

 CLIENT NAME: SOQUEM
 PROJECT: 1388
 SAMPLING SITE:

 AGAT WORK ORDER: 150994177
 ATTENTION TO: JEAN-FRANCOIS GAGNON
 SAMPLED BY:

| PARAMETER | AGAT S.O.P | LITERATURE REFERENCE | ANALYTICAL TECHNIQUE |
|---------------------|---------------------|--|----------------------|
| Solid Analysis | | | |
| Ag | MIN-200-12002/12020 | | ICP/OES |
| Al | MIN-200-12002/12020 | | ICP/OES |
| As | MIN-200-12002/12020 | | ICP/OES |
| Ba | MIN-200-12002/12020 | | ICP/OES |
| Be | MIN-200-12002/12020 | | ICP/OES |
| Bi | MIN-200-12002/12020 | | ICP/OES |
| Ca | MIN-200-12002/12020 | | ICP/OES |
| Cd | MIN-200-12002/12020 | | ICP/OES |
| Ce | MIN-200-12002/12020 | | ICP/OES |
| Co | MIN-200-12002/12020 | | ICP/OES |
| Cr | MIN-200-12002/12020 | | ICP/OES |
| Cu | MIN-200-12002/12020 | | ICP/OES |
| Fe | MIN-200-12002/12020 | | ICP/OES |
| Ga | MIN-200-12002/12020 | | ICP/OES |
| In | MIN-200-12002/12020 | | ICP/OES |
| K | MIN-200-12002/12020 | | ICP/OES |
| La | MIN-200-12002/12020 | | ICP/OES |
| Li | MIN-200-12002/12020 | | ICP/OES |
| Mg | MIN-200-12002/12020 | | ICP/OES |
| Mn | MIN-200-12002/12020 | | ICP/OES |
| Mo | MIN-200-12002/12020 | | ICP/OES |
| Na | MIN-200-12002/12020 | | ICP/OES |
| Ni | MIN-200-12002/12020 | | ICP/OES |
| P | MIN-200-12002/12020 | | ICP/OES |
| Pb | MIN-200-12002/12020 | | ICP/OES |
| Rb | MIN-200-12002/12020 | | ICP/OES |
| S | MIN-200-12002/12020 | | ICP/OES |
| Sb | MIN-200-12002/12020 | | ICP/OES |
| Sc | MIN-200-12002/12020 | | ICP/OES |
| Se | MIN-200-12002/12020 | | ICP/OES |
| Sn | MIN-200-12002/12020 | | ICP/OES |
| Sr | MIN-200-12002/12020 | | ICP/OES |
| Ta | MIN-200-12002/12020 | | ICP/OES |
| Te | MIN-200-12002/12020 | | ICP/OES |
| Th | MIN-200-12002/12020 | | ICP/OES |
| Ti | MIN-200-12002/12020 | | ICP/OES |
| Tl | MIN-200-12002/12020 | | ICP/OES |
| U | MIN-200-12002/12020 | | ICP/OES |
| V | MIN-200-12002/12020 | | ICP/OES |
| W | MIN-200-12002/12020 | | ICP/OES |
| Y | MIN-200-12002/12020 | | ICP/OES |
| Zn | MIN-200-12002/12020 | | ICP/OES |
| Zr | MIN-200-12002/12020 | | ICP/OES |
| Cu | MIN-200-12020 | | ICP/OES |
| Pb | MIN-200-12020 | | ICP/OES |
| Zn | MIN-200-12020 | | ICP/OES |
| Sample Login Weight | MIN-12009 | | BALANCE |
| Au | MIN-200-12006 | BUGBEE, E: A Textbook of Fire Assaying | ICP-OES |



Method Summary

CLIENT NAME: SOQUEM

AGAT WORK ORDER: 150994177

PROJECT: 1388

ATTENTION TO: JEAN-FRANCOIS GAGNON

SAMPLING SITE:

SAMPLED BY:

| PARAMETER | AGAT S.O.P | LITERATURE REFERENCE | ANALYTICAL TECHNIQUE |
|---------------|---------------|----------------------|----------------------|
| Au-Grav | MIN-200-12006 | | GRAVIMETRIC |
| Au-Average | | | GRAVIMETRIC |
| Au-check-pulp | | | ICP/OES |



CLIENT NAME: SOQUEM
600 AVENUE CENTRALE
VAL D'OR, QC J9P1P8
(819) 874-3773

ATTENTION TO: JEAN-FRANCOIS GAGNON

PROJECT: 1388

AGAT WORK ORDER: 150999457

SOLID ANALYSIS REVIEWED BY: Kevin Motomura, Data Review Supervisor

DATE REPORTED: Aug 13, 2015

PAGES (INCLUDING COVER): 25

Should you require any information regarding this analysis please contact your client services representative at (905) 501-9998

*NOTES

All samples are stored at no charge for 90 days. Please contact the lab if you require additional sample storage time.



Certificate of Analysis

AGAT WORK ORDER: 150999457

PROJECT: 1388

5623 McADAM ROAD
MISSISSAUGA, ONTARIO
CANADA L4Z 1N9
TEL (905)501-9998
FAX (905)501-0589
<http://www.agatlabs.com>

CLIENT NAME: SOQUEM

ATTENTION TO: JEAN-FRANCOIS GAGNON

(201-070) 4 Acid Digest - Metals Package, ICP-OES finish

DATE SAMPLED: Jul 23, 2015

DATE RECEIVED: Jul 23, 2015

DATE REPORTED: Aug 13, 2015

SAMPLE TYPE: Rock

| Sample ID (AGAT ID) | Analyte: Unit: RDL: | Sample Login Weight kg | Ag ppm | Al % | As ppm | Ba ppm | Be ppm | Bi ppm | Ca % | Cd ppm | Ce ppm | Co ppm | Cr ppm | Cu ppm | Fe % |
|---------------------|---------------------------|---------------------------------|-----------|---------|-----------|-----------|-----------|-----------|---------|-----------|-----------|-----------|-----------|-----------|---------|
| E6705207 (6772197) | | 1.85 | <0.5 | 7.66 | <1 | 799 | 1.2 | <1 | 1.80 | <0.5 | 30 | 3.4 | 45.7 | 14.7 | 1.96 |
| E6705208 (6772198) | | 0.14 | >100 | 3.25 | 226 | 373 | 0.5 | 13 | 1.79 | 205 | 16 | 22.5 | 75.2 | 3930 | 9.57 |
| E6705209 (6772199) | | 0.91 | <0.5 | 5.97 | <1 | 320 | 0.6 | <1 | 0.50 | 1.0 | 22 | <0.5 | 20.1 | 54.0 | 0.76 |
| E6705210 (6772200) | | 1.29 | <0.5 | 7.99 | <1 | 545 | 1.3 | <1 | 2.46 | <0.5 | 65 | 16.1 | 179 | 14.8 | 4.37 |
| E6705211 (6772201) | | 1.58 | <0.5 | 9.96 | <1 | 774 | 1.5 | <1 | 2.53 | <0.5 | 72 | 17.4 | 149 | 104 | 5.16 |
| E6705212 (6772202) | | 0.98 | <0.5 | 0.33 | <1 | 19 | <0.5 | <1 | 0.06 | <0.5 | 37 | 0.7 | 96.9 | 4.9 | 0.58 |
| E6705213 (6772203) | | 1.29 | <0.5 | 6.35 | <1 | 181 | 1.1 | <1 | 1.63 | 1.0 | 40 | 37.4 | 116 | 153 | 4.21 |
| E6705214 (6772204) | | 1.48 | <0.5 | 6.52 | <1 | 282 | 2.4 | <1 | 4.41 | <0.5 | 53 | 15.1 | 118 | 18.4 | 4.11 |
| E6705215 (6772205) | | 1.25 | <0.5 | 6.66 | <1 | 75 | 2.3 | <1 | 6.22 | 0.5 | 89 | 27.3 | 356 | 15.9 | 5.47 |
| E6705216 (6772206) | | 0.90 | <0.5 | 3.86 | <1 | 340 | 3.0 | <1 | 9.01 | 0.8 | 52 | 40.7 | 2060 | 3.4 | 4.90 |
| E6705217 (6772207) | | 1.65 | <0.5 | 8.03 | <1 | 1060 | 1.8 | <1 | 3.37 | <0.5 | 53 | 9.5 | 154 | 11.1 | 4.29 |
| E6705106 (6772208) | | 1.89 | <0.5 | 8.40 | <1 | 355 | 1.5 | <1 | 4.29 | <0.5 | 71 | 19.7 | 28.3 | 48.8 | 6.45 |
| E6705107 (6772209) | | 0.91 | <0.5 | 8.67 | <1 | 661 | 1.1 | <1 | 2.31 | <0.5 | 79 | 16.5 | 176 | 46.2 | 5.42 |
| E6705108 (6772210) | | 1.06 | <0.5 | 7.06 | <1 | 1620 | 1.3 | <1 | 0.84 | <0.5 | 20 | <0.5 | 17.2 | 3.6 | 0.54 |
| E6705109 (6772211) | | 0.14 | 2.6 | 6.33 | <1 | 552 | 0.7 | 3 | 2.46 | 0.5 | 24 | 19.2 | 44.9 | >10000 | 6.20 |
| E6705110 (6772212) | | 1.51 | <0.5 | 5.02 | 3 | 346 | 1.3 | <1 | 0.05 | <0.5 | 42 | 1.1 | 16.8 | 50.4 | 1.02 |
| E6705111 (6772213) | | 1.96 | <0.5 | 1.92 | <1 | 146 | 0.8 | 2 | 0.02 | <0.5 | 13 | 0.6 | 83.7 | 6.5 | 0.65 |
| E6705112 (6772214) | | 0.75 | <0.5 | 0.14 | 1 | 4 | <0.5 | 2 | <0.01 | <0.5 | 24 | 0.9 | 76.8 | 2.8 | 0.49 |
| E6705113 (6772215) | | 1.68 | <0.5 | 8.14 | <1 | 160 | 3.2 | 3 | 2.16 | <0.5 | 5 | <0.5 | 26.3 | 12.2 | 1.36 |
| E6705114 (6772216) | | 0.87 | 2.9 | 4.20 | <1 | 24 | 2.7 | 7 | 1.18 | 5.3 | 25 | 116 | 74.5 | 528 | 21.4 |
| E6705115 (6772217) | | 0.82 | <0.5 | 0.17 | <1 | 4 | <0.5 | <1 | 0.02 | <0.5 | 26 | 1.4 | 120 | 7.2 | 0.73 |
| E6705116 (6772218) | | 1.08 | <0.5 | 8.57 | <1 | 1300 | 1.2 | <1 | 1.29 | <0.5 | 127 | 4.9 | 90.4 | 26.2 | 2.61 |
| E6705117 (6772219) | | 2.11 | <0.5 | 7.98 | <1 | 278 | 2.1 | <1 | 0.75 | <0.5 | 177 | 15.3 | 105 | 117 | 4.29 |
| E6705118 (6772220) | | 2.03 | 0.6 | 8.37 | <1 | 156 | 1.5 | <1 | 1.15 | 1.0 | 52 | 31.5 | 243 | 151 | 8.64 |
| E6705119 (6772221) | | 1.04 | 0.9 | 6.27 | <1 | 190 | 1.4 | <1 | 0.77 | <0.5 | 43 | 20.5 | 124 | 162 | 13.9 |
| E6705120 (6772222) | | 1.84 | <0.5 | 8.73 | 4 | 1180 | 1.6 | <1 | 1.81 | <0.5 | 48 | 8.4 | 159 | 20.5 | 3.94 |
| E6705121 (6772223) | | 2.22 | <0.5 | 8.85 | <1 | 292 | 1.1 | <1 | 1.39 | 0.7 | 56 | 25.1 | 230 | 173 | 7.10 |
| E6705551 (6772224) | | 1.72 | <0.5 | 7.34 | <1 | 979 | 1.9 | 1 | 0.64 | <0.5 | 23 | <0.5 | 65.8 | 3.1 | 0.67 |
| E6705552 (6772225) | | 0.78 | <0.5 | 6.97 | <1 | 440 | 1.7 | 2 | 1.13 | <0.5 | 33 | 3.7 | 79.6 | 11.4 | 1.97 |
| E6705553 (6772226) | | 1.25 | <0.5 | 8.45 | <1 | 962 | 1.4 | <1 | 5.23 | 0.5 | 45 | 29.6 | 320 | 15.7 | 6.02 |
| E6705522 (6772227) | | 1.18 | <0.5 | 6.87 | <1 | 674 | 1.2 | 2 | 0.63 | <0.5 | 33 | <0.5 | 68.0 | 5.8 | 1.13 |

Certified By:



Certificate of Analysis

AGAT WORK ORDER: 150999457

PROJECT: 1388

5623 McADAM ROAD
MISSISSAUGA, ONTARIO
CANADA L4Z 1N9
TEL (905)501-9998
FAX (905)501-0589
<http://www.agatlabs.com>

CLIENT NAME: SOQUEM

ATTENTION TO: JEAN-FRANCOIS GAGNON

(201-070) 4 Acid Digest - Metals Package, ICP-OES finish

DATE SAMPLED: Jul 23, 2015

DATE RECEIVED: Jul 23, 2015

DATE REPORTED: Aug 13, 2015

SAMPLE TYPE: Rock

| Analyte: | Sample Login Weight | Ag | Al | As | Ba | Be | Bi | Ca | Cd | Ce | Co | Cr | Cu | Fe |
|--------------------|---------------------|------|------|-----|------|------|-----|------|------|-----|------|------|------|------|
| Unit: | kg | ppm | % | ppm | ppm | ppm | ppm | % | ppm | ppm | ppm | ppm | ppm | % |
| RDL: | 0.01 | 0.5 | 0.01 | 1 | 1 | 0.5 | 1 | 0.01 | 0.5 | 1 | 0.5 | 0.5 | 0.5 | 0.01 |
| E6705523 (6772228) | 1.37 | <0.5 | 8.12 | 2 | 669 | 1.4 | <1 | 0.59 | <0.5 | 38 | 4.5 | 172 | 6.0 | 3.21 |
| E6705524 (6772229) | 1.24 | <0.5 | 7.41 | <1 | 170 | 2.8 | <1 | 3.12 | 0.6 | 20 | 18.9 | 161 | 67.7 | 4.37 |
| E6705525 (6772230) | 1.20 | <0.5 | 7.49 | <1 | 1350 | 1.6 | <1 | 0.86 | <0.5 | 24 | <0.5 | 73.6 | 4.3 | 0.65 |
| E6705526 (6772231) | 0.76 | <0.5 | 0.06 | <1 | 7 | <0.5 | <1 | 0.01 | <0.5 | <1 | 0.7 | 106 | 2.6 | 0.48 |
| E6705527 (6772232) | 1.13 | <0.5 | 8.01 | <1 | 1600 | 1.1 | 2 | 1.26 | <0.5 | 20 | <0.5 | 69.7 | 2.4 | 1.06 |
| E6705528 (6772233) | 0.87 | <0.5 | 7.78 | <1 | 636 | 1.1 | <1 | 1.69 | <0.5 | 46 | 4.9 | 74.0 | 5.7 | 2.44 |
| E6705529 (6772234) | 1.02 | 0.8 | 6.18 | <1 | 165 | 0.6 | 2 | 0.31 | <0.5 | 34 | 24.0 | 235 | 164 | 9.82 |
| E6705530 (6772235) | 1.50 | <0.5 | 8.81 | <1 | 259 | 1.8 | <1 | 0.64 | 0.6 | 58 | 26.5 | 131 | 195 | 6.68 |
| E6705531 (6772236) | 0.92 | <0.5 | 0.22 | <1 | 7 | <0.5 | <1 | 0.03 | <0.5 | 36 | <0.5 | 62.1 | 4.0 | 0.36 |
| E6705532 (6772237) | 1.93 | <0.5 | 9.41 | <1 | 343 | 1.8 | <1 | 2.30 | <0.5 | 55 | 22.9 | 226 | 104 | 5.43 |
| E6705533 (6772238) | 1.87 | <0.5 | 4.43 | <1 | 16 | 0.9 | <1 | 0.92 | <0.5 | 89 | 33.2 | 2470 | 3.9 | 5.90 |
| E6705534 (6772239) | 2.28 | 1.8 | 8.25 | <1 | 147 | 1.4 | 2 | 0.67 | 1.8 | 43 | 50.3 | 139 | 177 | 10.8 |
| E6705535 (6772240) | 1.36 | <0.5 | 8.00 | <1 | 741 | 2.4 | <1 | 2.39 | <0.5 | 29 | 10.7 | 185 | 16.9 | 3.78 |
| E6705536 (6772241) | 1.19 | <0.5 | 11.2 | 2 | 707 | 2.1 | <1 | 1.49 | <0.5 | 93 | 2.0 | 192 | 33.3 | 2.46 |
| E6705171 (6772242) | 1.45 | <0.5 | 3.73 | <1 | 8 | <0.5 | 3 | 5.11 | 0.6 | 5 | 96.2 | 2210 | 94.3 | 9.52 |
| E6705172 (6772243) | 2.02 | 1.4 | 0.14 | 18 | 38 | <0.5 | 2 | 0.20 | 0.6 | 2 | 4.3 | 88.2 | 3.6 | 32.0 |
| E6705173 (6772244) | 1.24 | <0.5 | 9.17 | <1 | 700 | 2.5 | <1 | 0.43 | <0.5 | 292 | 3.0 | 30.6 | 12.0 | 2.16 |
| E6705174 (6772245) | 2.26 | <0.5 | 9.00 | <1 | 584 | 2.4 | <1 | 0.38 | <0.5 | 237 | 1.6 | 71.0 | 9.1 | 1.47 |
| E6705175 (6772246) | 0.70 | <0.5 | 5.39 | <1 | 366 | 0.9 | <1 | 9.32 | 0.5 | 44 | 56.6 | 60.7 | 24.6 | 6.46 |
| E6705176 (6772247) | 0.90 | <0.5 | 0.22 | <1 | 10 | <0.5 | 1 | 0.17 | <0.5 | 32 | 1.7 | 306 | 4.1 | 0.42 |
| E6705177 (6772248) | 1.38 | <0.5 | 6.62 | <1 | 760 | 1.7 | <1 | 3.10 | <0.5 | 33 | 17.7 | 337 | 13.7 | 3.23 |
| E6705178 (6772249) | 0.85 | <0.5 | 8.06 | <1 | 899 | 1.1 | 2 | 1.93 | <0.5 | 57 | 12.3 | 311 | 19.0 | 4.31 |
| E6705179 (6772250) | 0.77 | <0.5 | 6.58 | <1 | 77 | <0.5 | <1 | 7.07 | <0.5 | 16 | 46.4 | 116 | 36.7 | 10.4 |
| E6705180 (6772251) | 1.61 | <0.5 | 8.53 | <1 | 267 | 2.8 | <1 | 2.59 | <0.5 | 53 | 4.4 | 165 | 9.7 | 2.43 |
| E6705181 (6772252) | 1.15 | <0.5 | 7.25 | <1 | 165 | <0.5 | 2 | 0.66 | <0.5 | 49 | <0.5 | 32.5 | 1.9 | 0.92 |
| E6705182 (6772253) | 1.90 | <0.5 | 8.79 | <1 | 415 | 1.5 | <1 | 0.21 | <0.5 | 110 | 1.8 | 70.4 | 2.3 | 1.53 |
| E6705183 (6772254) | 1.20 | <0.5 | 7.82 | <1 | 654 | 1.5 | <1 | 1.74 | <0.5 | 21 | 1.1 | 87.9 | 10.8 | 2.15 |
| E6705184 (6772255) | 1.16 | <0.5 | 4.61 | <1 | 292 | 1.5 | <1 | 7.08 | 0.8 | 68 | 50.5 | 767 | 30.4 | 5.32 |
| E6705185 (6772256) | 1.39 | <0.5 | 3.53 | <1 | 295 | 0.6 | <1 | 9.04 | 0.5 | 41 | 46.8 | 1460 | 2.3 | 4.75 |
| E6705186 (6772257) | 1.70 | <0.5 | 7.55 | <1 | 575 | 1.4 | <1 | 1.90 | <0.5 | 32 | 5.4 | 166 | 11.5 | 2.59 |
| E6705187 (6772258) | 1.21 | 1.0 | 7.24 | <1 | 210 | 1.4 | <1 | 1.50 | 1.6 | 44 | 31.4 | 174 | 94.8 | 6.16 |

Certified By:



Certificate of Analysis

AGAT WORK ORDER: 15O999457

PROJECT: 1388

5623 McADAM ROAD
 MISSISSAUGA, ONTARIO
 CANADA L4Z 1N9
 TEL (905)501-9998
 FAX (905)501-0589
<http://www.agatlabs.com>

CLIENT NAME: SOQUEM

ATTENTION TO: JEAN-FRANCOIS GAGNON

(201-070) 4 Acid Digest - Metals Package, ICP-OES finish

DATE SAMPLED: Jul 23, 2015

DATE RECEIVED: Jul 23, 2015

DATE REPORTED: Aug 13, 2015

SAMPLE TYPE: Rock

| Analyte: | Sample Login Weight | Ag | Al | As | Ba | Be | Bi | Ca | Cd | Ce | Co | Cr | Cu | Fe |
|---------------------|---------------------|------|------|-----|-----|------|-----|------|------|-----|------|------|------|------|
| Unit: | kg | ppm | % | ppm | ppm | ppm | ppm | % | ppm | ppm | ppm | ppm | ppm | % |
| RDL: | 0.01 | 0.5 | 0.01 | 1 | 1 | 0.5 | 1 | 0.01 | 0.5 | 1 | 0.5 | 0.5 | 0.5 | 0.01 |
| Sample ID (AGAT ID) | | | | | | | | | | | | | | |
| E6705188 (6772259) | 0.15 | >100 | 3.36 | 116 | 74 | 0.5 | 18 | 1.87 | 199 | 15 | 22.9 | 72.2 | 4210 | 9.98 |
| E6705189 (6772260) | 1.77 | 1.1 | 6.24 | <1 | 165 | 0.9 | <1 | 1.81 | 1.8 | 36 | 34.7 | 270 | 261 | 5.62 |
| E6705190 (6772261) | 1.77 | 0.9 | 8.16 | <1 | 205 | 1.1 | <1 | 2.33 | 0.9 | 46 | 30.4 | 370 | 171 | 5.56 |
| E6705191 (6772262) | 0.65 | <0.5 | 1.62 | <1 | 284 | <0.5 | <1 | 0.17 | <0.5 | 9 | 1.9 | 337 | 13.7 | 0.71 |
| E6705192 (6772263) | 0.63 | 0.6 | 8.18 | <1 | 280 | 1.7 | <1 | 2.87 | 0.9 | 41 | 23.8 | 386 | 166 | 5.70 |
| E6705193 (6772264) | 1.18 | 1.0 | 8.73 | <1 | 335 | 1.1 | <1 | 1.79 | 0.5 | 79 | 35.7 | 266 | 327 | 6.53 |

Certified By:



Certificate of Analysis

AGAT WORK ORDER: 150999457

PROJECT: 1388

5623 McADAM ROAD
 MISSISSAUGA, ONTARIO
 CANADA L4Z 1N9
 TEL (905)501-9998
 FAX (905)501-0589
<http://www.agatlabs.com>

CLIENT NAME: SOQUEM

ATTENTION TO: JEAN-FRANCOIS GAGNON

(201-070) 4 Acid Digest - Metals Package, ICP-OES finish

| DATE SAMPLED: Jul 23, 2015 | DATE RECEIVED: Jul 23, 2015 | | | | | DATE REPORTED: Aug 13, 2015 | | | | | SAMPLE TYPE: Rock | | | | |
|----------------------------|-----------------------------|-----------|--------|-----------|-----------|-----------------------------|-----------|-----------|---------|-----------|-------------------|-----------|-----------|--------|--|
| Analyte: Unit: RDL: | Ga ppm | In ppm | K % | La ppm | Li ppm | Mg % | Mn ppm | Mo ppm | Na % | Ni ppm | P ppm | Pb ppm | Rb ppm | S % | |
| Sample ID (AGAT ID) | 5 | 1 | 0.01 | 2 | 1 | 0.01 | 1 | 0.5 | 0.01 | 0.5 | 10 | 1 | 10 | 0.005 | |
| E6705207 (6772197) | 16 | <1 | 2.07 | 15 | 13 | 0.57 | 204 | 0.7 | 3.51 | 17.4 | 365 | 28 | 199 | 0.011 | |
| E6705208 (6772198) | 12 | 7 | 0.72 | 10 | 21 | 1.81 | 1040 | 20.0 | 0.17 | 33.4 | 408 | >10000 | 49 | 7.90 | |
| E6705209 (6772199) | 13 | <1 | 4.84 | 9 | 2 | 0.06 | 67 | 1.7 | 1.81 | 2.0 | 66 | 120 | 340 | 0.099 | |
| E6705210 (6772200) | 20 | <1 | 2.19 | 31 | 34 | 1.94 | 655 | 1.7 | 2.69 | 60.1 | 900 | 14 | 363 | 0.171 | |
| E6705211 (6772201) | 25 | 5 | 2.73 | 37 | 20 | 1.15 | 500 | 3.9 | 3.75 | 33.0 | 310 | 25 | 300 | 0.891 | |
| E6705212 (6772202) | <5 | <1 | 0.06 | 16 | 7 | 0.03 | 40 | 2.8 | 0.07 | 3.6 | 23 | 4 | <10 | 0.018 | |
| E6705213 (6772203) | 18 | 1 | 0.92 | 19 | 17 | 0.78 | 399 | 5.5 | 2.97 | 84.9 | 415 | 14 | 109 | 1.73 | |
| E6705214 (6772204) | 19 | <1 | 0.56 | 16 | 10 | 2.63 | 1100 | <0.5 | 3.21 | 75.3 | 1200 | 18 | 58 | 0.045 | |
| E6705215 (6772205) | 20 | 4 | 0.47 | 35 | 11 | 4.91 | 1350 | <0.5 | 3.11 | 178 | 1190 | 11 | 31 | 0.052 | |
| E6705216 (6772206) | 16 | <1 | 1.03 | 19 | 15 | 9.77 | 1250 | <0.5 | 0.56 | 695 | 360 | 2 | 180 | <0.005 | |
| E6705217 (6772207) | 20 | <1 | 1.78 | 18 | 31 | 2.11 | 728 | <0.5 | 3.31 | 42.2 | 1780 | 14 | 250 | 0.011 | |
| E6705106 (6772208) | 23 | 6 | 1.26 | 31 | 59 | 1.67 | 1150 | <0.5 | 3.34 | 19.5 | 1270 | 10 | 206 | 0.062 | |
| E6705107 (6772209) | 22 | 3 | 2.39 | 41 | 66 | 1.71 | 784 | <0.5 | 3.08 | 55.2 | 489 | 12 | 358 | 0.461 | |
| E6705108 (6772210) | 15 | <1 | 4.98 | 9 | 3 | 0.05 | 47 | <0.5 | 2.39 | 3.7 | 137 | 29 | 291 | 0.015 | |
| E6705109 (6772211) | 13 | 10 | 1.44 | 12 | 12 | 1.05 | 718 | 1190 | 2.35 | 25.8 | 759 | 28 | 83 | 2.66 | |
| E6705110 (6772212) | 14 | 2 | 2.96 | 29 | 14 | 0.59 | 70 | 2.5 | 0.27 | 3.7 | 123 | 6 | 417 | 0.023 | |
| E6705111 (6772213) | 5 | <1 | 1.10 | 6 | 6 | 0.14 | 40 | 5.2 | 0.03 | 2.4 | <10 | 5 | 124 | 0.014 | |
| E6705112 (6772214) | <5 | <1 | 0.01 | 10 | 7 | <0.01 | 28 | 1.4 | <0.01 | 2.9 | <10 | 4 | <10 | <0.005 | |
| E6705113 (6772215) | 23 | <1 | 1.06 | 3 | 3 | 0.05 | 57 | 27.2 | 4.29 | 2.0 | 47 | 53 | 67 | 0.049 | |
| E6705114 (6772216) | 6 | 3 | 0.85 | 12 | 19 | 0.64 | 417 | 7.9 | 1.58 | 283 | 272 | 6 | 119 | >10 | |
| E6705115 (6772217) | <5 | <1 | 0.02 | 11 | 8 | <0.01 | 38 | 3.0 | 0.02 | 5.3 | 21 | 2 | <10 | 0.127 | |
| E6705116 (6772218) | 23 | 1 | 3.78 | 65 | 14 | 0.75 | 296 | 6.4 | 3.37 | 19.4 | 728 | 47 | 291 | 0.324 | |
| E6705117 (6772219) | 19 | <1 | 2.18 | 82 | 10 | 0.44 | 199 | 3.4 | 3.98 | 37.6 | 390 | 30 | 220 | 1.71 | |
| E6705118 (6772220) | 21 | <1 | 2.24 | 24 | 29 | 2.24 | 812 | 2.7 | 2.76 | 86.1 | 263 | 24 | 235 | 3.20 | |
| E6705119 (6772221) | 13 | <1 | 1.44 | 21 | 12 | 0.65 | 304 | 4.3 | 2.37 | 33.0 | 633 | 14 | 203 | 2.72 | |
| E6705120 (6772222) | 24 | <1 | 3.39 | 24 | 54 | 1.35 | 532 | <0.5 | 3.23 | 39.5 | 605 | 26 | 426 | 0.054 | |
| E6705121 (6772223) | 22 | 5 | 3.28 | 27 | 20 | 1.21 | 476 | 4.6 | 3.17 | 55.5 | 272 | 18 | 383 | 1.86 | |
| E6705551 (6772224) | 21 | <1 | 4.89 | 11 | 6 | 0.11 | 233 | <0.5 | 2.76 | 3.6 | 161 | 20 | 680 | 0.016 | |
| E6705552 (6772225) | 17 | <1 | 1.89 | 15 | 17 | 0.49 | 231 | 0.6 | 3.51 | 16.7 | 397 | 19 | 188 | 0.052 | |
| E6705553 (6772226) | 24 | 2 | 1.86 | 20 | 57 | 4.59 | 1070 | <0.5 | 3.30 | 192 | 694 | 14 | 318 | 0.120 | |
| E6705522 (6772227) | 16 | <1 | 4.25 | 17 | 7 | 0.25 | 159 | 2.9 | 2.85 | 9.8 | 104 | 33 | 366 | 0.026 | |
| E6705523 (6772228) | 21 | 4 | 2.41 | 19 | 36 | 2.33 | 220 | <0.5 | 3.06 | 47.4 | 724 | 9 | 234 | 0.095 | |

Certified By:



Certificate of Analysis

AGAT WORK ORDER: 150999457

PROJECT: 1388

5623 McADAM ROAD
MISSISSAUGA, ONTARIO
CANADA L4Z 1N9
TEL (905)501-9998
FAX (905)501-0589
<http://www.agatlabs.com>

CLIENT NAME: SOQUEM

ATTENTION TO: JEAN-FRANCOIS GAGNON

(201-070) 4 Acid Digest - Metals Package, ICP-OES finish

DATE SAMPLED: Jul 23, 2015

DATE RECEIVED: Jul 23, 2015

DATE REPORTED: Aug 13, 2015

SAMPLE TYPE: Rock

| Analyte: | Ga | In | K | La | Li | Mg | Mn | Mo | Na | Ni | P | Pb | Rb | S |
|--------------------|-----|-----|------|-----|-----|-------|------|------|------|------|------|--------|-----|--------|
| Unit: | ppm | ppm | % | ppm | ppm | % | ppm | ppm | % | ppm | ppm | ppm | ppm | % |
| RDL: | 5 | 1 | 0.01 | 2 | 1 | 0.01 | 1 | 0.5 | 0.01 | 0.5 | 10 | 1 | 10 | 0.005 |
| E6705524 (6772229) | 21 | <1 | 1.17 | 5 | 13 | 1.89 | 1140 | 0.7 | 3.86 | 49.3 | 245 | 30 | 125 | 0.155 |
| E6705525 (6772230) | 18 | <1 | 5.38 | 9 | 7 | 0.16 | 96 | 0.6 | 2.53 | 4.4 | 242 | 31 | 414 | 0.022 |
| E6705526 (6772231) | <5 | <1 | 0.04 | <2 | 1 | <0.01 | 31 | 2.3 | 0.02 | 3.2 | 14 | 3 | <10 | 0.015 |
| E6705527 (6772232) | 18 | 2 | 3.91 | 8 | 11 | 0.29 | 137 | <0.5 | 3.33 | 4.2 | 355 | 31 | 245 | 0.016 |
| E6705528 (6772233) | 19 | <1 | 2.65 | 23 | 25 | 0.64 | 304 | <0.5 | 3.36 | 15.0 | 607 | 23 | 293 | 0.010 |
| E6705529 (6772234) | 15 | 4 | 1.64 | 16 | 26 | 1.15 | 431 | 3.1 | 2.46 | 54.9 | 417 | 7 | 234 | 3.14 |
| E6705530 (6772235) | 20 | 3 | 3.05 | 29 | 20 | 0.69 | 331 | 6.9 | 4.07 | 53.4 | 177 | 26 | 340 | 3.23 |
| E6705531 (6772236) | <5 | <1 | 0.03 | 15 | 7 | 0.02 | 23 | 1.4 | 0.03 | 2.5 | 27 | 2 | <10 | 0.034 |
| E6705532 (6772237) | 24 | <1 | 2.13 | 26 | 18 | 1.04 | 392 | 9.7 | 3.87 | 51.4 | 708 | 27 | 299 | 1.63 |
| E6705533 (6772238) | 27 | <1 | 0.03 | 41 | 118 | 7.03 | 899 | <0.5 | 0.02 | 755 | 777 | 5 | <10 | 0.055 |
| E6705534 (6772239) | 19 | 3 | 4.21 | 19 | 13 | 0.49 | 270 | 2.6 | 3.18 | 96.7 | 149 | 32 | 311 | 3.43 |
| E6705535 (6772240) | 22 | 3 | 2.02 | 13 | 40 | 1.79 | 554 | <0.5 | 3.39 | 47.4 | 970 | 15 | 428 | 0.043 |
| E6705536 (6772241) | 26 | <1 | 3.97 | 46 | 21 | 0.50 | 352 | <0.5 | 5.00 | 9.6 | 328 | 42 | 276 | 0.326 |
| E6705171 (6772242) | 13 | 3 | 1.30 | 3 | 13 | 13.9 | 1570 | <0.5 | 0.63 | 777 | 124 | <1 | 216 | 0.270 |
| E6705172 (6772243) | <5 | 9 | 0.04 | 3 | 2 | 2.25 | 5300 | <0.5 | 0.01 | 5.6 | 54 | <1 | 11 | 0.027 |
| E6705173 (6772244) | 28 | <1 | 7.06 | 135 | 5 | 0.29 | 449 | 1.5 | 3.68 | 9.1 | 778 | 9 | 828 | 0.376 |
| E6705174 (6772245) | 26 | <1 | 6.60 | 138 | 9 | 0.22 | 362 | 1.5 | 3.73 | 3.1 | 465 | 10 | 752 | 0.189 |
| E6705175 (6772246) | 18 | <1 | 2.68 | 14 | 76 | 7.83 | 1070 | <0.5 | 1.22 | 126 | 238 | 4 | 580 | 0.020 |
| E6705176 (6772247) | <5 | <1 | 0.06 | 13 | 8 | 0.13 | 38 | 2.8 | 0.03 | 8.1 | 30 | <1 | <10 | <0.005 |
| E6705177 (6772248) | 18 | <1 | 2.36 | 18 | 40 | 2.81 | 560 | <0.5 | 2.92 | 42.0 | 1450 | 11 | 305 | 0.043 |
| E6705178 (6772249) | 20 | 2 | 2.87 | 30 | 29 | 1.78 | 542 | 2.3 | 3.05 | 47.4 | 715 | 19 | 250 | 0.069 |
| E6705179 (6772250) | 20 | 3 | 0.40 | 5 | 12 | 3.61 | 2340 | <0.5 | 2.00 | 59.3 | 468 | <1 | 35 | 0.076 |
| E6705180 (6772251) | 23 | <1 | 1.09 | 29 | 28 | 0.41 | 443 | 1.6 | 4.11 | 7.6 | 362 | 15 | 165 | 0.021 |
| E6705181 (6772252) | 19 | <1 | 4.93 | 23 | 11 | 0.09 | 351 | <0.5 | 2.70 | 6.6 | 126 | 45 | 398 | 0.008 |
| E6705182 (6772253) | 20 | <1 | 5.79 | 57 | 7 | 0.49 | 68 | <0.5 | 4.18 | 3.3 | 491 | 6 | 516 | 0.031 |
| E6705183 (6772254) | 19 | <1 | 2.63 | 11 | 14 | 0.62 | 251 | <0.5 | 3.33 | 10.3 | 559 | 23 | 216 | 0.040 |
| E6705184 (6772255) | 14 | <1 | 0.67 | 26 | 12 | 6.96 | 1360 | <0.5 | 1.34 | 481 | 881 | 3 | 97 | 0.074 |
| E6705185 (6772256) | 12 | 2 | 0.77 | 14 | 17 | 10.5 | 999 | <0.5 | 0.46 | 730 | 316 | <1 | 112 | <0.005 |
| E6705186 (6772257) | 21 | <1 | 2.73 | 18 | 20 | 0.88 | 396 | 5.2 | 3.12 | 15.2 | 824 | 24 | 270 | 0.025 |
| E6705187 (6772258) | 19 | <1 | 1.37 | 21 | 25 | 1.04 | 560 | 1.5 | 3.34 | 75.7 | 196 | 18 | 191 | 2.80 |
| E6705188 (6772259) | 11 | 7 | 0.75 | 8 | 22 | 1.83 | 1010 | 19.2 | 0.19 | 33.2 | 409 | >10000 | 52 | 8.12 |
| E6705189 (6772260) | 16 | <1 | 1.26 | 17 | 23 | 1.23 | 597 | 28.1 | 2.66 | 94.0 | 534 | 63 | 159 | 2.95 |

Certified By:



Certificate of Analysis

AGAT WORK ORDER: 150999457

PROJECT: 1388

5623 McADAM ROAD
 MISSISSAUGA, ONTARIO
 CANADA L4Z 1N9
 TEL (905)501-9998
 FAX (905)501-0589
<http://www.agatlabs.com>

CLIENT NAME: SOQUEM

ATTENTION TO: JEAN-FRANCOIS GAGNON

(201-070) 4 Acid Digest - Metals Package, ICP-OES finish

DATE SAMPLED: Jul 23, 2015

DATE RECEIVED: Jul 23, 2015

DATE REPORTED: Aug 13, 2015

SAMPLE TYPE: Rock

| Sample ID (AGAT ID) | Analyte: Unit: RDL: | Ga ppm | In ppm | K % | La ppm | Li ppm | Mg % | Mn ppm | Mo ppm | Na % | Ni ppm | P ppm | Pb ppm | Rb ppm | S % |
|---------------------|---------------------------|-----------|-----------|--------|-----------|-----------|---------|-----------|-----------|---------|-----------|----------|-----------|-----------|--------|
| E6705190 (6772261) | | 20 | <1 | 1.71 | 23 | 21 | 1.78 | 961 | 3.1 | 3.10 | 95.3 | 496 | 13 | 176 | 2.60 |
| E6705191 (6772262) | | <5 | <1 | 1.34 | 4 | 2 | 0.06 | 52 | 3.3 | 0.43 | 12.6 | 56 | 12 | 63 | 0.173 |
| E6705192 (6772263) | | 19 | 2 | 1.97 | 17 | 29 | 1.85 | 1010 | <0.5 | 2.45 | 71.6 | 294 | 13 | 364 | 2.06 |
| E6705193 (6772264) | | 22 | <1 | 3.68 | 40 | 32 | 0.99 | 585 | 3.9 | 3.31 | 82.9 | 220 | 20 | 456 | 1.98 |

Certified By:



Certificate of Analysis

AGAT WORK ORDER: 150999457

PROJECT: 1388

5623 McADAM ROAD
MISSISSAUGA, ONTARIO
CANADA L4Z 1N9
TEL (905)501-9998
FAX (905)501-0589
<http://www.agatlabs.com>

CLIENT NAME: SOQUEM

ATTENTION TO: JEAN-FRANCOIS GAGNON

(201-070) 4 Acid Digest - Metals Package, ICP-OES finish

DATE SAMPLED: Jul 23, 2015

DATE RECEIVED: Jul 23, 2015

DATE REPORTED: Aug 13, 2015

SAMPLE TYPE: Rock

| Analyte: | Sb | Sc | Se | Sn | Sr | Ta | Te | Th | Ti | Tl | U | V | W | Y |
|---------------------|-----|-----|-----|-----|------|-----|-----|-----|------|-----|-----|------|-----|-----|
| Unit: | ppm | ppm | ppm | ppm | ppm | ppm | ppm | ppm | % | ppm | ppm | ppm | ppm | ppm |
| RDL: | 1 | 1 | 10 | 5 | 1 | 10 | 10 | 5 | 0.01 | 5 | 5 | 0.5 | 1 | 1 |
| Sample ID (AGAT ID) | | | | | | | | | | | | | | |
| E6705207 (6772197) | <1 | 4 | <10 | <5 | 533 | <10 | 11 | 7 | 0.12 | <5 | <5 | 28.6 | <1 | 5 |
| E6705208 (6772198) | 161 | 7 | 50 | 25 | 69 | <10 | 38 | <5 | 0.10 | 25 | <5 | 72.9 | <1 | 10 |
| E6705209 (6772199) | 3 | <1 | <10 | <5 | 189 | <10 | <10 | 10 | 0.02 | <5 | <5 | 3.5 | <1 | 3 |
| E6705210 (6772200) | 8 | 14 | 20 | <5 | 508 | <10 | <10 | 7 | 0.34 | <5 | <5 | 96.0 | <1 | 9 |
| E6705211 (6772201) | 4 | 14 | 35 | <5 | 675 | <10 | <10 | 13 | 0.42 | <5 | <5 | 134 | <1 | 6 |
| E6705212 (6772202) | <1 | <1 | <10 | <5 | 12 | <10 | <10 | <5 | 0.02 | <5 | <5 | 4.3 | <1 | 4 |
| E6705213 (6772203) | 2 | 13 | 25 | <5 | 391 | <10 | <10 | <5 | 0.22 | <5 | <5 | 80.5 | <1 | 8 |
| E6705214 (6772204) | <1 | 35 | 24 | <5 | 975 | <10 | 11 | <5 | 0.20 | <5 | <5 | 91.0 | <1 | 35 |
| E6705215 (6772205) | <1 | 16 | <10 | <5 | 879 | <10 | 10 | 6 | 0.37 | <5 | <5 | 113 | <1 | 13 |
| E6705216 (6772206) | <1 | 28 | <10 | <5 | 201 | <10 | 11 | <5 | 0.48 | <5 | <5 | 139 | <1 | 10 |
| E6705217 (6772207) | 2 | 9 | 26 | <5 | 975 | <10 | 13 | <5 | 0.35 | <5 | <5 | 76.5 | <1 | 12 |
| E6705106 (6772208) | 1 | 14 | 21 | <5 | 716 | <10 | 11 | <5 | 0.86 | <5 | <5 | 118 | <1 | 17 |
| E6705107 (6772209) | 4 | 16 | 16 | <5 | 538 | <10 | 13 | <5 | 0.45 | <5 | <5 | 118 | <1 | 5 |
| E6705108 (6772210) | 4 | <1 | <10 | <5 | 627 | <10 | <10 | 6 | 0.02 | <5 | <5 | 2.9 | <1 | 2 |
| E6705109 (6772211) | 3 | 11 | 15 | <5 | 386 | <10 | 17 | <5 | 0.30 | 5 | <5 | 99.2 | 11 | 13 |
| E6705110 (6772212) | 2 | 1 | <10 | <5 | 43 | <10 | <10 | 15 | 0.04 | <5 | <5 | 14.1 | <1 | 4 |
| E6705111 (6772213) | <1 | <1 | <10 | <5 | 16 | <10 | <10 | <5 | 0.01 | <5 | <5 | 10.8 | <1 | <1 |
| E6705112 (6772214) | <1 | <1 | <10 | <5 | <1 | <10 | <10 | <5 | 0.01 | <5 | <5 | 1.4 | <1 | 3 |
| E6705113 (6772215) | 5 | <1 | <10 | <5 | 508 | <10 | <10 | 36 | 0.03 | <5 | <5 | 8.1 | <1 | 1 |
| E6705114 (6772216) | <1 | 7 | 21 | <5 | 191 | <10 | 19 | <5 | 0.15 | <5 | <5 | 46.1 | <1 | 7 |
| E6705115 (6772217) | <1 | <1 | <10 | <5 | 3 | <10 | <10 | <5 | 0.02 | <5 | <5 | 1.7 | <1 | 3 |
| E6705116 (6772218) | 3 | 5 | 16 | <5 | 746 | <10 | <10 | 22 | 0.28 | <5 | <5 | 48.1 | <1 | 6 |
| E6705117 (6772219) | 1 | 3 | 18 | <5 | 319 | <10 | 11 | 112 | 0.10 | <5 | 12 | 37.8 | <1 | 11 |
| E6705118 (6772220) | <1 | 14 | 18 | <5 | 326 | <10 | 12 | 9 | 0.36 | 6 | <5 | 117 | <1 | 6 |
| E6705119 (6772221) | <1 | 14 | 17 | <5 | 230 | <10 | 17 | <5 | 0.25 | <5 | <5 | 92.7 | <1 | 7 |
| E6705120 (6772222) | 2 | 12 | 18 | <5 | 628 | <10 | 10 | <5 | 0.35 | <5 | <5 | 82.7 | <1 | 7 |
| E6705121 (6772223) | 4 | 16 | 26 | <5 | 370 | <10 | <10 | 6 | 0.48 | <5 | <5 | 160 | <1 | 9 |
| E6705551 (6772224) | 3 | 4 | <10 | <5 | 474 | <10 | <10 | 7 | 0.06 | <5 | <5 | 7.0 | <1 | 8 |
| E6705552 (6772225) | <1 | 3 | 16 | <5 | 436 | <10 | 10 | 39 | 0.16 | <5 | 10 | 26.2 | <1 | 4 |
| E6705553 (6772226) | 2 | 18 | 15 | <5 | 1120 | <10 | 16 | <5 | 0.39 | <5 | <5 | 145 | <1 | 10 |
| E6705522 (6772227) | 1 | 2 | <10 | <5 | 315 | <10 | <10 | 34 | 0.07 | <5 | 5 | 10.0 | <1 | 4 |
| E6705523 (6772228) | 2 | 9 | 21 | <5 | 314 | <10 | <10 | <5 | 0.27 | <5 | <5 | 71.6 | <1 | 6 |

Certified By:



Certificate of Analysis

AGAT WORK ORDER: 150999457

PROJECT: 1388

5623 McADAM ROAD
MISSISSAUGA, ONTARIO
CANADA L4Z 1N9
TEL (905)501-9998
FAX (905)501-0589
<http://www.agatlabs.com>

CLIENT NAME: SOQUEM

ATTENTION TO: JEAN-FRANCOIS GAGNON

(201-070) 4 Acid Digest - Metals Package, ICP-OES finish

| DATE SAMPLED: Jul 23, 2015 | DATE RECEIVED: Jul 23, 2015 | | | | | DATE REPORTED: Aug 13, 2015 | | | | | SAMPLE TYPE: Rock | | | | |
|----------------------------|-----------------------------|-----|-----|-----|------|-----------------------------|-----|-----|-------|-----|-------------------|------|-----|-----|--|
| Analyte: | Sb | Sc | Se | Sn | Sr | Ta | Te | Th | Ti | Tl | U | V | W | Y | |
| Unit: | ppm | ppm | ppm | ppm | ppm | ppm | ppm | ppm | % | ppm | ppm | ppm | ppm | ppm | |
| RDL: | 1 | 1 | 10 | 5 | 1 | 10 | 10 | 5 | 0.01 | 5 | 5 | 0.5 | 1 | 1 | |
| E6705524 (6772229) | <1 | 26 | <10 | <5 | 374 | <10 | <10 | <5 | 0.18 | <5 | <5 | 89.4 | <1 | 29 | |
| E6705525 (6772230) | <1 | 1 | <10 | <5 | 418 | <10 | <10 | 11 | 0.04 | <5 | <5 | 7.5 | <1 | 4 | |
| E6705526 (6772231) | <1 | <1 | <10 | <5 | 1 | <10 | <10 | <5 | <0.01 | <5 | <5 | <0.5 | <1 | <1 | |
| E6705527 (6772232) | 2 | 2 | <10 | <5 | 1450 | <10 | <10 | <5 | 0.11 | <5 | <5 | 16.3 | <1 | 3 | |
| E6705528 (6772233) | 4 | 5 | <10 | <5 | 471 | <10 | <10 | <5 | 0.25 | <5 | <5 | 36.8 | <1 | 7 | |
| E6705529 (6772234) | 3 | 13 | <10 | <5 | 134 | <10 | <10 | <5 | 0.26 | <5 | <5 | 89.0 | <1 | 8 | |
| E6705530 (6772235) | 1 | 6 | 18 | <5 | 357 | <10 | 11 | 12 | 0.19 | <5 | 15 | 65.9 | <1 | 8 | |
| E6705531 (6772236) | 2 | <1 | <10 | <5 | 1 | <10 | <10 | <5 | 0.02 | <5 | <5 | 1.2 | <1 | 3 | |
| E6705532 (6772237) | 6 | 8 | 11 | <5 | 560 | <10 | <10 | 12 | 0.27 | <5 | <5 | 101 | <1 | 6 | |
| E6705533 (6772238) | 4 | 28 | 11 | <5 | 28 | <10 | 14 | <5 | 0.27 | <5 | <5 | 167 | <1 | 9 | |
| E6705534 (6772239) | <1 | 5 | <10 | <5 | 531 | <10 | 15 | <5 | 0.16 | <5 | <5 | 46.3 | <1 | 5 | |
| E6705535 (6772240) | 6 | 12 | <10 | <5 | 770 | <10 | 10 | <5 | 0.35 | <5 | <5 | 86.6 | <1 | 8 | |
| E6705536 (6772241) | 1 | 10 | <10 | <5 | 551 | <10 | <10 | 5 | 0.27 | <5 | <5 | 118 | <1 | 7 | |
| E6705171 (6772242) | 3 | 26 | <10 | <5 | 48 | <10 | 16 | <5 | 0.25 | <5 | <5 | 156 | <1 | 7 | |
| E6705172 (6772243) | <1 | <1 | 22 | <5 | 21 | <10 | 23 | <5 | <0.01 | <5 | <5 | 4.3 | <1 | 2 | |
| E6705173 (6772244) | 2 | 3 | <10 | <5 | 305 | <10 | 11 | 17 | 0.24 | 5 | <5 | 26.0 | <1 | 25 | |
| E6705174 (6772245) | 5 | 2 | <10 | <5 | 277 | <10 | <10 | 16 | 0.17 | 6 | <5 | 17.4 | <1 | 24 | |
| E6705175 (6772246) | <1 | 33 | <10 | <5 | 507 | <10 | 13 | <5 | 0.58 | 10 | <5 | 225 | <1 | 11 | |
| E6705176 (6772247) | <1 | <1 | <10 | <5 | 7 | <10 | <10 | <5 | 0.03 | <5 | <5 | 5.0 | <1 | 4 | |
| E6705177 (6772248) | <1 | 13 | <10 | <5 | 560 | <10 | 13 | <5 | 0.26 | <5 | <5 | 66.3 | <1 | 7 | |
| E6705178 (6772249) | 4 | 14 | 19 | <5 | 494 | <10 | <10 | <5 | 0.36 | <5 | <5 | 103 | <1 | 7 | |
| E6705179 (6772250) | 4 | 38 | 26 | <5 | 168 | <10 | 15 | <5 | 0.72 | <5 | <5 | 327 | <1 | 24 | |
| E6705180 (6772251) | 2 | 5 | <10 | <5 | 278 | <10 | <10 | 6 | 0.20 | <5 | <5 | 26.1 | <1 | 8 | |
| E6705181 (6772252) | 2 | 3 | <10 | <5 | 57 | <10 | <10 | 19 | 0.05 | <5 | 9 | 4.2 | <1 | 11 | |
| E6705182 (6772253) | 2 | 2 | <10 | <5 | 351 | <10 | <10 | 12 | 0.13 | <5 | <5 | 16.9 | <1 | 7 | |
| E6705183 (6772254) | <1 | 5 | 16 | <5 | 565 | <10 | <10 | <5 | 0.15 | <5 | <5 | 33.7 | <1 | 5 | |
| E6705184 (6772255) | 4 | 27 | 16 | <5 | 665 | <10 | <10 | <5 | 0.22 | <5 | <5 | 137 | <1 | 10 | |
| E6705185 (6772256) | <1 | 28 | <10 | <5 | 278 | <10 | 13 | <5 | 0.21 | <5 | <5 | 120 | <1 | 7 | |
| E6705186 (6772257) | <1 | 6 | 19 | <5 | 472 | <10 | <10 | 10 | 0.27 | <5 | <5 | 48.1 | <1 | 7 | |
| E6705187 (6772258) | 1 | 12 | 34 | <5 | 381 | <10 | <10 | <5 | 0.24 | <5 | <5 | 77.0 | <1 | 7 | |
| E6705188 (6772259) | 149 | 7 | 48 | 21 | 66 | <10 | 31 | <5 | 0.10 | 27 | <5 | 71.7 | <1 | 8 | |
| E6705189 (6772260) | <1 | 13 | 29 | <5 | 399 | <10 | 16 | <5 | 0.25 | <5 | <5 | 78.8 | <1 | 8 | |

Certified By:



Certificate of Analysis

AGAT WORK ORDER: 150999457

PROJECT: 1388

5623 McADAM ROAD
 MISSISSAUGA, ONTARIO
 CANADA L4Z 1N9
 TEL (905)501-9998
 FAX (905)501-0589
<http://www.agatlabs.com>

CLIENT NAME: SOQUEM

ATTENTION TO: JEAN-FRANCOIS GAGNON

(201-070) 4 Acid Digest - Metals Package, ICP-OES finish

| DATE SAMPLED: Jul 23, 2015 | DATE RECEIVED: Jul 23, 2015 | | | | | DATE REPORTED: Aug 13, 2015 | | | | | SAMPLE TYPE: Rock | | | | |
|----------------------------|-----------------------------|-----|-----|-----|-----|-----------------------------|-----|-----|------|-----|-------------------|-----|-----|-----|--|
| Analyte: | Sb | Sc | Se | Sn | Sr | Ta | Te | Th | Ti | Tl | U | V | W | Y | |
| Unit: | ppm | ppm | ppm | ppm | ppm | ppm | ppm | ppm | % | ppm | ppm | ppm | ppm | ppm | |
| Sample ID (AGAT ID) | RDL: | | | | | | | | | | | | | | |
| E6705190 (6772261) | 1 | 19 | <10 | <5 | 419 | <10 | <10 | <5 | 0.28 | <5 | <5 | 126 | <1 | 8 | |
| E6705191 (6772262) | <1 | <1 | <10 | <5 | 84 | <10 | <10 | 7 | 0.02 | <5 | <5 | 5.6 | <1 | <1 | |
| E6705192 (6772263) | 5 | 18 | 29 | <5 | 367 | <10 | 12 | <5 | 0.41 | <5 | <5 | 133 | <1 | 18 | |
| E6705193 (6772264) | 4 | 16 | <10 | <5 | 436 | <10 | <10 | 16 | 0.40 | <5 | <5 | 127 | <1 | 5 | |

Certified By:



Certificate of Analysis

AGAT WORK ORDER: 15O999457

PROJECT: 1388

5623 McADAM ROAD
 MISSISSAUGA, ONTARIO
 CANADA L4Z 1N9
 TEL (905)501-9998
 FAX (905)501-0589
<http://www.agatlabs.com>

CLIENT NAME: SOQUEM

ATTENTION TO: JEAN-FRANCOIS GAGNON

(201-070) 4 Acid Digest - Metals Package, ICP-OES finish

DATE SAMPLED: Jul 23, 2015

DATE RECEIVED: Jul 23, 2015

DATE REPORTED: Aug 13, 2015

SAMPLE TYPE: Rock

| Sample ID (AGAT ID) | Analyte: Unit: RDL: | Zn ppm 0.5 | Zr ppm 5 |
|---------------------|---------------------------|------------------|----------------|
| E6705207 (6772197) | | 38.2 | 76 |
| E6705208 (6772198) | | >10000 | 54 |
| E6705209 (6772199) | | 408 | 13 |
| E6705210 (6772200) | | 107 | 81 |
| E6705211 (6772201) | | 81.9 | 145 |
| E6705212 (6772202) | | 7.6 | 15 |
| E6705213 (6772203) | | 266 | 111 |
| E6705214 (6772204) | | 83.4 | 63 |
| E6705215 (6772205) | | 114 | 96 |
| E6705216 (6772206) | | 140 | 31 |
| E6705217 (6772207) | | 83.5 | 118 |
| E6705106 (6772208) | | 123 | 66 |
| E6705107 (6772209) | | 104 | 96 |
| E6705108 (6772210) | | 9.3 | 43 |
| E6705109 (6772211) | | 81.1 | 39 |
| E6705110 (6772212) | | 12.4 | 120 |
| E6705111 (6772213) | | 2.4 | 32 |
| E6705112 (6772214) | | <0.5 | 10 |
| E6705113 (6772215) | | 12.0 | 271 |
| E6705114 (6772216) | | 476 | 75 |
| E6705115 (6772217) | | <0.5 | 13 |
| E6705116 (6772218) | | 65.5 | 155 |
| E6705117 (6772219) | | 44.4 | 138 |
| E6705118 (6772220) | | 198 | 138 |
| E6705119 (6772221) | | 56.7 | 100 |
| E6705120 (6772222) | | 79.2 | 91 |
| E6705121 (6772223) | | 84.3 | 177 |
| E6705551 (6772224) | | 13.9 | 100 |
| E6705552 (6772225) | | 49.0 | 229 |
| E6705553 (6772226) | | 143 | 43 |
| E6705522 (6772227) | | 19.4 | 134 |
| E6705523 (6772228) | | 49.6 | 109 |

Certified By:



Certificate of Analysis

AGAT WORK ORDER: 150999457

PROJECT: 1388

5623 McADAM ROAD
 MISSISSAUGA, ONTARIO
 CANADA L4Z 1N9
 TEL (905)501-9998
 FAX (905)501-0589
<http://www.agatlabs.com>

CLIENT NAME: SOQUEM

ATTENTION TO: JEAN-FRANCOIS GAGNON

(201-070) 4 Acid Digest - Metals Package, ICP-OES finish

DATE SAMPLED: Jul 23, 2015

DATE RECEIVED: Jul 23, 2015

DATE REPORTED: Aug 13, 2015

SAMPLE TYPE: Rock

| Sample ID (AGAT ID) | Analyte: Unit: RDL: | Zn ppm 0.5 | Zr ppm 5 |
|---------------------|---------------------------|------------------|----------------|
| E6705524 (6772229) | | 129 | 22 |
| E6705525 (6772230) | | 15.5 | 37 |
| E6705526 (6772231) | | <0.5 | <5 |
| E6705527 (6772232) | | 29.2 | 109 |
| E6705528 (6772233) | | 42.6 | 101 |
| E6705529 (6772234) | | 89.0 | 95 |
| E6705530 (6772235) | | 144 | 121 |
| E6705531 (6772236) | | <0.5 | 15 |
| E6705532 (6772237) | | 48.1 | 251 |
| E6705533 (6772238) | | 77.9 | 30 |
| E6705534 (6772239) | | 154 | 95 |
| E6705535 (6772240) | | 74.9 | 80 |
| E6705536 (6772241) | | 56.3 | 181 |
| E6705171 (6772242) | | 102 | 21 |
| E6705172 (6772243) | | 14.9 | <5 |
| E6705173 (6772244) | | 33.1 | 274 |
| E6705174 (6772245) | | 32.8 | 281 |
| E6705175 (6772246) | | 92.7 | 26 |
| E6705176 (6772247) | | 1.4 | 17 |
| E6705177 (6772248) | | 72.0 | 52 |
| E6705178 (6772249) | | 79.2 | 79 |
| E6705179 (6772250) | | 108 | 23 |
| E6705180 (6772251) | | 58.0 | 87 |
| E6705181 (6772252) | | 9.5 | 96 |
| E6705182 (6772253) | | 14.2 | 157 |
| E6705183 (6772254) | | 32.4 | 63 |
| E6705184 (6772255) | | 94.6 | 69 |
| E6705185 (6772256) | | 66.2 | 34 |
| E6705186 (6772257) | | 68.3 | 82 |
| E6705187 (6772258) | | 219 | 70 |
| E6705188 (6772259) | | >10000 | 32 |
| E6705189 (6772260) | | 562 | 107 |

Certified By:



Certificate of Analysis

AGAT WORK ORDER: 150999457

PROJECT: 1388

5623 McADAM ROAD
 MISSISSAUGA, ONTARIO
 CANADA L4Z 1N9
 TEL (905)501-9998
 FAX (905)501-0589
<http://www.agatlabs.com>

CLIENT NAME: SOQUEM

ATTENTION TO: JEAN-FRANCOIS GAGNON

(201-070) 4 Acid Digest - Metals Package, ICP-OES finish

DATE SAMPLED: Jul 23, 2015

DATE RECEIVED: Jul 23, 2015

DATE REPORTED: Aug 13, 2015

SAMPLE TYPE: Rock

| Sample ID (AGAT ID) | Analyte: | Zn | Zr |
|---------------------|----------|------|-----|
| | Unit: | ppm | ppm |
| | RDL: | 0.5 | 5 |
| E6705190 (6772261) | | 272 | 124 |
| E6705191 (6772262) | | 12.6 | 33 |
| E6705192 (6772263) | | 197 | 79 |
| E6705193 (6772264) | | 98.0 | 126 |

Comments: RDL - Reported Detection Limit
 6772197-6772264 As, Sb values may be low due to digestion losses.

Certified By:



Certificate of Analysis

AGAT WORK ORDER: 150999457

PROJECT: 1388

5623 McADAM ROAD
 MISSISSAUGA, ONTARIO
 CANADA L4Z 1N9
 TEL (905)501-9998
 FAX (905)501-0589
<http://www.agatlabs.com>

CLIENT NAME: SOQUEM

ATTENTION TO: JEAN-FRANCOIS GAGNON

(201-273) Aqua Regia Digest - Ore Grade Metals Package, ICP-OES finish

DATE SAMPLED: Jul 23, 2015

DATE RECEIVED: Jul 23, 2015

DATE REPORTED: Aug 13, 2015

SAMPLE TYPE: Rock

| Sample ID (AGAT ID) | Analyte: | Cu | Pb | Zn |
|---------------------|----------|-------|-------|-------|
| | Unit: | ppm | ppm | ppm |
| | RDL: | 2.0 | 2.0 | 2.0 |
| E6705208 (6772198) | | - | 15900 | 32200 |
| E6705109 (6772211) | | 20000 | - | - |
| E6705188 (6772259) | | - | 16200 | 32900 |

Comments: RDL - Reported Detection Limit

Certified By:



Certificate of Analysis

AGAT WORK ORDER: 150999457

PROJECT: 1388

5623 McADAM ROAD
MISSISSAUGA, ONTARIO
CANADA L4Z 1N9
TEL (905)501-9998
FAX (905)501-0589
<http://www.agatlabs.com>

CLIENT NAME: SOQUEM

ATTENTION TO: JEAN-FRANCOIS GAGNON

(202-052) Fire Assay - Trace Au, ICP-OES finish (ppm)

DATE SAMPLED: Jul 23, 2015

DATE RECEIVED: Jul 23, 2015

DATE REPORTED: Aug 13, 2015

SAMPLE TYPE: Rock

| Sample ID (AGAT ID) | Analyte: Unit: RDL: | Au ppm 0.001 | Au-Grav g/t 0.5 | Au-check ppm 0.001 | Au-Average ppm 0.5 |
|---------------------|---------------------------|--------------------|-----------------------|--------------------------|--------------------------|
| E6705207 (6772197) | | 0.001 | | | |
| E6705208 (6772198) | | 0.925 | | 1.00 | 0.963 |
| E6705209 (6772199) | | 0.001 | | | |
| E6705210 (6772200) | | <0.001 | | | |
| E6705211 (6772201) | | 0.002 | | | |
| E6705212 (6772202) | | 0.001 | | | |
| E6705213 (6772203) | | 0.004 | | | |
| E6705214 (6772204) | | 0.002 | | | |
| E6705215 (6772205) | | 0.002 | | | |
| E6705216 (6772206) | | 0.002 | | | |
| E6705217 (6772207) | | 0.012 | | | |
| E6705106 (6772208) | | <0.001 | | | |
| E6705107 (6772209) | | 0.002 | | | |
| E6705108 (6772210) | | 0.002 | | | |
| E6705109 (6772211) | | 2.17 | 2.13 | | 2.15 |
| E6705110 (6772212) | | 0.001 | | | |
| E6705111 (6772213) | | 0.001 | | | |
| E6705112 (6772214) | | 0.002 | | | |
| E6705113 (6772215) | | 0.002 | | | |
| E6705114 (6772216) | | 0.004 | | | |
| E6705115 (6772217) | | <0.001 | | | |
| E6705116 (6772218) | | 0.004 | | | |
| E6705117 (6772219) | | 0.003 | | | |
| E6705118 (6772220) | | 0.002 | | | |
| E6705119 (6772221) | | <0.001 | | | |
| E6705120 (6772222) | | 0.002 | | | |
| E6705121 (6772223) | | 0.002 | | | |
| E6705551 (6772224) | | 0.002 | | | |
| E6705552 (6772225) | | 0.002 | | | |
| E6705553 (6772226) | | <0.001 | | | |
| E6705522 (6772227) | | 0.002 | | | |
| E6705523 (6772228) | | <0.001 | | | |

Certified By:



Certificate of Analysis

AGAT WORK ORDER: 15O999457

PROJECT: 1388

5623 McADAM ROAD
 MISSISSAUGA, ONTARIO
 CANADA L4Z 1N9
 TEL (905)501-9998
 FAX (905)501-0589
<http://www.agatlabs.com>

CLIENT NAME: SOQUEM

ATTENTION TO: JEAN-FRANCOIS GAGNON

(202-052) Fire Assay - Trace Au, ICP-OES finish (ppm)

DATE SAMPLED: Jul 23, 2015

DATE RECEIVED: Jul 23, 2015

DATE REPORTED: Aug 13, 2015

SAMPLE TYPE: Rock

| Sample ID (AGAT ID) | Analyte: Unit: RDL: | Au ppm 0.001 | Au-Grav g/t 0.5 | Au-check ppm 0.001 | Au-Average ppm 0.5 |
|---------------------|---------------------------|--------------------|-----------------------|--------------------------|--------------------------|
| E6705524 (6772229) | | <0.001 | | | |
| E6705525 (6772230) | | <0.001 | | | |
| E6705526 (6772231) | | 0.001 | | | |
| E6705527 (6772232) | | 0.003 | | | |
| E6705528 (6772233) | | <0.001 | | | |
| E6705529 (6772234) | | 0.001 | | | |
| E6705530 (6772235) | | <0.001 | | | |
| E6705531 (6772236) | | 0.002 | | | |
| E6705532 (6772237) | | 0.003 | | | |
| E6705533 (6772238) | | <0.001 | | | |
| E6705534 (6772239) | | 0.003 | | | |
| E6705535 (6772240) | | 0.002 | | | |
| E6705536 (6772241) | | 0.002 | | | |
| E6705172 (6772243) | | <0.001 | | | |
| E6705173 (6772244) | | <0.001 | | | |
| E6705174 (6772245) | | 0.002 | | | |
| E6705175 (6772246) | | 0.001 | | | |
| E6705176 (6772247) | | 0.002 | | | |
| E6705177 (6772248) | | 0.005 | | | |
| E6705178 (6772249) | | 0.003 | | | |
| E6705179 (6772250) | | 0.001 | | | |
| E6705180 (6772251) | | 0.001 | | | |
| E6705181 (6772252) | | 0.002 | | | |
| E6705182 (6772253) | | 0.002 | | | |
| E6705183 (6772254) | | 0.027 | | | |
| E6705184 (6772255) | | 0.048 | | | |
| E6705185 (6772256) | | 0.128 | | | |
| E6705186 (6772257) | | <0.001 | | | |
| E6705187 (6772258) | | 0.464 | | | |
| E6705188 (6772259) | | 0.932 | | 0.928 | 0.930 |
| E6705189 (6772260) | | 0.223 | | | |
| E6705190 (6772261) | | 0.343 | | | |

Certified By:



Certificate of Analysis

AGAT WORK ORDER: 150999457

PROJECT: 1388

5623 McADAM ROAD
MISSISSAUGA, ONTARIO
CANADA L4Z 1N9
TEL (905)501-9998
FAX (905)501-0589
<http://www.agatlabs.com>

CLIENT NAME: SOQUEM

ATTENTION TO: JEAN-FRANCOIS GAGNON

(202-052) Fire Assay - Trace Au, ICP-OES finish (ppm)

DATE SAMPLED: Jul 23, 2015

DATE RECEIVED: Jul 23, 2015

DATE REPORTED: Aug 13, 2015

SAMPLE TYPE: Rock

| Sample ID (AGAT ID) | Analyte: | Au | Au-Grav | Au-check | Au-Average |
|---------------------|----------|-------|---------|----------|------------|
| | Unit: | ppm | g/t | ppm | ppm |
| | RDL: | 0.001 | 0.5 | 0.001 | 0.5 |
| E6705191 (6772262) | | 0.004 | | | |
| E6705192 (6772263) | | 0.015 | | | |
| E6705193 (6772264) | | 0.002 | | | |

Comments: RDL - Reported Detection Limit

Certified By:



Certificate of Analysis

AGAT WORK ORDER: 150999457

PROJECT: 1388

5623 McADAM ROAD
MISSISSAUGA, ONTARIO
CANADA L4Z 1N9
TEL (905)501-9998
FAX (905)501-0589
<http://www.agatlabs.com>

CLIENT NAME: SOQUEM

ATTENTION TO: JEAN-FRANCOIS GAGNON

(202-055) Fire Assay - Au, Pt, Pd Trace Levels, ICP-OES finish

DATE SAMPLED: Jul 23, 2015

DATE RECEIVED: Jul 23, 2015

DATE REPORTED: Aug 13, 2015

SAMPLE TYPE: Rock

| Analyte: | Au | Pd | Pt |
|---------------------|-------|-------|-------|
| Unit: | ppm | ppm | ppm |
| Sample ID (AGAT ID) | RDL: | | |
| E6705171 (6772242) | 0.001 | 0.016 | 0.009 |

Comments: RDL - Reported Detection Limit

Certified By:



CLIENT NAME: SOQUEM

ATTENTION TO: JEAN-FRANCOIS GAGNON

(201-070) 4 Acid Digest - Metals Package, ICP-OES finish

| Parameter | REPLICATE #1 | | | | REPLICATE #2 | | | | REPLICATE #3 | | | | REPLICATE #4 | | | |
|-----------|--------------|----------|-----------|-------|--------------|----------|-----------|-------|--------------|----------|-----------|-------|--------------|----------|-----------|-------|
| | Sample ID | Original | Replicate | RPD | Sample ID | Original | Replicate | RPD | Sample ID | Original | Replicate | RPD | Sample ID | Original | Replicate | RPD |
| Ag | 6772197 | < 0.5 | < 0.5 | 0.0% | 6772213 | < 0.5 | < 0.5 | 0.0% | 6772229 | < 0.5 | < 0.5 | 0.0% | 6772246 | < 0.5 | < 0.5 | 0.0% |
| Al | 6772197 | 7.66 | 7.60 | 0.8% | 6772213 | 1.92 | 1.88 | 2.1% | 6772229 | 7.41 | 7.15 | 3.6% | 6772246 | 5.39 | 5.35 | 0.7% |
| As | 6772197 | < 1 | < 1 | 0.0% | 6772213 | < 1 | < 1 | 0.0% | 6772229 | < 1 | 3 | | 6772246 | < 1 | < 1 | 0.0% |
| Ba | 6772197 | 799 | 756 | 5.5% | 6772213 | 146 | 141 | 3.5% | 6772229 | 170 | 160 | 6.1% | 6772246 | 366 | 356 | 2.8% |
| Be | 6772197 | 1.24 | 1.31 | 5.5% | 6772213 | 0.77 | 0.75 | 2.6% | 6772229 | 2.8 | 2.8 | 0.0% | 6772246 | 0.9 | 1.0 | 10.5% |
| Bi | 6772197 | < 1 | < 1 | 0.0% | 6772213 | 2 | 2 | 0.0% | 6772229 | < 1 | < 1 | 0.0% | 6772246 | < 1 | < 1 | 0.0% |
| Ca | 6772197 | 1.80 | 1.78 | 1.1% | 6772213 | 0.02 | 0.02 | 0.0% | 6772229 | 3.12 | 3.00 | 3.9% | 6772246 | 9.32 | 9.03 | 3.2% |
| Cd | 6772197 | < 0.5 | < 0.5 | 0.0% | 6772213 | < 0.5 | < 0.5 | 0.0% | 6772229 | 0.60 | 0.54 | 10.5% | 6772246 | 0.5 | 0.5 | 0.0% |
| Ce | 6772197 | 30 | 34 | 12.5% | 6772213 | 13 | 13 | 0.0% | 6772229 | 20 | 19 | 5.1% | 6772246 | 44 | 43 | 2.3% |
| Co | 6772197 | 3.35 | 2.89 | 14.7% | 6772213 | 0.57 | 0.65 | 13.1% | 6772229 | 18.9 | 18.3 | 3.2% | 6772246 | 56.6 | 56.2 | 0.7% |
| Cr | 6772197 | 45.7 | 48.2 | 5.3% | 6772213 | 83.7 | 74.5 | 11.6% | 6772229 | 161 | 154 | 4.4% | 6772246 | 60.7 | 63.8 | 5.0% |
| Cu | 6772197 | 14.7 | 13.0 | 12.3% | 6772213 | 6.5 | 5.8 | 11.4% | 6772229 | 67.7 | 64.8 | 4.4% | 6772246 | 24.6 | 24.8 | 0.8% |
| Fe | 6772197 | 1.96 | 1.93 | 1.5% | 6772213 | 0.65 | 0.63 | 3.1% | 6772229 | 4.37 | 4.20 | 4.0% | 6772246 | 6.46 | 6.45 | 0.2% |
| Ga | 6772197 | 16 | 15 | 6.5% | 6772213 | 5 | 5 | 0.0% | 6772229 | 21 | 20 | 4.9% | 6772246 | 18 | 19 | 5.4% |
| In | 6772197 | < 1 | < 1 | 0.0% | 6772213 | < 1 | < 1 | 0.0% | 6772229 | < 1 | 1 | | 6772246 | < 1 | 2 | |
| K | 6772197 | 2.07 | 2.08 | 0.5% | 6772213 | 1.10 | 1.07 | 2.8% | 6772229 | 1.17 | 1.11 | 5.3% | 6772246 | 2.68 | 2.67 | 0.4% |
| La | 6772197 | 15 | 17 | 12.5% | 6772213 | 6 | 6 | 0.0% | 6772229 | 5 | 5 | 0.0% | 6772246 | 14 | 14 | 0.0% |
| Li | 6772197 | 13 | 13 | 0.0% | 6772213 | 6 | 6 | 0.0% | 6772229 | 13 | 12 | 8.0% | 6772246 | 76 | 76 | 0.0% |
| Mg | 6772197 | 0.571 | 0.542 | 5.2% | 6772213 | 0.14 | 0.14 | 0.0% | 6772229 | 1.89 | 1.83 | 3.2% | 6772246 | 7.83 | 7.82 | 0.1% |
| Mn | 6772197 | 204 | 198 | 3.0% | 6772213 | 40 | 40 | 0.0% | 6772229 | 1140 | 1100 | 3.6% | 6772246 | 1070 | 1040 | 2.8% |
| Mo | 6772197 | 0.7 | < 0.5 | | 6772213 | 5.2 | 4.8 | 8.0% | 6772229 | 0.7 | < 0.5 | | 6772246 | < 0.5 | < 0.5 | 0.0% |
| Na | 6772197 | 3.51 | 3.32 | 5.6% | 6772213 | 0.03 | 0.03 | 0.0% | 6772229 | 3.86 | 3.72 | 3.7% | 6772246 | 1.22 | 1.17 | 4.2% |
| Ni | 6772197 | 17.4 | 17.7 | 1.7% | 6772213 | 2.41 | 2.49 | 3.3% | 6772229 | 49.3 | 48.0 | 2.7% | 6772246 | 126 | 126 | 0.0% |
| P | 6772197 | 365 | 369 | 1.1% | 6772213 | < 10 | 13 | | 6772229 | 245 | 243 | 0.8% | 6772246 | 238 | 224 | 6.1% |
| Pb | 6772197 | 28 | 25 | 11.3% | 6772213 | 5 | 3 | | 6772229 | 30 | 26 | 14.3% | 6772246 | 4 | 3 | 28.6% |
| Rb | 6772197 | 199 | 204 | 2.5% | 6772213 | 124 | 126 | 1.6% | 6772229 | 125 | 121 | 3.3% | 6772246 | 580 | 584 | 0.7% |
| S | 6772197 | 0.011 | 0.017 | | 6772213 | 0.014 | 0.010 | | 6772229 | 0.155 | 0.163 | 5.0% | 6772246 | 0.020 | 0.029 | |
| Sb | 6772197 | < 1 | < 1 | 0.0% | 6772213 | < 1 | < 1 | 0.0% | 6772229 | < 1 | < 1 | 0.0% | 6772246 | < 1 | < 1 | 0.0% |
| Sc | 6772197 | 4 | 4 | 0.0% | 6772213 | < 1 | < 1 | 0.0% | 6772229 | 26 | 26 | 0.0% | 6772246 | 33 | 33 | 0.0% |
| Se | 6772197 | < 10 | < 10 | 0.0% | 6772213 | < 10 | < 10 | 0.0% | 6772229 | < 10 | 13 | | 6772246 | < 10 | < 10 | 0.0% |
| Sn | 6772197 | < 5 | < 5 | 0.0% | 6772213 | < 5 | < 5 | 0.0% | 6772229 | < 5 | < 5 | 0.0% | 6772246 | < 5 | < 5 | 0.0% |



CLIENT NAME: SOQUEM

ATTENTION TO: JEAN-FRANCOIS GAGNON

| | | | | | | | | | | | | | | | | |
|----|---------|------|------|-------|---------|------|------|------|---------|-------|-------|-------|---------|-------|-------|-------|
| Sr | 6772197 | 533 | 528 | 0.9% | 6772213 | 16 | 16 | 0.0% | 6772229 | 374 | 363 | 3.0% | 6772246 | 507 | 509 | 0.4% |
| Ta | 6772197 | < 10 | < 10 | 0.0% | 6772213 | < 10 | < 10 | 0.0% | 6772229 | < 10 | < 10 | 0.0% | 6772246 | < 10 | < 10 | 0.0% |
| Te | 6772197 | 11 | 11 | 0.0% | 6772213 | < 10 | < 10 | 0.0% | 6772229 | < 10 | < 10 | 0.0% | 6772246 | 13 | 16 | 20.7% |
| Th | 6772197 | 7 | 9 | 25.0% | 6772213 | < 5 | < 5 | 0.0% | 6772229 | < 5 | < 5 | 0.0% | 6772246 | < 5 | < 5 | 0.0% |
| Ti | 6772197 | 0.12 | 0.12 | 0.0% | 6772213 | 0.01 | 0.01 | 0.0% | 6772229 | 0.178 | 0.170 | 4.6% | 6772246 | 0.577 | 0.542 | 6.3% |
| Tl | 6772197 | < 5 | < 5 | 0.0% | 6772213 | < 5 | < 5 | 0.0% | 6772229 | < 5 | < 5 | 0.0% | 6772246 | 10 | < 5 | |
| U | 6772197 | < 5 | < 5 | 0.0% | 6772213 | < 5 | < 5 | 0.0% | 6772229 | < 5 | < 5 | 0.0% | 6772246 | < 5 | < 5 | 0.0% |
| V | 6772197 | 28.6 | 29.0 | 1.4% | 6772213 | 10.8 | 10.1 | 6.7% | 6772229 | 89.4 | 87.3 | 2.4% | 6772246 | 225 | 220 | 2.2% |
| W | 6772197 | < 1 | < 1 | 0.0% | 6772213 | < 1 | < 1 | 0.0% | 6772229 | < 1 | < 1 | 0.0% | 6772246 | < 1 | < 1 | 0.0% |
| Y | 6772197 | 5 | 5 | 0.0% | 6772213 | < 1 | < 1 | 0.0% | 6772229 | 29 | 29 | 0.0% | 6772246 | 11 | 11 | 0.0% |
| Zn | 6772197 | 38.2 | 28.3 | 29.8% | 6772213 | 2.4 | 8.2 | | 6772229 | 129 | 111 | 15.0% | 6772246 | 92.7 | 93.4 | 0.8% |
| Zr | 6772197 | 76 | 75 | 1.3% | 6772213 | 32 | 32 | 0.0% | 6772229 | 22 | 20 | 9.5% | 6772246 | 26 | 25 | 3.9% |

| | | REPLICATE #5 | | | | | | | | | | | | | | |
|-----------|-----------|--------------|-----------|-------|--|--|--|--|--|--|--|--|--|--|--|--|
| Parameter | Sample ID | Original | Replicate | RPD | | | | | | | | | | | | |
| Ag | 6772264 | 1.0 | 1.0 | 0.0% | | | | | | | | | | | | |
| Al | 6772264 | 8.73 | 9.01 | 3.2% | | | | | | | | | | | | |
| As | 6772264 | < 1 | < 1 | 0.0% | | | | | | | | | | | | |
| Ba | 6772264 | 335 | 299 | 11.4% | | | | | | | | | | | | |
| Be | 6772264 | 1.15 | 1.19 | 3.4% | | | | | | | | | | | | |
| Bi | 6772264 | < 1 | < 1 | 0.0% | | | | | | | | | | | | |
| Ca | 6772264 | 1.79 | 1.82 | 1.7% | | | | | | | | | | | | |
| Cd | 6772264 | 0.51 | 0.56 | 9.3% | | | | | | | | | | | | |
| Ce | 6772264 | 79 | 81 | 2.5% | | | | | | | | | | | | |
| Co | 6772264 | 35.7 | 37.0 | 3.6% | | | | | | | | | | | | |
| Cr | 6772264 | 266 | 277 | 4.1% | | | | | | | | | | | | |
| Cu | 6772264 | 327 | 345 | 5.4% | | | | | | | | | | | | |
| Fe | 6772264 | 6.53 | 6.71 | 2.7% | | | | | | | | | | | | |
| Ga | 6772264 | 22 | 22 | 0.0% | | | | | | | | | | | | |
| In | 6772264 | < 1 | < 1 | 0.0% | | | | | | | | | | | | |
| K | 6772264 | 3.68 | 3.80 | 3.2% | | | | | | | | | | | | |
| La | 6772264 | 40 | 40 | 0.0% | | | | | | | | | | | | |
| Li | 6772264 | 32 | 32 | 0.0% | | | | | | | | | | | | |
| Mg | 6772264 | 0.99 | 1.02 | 3.0% | | | | | | | | | | | | |
| Mn | 6772264 | 585 | 603 | 3.0% | | | | | | | | | | | | |



CLIENT NAME: SOQUEM

ATTENTION TO: JEAN-FRANCOIS GAGNON

| | | | | | | | | | | | | | | | | |
|----|---------|-------|-------|-------|--|--|--|--|--|--|--|--|--|--|--|--|
| Mo | 6772264 | 3.9 | 6.0 | | | | | | | | | | | | | |
| Na | 6772264 | 3.31 | 3.41 | 3.0% | | | | | | | | | | | | |
| Ni | 6772264 | 82.9 | 84.7 | 2.1% | | | | | | | | | | | | |
| P | 6772264 | 220 | 260 | 16.7% | | | | | | | | | | | | |
| Pb | 6772264 | 20 | 26 | 26.1% | | | | | | | | | | | | |
| Rb | 6772264 | 456 | 472 | 3.4% | | | | | | | | | | | | |
| S | 6772264 | 1.98 | 2.05 | 3.5% | | | | | | | | | | | | |
| Sb | 6772264 | 4 | 6 | | | | | | | | | | | | | |
| Sc | 6772264 | 16 | 16 | 0.0% | | | | | | | | | | | | |
| Se | 6772264 | < 10 | 18 | | | | | | | | | | | | | |
| Sn | 6772264 | < 5 | < 5 | 0.0% | | | | | | | | | | | | |
| Sr | 6772264 | 436 | 446 | 2.3% | | | | | | | | | | | | |
| Ta | 6772264 | < 10 | < 10 | 0.0% | | | | | | | | | | | | |
| Te | 6772264 | < 10 | < 10 | 0.0% | | | | | | | | | | | | |
| Th | 6772264 | 16 | 16 | 0.0% | | | | | | | | | | | | |
| Ti | 6772264 | 0.405 | 0.413 | 2.0% | | | | | | | | | | | | |
| Tl | 6772264 | < 5 | < 5 | 0.0% | | | | | | | | | | | | |
| U | 6772264 | < 5 | < 5 | 0.0% | | | | | | | | | | | | |
| V | 6772264 | 127 | 128 | 0.8% | | | | | | | | | | | | |
| W | 6772264 | < 1 | < 1 | 0.0% | | | | | | | | | | | | |
| Y | 6772264 | 5 | 5 | 0.0% | | | | | | | | | | | | |
| Zn | 6772264 | 98.0 | 98.6 | 0.6% | | | | | | | | | | | | |
| Zr | 6772264 | 126 | 122 | 3.2% | | | | | | | | | | | | |

(202-052) Fire Assay - Trace Au, ICP-OES finish (ppm)

| Parameter | REPLICATE #1 | | | | REPLICATE #2 | | | | REPLICATE #3 | | | | REPLICATE #4 | | | |
|-----------|--------------|----------|-----------|------|--------------|----------|-----------|-----|--------------|----------|-----------|------|--------------|----------|-----------|-------|
| | Sample ID | Original | Replicate | RPD | Sample ID | Original | Replicate | RPD | Sample ID | Original | Replicate | RPD | Sample ID | Original | Replicate | RPD |
| Au | 6772262 | 0.0041 | 0.0045 | 9.3% | 6772213 | 0.001 | 0.015 | | 6772229 | < 0.001 | < 0.001 | 0.0% | 6772246 | 0.0012 | 0.0016 | 28.6% |

(202-055) Fire Assay - Au, Pt, Pd Trace Levels, ICP-OES finish

| Parameter | REPLICATE #1 | | | | | | | | | | | | | | | |
|-----------|--------------|----------|-----------|------|--|--|--|--|--|--|--|--|--|--|--|--|
| | Sample ID | Original | Replicate | RPD | | | | | | | | | | | | |
| Au | | < 0.001 | < 0.001 | 0.0% | | | | | | | | | | | | |
| Pd | | 0.004 | 0.002 | | | | | | | | | | | | | |
| Pt | | < 0.005 | < 0.005 | 0.0% | | | | | | | | | | | | |



CLIENT NAME: SOQUEM

ATTENTION TO: JEAN-FRANCOIS GAGNON

(201-070) 4 Acid Digest - Metals Package, ICP-OES finish

| Parameter | CRM #1 (ref.1P5K) | | | | CRM #2 (ref.CDN-ME-1304) | | | | CRM #3 (ref.1P5K) | | | | CRM #4 (ref.CDN-ME-1304) | | | |
|-----------|-------------------|--------|----------|------------|--------------------------|--------|----------|------------|-------------------|--------|----------|------------|--------------------------|--------|----------|------------|
| | Expect | Actual | Recovery | Limits | Expect | Actual | Recovery | Limits | Expect | Actual | Recovery | Limits | Expect | Actual | Recovery | Limits |
| Ag | | | | | 34 | 35 | 102% | 90% - 110% | | | | | 34 | 36 | 106% | 90% - 110% |
| Al | 6.96 | 6.49 | 93% | 90% - 110% | | | | | 6.96 | 6.75 | 97% | 90% - 110% | | | | |
| As | 124 | 118 | 95% | 90% - 110% | | | | | 124 | 113 | 91% | 90% - 110% | | | | |
| Ba | 186 | 173 | 93% | 90% - 110% | | | | | 186 | 182 | 98% | 90% - 110% | | | | |
| Ca | 4.01 | 4.08 | 102% | 90% - 110% | | | | | 4.01 | 4.28 | 107% | 90% - 110% | | | | |
| Ce | 24 | 22 | 94% | 90% - 110% | | | | | 24 | 22 | 90% | 90% - 110% | | | | |
| Co | 22.1 | 20.8 | 94% | 90% - 110% | | | | | 22.1 | 20.7 | 94% | 90% - 110% | | | | |
| Cu | 88.6 | 87.9 | 99% | 90% - 110% | 2680 | 2621 | 98% | 90% - 110% | 88.6 | 91 | 103% | 90% - 110% | 2680 | 2729 | 102% | 90% - 110% |
| Fe | 7.56 | 7.73 | 102% | 90% - 110% | | | | | 7.56 | 8.18 | 108% | 90% - 110% | | | | |
| K | 2.021 | 1.995 | 99% | 90% - 110% | | | | | 2.021 | 2.097 | 104% | 90% - 110% | | | | |
| Mg | 2.412 | 2.309 | 96% | 90% - 110% | | | | | 2.412 | 2.41 | 100% | 90% - 110% | | | | |
| Mn | 1510 | 1610 | 107% | 90% - 110% | | | | | 1510 | 1570 | 104% | 90% - 110% | | | | |
| Na | 0.617 | 0.624 | 101% | 90% - 110% | | | | | 0.617 | 0.647 | 105% | 90% - 110% | | | | |
| Ni | 77.1 | 74.7 | 97% | 90% - 110% | | | | | 77.1 | 77 | 100% | 90% - 110% | | | | |
| P | 892 | 921 | 103% | 90% - 110% | | | | | 892 | 997 | 112% | 90% - 110% | | | | |
| Pb | | | | | 2580 | 2587 | 100% | 90% - 110% | | | | | 2580 | 2611 | 101% | 90% - 110% |
| S | 0.348 | 0.338 | 97% | 90% - 110% | | | | | 0.348 | 0.369 | 106% | 90% - 110% | | | | |
| Sr | 92.8 | 91.9 | 99% | 90% - 110% | | | | | 92.8 | 95.5 | 103% | 90% - 110% | | | | |
| Zn | 208 | 206 | 99% | 90% - 110% | 2200 | 2159 | 98% | 90% - 110% | 208 | 216 | 104% | 90% - 110% | 2200 | 2292 | 104% | 90% - 110% |

(201-273) Aqua Regia Digest - Ore Grade Metals Package, ICP-OES finish

| Parameter | CRM #1 (ref.CDN-ME-1206) | | | | CRM #2 (ref.GS6D) | | | | CRM #3 (ref.1P5K) | | | | CRM #4 (ref.GS6D) | | | |
|-----------|--------------------------|--------|----------|------------|-------------------|--------|----------|--------|-------------------|--------|----------|--------|-------------------|--------|----------|--------|
| | Expect | Actual | Recovery | Limits | Expect | Actual | Recovery | Limits | Expect | Actual | Recovery | Limits | Expect | Actual | Recovery | Limits |
| Cu | 7900 | 7912 | 100% | 80% - 120% | | | | | | | | | | | | |
| Pb | 8010 | 8029 | 100% | 80% - 120% | | | | | | | | | | | | |
| Zn | 23800 | 23810 | 100% | 80% - 120% | | | | | | | | | | | | |

(202-052) Fire Assay - Trace Au, ICP-OES finish (ppm)

| Parameter | CRM #1 (ref.1P5K) | | | | CRM #2 (ref.GS6D) | | | | CRM #3 (ref.1P5K) | | | | CRM #4 (ref.GS6D) | | | |
|-----------|-------------------|--------|----------|------------|-------------------|--------|----------|------------|-------------------|--------|----------|------------|-------------------|--------|----------|------------|
| | Expect | Actual | Recovery | Limits | Expect | Actual | Recovery | Limits | Expect | Actual | Recovery | Limits | Expect | Actual | Recovery | Limits |
| Au | 1.44 | 1.56 | 109% | 90% - 110% | 6.09 | 6.37 | 105% | 90% - 110% | 1.44 | 1.39 | 97% | 90% - 110% | 6.09 | 6.43 | 106% | 90% - 110% |

(202-055) Fire Assay - Au, Pt, Pd Trace Levels, ICP-OES finish



CLIENT NAME: SOQUEM

ATTENTION TO: JEAN-FRANCOIS GAGNON

| Parameter | CRM #1 (ref.1P5K) | | | | CRM #2 (ref.GS6D) | | | | CRM #3 (ref.1P5K) | | | | CRM #4 (ref.GS6D) | | | |
|-----------|-------------------|--------|----------|------------|-------------------|--------|----------|--------|-------------------|--------|----------|--------|-------------------|--------|----------|--------|
| | Expect | Actual | Recovery | Limits | Expect | Actual | Recovery | Limits | Expect | Actual | Recovery | Limits | Expect | Actual | Recovery | Limits |
| Au | 1.44 | 1.39 | 97% | 90% - 110% | | | | | | | | | | | | |

Method Summary

 CLIENT NAME: SOQUEM
 PROJECT: 1388
 SAMPLING SITE:

 AGAT WORK ORDER: 15O999457
 ATTENTION TO: JEAN-FRANCOIS GAGNON
 SAMPLED BY:

| PARAMETER | AGAT S.O.P | LITERATURE REFERENCE | ANALYTICAL TECHNIQUE |
|---------------------|---------------------|--|----------------------|
| Solid Analysis | | | |
| Sample Login Weight | MIN-12009 | | BALANCE |
| Ag | MIN-200-12002/12020 | | ICP/OES |
| Al | MIN-200-12002/12020 | | ICP/OES |
| As | MIN-200-12002/12020 | | ICP/OES |
| Ba | MIN-200-12002/12020 | | ICP/OES |
| Be | MIN-200-12002/12020 | | ICP/OES |
| Bi | MIN-200-12002/12020 | | ICP/OES |
| Ca | MIN-200-12002/12020 | | ICP/OES |
| Cd | MIN-200-12002/12020 | | ICP/OES |
| Ce | MIN-200-12002/12020 | | ICP/OES |
| Co | MIN-200-12002/12020 | | ICP/OES |
| Cr | MIN-200-12002/12020 | | ICP/OES |
| Cu | MIN-200-12002/12020 | | ICP/OES |
| Fe | MIN-200-12002/12020 | | ICP/OES |
| Ga | MIN-200-12002/12020 | | ICP/OES |
| In | MIN-200-12002/12020 | | ICP/OES |
| K | MIN-200-12002/12020 | | ICP/OES |
| La | MIN-200-12002/12020 | | ICP/OES |
| Li | MIN-200-12002/12020 | | ICP/OES |
| Mg | MIN-200-12002/12020 | | ICP/OES |
| Mn | MIN-200-12002/12020 | | ICP/OES |
| Mo | MIN-200-12002/12020 | | ICP/OES |
| Na | MIN-200-12002/12020 | | ICP/OES |
| Ni | MIN-200-12002/12020 | | ICP/OES |
| P | MIN-200-12002/12020 | | ICP/OES |
| Pb | MIN-200-12002/12020 | | ICP/OES |
| Rb | MIN-200-12002/12020 | | ICP/OES |
| S | MIN-200-12002/12020 | | ICP/OES |
| Sb | MIN-200-12002/12020 | | ICP/OES |
| Sc | MIN-200-12002/12020 | | ICP/OES |
| Se | MIN-200-12002/12020 | | ICP/OES |
| Sn | MIN-200-12002/12020 | | ICP/OES |
| Sr | MIN-200-12002/12020 | | ICP/OES |
| Ta | MIN-200-12002/12020 | | ICP/OES |
| Te | MIN-200-12002/12020 | | ICP/OES |
| Th | MIN-200-12002/12020 | | ICP/OES |
| Ti | MIN-200-12002/12020 | | ICP/OES |
| Tl | MIN-200-12002/12020 | | ICP/OES |
| U | MIN-200-12002/12020 | | ICP/OES |
| V | MIN-200-12002/12020 | | ICP/OES |
| W | MIN-200-12002/12020 | | ICP/OES |
| Y | MIN-200-12002/12020 | | ICP/OES |
| Zn | MIN-200-12002/12020 | | ICP/OES |
| Zr | MIN-200-12002/12020 | | ICP/OES |
| Cu | MIN-200-12020 | | ICP/OES |
| Pb | MIN-200-12020 | | ICP/OES |
| Zn | MIN-200-12020 | | ICP/OES |
| Au | MIN-200-12006 | BUGBEE, E: A Textbook of Fire Assaying | ICP-OES |

Method Summary

CLIENT NAME: SOQUEM
 PROJECT: 1388
 SAMPLING SITE:

AGAT WORK ORDER: 150999457
 ATTENTION TO: JEAN-FRANCOIS GAGNON
 SAMPLED BY:

| PARAMETER | AGAT S.O.P | LITERATURE REFERENCE | ANALYTICAL TECHNIQUE |
|------------|---------------|--|----------------------|
| Au-check | | | ICP/OES |
| Au-Grav | MIN-200-12006 | | GRAVIMETRIC |
| Au-Average | | | GRAVIMETRIC |
| Au | MIN-200-12006 | BUGBEE, E: A Textbook of Fire Assaying | ICP/OES |
| Pd | MIN-200-12006 | BUGBEE, E: A Textbook of Fire Assaying | ICP/OES |
| Pt | MIN-200-12006 | BUGBEE, E: A Textbook of Fire Assaying | ICP/OES |

ANNEXE 6 PROTOCOLES D'ANALYSES



Accreditation

AGAT Laboratories is proud to have one of the largest scopes of accreditation in the industry. AGAT Laboratories Mining Division, including all of our sample preparation branch locations, have received ISO 17025 accreditation with the Standards Council of Canada. To achieve this level of accreditation AGAT Laboratories must, at a minimum, provide evidence of:

- Both internal and external audits
- A quality system
- Proper control of documents and records
- Analytical traceability
- Proven competence of personnel
- Ensure method validation
- Evidence of maintenance and calibration of equipment
- Regular, successful proficiency testing

AGAT Laboratories employs BC Certified Assayers on staff and AGAT Laboratories is also proud to be a member of the Council of Advisors for the Board of Assayers.

Blanks, sample replicates, duplicates, and internal reference materials (both aqueous and geochemical standards) are routinely used as part of AGAT Laboratories' Quality Assurance Program.

Aqueous reference materials are from different lot numbers, and manufacturers, than from calibration solutions. Geochemical reference materials are used at least

Method and Reagent blanks are analyzed randomly at least once in every group of up to 30 samples.

Certified reference materials must be weighed and processed at least every 20 samples or once per fusion set if the set is less than 20 samples.

Replicates and duplicates are chosen at random and are processed every 20 samples or once per fusion set if the set is less than 20 samples.

AGAT Laboratories recognizes the importance of quality and TAT on projects. This is why client requested rework is placed at the front of the laboratory queue as a rule rather than the exception.

Samples arrive via courier, client drop-off or picked up by AGAT Laboratories or an AGAT Laboratories representative. Samples are inspected and compared to the Chain of Custody (COC) and logged into the AGAT LIMS program. Deviations from the COC are noted in AGAT's Sample Integrity Report (SIR) and sent immediately to the client via email and posted on the clients AGAT *WebMINING* account.





Division minière ▪ Val' Dor

Code de méthode AGAT: 227022, 227001, 227006 and 227012

PON AGAT: MIN-12008, MIN-12009, MIN-12010, MIN-12011, MIN-200-12012, MIN-12013, MIN-200-12013

Étapes

1. Réception des échantillons - Système de gestion de l'information de laboratoire (LIMS)
2. Division minière, séchage des échantillons géologiques
3. Succursales d'analyse minière, broyage des échantillons minéralogiques
4. Succursales d'analyse minière, réduction des tailles d'échantillons des échantillons minéralogiques
5. Succursales d'analyse minière, fraisage d'échantillons minéralogiques
6. Procédure opérationnelle normalisée pour l'usage d'air comprimé
7. Usage d'air comprimé – succursales d'analyse minière

Réception des échantillons

- Les échantillons arrivent par service de courrier, sont apportés par les clients ou sont cueillis par AGAT Laboratoires ou un représentant AGAT
- Les échantillons sont inspectés et comparés à la chaîne de contrôle et entrés dans le programme LIMS d'AGAT
- Les déviations de la chaîne de contrôle sont notées dans le rapport d'intégrité des échantillons et sont immédiatement envoyées au client par courriel et inscrites dans le compte *WebMINE* du client.

Séchage : Les échantillons spécifiés sont séchés à 60 °C.

Broyage et division : À moins d'instructions contraires du client, les échantillons spécifiés sont broyés jusqu'à ce que 75 % passe à travers un grillage de 10 mèches (2 mm) et divisés à 250 g au moyen d'une fendeuse Jones ou un diviseur rotatif.

Pulvérisation : À moins d'instructions contraires du client, les échantillons spécifiés sont pulvérisés jusqu'à ce que 85 % passe à travers un grillage de 200 mèches (75µm).

Tamisage : Après le séchage, les échantillons spécifiques sont secoués sur un tamis de 80 mèches; les fractions plus sont entreposées et les fractions moins sont envoyées au laboratoire pour être analysées.

Tout l'équipement est nettoyé au quartz et au moyen d'air provenant d'une source d'air comprimé. Des échantillons subdivisés, dédoublés, des échantillons de contrôle et du matériel de référence interne (normes aqueuses et géochimiques) sont couramment utilisés dans le cadre du programme d'assurance de la qualité d'AGAT Laboratoires.

Instruments utilisés

- Le broyeur Rocklabs Boyd Crusher avec RSD Combo, les broyeurs TM Terminator, les pulvérisateurs Tm TM-2 sont couramment utilisés lors des procédures de préparation d'échantillons.



AGAT Laboratoires

Le service au-delà de l'analyse
■ www.agatlabs.com



Code de méthode AGAT: 201 051 et 202 551

PON AGAT: MIN-200-12019

Description: Détermination d'or, de platine et de palladium dans des échantillons géologiques par analyse pyrognostique avec fusion plombreuse et un fini de spectrométrie d'absorption atomique (AAS)

Les échantillons préparés sont fusionnés au moyen de techniques d'analyse pyrognostique acceptées. Ils sont ensuite coupés et séparés dans de l'acide nitrique et de l'acide chlorhydrique. Des échantillons divisés de 30 g sont couramment utilisés, bien que des échantillons de 50 g peuvent également être utilisés (Code AGAT 202 551).

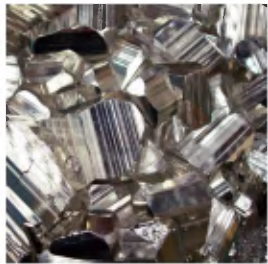
Des échantillons subdivisés, dédoublés, des échantillons de contrôle et du matériel de référence interne (normes aqueuses et géochimiques) sont couramment utilisés dans le cadre du programme d'assurance de la qualité d'AGAT Laboratoires.

Les instruments PerkinElmer AAnalyst 400 AAS sont utilisés pour cette analyse.



AGAT Laboratoires

Le service au-delà de l'analyse
■ www.agatlabs.com



Code de la méthode AGAT: 202055, 202056, 202555,202556

PON AGAT: MIN-200-120006

Description: Détermination d'or, de platine et de palladium dans des échantillons géologiques par analyse pyrognostique avec fusion plombeuse et un fini de spectrométrie d'émission à plasma inductif (ICP-OES) ou un fini de spectrométrie de masse avec plasma à couplage inductif (ICP-MS)

Les échantillons préparés sont fusionnés au moyen de techniques d'analyse pyrognostique acceptées. Ils sont ensuite coupés et séparés dans de l'acide nitrique et de l'acide chlorhydrique. Des échantillons divisés de 30 g sont couramment utilisés. Si des échantillons de 50 g sont requis, alors les méthodes 202 555 ou 202 556 sont utilisées.

Des échantillons subdivisés, dédoublés, des échantillons de contrôle et du matériel de référence interne (normes aqueuses et géochimiques) sont couramment utilisés dans le cadre du programme d'assurance de la qualité d'AGAT Laboratoires.

Les instruments PerkinElmer 7300DV et 8300DV ICP-OES et Elan 9000 ICPMS sont utilisés pour cette analyse.



AGAT Laboratoires

Le service au-delà de l'analyse
■ www.agatlabs.com



AGAT Method Code: 202055, 202056, 202555,202556

AGAT SOP: MIN-200-120006

Method Description: Determination of Gold, Platinum and Palladium in Geological Samples by Lead Fusion Fire Assay with Inductively Coupled Plasma Optical Emission Spectroscopy (ICP-OES) or Inductively Coupled Plasma Mass Spectroscopy Finish.

Prepared samples are fused using accepted fire assay techniques, cupelled and parted in nitric acid and hydrochloric acid. Sample splits of 30g are routinely used. If 50g are required then 202555 or 202556 are used.

Blanks, sample replicates, duplicates, and internal reference materials (both aqueous and geochemical standards) are routinely used as part of AGAT Laboratories quality assurance program.

PerkinElmer 7300DV and 8300DV ICP-OES and Elan 9000 ICPMS instruments are used in the analysis.



AGAT Laboratories

Service Beyond Analysis
■ www.agatlabs.com



Code de méthode AGAT: 202 064, 202 564, 202 066, 202 566

PON AGAT: MIN-200-12004

Description: Détermination d'or et d'argent dans des échantillons minéralogiques par analyse pyrognostique avec fusion plombreuse et un fini gravimétrique

Les échantillons préparés sont fusionnés au moyen de techniques d'analyse pyrognostique acceptées.

Ils sont coupellés, séparés dans de l'acide nitrique et pesés.

Des échantillons divisés de 30 g sont couramment utilisés. Si des échantillons de 50 g sont requis, alors les méthodes 202 564 (Au) ou 202 566 (Ag) sont utilisées.

Des échantillons subdivisés, dédoublés, des échantillons de contrôle et du matériel de référence interne (normes aqueuses et géochimiques) sont couramment utilisés dans le cadre du programme d'assurance de la qualité d'AGAT Laboratoires.

Les microbalances Mettler Todedo XP6 sont utilisées pour cette analyse.



AGAT Laboratoires

Le service au-delà de l'analyse

■ www.agatlabs.com



AGAT Method Code: 202 064, 202 564, 202 066, 202 566

AGAT SOP: MIN-200-12004

Method Description: Determination of Gold and Silver in Mineralogical Samples by Lead Fusion Fire Assay with Gravimetric Finish

Prepared samples are fused using accepted fire assay techniques.

Samples are cupelled, parted in nitric acid and weighed.

Sample splits of 30g are routinely used. If 50g weights are required then 202564 (Au) and 202566 (Ag) are used.

Blanks, sample replicates, duplicates, and internal reference materials (both aqueous and geochemical standards) are routinely used as part of AGAT Laboratories quality assurance program.

Mettler Toledo XP6 microbalances are used in the analysis.



AGAT Laboratories

Service Beyond Analysis
■ www.agatlabs.com



AGAT Method Code: 202 062, 202 562, 202 063, 202 563

AGAT SOP: MIN-200-12006

Method Description: Determination of Gold, Platinum and Palladium in Geological Samples by Lead Fusion Fire Assay with Inductively Coupled Plasma Optical Emission Spectroscopy (ICP-OES) Finish.

Prepared samples are fused using accepted fire assay techniques, cupelled and parted in nitric acid and hydrochloric acid. Sample splits of 30g are routinely used. If 50g are required than 202562 or 202563 are used. 202062 and 202562 refer to gold analysis only. As these samples are considered ore grade a separate stream of analysis is taken from the trace level samples.

Blanks, sample replicates, duplicates, and internal reference materials (both aqueous and geochemical standards) are routinely used as part of AGAT Laboratories quality assurance program.

PerkinElmer 7300DV and 8300DV ICP-OES instruments are used in the analysis.

| Trace Levels - Ore Grade | | | | |
|--------------------------|--|--------|---------|-------------|
| Code | Description | Weight | Analyte | Range (ppm) |
| 202063 | Au, Pt, Pd by Fire Assay, ICP-OES Finish | 30 g | Au | 0.01 - 100 |
| | | | Pt | 0.01 - 100 |
| 202563 | Au, Pt, Pd by Fire Assay, ICP-OES Finish | 50 g | Pd | 0.01 - 100 |



AGAT Laboratories

Service Beyond Analysis
■ www.agatlabs.com



Code de méthode AGAT: 201 070

PON AGAT: MIN-200-12034

Description: Détermination de métaux dans des matériaux géologiques par une digestion quatre acides et un fini de spectrométrie d'émission à plasma inductif (ICP-OES)

Les échantillons préparés sont digérés avec HClO₄, HF, HNO₃ jusqu'au début du séchage. Ils sont ensuite chauffés avec HCl et dilués à 50 ml avec de l'eau désionisée.

Bien que très agressive, la solubilité de certains éléments peut dépendre de l'espèce de minerai présent et par conséquent, les données rapportées par la digestion quatre acides devraient être considérées uniquement comme la portion lixiviable d'un analyte particulier. Certains éléments présentent une faible récupération en raison de la volatilisation (B, As, Hg).

Des échantillons subdivisés, dédoublés, des échantillons de contrôle et du matériel de référence interne (normes aqueuses et géochimiques) sont couramment utilisés dans le cadre du programme d'assurance de la qualité d'AGAT Laboratoires.

Les instruments PerkinElmer 7300DV et 8300DV ICP-OES sont utilisés pour cette analyse. Des techniques de correction inter-élément (CIE) sont utilisées pour corriger toutes interférences spectrales.

| Plage analytique | | | | | |
|------------------|--------------|---------|---------------|---------|--------------|
| Analyte | (ppm) | Analyte | (ppm) | Analyte | (ppm) |
| Ag | 0.5 - 100 | K | 0.01% - 10% | Sc | 1 - 10,000 |
| Al | 0.01% - 50% | La | 2 - 10,000 | Se | 10 - 10,000 |
| As | 1 - 10,000 | Li | 1 - 10,000 | Sn | 5 - 1,000 |
| Ba | 1 - 10,000 | Mg | 0.01% - 50% | Sr | 1 - 10,000 |
| Be | 0.5 - 1,000 | Mn | 1 - 100,000 | Ta | 10 - 1,000 |
| Bi | 1 - 10,000 | Mo | 0.05 - 10,000 | Te | 10 - 1,000 |
| Ca | 0.01% - 50% | Na | 0.01% - 10% | Th | 5 - 10,000 |
| Cd | 0.5 - 1,000 | Ni | 0.5 - 10,000 | Ti | 0.005% - 10% |
| Ce | 1 - 10,000 | P | 10 - 10,000 | Tl | 5 - 10,000 |
| Co | 0.5 - 10,000 | Pb | 1 - 10,000 | U | 5 - 10,000 |
| Cr | 0.5 - 10,000 | P | 50 - 50,000 | V | 0.5 - 10,000 |
| Cu | 0.5 - 10,000 | Pb | 2 - 50,000 | W | 1 - 10,000 |
| Fe | 0.01% - 50% | Rb | 10 - 10,000 | Y | 1 - 1,000 |
| Ga | 5 - 10,000 | S | 0.005% - 10% | Zn | 0.5 - 10,000 |
| In | 1 - 1,000 | Sb | 1 - 10,000 | Zr | 5 - 1,000 |



AGAT Laboratoires

Le service au-delà de l'analyse
■ www.agatlabs.com



AGAT Method Code: 201 070

AGAT SOP: MIN-200-12034

Method Description: Determination of Metals in Geological Material using 4-Acid Digestion and an Inductively Coupled Plasma - Optical Emission Spectroscopy (ICP - OES) Finish

Prepared samples are digested with HClO_4 , HF and HNO_3 and taken to incipient dryness. It is then heated with HCl and diluted to 50mL with de-ionized water.

While very aggressive, the solubility of some elements can be dependent on the mineral species present and as such, data reported from the 4-Acid digestion should be considered as representing only the leachable portion of a particular analyte. Some elements show poor recovery due to volatilization (B, As, Hg).

Blanks, sample replicates, duplicates, and internal reference materials (both aqueous and geochemical standards) are routinely used as part of AGAT Laboratories quality assurance program.

PerkinElmer 7300DV and 8300DV ICP-OES instruments are used in the analysis. Inter-Element Correction (IEC) techniques are used to correct for any spectral interferences.

| Analytical Range | | | | | |
|------------------|--------------|---------|---------------|---------|--------------|
| Analyte | (ppm) | Analyte | (ppm) | Analyte | (ppm) |
| Ag | 0.5 - 100 | K | 0.01% - 10% | Sc | 1 - 10,000 |
| Al | 0.01% - 50% | La | 2 - 10,000 | Se | 10 - 10,000 |
| As | 1 - 10,000 | Li | 1 - 10,000 | Sn | 5 - 1,000 |
| Ba | 1 - 10,000 | Mg | 0.01% - 50% | Sr | 1 - 10,000 |
| Be | 0.5 - 1,000 | Mn | 1 - 100,000 | Ta | 10 - 1,000 |
| Bi | 1 - 10,000 | Mo | 0.05 - 10,000 | Te | 10 - 1,000 |
| Ca | 0.01% - 50% | Na | 0.01% - 10% | Th | 5 - 10,000 |
| Cd | 0.5 - 1,000 | Ni | 0.5 - 10,000 | Ti | 0.005% - 10% |
| Ce | 1 - 10,000 | P | 10 - 10,000 | Tl | 5 - 10,000 |
| Co | 0.5 - 10,000 | Pb | 1 - 10,000 | U | 5 - 10,000 |
| Cr | 0.5 - 10,000 | P | 50 - 50,000 | V | 0.5 - 10,000 |
| Cu | 0.5 - 10,000 | Pb | 2 - 50,000 | W | 1 - 10,000 |
| Fe | 0.01% - 50% | Rb | 10 - 10,000 | Y | 1 - 1,000 |
| Ga | 5 - 10,000 | S | 0.005% - 10% | Zn | 0.5 - 10,000 |
| In | 1 - 1,000 | Sb | 1 - 10,000 | Zr | 5 - 1,000 |





AGAT Method Code: 201 071

AGAT SOP: MIN-200-12035

Method Description: Determination of Metals in Geological Material using Four Acid Digestion and an Inductively Coupled Plasma - Optical Emission Spectroscopy (ICP-OES) and Inductively Coupled Plasma – Mass Spectroscopy (ICP-MS) Finish

Prepared samples are digested with HClO_4 , HF, and HNO_3 and taken to incipient dryness. It is then heated with HCl and diluted to 50mL with de-ionized water.

While very aggressive, the solubility of some elements can be dependent on the mineral species present and as such, data reported from the 4-acid digestion should be considered as representing only the leachable portion of a particular analyte. Some elements show poor recovery due to volatilization (B, As, Hg).

Blanks, sample replicates, duplicates, and internal reference materials (both aqueous and geochemical standards) are routinely used as part of AGAT Laboratories quality assurance program.

PerkinElmer 7300DV and 8300DV ICP-OES and PerkinElmer Elan9000 and NexION ICP-MS instruments are used in the analysis. Inter-Element Correction (IEC) techniques are used to correct for any spectral interferences.

| Analytical Range | | | | | |
|------------------|---------------|---------|---------------|---------|----------------|
| Analyte | (ppm) | Analyte | (ppm) | Analyte | (ppm) |
| Ag | 0.01 - 100 | Hf | 0.1 - 500 | Sb | 0.05 - 10,000 |
| Al | 0.01% - 50% | In | 0.005 - 1,000 | Sc | 0.1 - 10,000 |
| As | 0.2 - 10,000 | K | 0.01% - 10% | Se | 0.5 - 10,000 |
| Ba | 1 - 10,000 | La | 0.5 - 10,000 | Sn | 0.2 - 1,000 |
| Be | 0.05 - 1,000 | Li | 0.1 - 10,000 | Sr | 0.2 - 10,000 |
| Bi | 0.01 - 10,000 | Mg | 0.01% - 50% | Ta | 0.05 - 1,000 |
| Ca | 0.01% - 50% | Mn | 1 - 100,000 | Te | 0.01 - 1,000 |
| Cd | 0.02 - 1,000 | Mo | 0.05 - 10,000 | Th | 0.1 - 10,000 |
| Ce | 0.01 - 10,000 | Na | 0.01% - 10% | Ti | 0.005% - 10% |
| Co | 0.05 - 10,000 | Nb | 0.1 - 500 | Tl | 0.02 - 10,000 |
| Cr | 0.5 - 10,000 | Ni | 0.2 - 10,000 | U | 0.005 - 10,000 |
| Cs | 0.05 - 1,000 | P | 10 - 10,000 | V | 0.5 - 10,000 |
| Cu | 0.2 - 10,000 | Pb | 0.1 - 10,000 | W | 0.1 - 10,000 |
| Fe | 0.01% - 50% | Rb | 0.1 - 10,000 | Y | 0.1 - 1,000 |
| Ga | 0.05 - 10,000 | Re | 0.002 - 50 | Zn | 0.5 - 10,000 |
| Ge | 0.05 - 500 | S | 0.005% - 10% | Zr | 0.5 - 1,000 |





Code de la méthode AGAT: 201 273

PON AGAT: MIN-200-12020

Description: Digestion à l'eau régale suivie d'un fini de spectrométrie d'émission à plasma inductif (ICP-OES)

Les échantillons préparés sont digérés à l'eau régale pendant une heure au moyen de blocs chauds à température contrôlée. Ils sont ensuite dilués à 50 ml avec de l'eau désionisée. Des échantillons divisés de 1 g sont couramment utilisés.

La solubilité des éléments peut dépendre de l'espèce de minerai présent et par conséquent, les données rapportées par le lixiviat d'eau régale devraient être considérées uniquement comme la portion lixiviable d'un analyte particulier.

Des échantillons subdivisés, dédoublés, des échantillons de contrôle et du matériel de référence interne (normes aqueuses et géochimiques) sont couramment utilisés dans le cadre du programme d'assurance de la qualité d'AGAT Laboratoires.

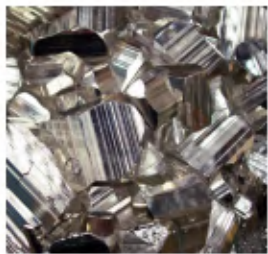
Les instruments PerkinElmer 7300DV et 8300DV ICP-OES sont utilisés pour cette analyse. Des techniques de correction inter-élément (CIE) sont utilisées pour corriger toutes interférences spectrales.

| Gamme Analytique | | | | | |
|------------------|-------------|---------|--------------|---------|-------------|
| Analyte | (ppm) | Analyte | (ppm) | Analyte | (ppm) |
| Ag | 0.5 - 500 | Hg | 5 - 50,000 | Sc | 2 - 50,000 |
| Al | 0.01% - 50% | In | 5 - 5000 | Se | 50 - 50,000 |
| As | 5 - 50,000 | K | 0.01% - 50% | Sn | 20 - 5000 |
| B | 5 - 50,000 | La | 5 - 50,000 | Sr | 2 - 50,000 |
| Ba | 5 - 50,000 | Li | 5 - 50,000 | Ta | 50 - 5000 |
| Be | 1 - 5000 | Mg | 0.01% - 50% | Te | 50 - 5000 |
| Bi | 5 - 50,000 | Mn | 5 - 100,000 | Th | 20 - 50,000 |
| Ca | 0.01% - 50% | Mo | 2 - 50,000 | Ti | 0.01% - 50% |
| Cd | 1 - 5000 | Na | 0.01% - 50% | Tl | 20 - 50,000 |
| Ce | 5 - 50,000 | Ni | 2 - 50,000 | U | 20 - 50,000 |
| Co | 2 - 50,000 | P | 50 - 50,000 | V | 2 - 50,000 |
| Cr | 2 - 50,000 | Pb | 2 - 50,000 | W | 5 - 50,000 |
| Cu | 2 - 50,000 | Rb | 50 - 50,000 | Y | 5 - 5000 |
| Fe | 0.01% - 50% | S | 0.005% - 50% | Zn | 2 - 50,000 |
| Ga | 20 - 50,000 | Sb | 5 - 50,000 | Zr | 20 - 5000 |



AGAT Laboratoires

Le service au-delà de l'analyse
■ www.agatlabs.com



Code de méthode AGAT: 201 078

PON AGAT: MIN-200-12016

Description: Détermination d'éléments du groupe de terres rares et d'autres éléments dans des échantillons minéralogiques par une fusion au borate de lithium et une spectrométrie de masse avec plasma à couplage inductif (ICP-MS)

Les échantillons préparés sont fusionnés avec une combinaison de metaborate de lithium et de tetraborate de lithium dans un four à moufle. La matière fondue résultante est dissoute dans une matrice d'acide nitrique, diluée avec de l'eau désionisée et analysée au moyen d'un spectromètre ICP-MS.

Des échantillons subdivisés, dédoublés, des échantillons de contrôle et du matériel de référence interne (normes aqueuses et géochimiques) sont couramment utilisés dans le cadre du programme d'assurance de la qualité d'AGAT Laboratoires.

Les instruments PerkinElmer Elan9000 et NexION ICP-MS sont utilisés pour cette analyse.

| Plage analytique | | | |
|------------------|----------------|---------|----------------|
| Analyte | ICP-OES/ICP-MS | Analyte | ICP-OES/ICP-MS |
| Ag | 1 - 1000 | Ni | 1 - 10,000 |
| Ba | 0.5 - 50,000 | Pb | 1 - 10,000 |
| Ce | 0.5 - 10,000 | Pr | 0.03 - 1,000 |
| Co | 0.5 - 10,000 | Rb | 0.2 - 10,000 |
| Cr | 10 - 10,000 | Sm | 0.03 - 1,000 |
| Cs | 0.01 - 10,000 | Sn | 1 - 10,000 |
| Cu | 1 - 10,000 | Sr | 0.1 - 10,000 |
| Dy | 0.05 - 1,000 | Ta | 0.1 - 10,000 |
| Er | 0.03 - 1,000 | Tb | 0.01 - 1,000 |
| Eu | 0.03 - 1,000 | Th | 0.05 - 1,000 |
| Ga | 0.01 - 1,000 | Tl | 0.5 - 10,000 |
| Gd | 0.05 - 1,000 | Tm | 0.01 - 1,000 |
| Hf | 0.2 - 10,000 | U | 0.05 - 1,000 |
| Ho | 0.01 - 1,000 | V | 1 - 10,000 |
| La | 0.5 - 10,000 | W | 1 - 10,000 |
| Lu | 0.01 - 1,000 | Y | 0.5 - 10,000 |
| Mo | 2 - 10,000 | Yb | 0.03 - 1,000 |
| Nb | 0.2 - 10,000 | Zn | 1 - 10,000 |
| Nd | 0.05 - 10,000 | Zr | 2 - 10,000 |



AGAT Laboratoires

Le service au-delà de l'analyse
■ www.agatlabs.com



AGAT Method Code: 201 078

AGAT SOP: MIN-200-12016

Method Description: Determination of Rare Earth and Other Elements in Mineralogical Samples using Lithium Borate Fusion and Inductively Coupled Plasma-Mass Spectroscopy (ICP-MS)

Prepared samples are fused with a combination of lithium metaborate and lithium tetraborate in a muffle furnace. The resultant melt is dissolved in a nitric acid matrix, diluted with de-ionized water and analyzed using an ICP-MS spectrometer.

Blanks, sample replicates, duplicates, and internal reference materials (both aqueous and geochemical standards) are routinely used as part of AGAT Laboratories quality assurance program.

PerkinElmer Elan9000 and NexION ICP-MS instruments are used in the analysis.

| Multi Acid Multi - Element Scan Ranges 201089 (ppm) | | | |
|---|----------------|---------|----------------|
| Analyte | ICP-OES/ICP-MS | Analyte | ICP-OES/ICP-MS |
| Ag | 1 - 1000 | Ni | 1 - 10,000 |
| Ba | 0.5 - 50,000 | Pb | 1 - 10,000 |
| Ce | 0.5 - 10,000 | Pr | 0.03 - 1,000 |
| Co | 0.5 - 10,000 | Rb | 0.2 - 10,000 |
| Cr | 10 - 10,000 | Sm | 0.03 - 1,000 |
| Cs | 0.01 - 10,000 | Sn | 1 - 10,000 |
| Cu | 1 - 10,000 | Sr | 0.1 - 10,000 |
| Dy | 0.05 - 1,000 | Ta | 0.1 - 10,000 |
| Er | 0.03 - 1,000 | Tb | 0.01 - 1,000 |
| Eu | 0.03 - 1,000 | Th | 0.05 - 1,000 |
| Ga | 0.01 - 1,000 | Tl | 0.5 - 10,000 |
| Gd | 0.05 - 1,000 | Tm | 0.01 - 1,000 |
| Hf | 0.2 - 10,000 | U | 0.05 - 1,000 |
| Ho | 0.01 - 1,000 | V | 1 - 10,000 |
| La | 0.5 - 10,000 | W | 1 - 10,000 |
| Lu | 0.01 - 1,000 | Y | 0.5 - 10,000 |
| Mo | 2 - 10,000 | Yb | 0.03 - 1,000 |
| Nb | 0.2 - 10,000 | Zn | 1 - 10,000 |
| Nd | 0.05 - 10,000 | Zr | 2 - 10,000 |





AGAT Method Code: 201-088

AGAT SOP: MIN-200-12018

Method Description: Determination of Metals in Geological Material using 4-Acid Digestion with an Inductively Coupled Plasma - Optical Emission Spectroscopy (ICP-OES) Finish with Hg Reported using Aqua Regia Digestion with an Inductively Coupled Plasma - Mass Spectroscopy (ICP-MS) Finish.

Prepared samples are digested with HClO_4 , HF and HNO_3 and taken to incipient dryness. It is then heated with HCl and diluted to 50mL with de-ionized water.

While very aggressive, the solubility of some elements can be dependent on the mineral species present and as such, data reported from the 4-Acid digestion should be considered as representing only the leachable portion of a particular analyte. Some elements show poor recovery due to volatilization (B, As, Hg). Hg is determined using an aqua-regia digestion followed by ICP-MS Finish.

Blanks, sample replicates, duplicates, and internal reference materials (both aqueous and geochemical standards) are routinely used as part of AGAT Laboratories quality assurance program.

PerkinElmer 7300DV and 8300DV ICP-OES instruments and PerkinElmer Elan 9000 ICP-MS instruments are used in the analysis. Inter-Element Correction (IEC) techniques are used to correct for any spectral interferences.

| Analytical Range | | | | | |
|------------------|---------------|---------|---------------|---------|--------------|
| Analyte | (ppm) | Analyte | (ppm) | Analyte | (ppm) |
| Ag | 0.5 - 100 | K | 0.01% - 10% | Se | 10 - 10,000 |
| Al | 0.01% - 50% | La | 2 - 10,000 | Sn | 5 - 1,000 |
| As | 1 - 10,000 | Li | 1 - 10,000 | Sr | 1 - 10,000 |
| Ba | 1 - 10,000 | Mg | 0.01% - 50% | Ta | 10 - 1,000 |
| Be | 0.5 - 1,000 | Mn | 1 - 100,000 | Te | 10 - 1,000 |
| Bi | 1 - 10,000 | Mo | 0.05 - 10,000 | Th | 5 - 10,000 |
| Ca | 0.01% - 50% | Na | 0.01% - 10% | Ti | 0.005% - 10% |
| Cd | 0.5 - 1,000 | Ni | 0.5 - 10,000 | Tl | 5 - 10,000 |
| Ce | 1 - 10,000 | P | 10 - 10,000 | U | 5 - 10,000 |
| Co | 0.5 - 10,000 | Pb | 1 - 10,000 | V | 0.5 - 10,000 |
| Cr | 0.5 - 10,000 | P | 50 - 50,000 | W | 1 - 10,000 |
| Cu | 0.5 - 10,000 | Pb | 2 - 50,000 | Y | 1 - 1,000 |
| Fe | 0.01% - 50% | Rb | 10 - 10,000 | Zn | 0.5 - 10,000 |
| Ga | 5 - 10,000 | S | 0.005% - 10% | Zr | 5 - 1,000 |
| Hg | 0.01 - 10,000 | Sb | 1 - 10,000 | | |
| In | 1 - 1,000 | Sc | 1 - 10,000 | | |





Method Description: Determination of Metals in Geological Samples using 4-Acid Digestion and a Combination of Inductively Coupled Plasma - Optical Emission Spectroscopy (ICP-OES) and Inductively Coupled Plasma - Mass Spectroscopy (ICP-MS) and determination of mercury using aqua regia digestion followed by Cold-Vapour AAS or ICP-MS Finish

Prepared samples are digested with HClO_4 , HF, HNO_3 and taken to dryness. Heated with HCl and diluted to 50 mL with de-ionized water. Sample splits of 0.5 g are routinely used.

While very aggressive, solubility of some elements can be dependent on the mineral species present and as such, data reported from the 4-Acid Digestion should be considered as representing only the leachable portion of a particular analyte. Some elements show poor recovery due to volatilization (Sb, As, Hg).

For the analysis of Hg, prepared samples are digested with aqua regia for one hour using temperature controlled hot blocks. Resulting digests are diluted to 50 mL with de-ionized water. Sample splits of 1 g are routinely used.

Solubility of elements can be dependent on the mineral species present and as such, data reported from the aqua regia leach should be considered as representing only the leachable portion of a particular analyte.

Blanks, sample replicates, duplicates, and internal reference materials (both aqueous and geochemical standards) are routinely used as part of AGAT Laboratories quality assurance program.

PerkinElmer 7300DV and 8300DV ICP-OES instruments, PerkinElmer 9000 and PerkinElmer NexION ICP-MS instruments, and PerkinElmer FIMS 100 CVAAS are used in the analysis. Inter-Element Correction (IEC) techniques are used to correct for any spectral interferences.

Multi Acid Multi-Element Scan Ranges 201089 (ppm)

| Analyte | ICP-OES/ ICP-MS | Analyte | ICP-OES/ ICP-MS | Analyte | ICP-OES/ICP- MS | Analyte | ICP-OES/ ICP-MS |
|---------|--------------------|---------|--------------------|---------|--------------------|---------|--------------------|
| Ag | 0.01-100 | Fe | 0.01-50% | Nb | 0.1-500 | Te | 0.01-1000 |
| Al | 0.01-50% | Ga | 0.05-10,000 | Ni | 0.2-10,000 | Th | 0.1-10,000 |
| As | 0.2-10,000 | Ge | 0.05-500 | P | 10-10,000 | Ti | 0.005-10% |
| Ba | 1-10,000 | Hf | 0.1-500 | Pb | 0.1-10,000 | Tl | 0.005-10% |
| Be | 0.05-1000 | Hg-CVAA | 0.01-100 | Rb | 0.1-10,000 | U | 0.005-10,000 |
| Bi | 0.01-10,000 | In | 0.005-1000 | Re | 0.002-50 | V | 0.5-10,000 |
| Ca | 0.01-50% | K | 0.01-10% | S | 0.005-10% | W | 0.1-10,000 |
| Cd | 0.02-1000 | La | 0.5-10,000 | Sb | 0.05-10,000 | Y | 0.1-1000 |
| Ce | 0.01-10,000 | Li | 0.1-10,000 | Sc | 0.1-10,000 | Zn | 0.5-10,000 |
| Co | 0.05-10,000 | Mg | 0.01-50% | Se | 0.5-10,000 | Zr | 0.5-1000 |
| Cr | 0.5-10,000 | Mn | 1-100,000 | Sn | 0.2-1000 | | |
| Cs | 0.05-1000 | Mo | 0.05-10,000 | Sr | 0.2-10,000 | | |
| Cu | 0.2-10,000 | Na | 0.01-10% | Ta | 0.05-1000 | | |





AGAT Method Code: 201 676

AGAT SOP: MIN-200-12027

Method Description: Determination of Oxide Content in Mineralogical Samples Using Lithium Borate Fusion and X-Ray Fluorescence Spectroscopy (XRF) and Determination of Loss of Ignition Mineralogical Testing Samples

Prepared samples are fused to a combination of lithium metaborate and lithium tetraborate in an automated fluxer. The resultant disk is then analyzed using an XRF instrument.

Blanks, sample replicates, duplicates, and internal reference materials are routinely used as part of AGAT Laboratories' Quality Assurance Program.

Summation of oxides and LOI are provided.

Panalytical Axios Max X-Ray spectrometers are used in the analysis.

| Analytical Range | |
|--------------------------------|-------------|
| Analyte | (%) |
| Al ₂ O ₃ | 0.01 - 100% |
| BaO | 0.01 - 100% |
| CaO | 0.01 - 100% |
| Cr ₂ O ₃ | 0.01 - 100% |
| Fe ₂ O ₃ | 0.01 - 100% |
| K ₂ O | 0.01 - 100% |
| MgO | 0.01 - 100% |
| MnO | 0.01 - 100% |
| Na ₂ O | 0.01 - 100% |
| P ₂ O ₅ | 0.01 - 100% |
| SiO ₂ | 0.01 - 100% |
| V ₂ O ₅ | 0.01 - 100% |
| TiO ₂ | 0.01 - 100% |
| LOI | 0.01 - 100% |



SCOPE OF ACCREDITATION

AGAT LABORATORIES LTD.
5623 McAdam Road
Mississauga, ON
L4Z 1N9

Accredited Laboratory No. 665
(Conforms with requirements of CAN-P-1579 , CAN-P-4E (ISO/IEC 17025:2005))

CONTACT: Ms. Jannat Begum
TEL: +1 905 501 9998 ext. 250
FAX: +1 905 501 0589
EMAIL: jbegum@agatlabs.com
URL: www.agatlabs.com

CLIENTS SERVED: All interested clients

FIELDS OF TESTING: Chemical/Physical

PROGRAM SPECIALTY AREA: Mineral Analysis

ISSUED ON: 2013-11-08

VALID TO: 2018-02-17

The physical sample preparation involving accredited test methods as listed on the scope of accreditation may be performed at AGAT Laboratories Ltd. laboratory or at off-site sample preparation locations that are monitored regularly for quality control and quality assurance practices.

METALLIC ORES AND PRODUCTS

Mineral Analysis Testing

Mineral Assaying
Geotechnical Testing

| | |
|---------------|--|
| MIN-12010 | Crushing of Mineral Testing Samples Using Rocklabs Boyd Crusher Mark III - Mining Branches |
| MIN-12011 | Sample Size Reduction Of Mineral Testing Samples - Mining Branches |
| MIN-200-12000 | Determination of Total Carbon and Sulphur in Geological Samples Using Infrared Combustion |
| MIN-200-12001 | Determination of Sixteen (16) Metals in Geological Samples employing Peroxide Fusion with Inductively Coupled Plasma - Optical Emission Spectroscopy (ICP-OES) finish [Cu, Ni, Co, Fe, S, Mg, Pb, Si, Ca, Al, Mn, Zn, Cr, Sn, As, Mo; ICP-OES] |
| MIN-200-12004 | Determination of Gold and Silver in Mineralogical Samples by Lead Fusion Fire Assay with Gravimetric Finish |
| MIN-200-12006 | Determination of Gold, Platinum and Palladium in Geological Samples by Lead Fusion Fire Assay with Inductively Coupled Plasma Optical Emission Spectroscopy (ICP-OES) finish [Au, Pt, Pd; ICP-OES] |
| MIN-200-12007 | Screen Analysis and Particle Size Distribution of Mineralogical Samples |
| MIN-200-12014 | Determination of Total Nitrogen in Mineralogical Samples by Inert Gas Fusion - Thermal Conductivity Detection |
| MIN-200-12015 | Determination of Oxides in Mineralogical Samples Using Lithium Metaborate Fusion and Inductively Coupled Plasma - Optical Emission Spectroscopy (ICP-OES) [SiO ₂ , Al ₂ O ₃ , Fe ₂ O ₃ , CaO, MgO, Na ₂ O, K ₂ O, Cr ₂ O ₃ , TiO ₂ , MnO, P ₂ O ₅ , SrO, BaO] |
| MIN-200-12016 | Determination of Rare Earth Elements in Mineralogical Samples Using Lithium Borate Fusion and Inductively Coupled Plasma - Mass Spectroscopy (ICP-MS) [Ce, La, Y, Dy, Er, Eu, Gd, Ho, Lu, Tb, Tm, Yb, Nd, Pr, Sm, Th, U] |
| MIN-200-12018 | Determination of Metals in Mineralogical Samples Using Aqua Regia (Nitric and Hydrochloric Acid) Digestion and a Combination of Inductively Coupled Plasma - Optical Emission Spectroscopy (ICP-OES) and Inductively Coupled Plasma - Mass Spectroscopy (ICP-MS) [Ag, As, Au, Ba, Be, Bi, Ca, Cd, Ce, Co, Cr, Cs, Cu, Ga, Ge, Hf, Hg, In, La, Li, Mn, Mo, Ni, Nb, P, Pb, Re, Rb, Sb, Sc, Se, Sn, Sr, Ta, Te, Th, Tl, U, V, W, Y, Zn, Zr] |
| MIN-200-12019 | Determination of Gold in Geological Samples by Lead Fusion Fire Assay and Atomic Absorption Spectroscopy. |
| MIN-200-12020 | Determination of Metals in Mineralogical Samples Using Aqua Regia (Nitric and Hydrochloric Acid) Digestion and Inductively Coupled Plasma - Optical Emission Spectrometry (ICP-OES) [Ag, Al, As, B, Ba, Be, Bi, Fe, Ga, Hg, In, K, La, Li, Mg, Mn, Mo, Na, Ni, |

| | |
|---------------|--|
| | P, Pb, Rb, S, Sb, Sc, Se, Sn, Sr, Ta, Te, Th, Ti, Tl, U, V, W, Y, Zr, Zn] |
| MIN-200-12021 | Determination of Loss on Ignition in Mineralogical Samples |
| MIN-200-12023 | Determination of Gold, Platinum and Palladium in Mineralogical Samples by Lead Fusion Fire Assay with Inductively Coupled Plasma - Mass Spectroscopy (ICP-MS) Finish |
| MIN-200-12024 | Determination of Specific Gravity in Mineralogical Samples by a Gas Pycnometer |
| MIN-200-12025 | Determination of Acid-Base Accounting Procedure |
| MIN-200-12027 | Determination of Oxide Content (Al_2O_3 , BaO, CaO, Cr_2O_3 , Fe_2O_3 , K_2O , MgO, MnO, Na_2O , P_2O_5 , SiO_2 , SrO, TiO_2 , and V_2O_5) in Mineralogical Samples following fusion with Lithium Borate and using an X-Ray Fluorescence Spectrometer. |
| MIN-200-12032 | Determination of Metals in Mineralogical Samples using Atomic Absorption Spectroscopy (AAS) Following Aqua Regia or Four Acid Digestion [Co, Ni, Cu, Zn, Ag and Pb]. |
| MIN-200-12034 | Determination of Metals in Mineralogical Samples Using Inductively Coupled Plasma - Optical Emission Spectroscopy (ICP-OES) Following Four Acid Digestion [Ag, Al, As, Ba, Be, Bi, Ca, Cd, Ce, Co, Cr, Cs, Cu, Fe, Ga, In, K, La, Li, Mg, Mn, Mo, Na, Ni, P, Pb, Rb, S, Sb, Sc, Se, Sn, Sr, Ta, Te, Th, Ti, Tl, U, V, W, Y, Zr, Zn] |
| MIN-200-12035 | Determination of Metals in Mineralogical Samples using Four Acid Digestion and a Combination of Inductively Coupled Plasma - Optical Emission Spectroscopy (ICP-OES) and Inductively Coupled Plasma - Mass Spectroscopy (ICP-MS) [Ag, As, Ba, Be, Bi, Ca, Cd, Ce, Co, Cr, Cs, Cu, Ga, Ge, Hf, In, La, Li, Mn, Mo, Ni, Nb, P, Pb, Re, Rb, Sb, Sc, Se, Sn, Sr, Ta, Te, Th, Tl, U, V, W, Y, Zn, Zr] |

Notes:

CAN-P-1579: Requirements for the Accreditation of Mineral Analysis Testing Laboratories

CAN-P-4E (ISO/IEC 17025:2005): General Requirements for the Competence of Testing and Calibration Laboratories

Chantal Guay, ing., P. Eng.
Vice President, Accreditation
Services

Date: 2013-11-08

Number of Scope Listings: 21

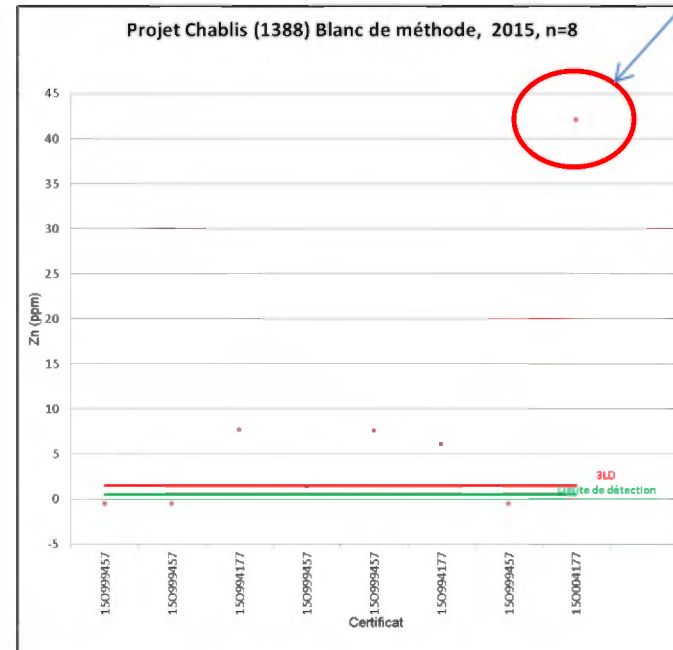
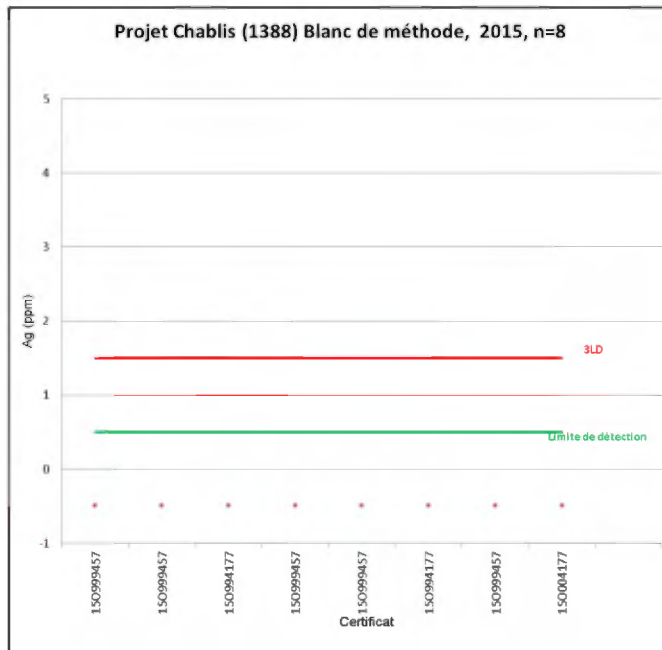
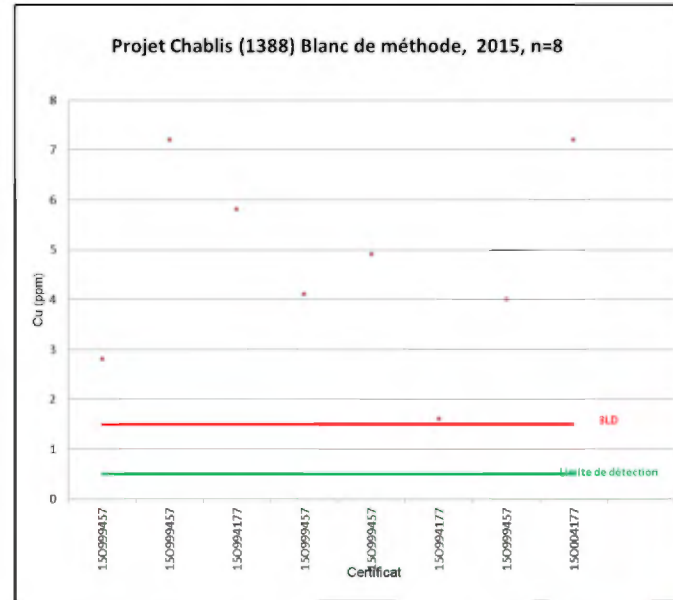
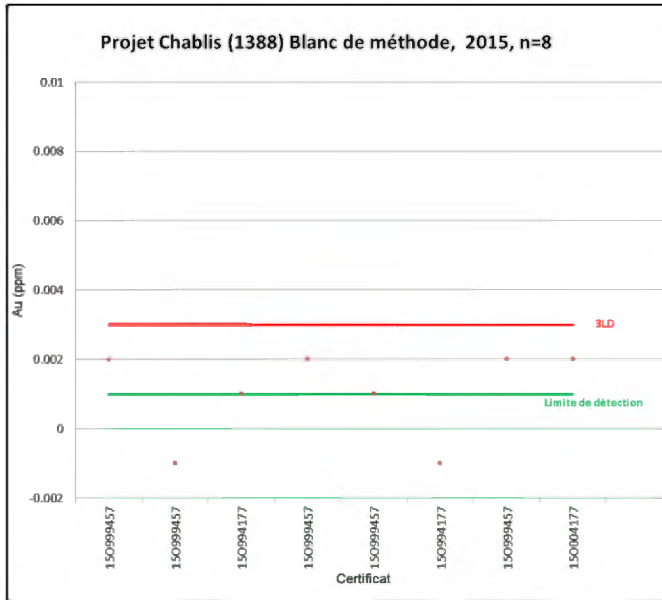
SCC 1003-15/833

Partner File #0

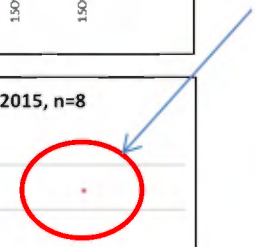
Partner:

ANNEXE 7 QA/QC

Blancs de méthode, Au, Ag, Cu, Zn

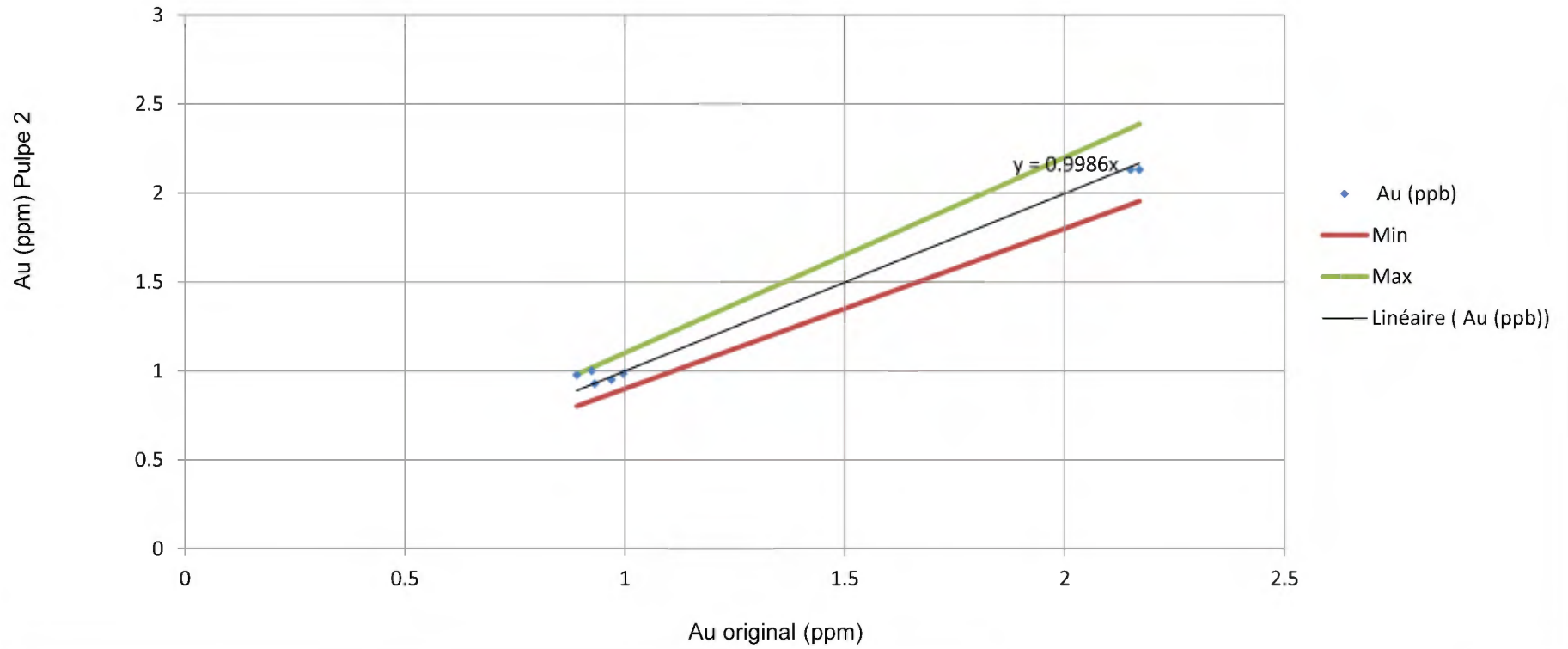


Échec

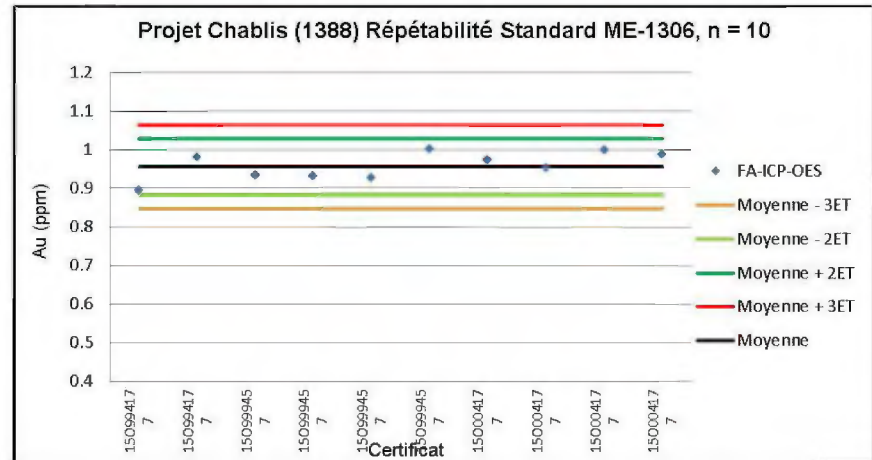
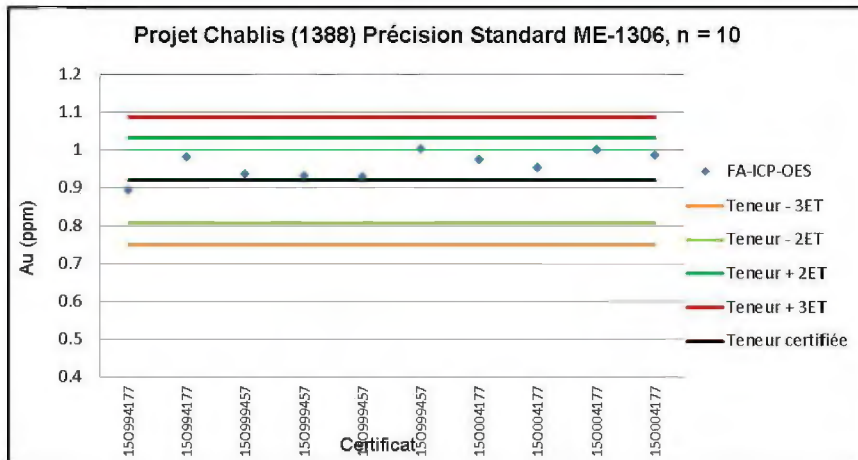
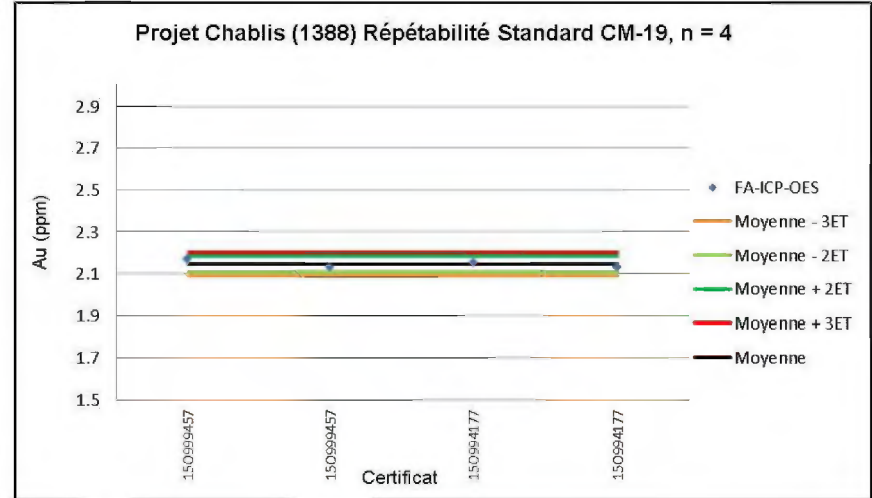
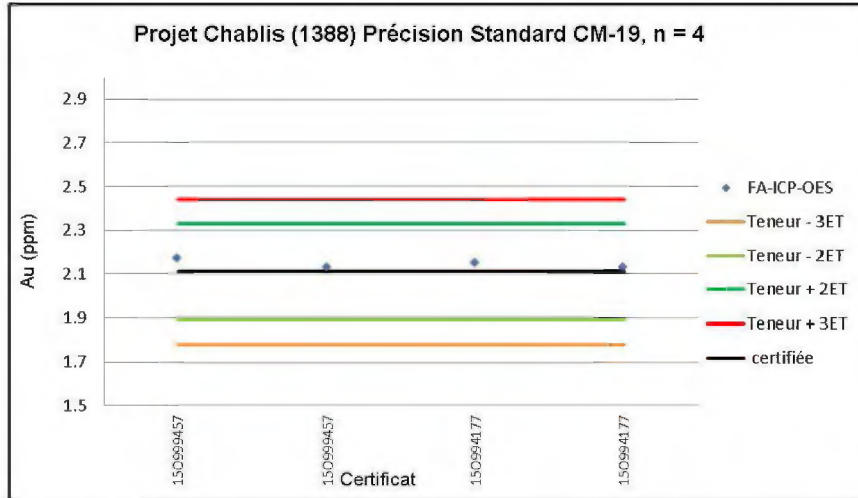


Duplicata, Au

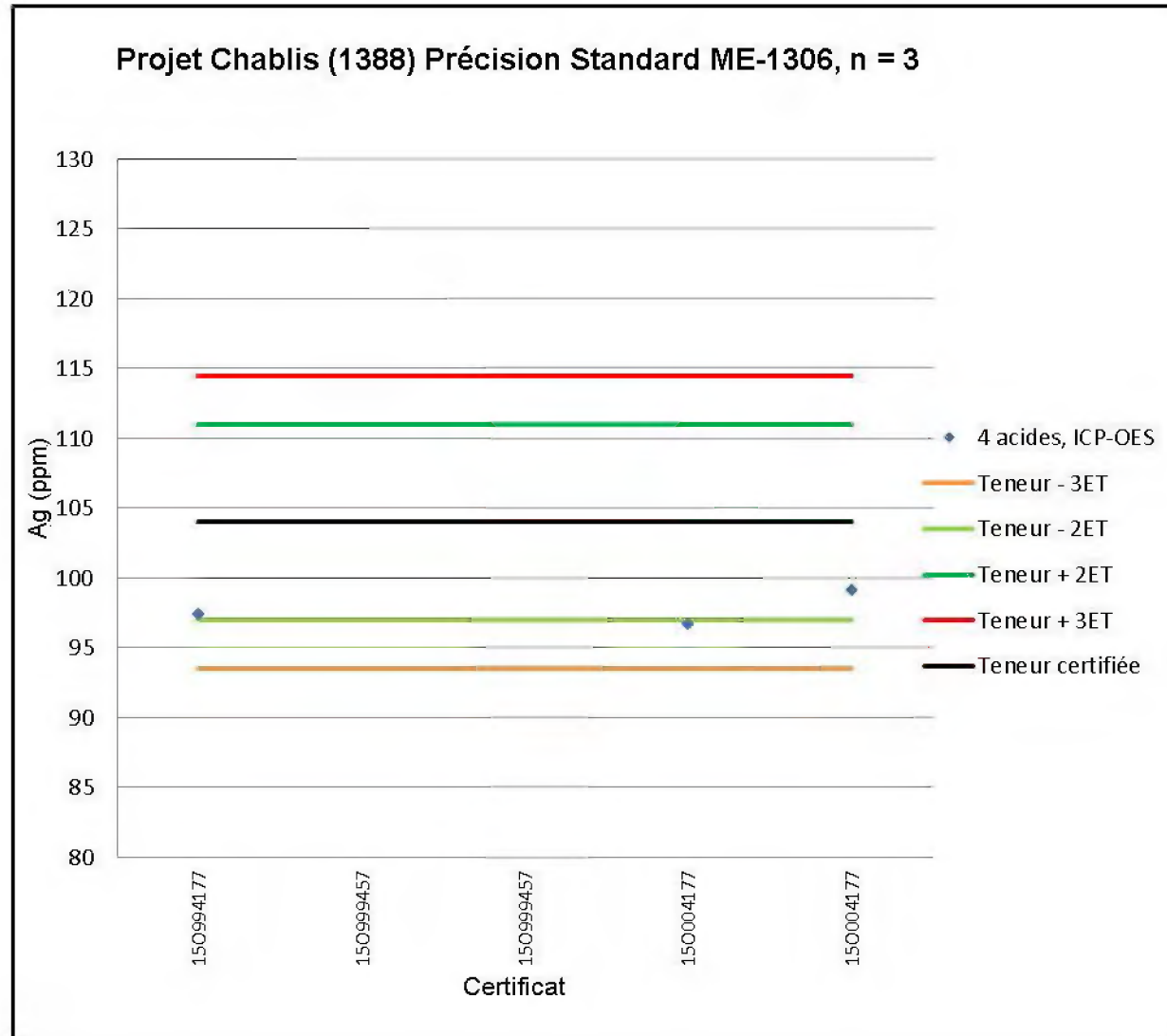
Projet Chablis (1388) Duplicata 2015, Pulpe2, n = 7



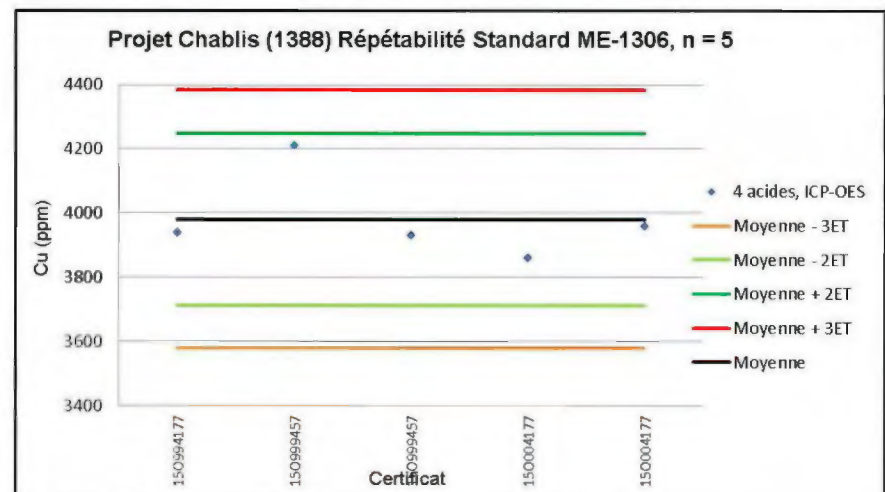
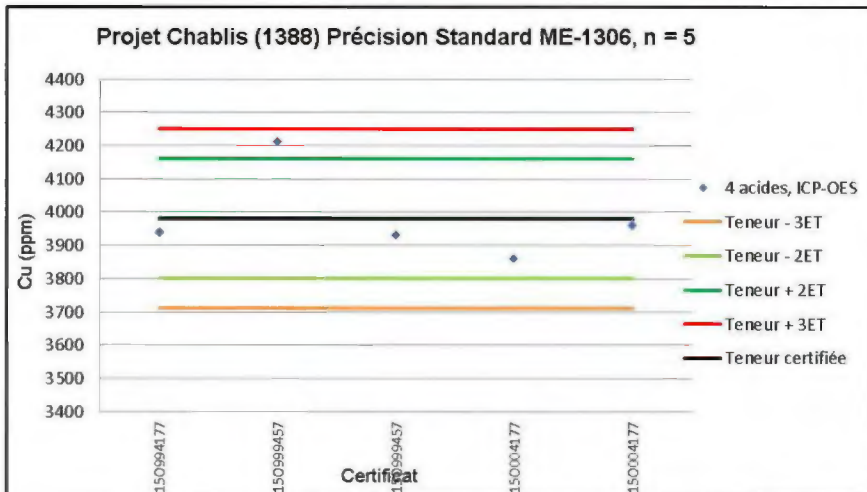
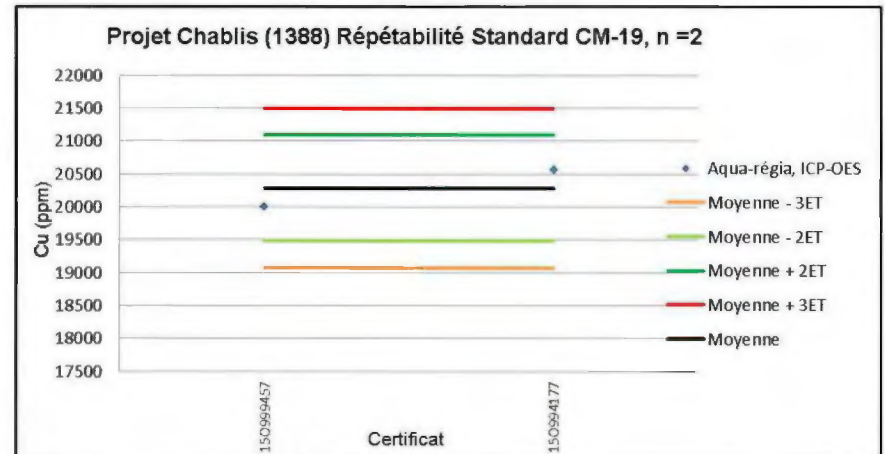
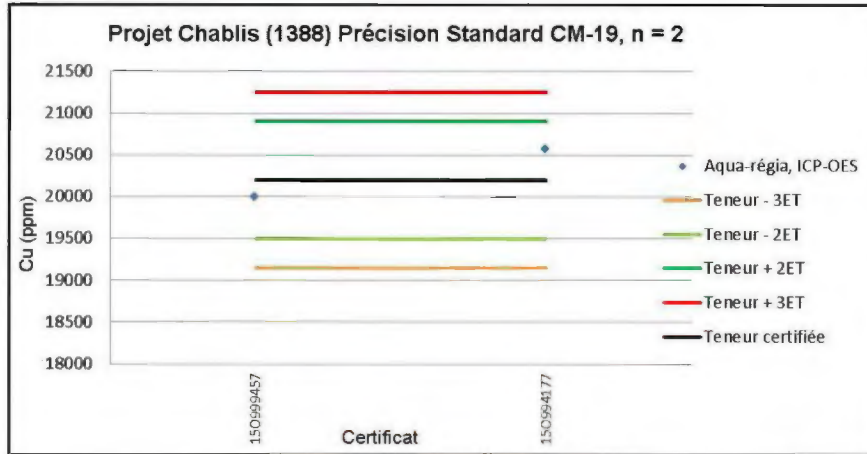
Standards Au



Standard Ag



Standards Cu



Standard Zn

